



VNiVERSiDAD DE SALAMANCA

CAMPUS DE EXCELENCIA INTERNACIONAL

Grado en Física

Trabajo de Fin de Grado

Método k.p aplicado al Arseniuro de Galio (GaAs)

Autor: Alberto Villas Pazos

Tutor: Pablo González Espeso

Método k.p aplicado al Arseniuro de Galio (GaAs)

Autor: Alberto Villas Pazos

Tutor: Pablo González Espeso

D. Pablo González Espeso, Profesor titular de la Universidad de Salamanca autoriza la presentación de este Trabajo de Fin de Grado titulado "Método k.p aplicado al Arseniuro de Galio (GaAs)" realizado bajo su dirección por el estudiante del Grado de Física D. Alberto Villas Pazos.

Fdo. PABLO GONZÁLEZ ESPESO

Resumen

Este trabajo trata de introducir la teoría del método $\vec{k} \cdot \vec{p}$ para el cálculo de estructura de bandas de semiconductores, en concreto al Arseniuro de Galio. Los tres métodos más utilizados para el cálculo de bandas son "tight-binding", pseudopotencial y el método $\vec{k} \cdot \vec{p}$. En el caso del método $\vec{k} \cdot \vec{p}$ se escoge una base formada por funciones Bloch mientras que en los otros dos se toman estados atómicos o ondas planas respectivamente. Cada uno de los tres métodos tiene sus ventajas y desventajas.

No se pretende realizar un estudio ni una exposición exhaustiva del método $\vec{k} \cdot \vec{p}$, si no más bien familiarizarse con la metodología de la teoría y mostrar como se pueden obtener buenos resultados aplicando al caso concreto del Arseniuro de Galio.

Este trabajo comienza deduciendo la expresión del hamiltoniano que da nombre al método, particularizando la ecuación de Scrödinger para funciones tipo Bloch y seguidamente se hace lo mismo con la ecuación de Dirac para obtener una expresión equivalente que tiene en cuenta la interacción espín-órbita.

Fijada una base de estados Bloch se estudian los términos matriciales del hamiltoniano $\vec{k} \cdot \vec{p}$ en dicha base haciendo uso de argumentos de simetría y teoría de representaciones irreducibles. Estar familiarizado con la teoría de representaciones irreducibles sin duda ayuda para seguir las deducciones de este trabajo pero no es un requisito necesario ya que se puede entender en función de argumentos de simetría.

Seguidamente se aplica la teoría de perturbaciones de Löwdin, que puede encontrarse en el apéndice A, que es necesaria para obtener resultados correctos. La necesidad de la teoría de Löwdin radica en que la base considerada es una base finita y es necesario tener en cuenta la interacción de los estados cercanos en energía mediante perturbaciones.

Posteriormente se estudia la interacción espín-órbita calculando la expresión matricial de la interacción en la base de funciones propias del momento angular total $|J, J_z\rangle$ así como la matriz del cambio de base de la base original a dicha base.

Finalmente se presentan los resultados obtenidos mediante cálculos por ordenador para cinco modelos distintos: un primer modelo en el que se consideran la primera banda de conducción y tres bandas de valencia, un segundo modelo en el que se consideran las cuatro bandas anteriores y tres bandas de conducción adicionales, un tercer modelo en el que se tiene en cuenta la interacción espín-órbita para el primer modelo, un cuarto modelo que considera un término adicional proveniente de la interacción espín-órbita para el tercer modelo y un quinto modelo que tiene en cuenta la interacción espín órbita para el segundo modelo. Los resultados obtenidos incluyen bandas de energía a lo largo de los ejes Δ , Λ y Σ , representación tridimensional de las bandas y líneas isoenergéticas en un plano, valores de masas efectivas para cada banda en el punto Γ y dependencia del tensor de masa efectiva con el vector de onda a lo largo de los ejes Δ , Λ y Σ .

Summary

The aim of this work is to be an introduction to the $\vec{k} \cdot \vec{p}$ theory for calculation of band structure of semiconductors, specifically of Gallium Arsenide. The three main conventional methods for calculation of band structure are tight-binding, pseudopotential and $\vec{k} \cdot \vec{p}$ method. Each method chooses a different type of functions for the basis: atomic-like, plane waves, and Bloch states, respectively. Each of the methods have their advantages and disadvantages.

This work is not an exhaustive study of the $\vec{k} \cdot \vec{p}$ method but rather a way to get familiar with the methodology of the theory and show how good results can be obtained in the particular case of Gallium Arsenide.

In Chapter 2 we develop the theoretical framework of the k.p theory.

In Section 1 of chapter 2 the $\vec{k} \cdot \vec{p}$ expression of the hamiltonian is deduced by particularizing the Schrödinger's equation for Bloch functions and the same is done with Dirac's equation to obtain an analogous expression that takes into account the spin-orbit interaction.

In Section 2, a basis of Bloch states is fixed and then we study which terms of $\vec{k} \cdot \vec{p}$ operator are equal or not equal to zero in that base by making use of symmetry arguments and irreducible representation theory. A knowledge of irreducible representations theory is rather useful but not strictly necessary for the understanding of this work.

In Section 3 we make use of Löwdin perturbation theory, that can be found in Appendix A, to perturb the basis in order to obtain good results. The Löwdin perturbation must be included due to the fact that the chosen basis is rather small and one has to take into account the energy-near states by including the perturbation that those states induce in the basis.

In section 4 we study the spin-orbit interaction and deduce the matrix elements of the interaction in the basis of eigenfunctions of total angular momentum $|J, J_z\rangle$ as well as the change of basis matrix that connects this basis with the original basis.

In section 5 we present que final form of the hamiltonian and the parameters use in the calculations.

In section 6 we discuss the commutation relation between J_z and $\vec{k} \cdot \vec{p}$

Finally we present the results obtained via computer calculations for five different models: in the first model, the first conduction band and three valence bands are considered, in the second model, the four previous bands and three additional conduction bands are considered, in the third model, we consider the first model but taking into account the spin-orbit interaction, in the fourth model, we consider the third model but taking into account an additional term which follows from the spin-orbit interaction and in the fifth model we consider the second model but taking into account the spin-orbit interaction.

Palabras clave

Método k.p, bandas de energía, semiconductor, masa efectiva, electrón, hueco, banda de valencia, banda de conducción, arseniuro de galio.

Keywords

k.p method, energy bands, simiconductor, efective mass, electron, hole, valence band, conduction band, Gallium Arsenide.

Índice general

1. Introducción	1
1.1. Referencia histórica	1
1.1.1. Modelo de una banda	2
1.1.2. Dresselhaus–Kip–Kittel	2
1.1.3. Modelo de seis bandas	2
1.1.4. Modelo de cuatro bandas bandas a primer orden	2
1.1.5. Modelo de cuatro bandas bandas a segundo orden	3
1.1.6. Modelo de ocho bandas a primer orden	3
1.1.7. Modelo de ocho bandas a segundo orden	3
1.1.8. Otros Modelos	3
2. Objetivos	4
3. Desarrollo teórico	5
3.1. Método $\vec{k} \cdot \vec{p}$	5
3.1.1. Obtención del hamiltoniano $\vec{k} \cdot \vec{p}$	5
3.1.2. Hamiltoniano $\vec{k} \cdot \vec{p}$ con interacción espín-órbita	7
3.2. Método $\vec{k} \cdot \vec{p}$ en base de estados propios en el punto Γ	8
3.2.1. Funciones de celda y simetrías	8
3.2.2. Aplicación a materiales zinc-blenda	9
3.3. Teoría de perturbaciones de Löwdin	20
3.3.1. Expresión matricial del hamiltoniano perturbado	22
3.3.2. Calculo de masas efectivas mediante el método de perturbaciones de Löwdin	24
3.4. Término $\vec{k} \cdot \vec{\pi}$ y de interacción spin-órbita en base de estados propios en el punto Γ	26
3.4.1. Términos nulos y no nulos del término $\vec{k} \cdot \vec{\pi}$	26

3.4.2. Forma matricial del término τ^{op}	30
3.4.3. Término de espín-órbita	30
3.5. Parámetros y expresiones de los hamiltonianos	35
3.5.1. Parámetros	35
3.5.2. Expresiones de los hamiltonianos	36
3.6. Estados propios del hamiltoniano y J_z	37
4. Resultados	38
4.1. Bandas de energía	38
4.2. Superficies isoenergéticas	45
4.3. Masas efectivas	66
4.3.1. Cálculo analítico	66
4.3.2. Cálculos numéricos en el punto Γ	66
4.3.3. Estudio de la dependencia de la masa con \vec{k}	68
5. Conclusiones	131
5.1. Conclusions	133
Appendices	136
Apéndice A. Teoría de perturbaciones de Löwdin	137
A.1. Principio variacional	137
A.2. Fórmula de la perturbación	138
Apéndice B. Código fuente de los programas	140
B.1. Cálculo de bandas de energía	140
B.1.1. Programa principal	140
B.1.2. Subrutina de construcción del hamiltoniano	144
B.1.3. Subrutina de construcción del hamiltoniano con espín-órbita	146
B.1.4. Subrutina EIGCH de diagonalización de matrices	150
B.2. Superficies isoenergéticas	173
B.2.1. Programa principal	173
B.3. Masas efectivas en el punto Γ	176
B.3.1. Programa principal	176
B.3.2. Subrutina DERIVPAP	179
B.3.3. Función DERIVATED	184
B.4. Masas efectivas a lo largo de los ejes	187

B.4.1. Programa principal	187
-------------------------------------	-----

Capítulo 1

Introducción

El método $\vec{k} \cdot \vec{p}$ es un método para calcular la estructura de bandas de semiconductores que tiene la ventaja de requerir un número pequeño de parámetros de entrada, como por ejemplo, los "gaps" de energía. Estos parámetros, pueden determinarse experimentalmente mediante técnicas ópticas. El método $\vec{k} \cdot \vec{p}$ es un método perturbativo que trabaja con una base de estados Bloch para la cual se supone resuelto el hamiltoniano del sistema para el punto Γ en el cual la perturbación es nula. Tras calcular la forma de la perturbación en la base se construye el hamiltoniano con el término $\vec{k} \cdot \vec{p}$ y se procede a su diagonalización para obtener las bandas de energía. Una ventaja de este método es que para ciertos puntos con simetría, la diagonalización del hamiltoniano es muy sencilla y pueden obtenerse expresiones analíticas. Para puntos de menor simetría se diagonaliza mediante ordenadores lo cual es una tarea rápida y sencilla para la tecnología de hoy en día.

1.1. Referencia histórica

A lo largo del siglo XX, distintos autores han considerado distintos modelos del método $\vec{k} \cdot \vec{p}$ que se diferencian en el tipo de materiales a los que se aplica, en el número de bandas que se toma en la base o el orden de perturbación que considerado.

1.1.1. Modelo de una banda

En este modelo la base considerada únicamente tiene un estado, correspondiente a la primera banda de conducción. Este estado es de tipo s y puesto que se comporta como una función radial, el elemento de matriz del término $\vec{k} \cdot \vec{p}$ es nulo. Para obtener resultados satisfactorios es necesario introducir via teoría de perturbaciones de Löwdin la influencia de los estados próximos en energía. Es un modelo muy simple que permite obtener resultados analíticos sencillos y reproduce bastante bien los resultados experimentales. La desventaja que tiene es que únicamente proporciona resultados para la banda de conducción.

1.1.2. Dresselhaus–Kip–Kittel

Este modelo considera una base formada por tres estados, correspondientes a la banda de valencia de materiales tipo diamante. Considera perturbaciones hasta segundo orden proporciona buenos resultados.

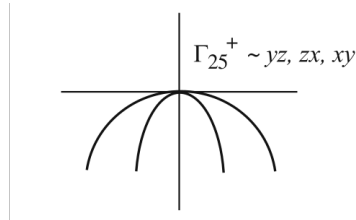


Figura 1.1: Modelo de tres bandas para semiconductores tipo diamante.

1.1.3. Modelo de seis bandas

Este modelo es igual que el modelo anterior pero teniendo en cuenta la interacción espín-órbita. Al considerar el espín, la base se duplica teniéndose estados con proyección de espín positiva y estados con proyección de espín negativa.

1.1.4. Modelo de cuatro bandas bandas a primer orden

Este modelo toma una base de cuatro estados. Estos estados pertenecen tres a la banda de valencia y otro a la banda de conducción. Dado que es un modelo a primer orden no considera la perturbación Löwdin de los estados cercanos en energía. Predice correctamente las degeneraciones de las bandas de valencia pero los resultados para la banda de conducción no se ajustan bien a los datos

experimentales. Tiene la ventaja de que pueden obtenerse expresiones analíticas sencillas.

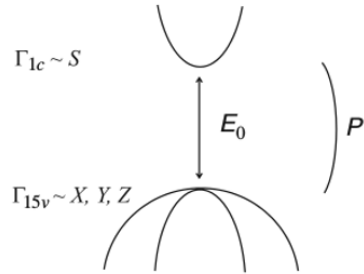


Figura 1.2: Modelo de cuatro bandas para semiconductores tipo zinc-blenda.

1.1.5. Modelo de cuatro bandas bandas a segundo orden

Es igual que el modelo anterior pero considerando la interacción de los estados cercanos en energía mediante teoría de perturbaciones de Löwdin. Los resultados que proporciona son mejores que el modelo a primer orden pero tiene la desventaja que las expresiones analíticas son más complicadas.

1.1.6. Modelo de ocho bandas a primer orden

Es la inclusión de la interacción espín-órbita en el modelo de cuatro bandas a primer orden.

1.1.7. Modelo de ocho bandas a segundo orden

Es la inclusión de la interacción espín-órbita en el modelo de cuatro bandas a segundo orden.

1.1.8. Otros Modelos

En 2001 Cardona y Pollak propusieron un modelo de 20 bandas para el GaAs y el Si. Lo destacable de este modelo es que proporciona buenos resultados a lo largo de toda la primera zona de Brillouin. El mismo grupo ha extendido este modelo a modelos de 24 y 30 bandas.

Capítulo 2

Objetivos

El objetivo de este trabajo es introducir la teoría del método $\vec{k} \cdot \vec{p}$ para el cálculo de estructura de bandas de semiconductores, en concreto al Arseniuro de Galio y la obtención de resultados de bandas de energía, superficies isoenergéticas masas efectivas y su dependencia con \vec{k} . También se pretende estudiar la validez de distintos modelos y las posibles mejoras que se pueden obtener al añadir más características a estos modelos.

Para ello, en este trabajo se estudiará el modelo de cuatro bandas consistente en la banda de conducción y tres bandas de valencia, el modelo de ocho bandas, que considera la interacción espín-órbita en el modelo anterior, el modelo de siete bandas, que considera las cuatro bandas anteriores y tres bandas de conducción adicionales y el modelo de catorce bandas, que considera la interacción espín-órbita en el modelo de siete bandas.

Capítulo 3

Desarrollo teórico

3.1. Método $\vec{k} \cdot \vec{p}$

3.1.1. Obtención del hamiltoniano $\vec{k} \cdot \vec{p}$

La red cristalina del semiconductor tiene propiedades de simetría que dan lugar a transformaciones lineales como translaciones, rotaciones y reflexiones por las cuales el sistema es invariante. Esto implica que los observables del sistema no cambian al aplicar estas operaciones. Al grupo de simetrías del cristal lo denoto como $G_0 = \{M_i\}$

En el espacio de funciones las transformaciones de simetría actúan de tal manera que la función transformada en punto transformado es igual a la función sin transformar en punto sin transformar.

$$f^{M_i}(\vec{r}) = f(M_i^{-1}\vec{r}) \quad (3.1)$$

En mecánica cuántica los observables vienen representados por operadores hermíticos. Siendo O uno de esos observables, al ser invariante por las transformaciones de simetría, se tiene

$$O^{M_i} = M_i O M_i^{-1} = O \Rightarrow [O, M_i] = 0 \quad (3.2)$$

En particular, el hamiltoniano del sistema será invariante por traslaciones de vectores de red. Siendo $T_{\vec{R}}$ el operador traslación por vector de red se tiene

$$[H, T_{\vec{R}}] = 0 \quad (3.3)$$

Y por lo tanto se puede encontrar una base de autoestados comunes de H y $T_{\vec{R}}$ que son las funciones Bloch

$$\psi_{n\vec{k}} = e^{i\vec{k}\cdot\vec{r}} u_{n\vec{k}}(\vec{r}) \quad \text{con} \quad u_{n\vec{k}}(\vec{r} + \vec{R}) = u_{n\vec{k}}(\vec{r}) \quad (3.4)$$

Siendo \vec{R} vector de red.

Aplicando la ecuación de Schrödinger a estas funciones se tiene

$$\left[\frac{\vec{p}^2}{2m} + V(\vec{r}) \right] \psi_{n\vec{k}} = E_n(\vec{k}) \psi_{n\vec{k}} \quad (3.5)$$

Por otro lado

$$\frac{\partial}{\partial x_i} \psi_{n\vec{k}} = ik_i e^{i\vec{k}\cdot\vec{r}} u_{n\vec{k}}(\vec{r}) + e^{i\vec{k}\cdot\vec{r}} \frac{\partial}{\partial x_i} u_{n\vec{k}}(\vec{r}) \quad (3.6)$$

$$\frac{\partial^2}{\partial x_i^2} \psi_{n\vec{k}} = e^{i\vec{k}\cdot\vec{r}} \left[-k_i^2 + 2ik_i \frac{\partial}{\partial x_i} + \frac{\partial^2}{\partial x_i^2} \right] u_{n\vec{k}}(\vec{r}) \quad (3.7)$$

Por lo tanto la ecuación 3.5 puede reescribirse en la forma

$$\left[\frac{\vec{p}^2}{2m} + \frac{\hbar}{m} \vec{k} \cdot \vec{p} + \frac{\hbar^2 k^2}{2m} + V(\vec{r}) \right] u_{n\vec{k}} = E_n(\vec{k}) u_{n\vec{k}} \quad (3.8)$$

Para $\vec{k} = (0, 0, 0)$, punto Γ , la ecuación 3.8 queda

$$\left[\frac{\vec{p}^2}{2m} + V(\vec{r}) \right] u_{n0} = H_0 u_{n0} = E_{n0} u_{n0} \quad (3.9)$$

Para valores de \vec{k} pequeños el hamiltoniano se puede expresar como el hamiltoniano H_0 más un término perturbativo, H' , quedando la ecuación 3.8 en la forma

$$Hu_{n\vec{k}} = (H_0 + H')u_{n\vec{k}} = E_n(\vec{k})u_{n\vec{k}} \quad (3.10)$$

$$\text{Siendo } H' = (\hbar/m) \vec{k} \cdot \vec{p} + (\hbar^2 k^2) / (2m)$$

3.1.2. Hamiltoniano $\vec{k} \cdot \vec{p}$ con interacción espín-órbita

Introduciendo la interacción espín-órbita en el hamiltoniano de un electrón en el cristal se tiene

$$H = \frac{p^2}{2m} + V(r) + \frac{\hbar}{4m^2 c^2} \vec{\sigma} \left(\vec{\nabla} V(r) \times \vec{p} \right) \quad (3.11)$$

Veamos cómo actúa el último término de la ecuación (3.11) sobre una función Bloch. Para ello es conveniente escribir éste término en la forma:

$$\vec{\sigma} \left(\vec{\nabla} V(r) \times \vec{p} \right) = \sum_i \sigma_i \left(\vec{\nabla} V(r) \times (-i\hbar \vec{\nabla}) \right)_i = \quad (3.12)$$

$$= \sum_{i,j,k} \epsilon_{ijk} \sigma_i \left(\frac{\partial V(r)}{\partial x_j} \right) \left(-i\hbar \frac{\partial}{\partial x_k} \right) \quad (3.13)$$

Ahora haciéndolo actuar sobre una función Bloch

$$\begin{aligned} & \sum_{i,j,k} \epsilon_{ijk} \sigma_i \left(\frac{\partial V(r)}{\partial x_j} \right) \left(-i\hbar \frac{\partial}{\partial x_k} \right) e^{i\vec{k} \cdot \vec{r}} u_{n\vec{k}} = \\ &= e^{i\vec{k} \cdot \vec{r}} \sum_{i,j,k} \epsilon_{mij} \sigma_i \left(\frac{\partial V(r)}{\partial x_j} \right) \left(\hbar k_k - i\hbar \frac{\partial}{\partial x_k} \right) u_{n\vec{k}}(\vec{r}) = \\ &= e^{i\vec{k} \cdot \vec{r}} \left[\vec{\sigma} \left(\vec{\nabla} V(r) \times \hbar \vec{k} \right) + \vec{\sigma} \left(\vec{\nabla} V(r) \times \vec{p} \right) \right] u_{n\vec{k}}(\vec{r}) = \\ &= e^{i\vec{k} \cdot \vec{r}} \left[\hbar \vec{k} \cdot \left(\vec{\sigma} \times \vec{\nabla} V(r) \right) + \frac{1}{r} \frac{\partial V}{\partial r} \vec{\sigma} \cdot \vec{l} \right] u_{n\vec{k}}(\vec{r}) \end{aligned} \quad (3.14)$$

Por lo tanto puede escribirse una ecuación para las funciones $u_{n\vec{k}}(\vec{r})$ muy parecida a la ecuación (3.8)

$$\left[\frac{\vec{p}^2}{2m} + \frac{\hbar}{m} \vec{k} \vec{\pi} + \frac{\hbar^2 k^2}{2m} + V(\vec{r}) + \frac{1}{r} \frac{\partial V}{\partial r} \vec{\sigma} \cdot \vec{l} \right] u_{n\vec{k}} = E_n(\vec{k}) u_{n\vec{k}} \quad (3.15)$$

Siendo

$$\vec{\pi} = \vec{p} + \frac{\hbar}{4m^2 c^2} [\vec{\sigma} \times \vec{\nabla} V(r)] \quad (3.16)$$

3.2. Método $\vec{k} \cdot \vec{p}$ en base de estados propios en el punto Γ

3.2.1. Funciones de celda y simetrías

Debido a la simetría de traslación del sistema, dada por la red de Bravais, los estados propios del hamiltoniano serán funciones tipo Bloch: $\psi_{n\vec{k}}(\vec{r}) = e^{i\vec{k} \cdot \vec{r}} u_{n\vec{k}}(\vec{r})$. Teniendo también en cuenta el grupo puntual de simetrías $G_0 = \{M\}$ veamos como actúan sobre las funciones de celda

$$u^{T_{\vec{R}}}(\vec{r}) = u(T_{\vec{R}}^{-1}(\vec{r})) = u(\vec{r} - \vec{R}) = u(r) \quad (3.17)$$

$$u^{M_i}(\vec{r}) = u(M_i^{-1}(\vec{r})) \quad (3.18)$$

$$\begin{aligned} u^{M_i}(\vec{r} + \vec{R}) &= u(M_i^{-1}(\vec{r} + \vec{R})) = u(M_i^{-1}\vec{r} + M_i^{-1}\vec{R}) \\ &= u(M_i^{-1}\vec{r} + \vec{R}') \Rightarrow \\ u^{M_i}(\vec{r}) &= u^{M_i}(\vec{r} + \vec{R}) \end{aligned} \quad (3.19)$$

Dado que $G_0 = \{M_i\}$ es grupo puntual de simetría del cristal se tiene que $M_i^{-1}\vec{R} = \vec{R}'$ y por lo tanto queda demostrado que las operaciones de simetría mantienen las propiedades de translacionalidad por vector de red de las funciones de celda $u(\vec{r})$.

Supongamos ahora que las funciones de celda se comportan como orbitales atómicos y que las podemos clasificar como $u_s, u_{p_i}, u_{d_{ij}}, \dots$ con $i, j = 1, 2, 3$. Los orbitales tipo s son de la forma $f_s(r)$, las de tipo p_i son $x_i f_p(r)$, las de tipo $d_{x^2-y^2}$

son $(x^2 - y^2)f_d(r)$... pero como las funciones de celda deben tener la periodicidad de la red, deberán ser:

$$u_s(\vec{r}) = \sum_{\vec{R}} f_s(|\vec{r} - \vec{R}|) \quad (3.20)$$

$$u_{p_i}(\vec{r}) = \sum_{\vec{R}} (x_i - R_i) f_p(|\vec{r} - \vec{R}|), \quad i = 1, 2, 3 \quad (3.21)$$

$$u_{d_{ij}}(\vec{r}) = \sum_{\vec{R}} (x_i - R_i)(x_j - R_j) f_d(|\vec{r} - \vec{R}|), \quad i, j = 1, 2, 3 \quad (3.22)$$

$$u_{f_{ijk}}(\vec{r}) = \sum_{\vec{R}} (x_i - R_i)(x_j - R_j)(x_k - R_k) f_f(|\vec{r} - \vec{R}|), \quad i, j, k = 1, 2, 3 \quad (3.23)$$

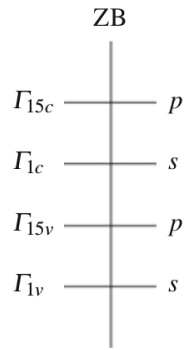


Figura 3.1: Estados en el punto Γ para típicos materiales Zinc-Blenda.

Es sencillo demostrar que estas funciones tienen la periodicidad de la red simplemente viendo

$$u_i(\vec{r} + \vec{R}_1) = \sum_{\vec{R}} f_i(|\vec{r} + \vec{R}_1 - \vec{R}|) = \sum_{\vec{R}'} f_i(|\vec{r} - \vec{R}'|) = u_i(\vec{r}) \quad (3.24)$$

Siendo $\vec{R}' = \vec{R} - \vec{R}_1$ también vector de red.

3.2.2. Aplicación a materiales zinc-blenda

Planteamiento general

Particularizando para semiconductores con estructura de red tipo diamante o zinc-blenda que son cristales FCC cuyo grupo puntual de simetrías es el T_d con

24 elementos:

$$T_d = \{E, 4\{C_3^1, C_3^2\}, 3\{C_2^i\}, 6\{\sigma_d^i\}, 3\{S_4^1, S_4^3\}\} \quad (3.25)$$

La identidad E, ejes ternarios coincidentes con las 4 diagonales del cubo, ejes binarios que coinciden con los 3 ejes que unen centros de caras, 6 planos de reflexión que pasan por aristas opuestas y reflexiones-rotaciones cuaternarias en torno a los ejes que unen centros de caras.

Los generadores de este grupo son:

$$C_3^1 = \begin{pmatrix} 0 & 1 & 0 \\ 0 & 0 & 1 \\ 1 & 0 & 0 \end{pmatrix} \quad S_4^1 = \begin{pmatrix} -1 & 0 & 0 \\ 0 & 0 & -1 \\ 0 & 1 & 0 \end{pmatrix} \quad \sigma_d^3 = \begin{pmatrix} 0 & 1 & 0 \\ 1 & 0 & 0 \\ 0 & 0 & 1 \end{pmatrix} \quad (3.26)$$

Mediante sucesivas aplicaciones de estos operadores se obtienen las 24 transformaciones. Pero esa es la actuación de los generadores sobre las coordenadas, en una base de orbitales $\{\psi_s, \psi_{p_x}, \psi_{p_y}, \psi_{p_z}\}$ deberá ocurrir:

$$\begin{pmatrix} \psi'_s \\ \psi'_{p_x} \\ \psi'_{p_x} \\ \psi'_{p_z} \end{pmatrix} = M_i \begin{pmatrix} \psi_s \\ \psi_{p_x} \\ \psi_{p_x} \\ \psi_{p_z} \end{pmatrix} \quad (3.27)$$

La forma de los generadores en esta base es:

$$C_3^1 = \begin{pmatrix} 1 & 0 & 0 & 0 \\ 0 & 0 & 1 & 0 \\ 0 & 0 & 0 & 1 \\ 0 & 1 & 0 & 0 \end{pmatrix} \quad S_4^1 = \begin{pmatrix} 1 & 0 & 0 & 0 \\ 0 & -1 & 0 & 0 \\ 0 & 0 & 0 & -1 \\ 0 & 0 & 1 & 0 \end{pmatrix}$$

$$\sigma_d^3 = \begin{pmatrix} 1 & 0 & 0 & 0 \\ 0 & 0 & 1 & 0 \\ 0 & 1 & 0 & 0 \\ 0 & 0 & 0 & 1 \end{pmatrix} \quad (3.28)$$

En la siguiente cuadro se representa la tabla de caracteres del grupo T_d y las funciones s, p_i, d_{ij}, f_{ijk} , $i, j = 1, 2, 3$ que pertenecen a los subespacios funcionales invariantes inducidos por dichas representaciones.

T_d	E	$3C_2$	$8C_3$	$6S_4^3$	$6\sigma_d$	
Γ_1	1	1	1	1	1	s, xyz
Γ_2	1	1	1	-1	-1	
Γ_{12}	2	2	-1	0	0	$s, x^2 - y^2, 3z^2 - r^2$
Γ_{15}	3	-1	0	-1	1	x, y, z, xy, xz, yz
Γ_{25}	3	-1	0	1	-1	$J_x, J_y, J_z, \vec{J} = \vec{r} \times \vec{p}$

Cuadro 3.1: Tabla de caracteres y algunas funciones de las representaciones irreducibles

Al aplicar el método $\vec{k} \cdot \vec{p}$ será necesario calcular términos de matriz de la parte del hamiltoniano $H_{\vec{k} \cdot \vec{p}}$ de la forma

$$\begin{aligned}
 \langle \psi_\alpha | \vec{k} \cdot \vec{p} | \psi_\beta \rangle &= \sum_{i=1}^3 k_i \langle \psi_\alpha | p_i | \psi_\beta \rangle \\
 &= \sum_{i=1}^3 k_i \int \psi_\alpha^*(\vec{r}) \left(-i\hbar \frac{\partial}{\partial x_i} \right) \psi_\beta(\vec{r}) d^3r \\
 &= -i\hbar \sum_{i=1}^3 k_i \int \psi_\alpha^*(\vec{r}) \frac{\partial \psi_\beta(\vec{r})}{\partial x_i} d^3r
 \end{aligned} \tag{3.29}$$

Lo cual se reduce a calcular términos del tipo

$$\langle \psi_\alpha | \frac{\partial}{\partial x_i} | \psi_\beta \rangle = \int \psi_\alpha^*(\vec{r}) \frac{\partial \psi_\beta(\vec{r})}{\partial x_i} d^3r \tag{3.30}$$

Para ello se puede hacer uso de resultados de teoría de representaciones irreducibles, que dice que si se tiene un elemento de matriz $\langle \psi_i^l | O^m | \psi_j^n \rangle$ en donde ψ_i^l pertenece al subespacio invariante de la representación irreducible l, O^m pertenece al subespacio invariante de la representación irreducible m y ψ_j^n pertenece al subespacio invariante de la representación irreducible n, dicho elemento de matriz es distinto de cero si en la descomposición del producto de caracteres: $\chi(R) = \sum_i \chi^i(R)$ en representaciones irreducibles i:

- $\chi(R) = \chi^l(R)\chi^m(R)$ aparece la representación irreducible $n \Rightarrow \exists i \mid \chi^i(R) = \chi^n(R)$
- $\chi(R) = \chi^l(R)\chi^m(R)$ aparece la representación irreducible $l \Rightarrow \exists i \mid \chi^i(R) = \chi^l(R)$
- $\chi(R) = \chi^l(R)\chi^m(R)$ aparece la representación irreducible $m \Rightarrow \exists i \mid \chi^i(R) = \chi^m(R)$
- $\chi(R) = \chi^l(R)\chi^m(R)\chi^n(R)$ aparece la representación irreducible totalmente simétrica $m \Rightarrow \exists i \mid \chi^i(R) = 1, \forall R$

Por tanto, podemos deducir que:

- $\langle u_s | p_i | u_s \rangle = 0, i = x, y, z$ ya que $\Gamma_1\Gamma_{15} = \Gamma_{15}$
- $\langle u_s | p_i | u_{d_{3z^2-r^2}} \rangle = \langle u_s | p_i | u_{d_{x^2-y^2}} \rangle = 0$ pues $\Gamma_1\Gamma_{15} = \Gamma_{15} \neq \Gamma_{12}$
- $\langle u_s | p_i | u_{p_j} \rangle \neq 0, i, j = x, y, z$ ya que $\Gamma_1\Gamma_{15} = \Gamma_{15}$
- $\langle u_s | p_i | u_{d_{jk}} \rangle \neq 0, i, j, k = x, y, z; j \neq k$ pues $\Gamma_{15}\Gamma_{15} = \Gamma_1 + \Gamma_{12} + \Gamma_{15} + \Gamma_{25}$
- $\langle u_{p_i} | p_i | u_{p_k} \rangle \neq 0, i, j, k = x, y, z$ ya que $\Gamma_{15}\Gamma_{15} = \Gamma_1 + \Gamma_{12} + \Gamma_{15} + \Gamma_{25}$
- $\langle u_{p_i} | p_i | u_{d_{3z^2-r^2}} \rangle \neq 0, i, j, k = x, y, z$ por lo mismo que el anterior
- $\langle u_{p_i} | p_i | u_{d_{x^2-y^2}} \rangle \neq 0, i, j, k = x, y, z$ por lo mismo
- $\langle u_{p_i} | p_i | u_{d_{kl}} \rangle \neq 0, i, j, k, l = x, y, z$ por lo mismo

Hay términos que se ha concluido que son distintos de cero. En realidad la conclusión que se deriva de los argumentos de teoría de representaciones irreducibles es que no hay razón para decir que sean cero, pero si se es más riguroso y se aplican argumentos de simetría, se ve que algunos de estos términos son nulos.

Términos distintos de cero por operaciones de simetría

Para comprobar si verdaderamente los términos que se han deducido son distintos de cero lo son o no se pueden utilizar argumentos de simetría.

- Términos del tipo $\langle u_s | p_i | u_{p_j} \rangle$

Se tienen dos casos:

- $i = j$

$$\langle u_s | \frac{\partial}{\partial x_i} | u_{p_i} \rangle = \sum_{\vec{R}, \vec{R}''} \int f_s(|\vec{r}' - \vec{R}''|) \left[f_p(r') + x_i'^2 \frac{df_p(r')}{dr'} \right] d^3 r' \quad (3.31)$$

Como las rotaciones en torno a ejes ternarios C_3^1, C_3^2 convierten unas coordenadas en otras, $x_i \rightarrow x_j, x_j \rightarrow x_k, x_k \rightarrow x_i$ (con permutaciones y cambios de signos) y las demás o mantienen x_i ó $x_i \rightarrow -x_i$ ó $x_i \rightarrow -x_j, -x_k$ (rotaciones reflexiones) tendremos:

$$\langle u_s | \frac{\partial}{\partial x_i} | u_{p_i} \rangle = \langle u_s | \frac{\partial}{\partial x_j} | u_{p_j} \rangle = \langle u_s | \frac{\partial}{\partial x_k} | u_{p_k} \rangle \neq 0 \quad (3.32)$$

- $i \neq j$

$$\langle u_s | \frac{\partial}{\partial x_i} | u_{p_j} \rangle = \sum_{\vec{R}, \vec{R}''} \int f_s(|\vec{r}' - \vec{R}''|) \left[x_i' x_j' \frac{df_p(r')}{dr'} \right] d^3 r' \quad (3.33)$$

Ahora si se aplica una rotación $C_2^j \in T_d$ alrededor del eje $j \neq i$, teniendo en cuenta todas las consideraciones del caso anterior:

$$\begin{aligned} \langle u_s | \frac{\partial}{\partial x_i} | u_{p_j} \rangle^{C_2^j} &= \langle u_s | \frac{\partial}{\partial x_i} | u_{p_j} \rangle = \\ &= - \sum_{\vec{R}, \vec{R}''} \int f_s(|\vec{r}' - \vec{R}''|) \left[x_i' x_j' \frac{df_p(r')}{dr'} \right] d^3 r' = \\ &= - \langle u_s | \frac{\partial}{\partial x_i} | u_{p_j} \rangle \end{aligned} \quad (3.34)$$

Por lo tanto los términos de matriz $\langle u_s | p_i | u_{p_j} \rangle, i \neq j$ son nulos.

- Términos del tipo $\langle u_{p_i} | p_j | u_{p_k} \rangle$

Se tienen dos casos:

- $j = k$

$$\langle u_{p_i} | \frac{\partial}{\partial x_j} | u_{p_j} \rangle = \sum_{\vec{R}, \vec{R}''} \int (x_i' - R_i'') f_p(|\vec{r}' - \vec{R}''|) \left[f_p(r') + x_j'^2 g_p(r') \right] d^3 r' \quad (3.35)$$

Para el caso $i = j$, al transformar el elemento de matriz por C_2^k se tiene:

$$\begin{aligned} \langle u_{p_i} | \frac{\partial}{\partial x_i} | u_{p_i} \rangle^{C_2^k} &= \langle u_{p_i} | \frac{\partial}{\partial x_i} | u_{p_i} \rangle = \\ &= \sum_{\vec{R}, \vec{R}''} \int [-(x'_i - R''_i)] f_p(|\vec{r}' - \vec{R}''|) \left[f_p(r') + x'^2_i g_p(r') \right] d^3 r' = \\ &= -\langle u_{p_i} | \frac{\partial}{\partial x_i} | u_{p_i} \rangle = 0 \end{aligned} \quad (3.36)$$

Y lo mismo pasa para el caso $j \neq i$: $\langle u_{p_i} | p_j | u_{p_j} \rangle = 0$

- $j \neq k$

$$\langle u_{p_i} | \frac{\partial}{\partial x_j} | u_{p_k} \rangle = \sum_{\vec{R}, \vec{R}''} \int (x'_i - R''_i) f_p(|\vec{r}' - \vec{R}''|) [x'_j x'_k g_p(r')] d^3 r' \quad (3.37)$$

Si $i = j$ o $i = k$ los términos son nulos. Para verlo, basta aplicar una rotación C_2^i , $i = 1, 2, 3$.

Si $i \neq j \neq k$, como las rotaciones en torno a ejes ternarios C_3^1, C_3^2 convierten unas coordenadas en otras, $x_i \rightarrow x_j, x_j \rightarrow x_k, x_k \rightarrow x_i$ (con permutaciones y cambios de signos) y las demás o mantienen x_i ó $x_i \rightarrow -x_i$ ó $x_i \rightarrow -x_j, -x_k$ tendremos:

$$\langle u_{p_i} | \frac{\partial}{\partial x_j} | u_{p_k} \rangle = \langle u_{p_j} | \frac{\partial}{\partial x_k} | u_{p_i} \rangle = \langle u_{p_k} | \frac{\partial}{\partial x_i} | u_{p_j} \rangle \quad (3.38)$$

$$\langle u_{p_i} | \frac{\partial}{\partial x_k} | u_{p_j} \rangle = \langle u_{p_j} | \frac{\partial}{\partial x_i} | u_{p_k} \rangle = \langle u_{p_k} | \frac{\partial}{\partial x_j} | u_{p_i} \rangle \quad (3.39)$$

Además, aplicando una reflexión en un plano bisector de los ejes ij tenemos que $\sigma^{ij}\vec{r} = (x_j, x_i, x_k)$ y por lo tanto

$$\langle u_{p_i} | \frac{\partial}{\partial x_j} | u_{p_k} \rangle = \langle u_{p_j} | \frac{\partial}{\partial x_i} | u_{p_k} \rangle \quad (3.40)$$

$$\langle u_{p_k} | \frac{\partial}{\partial x_i} | u_{p_j} \rangle = \langle u_{p_i} | \frac{\partial}{\partial x_k} | u_{p_j} \rangle \quad (3.41)$$

$$\langle u_{p_j} | \frac{\partial}{\partial x_k} | u_{p_i} \rangle = \langle u_{p_k} | \frac{\partial}{\partial x_j} | u_{p_i} \rangle \quad (3.42)$$

Resumiendo, los términos de matriz $\langle u_a | \frac{\partial}{\partial x_i} | u_b \rangle$ con $a, b = s, p_x, p_y, p_z$ no nulos son:

$$\langle u_s | \frac{\partial}{\partial x_i} | u_{p_i} \rangle = A \quad i = 1, 2, 3 \quad (3.43)$$

$$\langle u_{p_i} | \frac{\partial}{\partial x_j} | u_{p_k} \rangle = B \quad i \neq j \neq k \quad (3.44)$$

y todas las permutaciones i,j,k

- Términos del tipo $\langle u_s | p_i | u_{d_{jk}} \rangle$

$$\begin{aligned} \langle u_{p_i} | \frac{\partial}{\partial x_i} | u_{d_{jk}} \rangle &= \sum_{\vec{R}, \vec{R}'} \int f_s(|\vec{r} - \vec{R}|) \frac{\partial(x_j - R'_j)(x_k - R'_k) f_d(|\vec{r} - \vec{R}'|)}{\partial x_i} d^3 r = \\ &= \sum_{\vec{R}, \vec{R}''} \int f_s(|\vec{r} - \vec{R}|) [\delta_{ij} x'_k + \delta_{ik} x'_j f_d(r') + x'_j x'_k x'_i g_d(r')] \mathfrak{B} d^3 \mathfrak{r} \end{aligned}$$

Aplicando argumentos de simetría tenemos los siguientes casos:

- $i = j = k$

$$\langle u_s | p_i | u_{d_{ii}} \rangle = 0 \quad (3.46)$$

- $j = k \neq i$

$$\langle u_s | p_i | u_{d_{jj}} \rangle = 0 \quad (3.47)$$

- $i = j \neq k$

$$\langle u_s | p_i | u_{d_{ik}} \rangle = 0 \quad (3.48)$$

- $i \neq j \neq k$

$$\langle u_s | p_i | u_{d_{jk}} \rangle \neq 0 \quad (3.49)$$

Por lo tanto la función de onda u_s no acopla con las funciones $u_{d_{3z^2-r^2}}$ ni con $u_{d_{x^2-y^2}}$ pero si con $u_{d_{xz}}, u_{d_{xy}}$ y $u_{d_{yz}}$

- Términos del tipo $\langle u_s | p_i | u_{f_{jkl}} \rangle$

$$\begin{aligned} \langle u_s | \frac{\partial}{\partial x_i} | u_{f_{jkl}} \rangle &= \sum_{\vec{R}, \vec{R}''} \int f_s(|\vec{r} - \vec{R}''|) [\{\delta_{ij}x'_k x'_l + \delta_{ik}x'_j x'_l + \delta_{il}x'_j x'_k\} f_f(r') + \\ &+ x'_j x'_k x'_l x'_i g_f(r')] d^3 r' \quad j \neq k \neq l \end{aligned} \quad (3.50)$$

Aplicando argumentos de simetría

$$\langle u_s | p_i | u_{f_{jkl}} \rangle = 0 \quad (3.51)$$

- Términos del tipo $\langle u_{p_i} | p_j | u_{d_{kl}} \rangle$

$$\begin{aligned} \langle u_s | \frac{\partial}{\partial x_i} | u_{d_{jk}} \rangle &= \sum_{\vec{R}, \vec{R}''} \int (x'_i - R''_i) f_p(|\vec{r} - \vec{R}''|) [\{\delta_{jk}x'_l + \delta_{jl}x'_k\} f_d(r') + \\ &+ x'_j x'_k x'_l g_d(r')] d^3 r' \end{aligned} \quad (3.52)$$

Aplicando operaciones de simetría se tienen los siguientes casos:

- $i = j = k = l$

$$\langle u_{p_i} | p_i | u_{d_{ii}} \rangle \neq 0 \quad (3.53)$$

- $i = j \neq k = l$

$$\langle u_{p_i} | p_i | u_{d_k} \rangle \neq 0 \quad (3.54)$$

- $i \neq j = k = l$

$$\langle u_{p_i} | p_j | u_{d_{jj}} \rangle = 0 \quad (3.55)$$

- $i \neq j \neq k = l$

$$\langle u_{p_i} | p_j | u_{d_{kk}} \rangle = 0 \quad (3.56)$$

- $i = j = k \neq l$

$$\langle u_{p_i} | p_i | u_{d_{il}} \rangle = 0 \quad (3.57)$$

- $i = j \neq k \neq l$

$$\langle u_{p_i} | p_i | u_{d_{kl}} \rangle = 0 \quad (3.58)$$

- $i \neq j \neq k \neq l$, necesariamente k o l deben ser iguales a i

$$\langle u_{p_i} | p_j | u_{d_{il}} \rangle = 0 \quad (3.59)$$

- $i \neq j = k \neq l$, necesariamente l debe ser igual a i

$$\langle u_{p_i} | p_k | u_{d_{ki}} \rangle = 0 \quad (3.60)$$

Elementos de matriz de $H_{\vec{k} \cdot \vec{p}}$ no nulos para materiales zinc-blenda

- $\langle u_s^c | p_k | u_{p_j}^v \rangle = -i P k_j$

$$P = \frac{\hbar^2}{m} A \quad (3.61)$$

$$\begin{aligned} A &= \langle u_s^c | \frac{\partial}{\partial x_j} | u_{p_j}^v \rangle \\ &= \sum_{\vec{R}, \vec{R}''} \int f_s(|\vec{r}' - \vec{R}''|) \left[f_p(r') + \frac{x_j'^2}{r'} \frac{df_p}{dr'} \right] d^3 r' \end{aligned} \quad (3.62)$$

- $\langle u_s^c | p_k | u_{p_j}^c \rangle = -i P' k_j$

$$P' = \frac{\hbar^2}{m} A' \quad (3.63)$$

$$\begin{aligned} A' &= \langle u_s^c | \frac{\partial}{\partial x_j} | u_{p_j}^c \rangle \\ &= \sum_{\vec{R}, \vec{R}''} \int f_s(|\vec{r}' - \vec{R}''|) \left[f'_p(r') + \frac{x_j'^2}{r'} \frac{df'_p}{dr'} \right] d^3 r' \end{aligned} \quad (3.64)$$

- $\langle u_s^c | p_k | u_{d_{jk}}^c \rangle = -i S k_i \quad i \neq j \neq k$

$$S = \frac{\hbar^2}{m} C \quad (3.65)$$

$$\begin{aligned} C &= \langle u_s^c | \frac{\partial}{\partial x_j} | u_{d_{jk}}^c \rangle \\ &= \sum_{\vec{R}, \vec{R}''} \int f_s(|\vec{r}' - \vec{R}''|) \left[\frac{x_j' x_k' x_i'}{r'} \frac{df_d}{dr'} \right] d^3 r' \end{aligned} \quad (3.66)$$

- $\langle u_{p_i}^v | p_k | u_{p_k}^c \rangle = -i Q k_j \quad i \neq j \neq k$

$$Q = \frac{\hbar^2}{m} B \quad (3.67)$$

$$\begin{aligned} B &= \langle u_{p_i}^v | \frac{\partial}{\partial x_j} | u_{p_k}^c \rangle \\ &= \sum_{\vec{R}, \vec{R}''} \int (x'_i - R''_i) \frac{x'_j x'_k}{r'} f_p(|\vec{r}' - \vec{R}''|) \frac{df_p}{dr'} d^3 r' \end{aligned} \quad (3.68)$$

■ $\langle u_{p_x}^v | H_{\vec{k} \cdot \vec{p}} | u_{d_{x^2-y^2}}^c \rangle = -i[P_3 - P_4]k_x$

■ $\langle u_{p_y}^v | H_{\vec{k} \cdot \vec{p}} | u_{d_{x^2-y^2}}^c \rangle = +i[P_3 - P_4]k_y$

■ $\langle u_{p_x}^v | H_{\vec{k} \cdot \vec{p}} | u_{d_{3z^2-r^2}}^c \rangle = +i[P_3 - P_4]k_x$

■ $\langle u_{p_y}^v | H_{\vec{k} \cdot \vec{p}} | u_{d_{3z^2-r^2}}^c \rangle = +i[P_3 - P_4]k_i$

■ $\langle u_{p_z}^v | H_{\vec{k} \cdot \vec{p}} | u_{d_{3z^2-r^2}}^c \rangle = i2[P_3 - P_4]k_z$

$$P_3 = \frac{\hbar^2}{m} D \quad (3.69)$$

$$\begin{aligned} D &= \langle u_{p_i}^v | \frac{\partial}{\partial x_i} | u_{d_{ii}}^c \rangle \\ &= \sum_{\vec{R}, \vec{R}''} \int (x'_i - R''_i) \frac{x'^3_j}{r'} f_p(|\vec{r}' - \vec{R}''|) \frac{df_d}{dr'} d^3 r' \end{aligned} \quad (3.70)$$

$$P_4 = \frac{\hbar^2}{m} E \quad i \neq j \quad (3.71)$$

$$\begin{aligned} E &= \langle u_{p_i}^v | \frac{\partial}{\partial x_i} | u_{d_{jj}}^c \rangle \quad i \neq j \\ &= \sum_{\vec{R}, \vec{R}''} \int (x'_i - R''_i) \frac{x'_i x'^2_j}{r'} f_p(|\vec{r}' - \vec{R}''|) \frac{df_d}{dr'} d^3 r' \end{aligned} \quad (3.72)$$

■ $\langle u_{p_i}^v | H_{\vec{k} \cdot \vec{p}} | u_{d_{ij}}^c \rangle = -iP_5 k_j \quad i \neq j$

$$P_5 = \frac{\hbar^2}{m} F \quad (3.73)$$

$$\begin{aligned} F &= \langle u_{p_i}^v | \frac{\partial}{\partial x_j} | u_{d_{ij}}^c \rangle \quad i \neq j \\ &= \sum_{\vec{R}, \vec{R}''} \int (x'_i - R''_i) f_p(|\vec{r}' - \vec{R}''|) \left[x'_i f_d(r') \frac{x'_i x'^2}{r'} \frac{df_d}{dr'} \right] d^3 r' \quad (3.74) \end{aligned}$$

Tomando como base $\{s^c, p_x^v, p_z^v, p_z^v\}$ la expresión matricial de $H_{\vec{k} \cdot \vec{p}}$ será

$$H_{\vec{k} \cdot \vec{p} 4 \times 4} = \left(\begin{array}{c|ccc} E_0 + \frac{\hbar^2 k^2}{2m} & -iPk_x & -iPk_y & -iPk_z \\ \hline iPk_x & \frac{\hbar^2 k^2}{2m} & 0 & 0 \\ iPk_y & 0 & \frac{\hbar^2 k^2}{2m} & 0 \\ iPk_z & 0 & 0 & \frac{\hbar^2 k^2}{2m} \end{array} \right) \quad (3.75)$$

Tomando como base $\{s^c, p_x^v, p_z^v, p_z^v, p_x^c, p_z^c, p_z^c\}$ la expresión matricial de $H_{\vec{k} \cdot \vec{p}}$ será

$$H_{\vec{k} \cdot \vec{p} 7 \times 7} = \left(\begin{array}{c|ccccc} E_0 + \frac{\hbar^2 k^2}{2m} & -iPk_x & -iPk_y & -iPk_z & -iP'k_x & -iP'k_y & -iP'k_z \\ \hline iPk_x & \frac{\hbar^2 k^2}{2m} & 0 & 0 & 0 & -iQk_z & -iQk_y \\ iPk_y & 0 & \frac{\hbar^2 k^2}{2m} & 0 & -iQk_z & 0 & -iQk_x \\ iPk_z & 0 & 0 & \frac{\hbar^2 k^2}{2m} & -iQk_y & -iQk_x & 0 \\ \hline iP'k_x & 0 & iQk_z & iQk_y & \frac{\hbar^2 k^2}{2m} + E'_0 & 0 & 0 \\ iP'k_y & iQk_z & 0 & iQk_x & 0 & \frac{\hbar^2 k^2}{2m} + E'_0 & 0 \\ iP'k_z & iQk_y & iQk_x & 0 & 0 & 0 & \frac{\hbar^2 k^2}{2m} + E'_0 \end{array} \right) \quad (3.76)$$

3.3. Teoría de perturbaciones de Löwdin

No es posible tomar una base completa de autofunciones del hamiltoniano debido a que la dimensión de ésta es infinita, La forma habitual de tratar este problema es tomar una base reducida con tan solo un conjunto de autofunciones del hamiltoniano. Por supuesto, esto implica que los resultados que se obtengan no serán exactos y en muchas ocasiones no son siquiera aceptables.

La teoría de perturbaciones de Löwdin divide el espacio de autofunciones en

dos conjuntos: A, que será la base, y B, que es el resto de autofunciones y trata los estados pertenecientes a B como perturbaciones a los estados A de tal manera que la expresión del hamiltoniano se modifica en la forma:

$$\overline{H}_{nm} \approx H_{nm} + \sum_{\alpha \in B} \frac{H'_{n\alpha} H'_{\alpha m}}{E - E_{\alpha\alpha}} \quad (3.77)$$

con $H'_{nm} = H_{nm}(1 - \delta_{nm})$

Donde sólo se ha tenido en cuenta el desarrollo hasta segundo orden.

El inconveniente de esta expresión es que el hamiltoniano perturbado depende explícitamente de los autovalores que queremos calcular. Para evitar este problema se puede tomar como E un promedio de las energías de los estados sin introducir por ello grandes errores en los resultados.

Escribiendo nuestro hamiltoniano en la forma $H_{nm} = H_{nm}\delta_{nm} + H'_{nm} = H_{nm}^0 + H_{kp}$ la expresión (3.78) puede reescribirse como:

$$\overline{H}_{nm} \approx H_{nm}^0 + H_{kp_{nm}} + \sum_{\alpha \in B} \left(\frac{H_{kp_{n\alpha}} H_{kp_{\alpha m}}}{\frac{E_n + E_m}{2} - E_{\alpha\alpha}} \right) \quad (3.78)$$

Es interesante notar en esta expresión que la perturbación es inversamente proporcional a la diferencia de energía de los estados y por ello podemos hacer la suma en α solamente a los estados más cercanos en energía a nuestra base sin introducir grandes errores en los resultados.

Por comodidad en la notación denotamos:

$$H_{per} = \sum_{\alpha \in B} \left(\frac{H_{kp_{n\alpha}} H_{kp_{\alpha m}}}{\frac{E_n + E_m}{2} - E_{\alpha\alpha}} \right) \quad (3.79)$$

3.3.1. Expresión matricial del hamiltoniano perturbado

- Hamiltoniano perturbado 4x4

Tomando $A = \{s^c, p_x^v, p_y^v, p_z^v\}$ y $B = \{p_x^c, p_y^c, p_z^c\}$ y haciendo uso de (3.78) se calcula la perturbación que los estados de B producen en los estados A.

$$\langle s^c | H_{per} | s^c \rangle = \frac{P'^2}{E_0 - E'_0} k^2 \quad (3.80)$$

$$\langle p_i^v | H_{per} | p_i^v \rangle = -\frac{Q^2}{E'_0} (k_y^2 + k_z^2) \quad (3.81)$$

$$\langle s^c | H_{per} | p_i^v \rangle = \frac{QP'}{2} \left(\frac{1}{E_0 - E'_0} - \frac{1}{E'_0} \right) k_j k_k \quad (3.82)$$

$$\langle p_i^v | H_{per} | p_j^v \rangle = -\frac{Q^2}{E'_0} k_i k_j \quad (3.83)$$

Ahora si tomamos como B los estados pertenecientes a las representaciones $\Gamma_1, \Gamma_2, \Gamma_{12}, \Gamma_{15}$ y Γ_{25} la expresión matricial del hamiltoniano perturbado es:

$$H_{per 4 \times 4} = \begin{pmatrix} Ak^2 & Bk_y k_x & Bk_y k_z & Bk_x k_z \\ \dagger & Lk_x^2 + M(k_y^2 + k_z^2) & Nk_x k_y & Nk_x k_y \\ \dagger & \dagger & Lk_y^2 + M(k_x^2 + k_z^2) & Nk_y k_z \\ \dagger & \dagger & \dagger & Lk_z^2 + M(k_x^2 + k_y^2) \end{pmatrix} \quad (3.84)$$

$$L = F + G \quad (3.85)$$

$$M = H_1 + H_2 \quad (3.86)$$

$$N = F - G + H_1 - H_2 \quad (3.87)$$

$$F = \frac{\hbar^2}{m_0^2} \sum_l^{\Gamma_1} \frac{|\langle p_x^v | p_x | u_l \rangle|^2}{E_{\Gamma_v} - E_l} \quad (3.88)$$

$$G \equiv \frac{\hbar^2}{2m_0^2} \sum_l^{\Gamma_{12}} \frac{|\langle p_x^v | p_x | u_l \rangle|^2}{E_{\Gamma_v} - E_l} \quad (3.89)$$

$$H_1 = \frac{\hbar^2}{m_0^2} \sum_l^{\Gamma_{15}} \frac{|\langle p_x^v | p_x | u_l \rangle|^2}{E_v - E_l} \quad (3.90)$$

$$H_2 = \frac{\hbar^2}{m_0^2} \sum_l^{\Gamma_{25}} \frac{|\langle p_x^v | p_x | u_l \rangle|^2}{E_v - E_l} \quad (3.91)$$

$$A = \frac{\hbar^2}{m_0^2} \sum_l^{\Gamma_{15}} \frac{|\langle s^c | p_x | u_l \rangle|^2}{E_c - E_l} \quad (3.92)$$

$$B = \frac{2\hbar^2}{m_0^2} \sum_{l \in \Gamma_{15}} \frac{|\langle s^c | p_x | u_l \rangle|^2}{\frac{E_0 + E_v}{2} - E_l} \quad (3.93)$$

$$(3.94)$$

En estos parámetros las sumas recorren los estados de las distintas representaciones irreducibles excluyendo los estados que pertenecen a A.

- Hamiltoniano perturbado 7x7

Si ahora tomamos como base $A = \{s^c, p_x^v, p_y^v, p_z^v, p_x^c, p_y^c, p_z^c\}$ y B el resto de estados, a los estados $\{s^c, p_i^v\}$ debemos quitarle la perturbación debida a los estados $\{p_i^c\}$ ya que ahora estos forman parte de la base. Los estados $\{p_i^c\}$ los dejamos sin perturbar debido a que no disponemos de valores experimentales de los términos $\langle p_i^c | H_{\vec{k}, \vec{p}} | u_l \rangle$ con $u_l \in B$. Hacer esto está justificado ya que la perturbación debida a estados más distantes en energía es menor y por lo tanto puede despreciarse sin cometer un error demasiado grande.

La matriz del hamiltoniano perturbativo en esta base tendrá la forma:

$$H_{per\,7\times 7} = \left(\begin{array}{cccc|ccc} A'k^2 & B'k_y k_x & B'k_y k_z & B'k_x k_z & 0 & 0 & 0 \\ \dagger & Lk_x^2 + M'(k_y^2 + k_z^2) & N'k_x k_y & N'k_x k_y & 0 & 0 & 0 \\ \dagger & \dagger & Lk_y^2 + M'(k_x^2 + k_z^2) & N'k_y k_z & 0 & 0 & 0 \\ \hline \dagger & \dagger & \dagger & Lk_z^2 + M'(k_x^2 + k_y^2) & 0 & 0 & 0 \\ 0 & 0 & 0 & 0 & 0 & 0 & 0 \\ 0 & 0 & 0 & 0 & 0 & 0 & 0 \\ 0 & 0 & 0 & 0 & 0 & 0 & 0 \end{array} \right) \quad (3.95)$$

$$A' = A - \frac{P'^2}{E_0 - E'_0} \quad (3.96)$$

$$B' = B - \frac{QP'}{2} \left(\frac{1}{E_0 - E'_0} - \frac{1}{E'_0} \right) \quad (3.97)$$

$$M' = M + \frac{Q^2}{E'_0} \quad (3.98)$$

$$N' = N + \frac{Q^2}{E'_0} \quad (3.99)$$

3.3.2. Calculo de masas efectivas mediante el método de perturbaciones de Löwdin

Lo poderoso del método de Löwdin es que aún eligiendo una base muy reducida, de pocos estados, si se tiene en cuenta la perturbación inducida simplemente por los estados más cercanos en energía el resultado que se obtiene para las bandas de energía es bastante acertado.

Recordando la expresión del tensor de masa efectiva inversa

$$m_{ij}^{-1} = \frac{1}{\hbar^2} \frac{\partial^2 E}{\partial k_i \partial k_j} \quad (3.100)$$

Para el calculo analítico de masas efectivas es muy útil hacer uso de la teoría de perturbaciones de Löwdin, sobre todo para estados degenerados. El procedimiento convencional para calcular la energía de estados degenerados por teoría de

perturbaciones es primero diagonalizar los estados para suprimir la degeneración y luego resolver por teoría de perturbaciones no degenerada.

Masa de electrones

Tomando $A = \{s^c\}$ y $B = \{p_x^v, p_y^v, p_z^v, p_x^c, p_y^c, p_z^c\}$ y haciendo uso de (3.78) se obtiene la energía del estado s^c perturbado.

$$\begin{aligned} E_{s^c}(\vec{k}) &= E_0 + \frac{\hbar^2 k^2}{2m_0} + k^2 \left(\frac{P^2}{E_0} + \frac{P'^2}{E_0 - E'_0} \right) \\ &= E_0 + \frac{\hbar^2 k^2}{2m_0} \left(1 + \frac{2m_0 c^2}{\hbar^2 c^2} \left(\frac{P^2}{E_0} + \frac{P'^2}{E_0 - E'_0} \right) \right) = \\ &= E_0 + \frac{\hbar^2 k^2}{2m_0} (1 + Z) \end{aligned} \quad (3.101)$$

Con $Z = (2m_0 c^2)/(\hbar^2 c^2) ((P^2)/(E_0) + (P'^2)/(E_0 - E'_0))$

Utilizando (3.100) se obtiene el tensor de masa efectiva inversa

$$m_{ij}^{-1} = \frac{1}{m} (1 + Z) \delta_{ij} \quad (3.102)$$

E invirtiendo

$$m_{ij} = \frac{1}{1 + Z} \delta_{ij} m \quad (3.103)$$

Huecos ligeros y huecos pesados

Para el calculo de la masa efectiva de los estados p_i^v se toma $A = \{p_x^v, p_y^v, p_z^v\}$ y $B = \{s^c, p_x^c, p_y^c, p_z^c\}$ y se procede de forma análoga. La diferencia es que ahora la base no tiene un solo estado y por lo tanto se debe construir el hamiltoniano perturbado y diagonalizarlo para obtener sus autovalores.

Aplicando (3.78) se obtiene:

$$\overline{H} = \begin{pmatrix} k^2 - Ak_x^2 - B(k_y^2 + k_z^2) & -(A+B)k_x k_y & -(A+B)k_x k_z \\ \dagger & k^2 - Ak_y^2 - B(k_x^2 + k_z^2) & -(A+B)k_y k_z \\ \dagger & \dagger & k^2 - Ak_z^2 - B(k_x^2 + k_y^2) \end{pmatrix} \quad (3.104)$$

Con

$$A = \frac{2m_0c^2}{\hbar^2c^2} \left(\frac{P^2}{E_0} \right) \quad (3.105)$$

$$B = \frac{2m_0c^2}{\hbar^2c^2} \left(\frac{Q^2}{E_0} \right) \quad (3.106)$$

Ahora particularizando para el eje $\vec{k} = (k, 0, 0)$:

$$\overline{H} = \frac{\hbar^2}{2m_0} \begin{pmatrix} (1-A)k^2 & 0 & 0 \\ 0 & (1-B)k^2 & 0 \\ 0 & 0 & (1-B)k^2 \end{pmatrix} \quad (3.107)$$

Del mismo modo se podría particularizar para el eje $\vec{k} = (0, k, 0)$ o $\vec{k} = (0, 0, k)$ obtenéndose los tres mismos autovalores.

Identificando con la expresión (3.100) se obtienen tres tensores isótropos de masa efectiva, dos iguales, correspondientes a los denominados huecos pesados (heavy holes) y otro correspondiente a los huecos ligeros (light holes).

$$M_{hh_{ij}} = \frac{1}{1-A} \delta_{ij} m \quad (3.108)$$

$$M_{lh_{ij}} = \frac{1}{1-B} \delta_{ij} m \quad (3.109)$$

3.4. Término $\vec{k} \cdot \vec{\pi}$ y de interacción spin-órbita en base de estados propios en el punto Γ

3.4.1. Términos nulos y no nulos del término $\vec{k} \cdot \vec{\pi}$

El término $\vec{k} \cdot \vec{\pi}$ tiene dos contribuciones, el término $\vec{k}\vec{p}$, que ya sabemos como actúa sobre los estados de la base y el término $\hbar/(4mc^2)\vec{k}[\vec{\sigma} \times \vec{\nabla}V(r)]$, que puede escribirse en la forma:

$$\frac{\hbar}{4mc^2} \vec{k} \left[\vec{\sigma} \times \vec{\nabla} V(r) \right] = \frac{\hbar}{4mc^2} \frac{1}{r} \frac{\partial V}{\partial r} \vec{k} [\vec{\sigma} \times \vec{r}] = g(r) \sum_{ijl} \epsilon_{ijl} k_i \sigma_j x_l \equiv \tau^{op} \quad (3.110)$$

En esta forma es fácil comprobar que términos son distintos de cero en las bases consideradas.

De acuerdo con la bibliografía este término es muy pequeño y a todos los efectos despreciable, no obstante, se va a tener en cuenta y se comprobará si verdaderamente tiene importancia o no. Para ello, primeramente hay que determinar que términos son nulos y cuales no.

Para simplificar un poco las cuentas, la integral a todos los espacios se restringe primeramente al espacio de coordenadas, si es cero en este espacio, independientemente del valor de la integral en el espacio de espín, el término será nulo. Para aquellos términos que la integral espacial no es nula, habrá que comprobar si la integral en el espacio de espín se anula o no.

- Términos del tipo $\langle u_s | \tau^{op} | u_s \rangle$

$$\langle u_s | \tau^{op} | u_s \rangle = \sum_{\vec{R}, \vec{R}'} \sum_{ijl} \epsilon_{ijl} k_i \sigma_j \int x_l g(r) f_s(|\vec{r} - \vec{R}|) f_s(|\vec{r} - \vec{R}'|) d^3 \mathfrak{B}.111$$

Aplicando el operador σ_d^3 que transforma las coordenadas $\vec{r} \rightarrow (x_2, x_1, x_3)$ aparece un signo menos debido al tensor de Levi-Civita

$$\begin{aligned} \langle u_s | \tau^{op} | u_s \rangle^{\sigma_d^3} &= \langle u_s | \tau^{op} | u_s \rangle = \\ &= - \sum_{\vec{R}, \vec{R}'} \sum_{ijl} \epsilon_{ijl} k_i \sigma_j \int x_l g(r) f_s(|\vec{r} - \vec{R}|) f_s(|\vec{r} - \vec{R}'|) d^3 r = \\ &= - \langle u_s | \tau^{op} | u_s \rangle = 0 \end{aligned} \quad (3.112)$$

- Términos del tipo $\langle u_{p_a} | \tau^{op} | u_{p_b} \rangle$

$$\langle u_{p_a} | \tau^{op} | u_{p_b} \rangle = \sum_{\vec{R}, \vec{R}'} \sum_{ijl} \epsilon_{ijl} k_i \sigma_j \int x_l g(r) (x_a - R_a) (x_b - R'_b) f_p(|\vec{r} - \vec{R}|) f_p(|\vec{r} - \vec{R}'|) d^3 r \quad (3.113)$$

- $a \neq b$

Aplicando una operación de simetría que intercambie las coordenadas a y b, aparece un signo menos y por lo tanto el término es nulo.

$$\langle u_{p_a} | \tau^{op} | u_{p_b} \rangle = 0 \quad (3.114)$$

- $a = b$

Haciendo lo mismo pero con las coordenadas que no son a, aparece también un signo menos.

$$\langle u_{p_a} | \tau^{op} | u_{p_a} \rangle = 0 \quad (3.115)$$

- Términos del tipo $\langle u_s | \tau^{op} | u_{p_a} \rangle$

$$\langle u_s | \tau^{op} | u_{p_a} \rangle = \sum_{\vec{R}, \vec{R}'} \sum_{ijl} \epsilon_{ijl} k_i \sigma_j \int x_l g(r) (x_a - R_a) f_s(|\vec{r} - \vec{R}|) f_p(|\vec{r} - \vec{R}'|) d^3 r \quad (3.116)$$

En principio este término no podemos hacerlo cero aplicando argumentos de simetría.

Veamos que ocurre en el espacio de espín. Para ello recordemos como actúan las matrices de Pauli en este espacio.

$$\begin{aligned}\sigma_1 |+\rangle &= |-\rangle & \sigma_1 |-\rangle &= |+\rangle \\ \sigma_2 |+\rangle &= i|-\rangle & \sigma_2 |-\rangle &= -i|+\rangle \\ \sigma_3 |+\rangle &= |+\rangle & \sigma_3 |-\rangle &= -|-\rangle\end{aligned}\quad (3.117)$$

Por lo tanto términos tipo $\langle u_s + |\tau^{op}|u_{p_a} + \rangle$ ó $\langle u_s - |\tau^{op}|u_{p_b} - \rangle$ sólo conectan a través de σ_3 .

Y términos del tipo $\langle u_s + |\tau^{op}|u_{p_a} - \rangle$ ó $\langle u_s - |\tau^{op}|u_{p_b} + \rangle$ sólo conectan a través de σ_1 ó σ_2

- Términos tipo $\langle u_s \pm |\tau^{op}|u_{p_a} \pm \rangle$

◦ $a = 1$

$$\langle u_s \pm |\tau^{op}|u_{p_1} \pm \rangle \propto \langle u_s \pm |k_2 x_1 \sigma_3|u_{p_1} \pm \rangle = \begin{cases} +C_\pi k_2 & \langle +|+ \rangle \\ -C_\pi k_2 & \langle -|- \rangle \end{cases} \quad (3.118)$$

◦ $a = 2$

$$\langle u_s \pm |\tau^{op}|u_{p_2} \pm \rangle \propto \langle u_s \pm | - k_1 x_2 \sigma_3|u_{p_2} \pm \rangle = \begin{cases} -C_\pi k_1 & \langle +|+ \rangle \\ +C_\pi k_1 & \langle -|- \rangle \end{cases} \quad (3.119)$$

◦ $a = 3$

$$\langle u_s \pm |\tau^{op}|u_{p_3} \pm \rangle = 0 \quad (3.120)$$

ya que $\epsilon_{i33} = 0$

- Términos tipo $\langle u_s \mp |\tau^{op}|u_{p_a} \pm \rangle$

◦ $a = 1$

$$\langle u_s \mp |\tau^{op}|u_{p_1} \pm \rangle \propto \langle u_s \mp | - k_3 x_1 \sigma_2|u_{p_1} \pm \rangle = \begin{cases} -iC_\pi k_3 & \langle -|+ \rangle \\ +iC_\pi k_3 & \langle +|- \rangle \end{cases} \quad (3.121)$$

o $a = 2$

$$\langle u_s \mp | \tau^{op} | u_{p_2} \pm \rangle \propto \langle u_s \mp | k_3 x_2 \sigma_1 | u_{p_2} \pm \rangle = \begin{cases} +C_\pi k_3 & \langle -|+ \rangle \\ +C_\pi k_3 & \langle +|- \rangle \end{cases} \quad (3.122)$$

o $a = 3$

$$\begin{aligned} \langle u_s \mp | \tau^{op} | u_{p_2} \pm \rangle &\propto \langle u_s \mp | -k_2 x_3 \sigma_1 + k_1 x_3 \sigma_2 | u_{p_3} \pm \rangle \quad (3.123) \\ &= \begin{cases} -C_\pi (k_2 - ik_1) & \langle -|+ \rangle \\ -C_\pi (k_2 + ik_1) & \langle +|- \rangle \end{cases} \quad (3.124) \end{aligned}$$

3.4.2. Forma matricial del término τ^{op}

- Base 8×8 : $\{s^c \uparrow, s^c \downarrow, p_x^v \uparrow, p_y^v \uparrow, p_z^v \uparrow, p_x^v \downarrow, p_y^v \downarrow, p_z^v \downarrow\}$

$$H_{\tau^{op} 8 \times 8} = \left(\begin{array}{c|cccccc} 0 & k_2 C_\pi & -k_1 C_\pi & k_2 C_\pi & 0 & ik_3 C_\pi & -(k_2 + ik_1) C_\pi \\ -ik_3 C_\pi & k_3 C_\pi & -A(k_2 - ik_1) C_\pi & -k_2 C_\pi & k_1 C_\pi & 0 & \\ \hline \dagger & & & & & 0 & \end{array} \right) \quad (3.125)$$

3.4.3. Término de espín-órbita

El otro término que aparece al introducir la interacción espín orbita tiene la forma $\lambda \vec{\sigma} \cdot \vec{l}$.

Reescribiéndolo en función del momento angular total:

$$\vec{J} = \vec{\sigma} + \vec{l} \Rightarrow J^2 = \sigma^2 + l^2 + 2\vec{\sigma} \cdot \vec{l} \Rightarrow \vec{\sigma} \cdot \vec{l} = \frac{1}{2}(J^2 - \sigma^2 - l^2) \quad (3.126)$$

La ventaja de escribirlo así es que en el punto Γ , el hamiltoniano commuta con \vec{J} y por lo tanto se puede encontrar una base común de autovalores de H, J^2 y J_z en la cual el término de espín órbita es diagonal.

Hasta ahora no hemos tenido en cuenta el espín del electrón, ya que H_0 no depende del espín y por lo tanto cada estado está doblemente degenerado, estando un electrón con proyección de espín $s_z = \frac{1}{2}$ y el otro con $s_z = -\frac{1}{2}$. Al tener en cuenta el espín del electrón se debe duplicar la base, teniéndose estados con proyección positiva y estados con proyección negativa.

Siendo la base duplicada $\{s^c \uparrow, s^c \downarrow, p_x^v \uparrow, p_y^v \uparrow, p_z^v \uparrow, p_x^v \downarrow, p_y^v \downarrow, p_z^v \downarrow\}$ ¹ el hamiltoniano, sin tener todavía en cuenta la interacción espín-órbita, tendrá la forma

$$H_{4 \times 4}^{doble} = \left(\begin{array}{c|c|c|c} H_{ss} & 0 & H_{sp^v} & 0 \\ \hline 0 & H_{ss} & 0 & H_{sp^v} \\ \hline H_{sp^v}^\dagger & 0 & H_{p^v p^v} & 0 \\ \hline 0 & H_{sp^v}^\dagger & 0 & H_{p^v p^v} \end{array} \right) \quad (3.127)$$

Siendo

$$H_{4 \times 4} = \left(\begin{array}{c|c} H_{ss} & H_{sp^v} \\ \hline H_{sp^v}^\dagger & H_{p^v p^v} \end{array} \right) \quad (3.128)$$

Ahora bien, esa base no está compuesta por funciones propias de J^2 y J_z , y por tanto el término de interacción de espín órbita no tiene una expresión diagonal.

¹La base se podría haber ordenado en la forma $\{Estados \uparrow, Estados \downarrow\}$, lo cual sería bastante conveniente a la hora de construir el hamiltoniano $H_{4 \times 4}$ en la base duplicada:

$$H_{4 \times 4}^{doble} = \left(\begin{array}{c|c} H_0 & 0 \\ \hline 0 & H_0 \end{array} \right)$$

Sin embargo, esto no es conveniente para la expresión del cambio de base ya que los estados p_i no están agrupados juntos.

Ordenando la base en la forma elegida se obtiene una matriz de cambio de base diagonal por cajas lo que facilita bastante la escritura del programa, sobre todo cuando el cambio de base se realiza entre bases de 14 elementos.

Para ello hay que hacer un cambio de base a la base resultado de acoplar el espín del electrón con su momento angular orbital:

$$\{|\frac{1}{2}, \frac{1}{2}\rangle^{s^c}, |\frac{1}{2}, -\frac{1}{2}\rangle^{s^c}|\frac{3}{2}, \frac{3}{2}\rangle^{p^v}, |\frac{3}{2}, \frac{1}{2}\rangle^{p^v}, |\frac{3}{2}, -\frac{1}{2}\rangle^{p^v}, |\frac{3}{2}, -\frac{3}{2}\rangle^{p^v}, |\frac{1}{2}, \frac{1}{2}\rangle^{p^v}, |\frac{1}{2}, -\frac{1}{2}\rangle^{p^v}\} \quad (3.129)$$

Para pasar a esta nueva base basta con notar que los armónicos esféricos se escriben en función de los orbitales p_i en la forma:

$$Y_{11} = \frac{-1}{\sqrt{2}}(p_x + ip_y) \quad (3.130)$$

$$Y_{10} = p_z \quad (3.131)$$

$$Y_{1-1} = \frac{1}{\sqrt{2}}(p_x - ip_y) \quad (3.132)$$

Y los estados de la nueva base se escriben en función de los armónicos esféricos en la forma:

$$|3/2, 3/2\rangle = Y_{11}|+\rangle \quad (3.133)$$

$$|3/2, 1/2\rangle = \frac{1}{\sqrt{3}}Y_{11}|-\rangle + \sqrt{\frac{2}{3}}Y_{10}|+\rangle \quad (3.134)$$

$$|3/2, -1/2\rangle = \sqrt{\frac{2}{3}}Y_{10}|-\rangle + \frac{1}{\sqrt{3}}Y_{1-1}|+\rangle \quad (3.135)$$

$$|3/2, -3/2\rangle = Y_{1-1}|-\rangle$$

$$|1/2, 1/2\rangle = \sqrt{\frac{2}{3}}Y_{11}|-\rangle - \frac{1}{\sqrt{3}}Y_{10}|+\rangle \quad (3.136)$$

$$|1/2, -1/2\rangle = \frac{1}{\sqrt{3}}Y_{10}|-\rangle - \sqrt{\frac{2}{3}}Y_{1-1}|+\rangle \quad (3.137)$$

Los estados tipo s ya se corresponden directamente con los estados

$$s \uparrow = |\frac{1}{2} \frac{+1}{2}\rangle^{s^c} \quad (3.138)$$

$$s \downarrow = |\frac{1}{2} \frac{-1}{2}\rangle^{s^c} \quad (3.139)$$

Por lo tanto la matriz del cambio de base será:

$$S_T = \begin{pmatrix} \mathbb{I}_{2 \times 2} & 0 \\ 0 & S \end{pmatrix} \quad (3.140)$$

Con

$$S = \begin{pmatrix} -\frac{1}{\sqrt{2}} & 0 & \frac{1}{\sqrt{6}} & 0 & 0 & -\frac{1}{\sqrt{3}} \\ -\frac{i}{\sqrt{2}} & 0 & -\frac{i}{\sqrt{6}} & 0 & 0 & \frac{i}{\sqrt{3}} \\ 0 & \sqrt{\frac{2}{3}} & 0 & 0 & -\frac{1}{\sqrt{3}} & 0 \\ 0 & -\frac{1}{\sqrt{6}} & 0 & \frac{1}{\sqrt{2}} & -\frac{1}{\sqrt{3}} & 0 \\ 0 & -\frac{i}{\sqrt{6}} & 0 & -\frac{i}{\sqrt{2}} & -\frac{i}{\sqrt{3}} & 0 \\ 0 & 0 & \sqrt{\frac{2}{3}} & 0 & 0 & \frac{1}{\sqrt{3}} \end{pmatrix} \quad (3.141)$$

La expresión matricial del término de espín órbita en esta base viene dado por la fórmula:

$$\langle J J_z l s | \lambda \vec{\sigma} \cdot \vec{l} | J' J'_z l' s' \rangle = \delta_{JJ'} \delta_{J_z J'_z} \delta_{ll'} \delta_{ss'} \frac{\lambda}{2} [j(j+1) - l(l+1) - s(s+1)] \quad (3.142)$$

Escrito en forma matricial:

En el caso de tener en cuenta los estados p^c y tomando como base original $\{s^c \uparrow, s^c \downarrow, p_x^v \uparrow, p_y^v \uparrow, p_z^v \uparrow, p_x^v \downarrow, p_y^v \downarrow, p_z^v \downarrow, p_x^c \uparrow, p_y^c \uparrow, p_z^c \uparrow, p_x^c \downarrow, p_y^c \downarrow, p_z^c \downarrow\}$, el hamiltoniano, sin tener todavía en cuenta la interacción espín-órbita, tendrá la forma

$$H_{7 \times 7}^{doble} = \left(\begin{array}{c|c|c|c|c|c} H_{ss} & 0 & H_{sp^v} & 0 & H_{sp^c} & 0 \\ \hline 0 & H_{ss} & 0 & H_{sp^v} & 0 & H_{sp^v} \\ \hline H_{sp^v}^\dagger & 0 & H_{p^v p^v} & 0 & H_{p^v p^c} & 0 \\ \hline 0 & H_{sp^v}^\dagger & 0 & H_{p^v p^v} & 0 & H_{p^v p^c} \\ \hline H_{sp^c}^\dagger & 0 & H_{p^v p^c}^\dagger & 0 & H_{p^c p^c} & 0 \\ \hline 0 & H_{sp^c}^\dagger & 0 & H_{p^v p^c}^\dagger & 0 & H_{p^c p^c} \end{array} \right) \quad (3.144)$$

Siendo

$$H_{7 \times 7} = \left(\begin{array}{c|c|c} H_{ss} & H_{sp^v} & H_{sp^c} \\ \hline H_{sp^v}^\dagger & H_{p^v p^v} & H_{p^v p^c} \\ \hline H_{sp^c}^\dagger & H_{p^v p^c}^\dagger & H_{p^c p^c} \end{array} \right) \quad (3.145)$$

Y la matriz para pasar a la base

$$\left\{ \left| \frac{1}{2}, \frac{1}{2} \right\rangle^{s^c}, \left| \frac{1}{2}, -\frac{1}{2} \right\rangle^{s^c} \middle| \frac{3}{2}, \frac{3}{2} \right\rangle^{p^v}, \left| \frac{3}{2}, \frac{1}{2} \right\rangle^{p^v}, \left| \frac{3}{2}, -\frac{1}{2} \right\rangle^{p^v}, \left| \frac{3}{2}, -\frac{3}{2} \right\rangle^{p^v}, \left| \frac{1}{2}, \frac{1}{2} \right\rangle^{p^v}, \left| \frac{1}{2}, -\frac{1}{2} \right\rangle^{p^v} \right\} \quad (3.146)$$

$$\left. \left\{ \left| \frac{3}{2}, \frac{3}{2} \right\rangle^{p^c}, \left| \frac{3}{2}, \frac{1}{2} \right\rangle^{p^c}, \left| \frac{3}{2}, -\frac{1}{2} \right\rangle^{p^c}, \left| \frac{3}{2}, -\frac{3}{2} \right\rangle^{p^c}, \left| \frac{1}{2}, \frac{1}{2} \right\rangle^{p^c}, \left| \frac{1}{2}, -\frac{1}{2} \right\rangle^{p^c} \right\} \right\} \quad (3.147)$$

$$S_T = \begin{pmatrix} \mathbb{I}_{2 \times 2} & 0 & 0 \\ 0 & S & 0 \\ 0 & 0 & S \end{pmatrix} \quad (3.148)$$

Y en esta base, la interacción espín-órbita tiene la forma

$$H_{so14 \times 14} = \frac{1}{2} \begin{pmatrix} (0 \cdot \mathbb{I}_{2 \times 2}) & 0 & 0 & 0 & 0 \\ 0 & (\lambda \cdot \mathbb{I}_{2 \times 2}) & 0 & 0 & 0 \\ 0 & 0 & (-2\lambda \cdot \mathbb{I}_{4 \times 4}) & 0 & 0 \\ 0 & 0 & 0 & (\lambda' \cdot \mathbb{I}_{2 \times 2}) & 0 \\ 0 & 0 & 0 & 0 & (-2\lambda' \cdot \mathbb{I}_{4 \times 4}) \end{pmatrix} \quad (3.149)$$

3.5. Parámetros y expresiones de los hamiltonianos

3.5.1. Parámetros

Los parámetros que se utilizan en este trabajo están tomados de [3] y se ha tomado la energía de la última banda de valencia, p_i^v como origen de energías.

Parámetro	Valor	Descripción
E_0 (eV)	1.519	Energía del estado s^c
E'_0 (eV)	4.488	Energía de los estados p_i^c
Δ_0 (eV)	0.341	Interacción espín órbita para p_i^v
Δ'_0 (eV)	0.171	Interacción espín órbita para p_i^c
P ($eV\text{\AA}$)	10.493	Término de matriz Ec (61)
P' ($eV\text{\AA}$)	4.780	Término de matriz Ec (63)
Q ($eV\text{\AA}$)	8.165	Término de matriz Ec (67)
C_π ($eV\text{\AA}$)	-0.0034	Término (kpi)
γ_1	6.85	
γ_2	2.10	Parámetros de Luttinger
γ_3	2.90	

Cuadro 3.2: Parámetros del hamiltoniano tomados de [3].

Los parámetros Δ_0 son la separación que produce la interacción espín-órbita en los estados p_i y se relacionan con los parámetros λ mediante la fórmula:

$$\lambda = \frac{\Delta_0}{3} ; \quad \lambda' = \frac{\Delta'_0}{3} \quad (3.150)$$

Los parámetros γ_1 , γ_2 y γ_3 son los denominados parámetros de Luttinger y se relacionan con los parámetros L , M y N por las fórmulas

$$L = -\frac{\hbar^2}{2m_0}(\gamma_1 + 4\gamma_2 + 1) \quad (3.151)$$

$$M = -\frac{\hbar^2}{2m_0}(\gamma_1 - 2\gamma_2 + 1) \quad (3.152)$$

$$L = -\frac{\hbar^2}{2m_0}6\gamma_3 \quad (3.153)$$

3.5.2. Expresiones de los hamiltonianos

Debido a que la expresión explícita del hamiltoniano sería muy grande y engorrosa lo que se ha hecho es dividir el hamiltoniano en términos de modo que el hamiltoniano es la suma de estos términos. Así pues, para cada una de las bases consideradas se tiene que las expresiones del hamiltoniano son:

- Hamiltoniano $H_{4 \times 4}$: base $\{s^c, p_x^v, p_y^v, p_z^v\}$

$$H_{4 \times 4} = H_{04 \times 4} + H_{per4 \times 4} + H_{\vec{k} \cdot \vec{p}_{4 \times 4}} \quad (3.154)$$

- Hamiltoniano $H_{7 \times 7}$: base $\{s^c, p_x^v, p_y^v, p_z^v, p_x^c, p_y^c, p_z^c\}$

$$H_{7 \times 7} = H_{07 \times 7} + H_{per7 \times 7} + H_{\vec{k} \cdot \vec{p}_{7 \times 7}} \quad (3.155)$$

- Hamiltoniano $H_{8 \times 8}$: base $\{|JJ_z\rangle\}$

$$H_{8 \times 8} = S_{T8 \times 8}^{-1} H_{4 \times 4}^{doble} S_{T8 \times 8} + H_{so8 \times 8} \quad (3.156)$$

- Hamiltoniano $H_{8 \times 8(kpi)}$: base $\{|JJ_z\rangle\}$

$$H_{8 \times 8} = S_{T8 \times 8}^{-1} (H_{4 \times 4}^{doble} + H_{\tau^{op}8 \times 8}) S_{T8 \times 8} + H_{so8 \times 8} \quad (3.157)$$

- Hamiltoniano $H_{14 \times 14}$: base $\{|JJ_z\rangle\}$

$$H_{14 \times 14} = S_{T14 \times 14}^{-1} H_{7 \times 7}^{doble} S_{T14 \times 14} + H_{so14 \times 14} \quad (3.158)$$

3.6. Estados propios del hamiltoniano y J_z

Desarrollando el commutador de J_z y $\vec{k} \cdot \vec{p}$ se tiene

$$\begin{aligned}
 [J_z, \vec{k} \cdot \vec{p}] &= [L_z, \vec{k} \cdot \vec{p}] + [\cancel{s_z}, \vec{k} \cdot \vec{p}]^0 = \left[L_z, \sum_i k_i p_i \right] = \\
 &= \left[x_1 p_2 - x_2 p_1, \sum_i k_i p_i \right] = [x_1 p_2, k_1 p_1] + [\cancel{x_1 p_2}, \cancel{k_2 p_2}]^0 + \\
 &+ [\cancel{x_1 p_2}, \cancel{k_3 p_3}]^0 = -[\cancel{x_2 p_2}, \cancel{k_1 p_1}] - [x_2 p_2, k_2 p_2] - [\cancel{x_2 p_2}, \cancel{k_3 p_3}] = \\
 &= i\hbar(k_1 p_2 - k_2 p_1) \tag{3.159}
 \end{aligned}$$

Por lo tanto, en general J_z no commuta con $\vec{k} \cdot \vec{p}$. Pero para ciertos puntos y ejes se tiene:

- Punto Γ $\vec{k} = (0, 0, 0) \rightarrow [J_z, \vec{k} \cdot \vec{p}] = 0$
- Eje Δ $\vec{k} = (0, 0, k) \rightarrow [J_z, \vec{k} \cdot \vec{p}] = 0$

Cabe añadir que en general los autoestados del hamiltoniano no son autoestados de $|J, J_z\rangle$ pero en la notación se ha utilizado la notación espectroscópica refiriéndose al estado sin perturbar en el punto *Gamma*.

Capítulo 4

Resultados

4.1. Bandas de energía

- Hamiltoniano $H_{4 \times 4}$

Representando los datos obtenidos considerando la base $\{s^c, p_x^v, p_y^v, p_z^v\}$ y sin tener en cuenta la interacción espín-órbita se obtienen las siguientes gráficas.

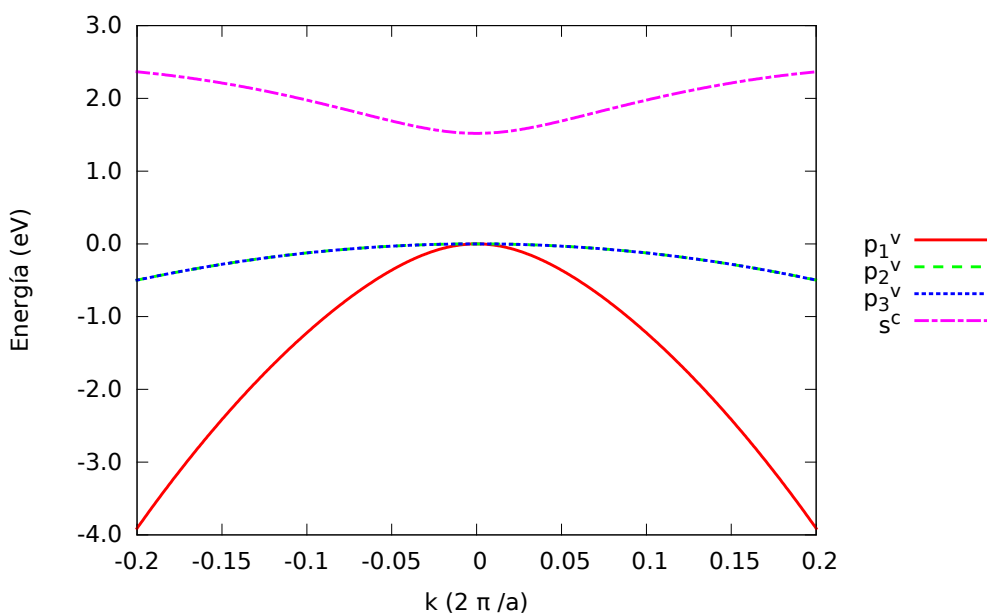
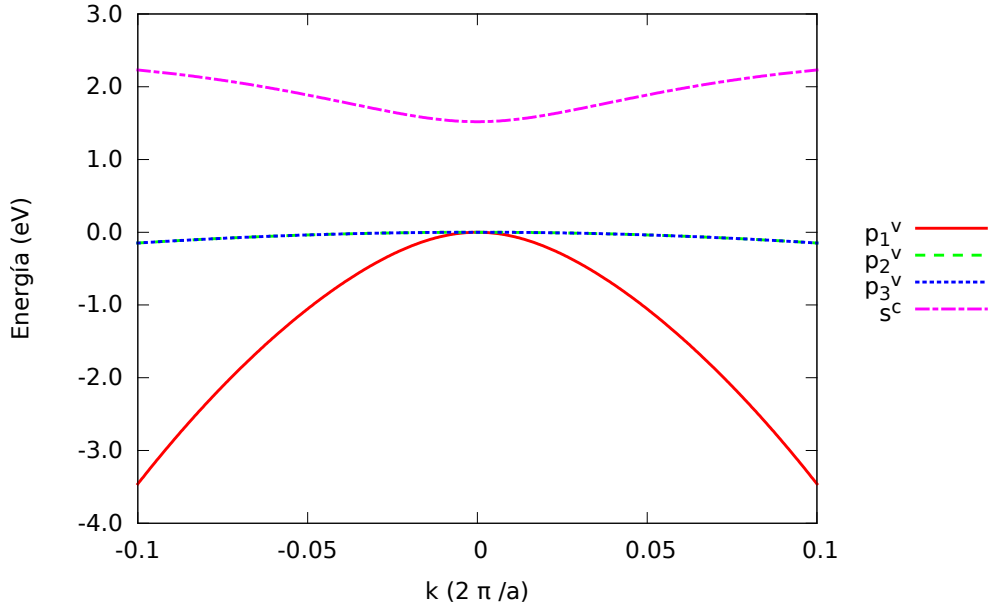
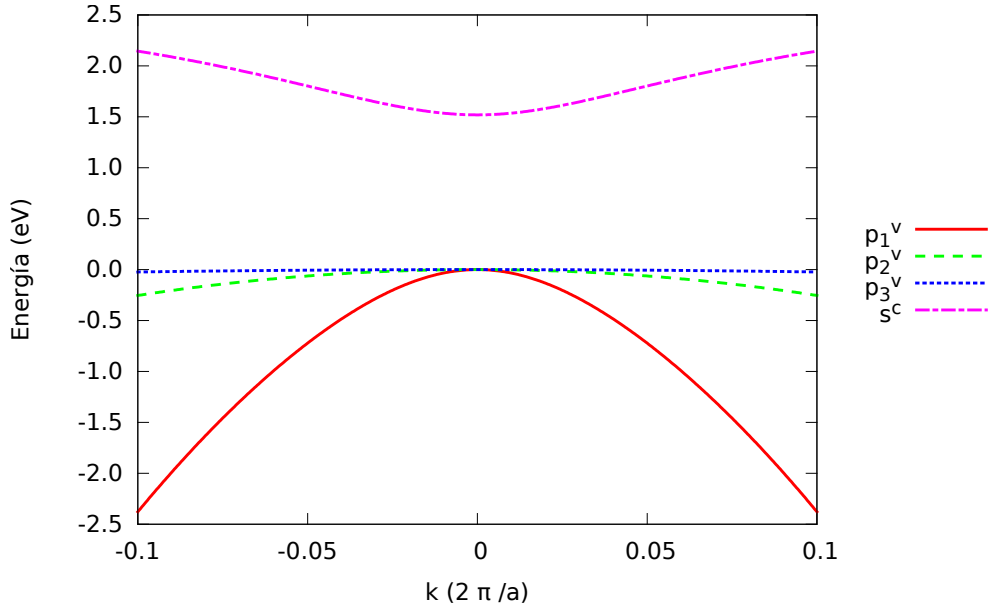


Figura 4.1: Bandas de energía para $H_{4 \times 4}$ a lo largo del eje $\Delta \vec{k} = (k, 0, 0)$

Figura 4.2: Bandas de energía para $H_{4\times 4}$ a lo largo del eje Λ $\vec{k} = (k, k, k)$ Figura 4.3: Bandas de energía para $H_{4\times 4}$ a lo largo del eje Σ $\vec{k} = (k, k, 0)$

- Hamiltoniano $H_{7\times 7}$

Representando ahora los datos obtenidos al considerar la base $\{s^c, p_x^v, p_y^v, p_z^v, p_x^c, p_y^c, p_z^c\}$ y sin tener en cuenta la interacción espín-órbita

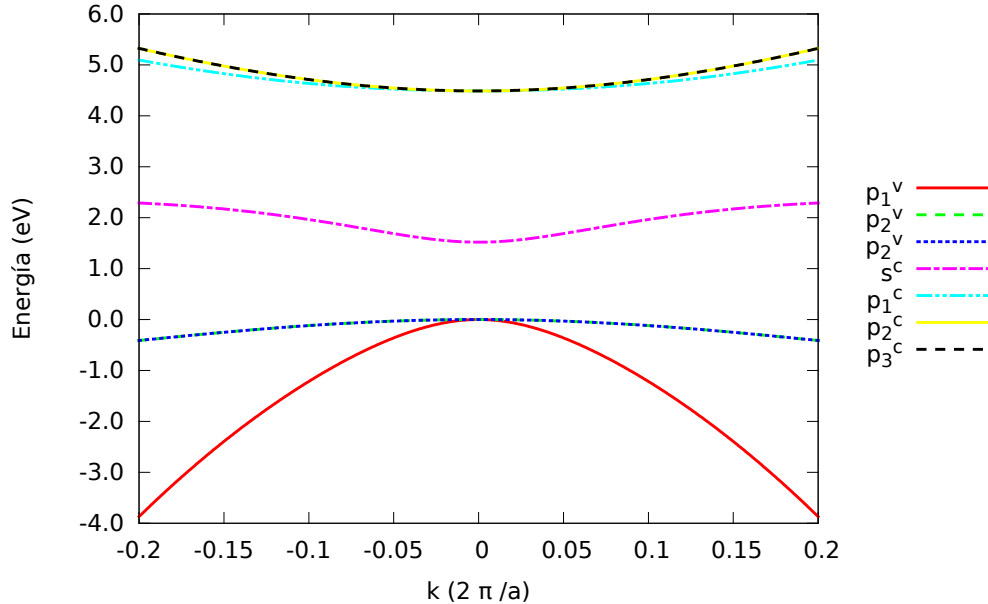


Figura 4.4: Bandas de energía para $H_{7 \times 7}$ a lo largo del eje $\Delta \vec{k} = (k, 0, 0)$

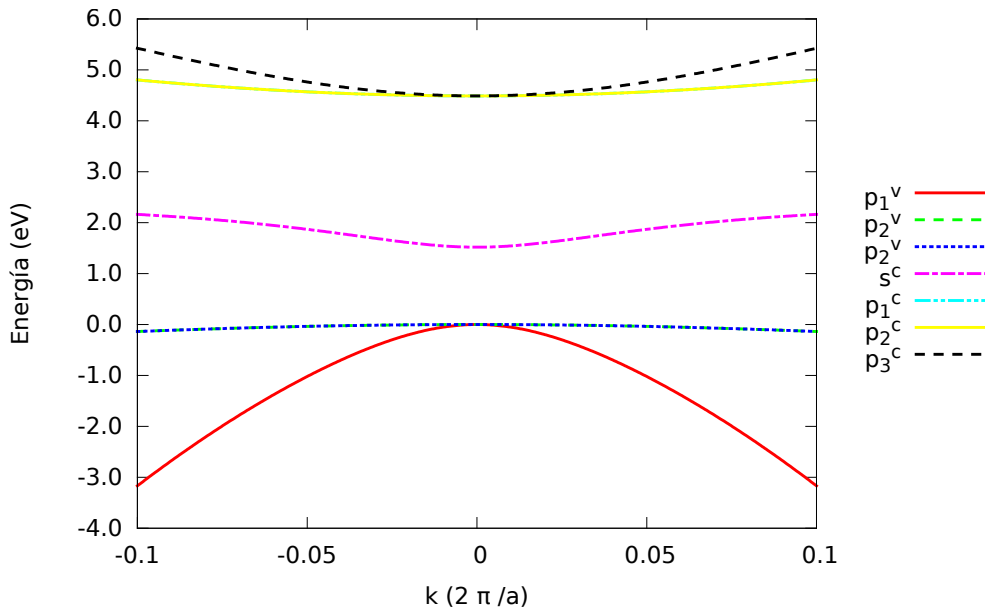


Figura 4.5: Bandas de energía para $H_{7 \times 7}$ a lo largo del eje $\Lambda \vec{k} = (k, k, k)$

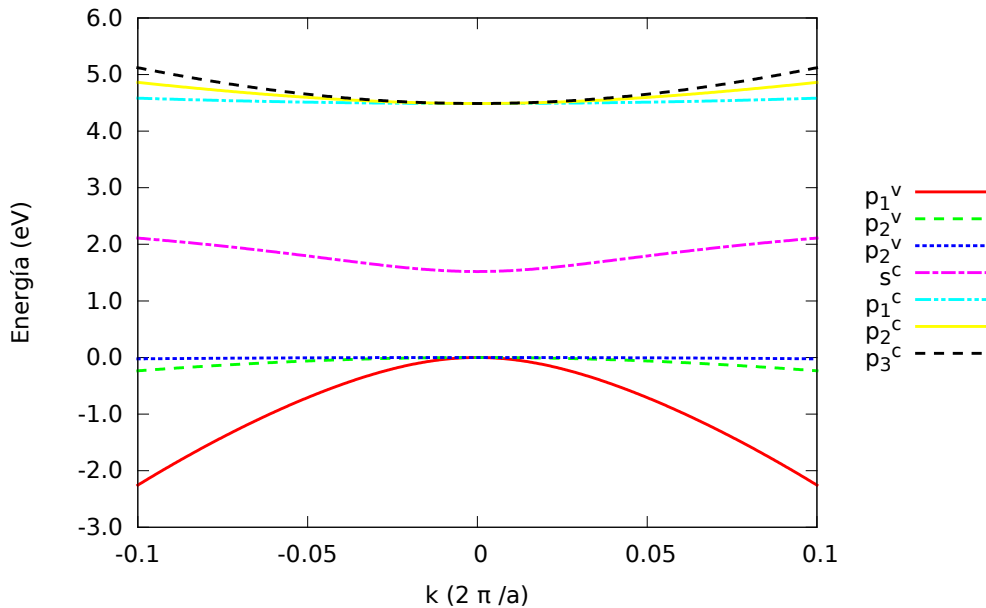


Figura 4.6: Bandas de energía para $H_{7\times 7}$ a lo largo del eje $\Sigma \vec{k} = (k, k, 0)$

■ Hamiltoniano $H_{8\times 8}$

Teniendo en cuenta la interacción espín-órbita en la base $\{s^c, p_x^v, p_y^v, p_z^v\}$

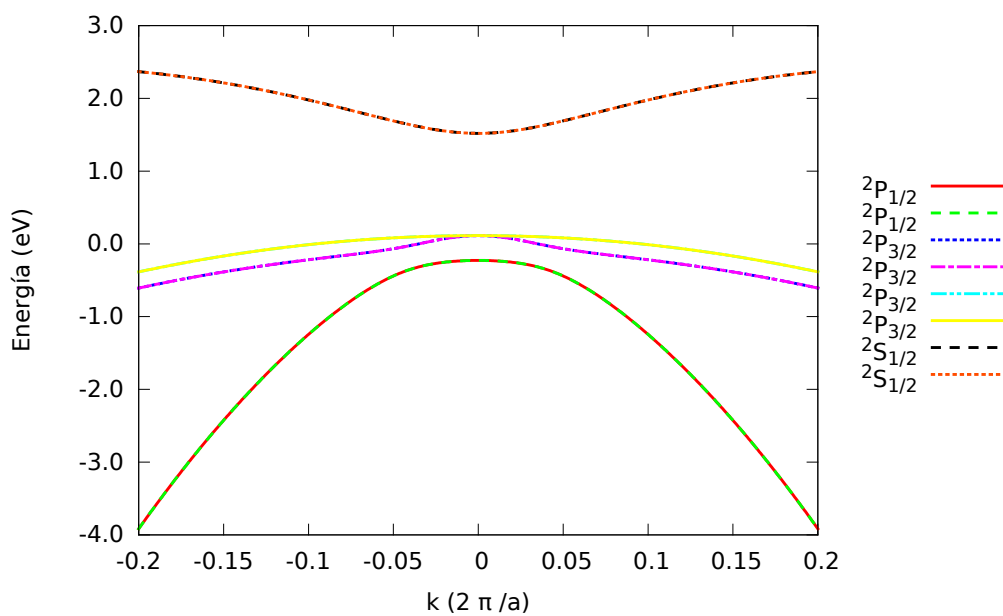


Figura 4.7: Bandas de energía para $H_{8\times 8}$ a lo largo del eje $\Delta \vec{k} = (k, 0, 0)$

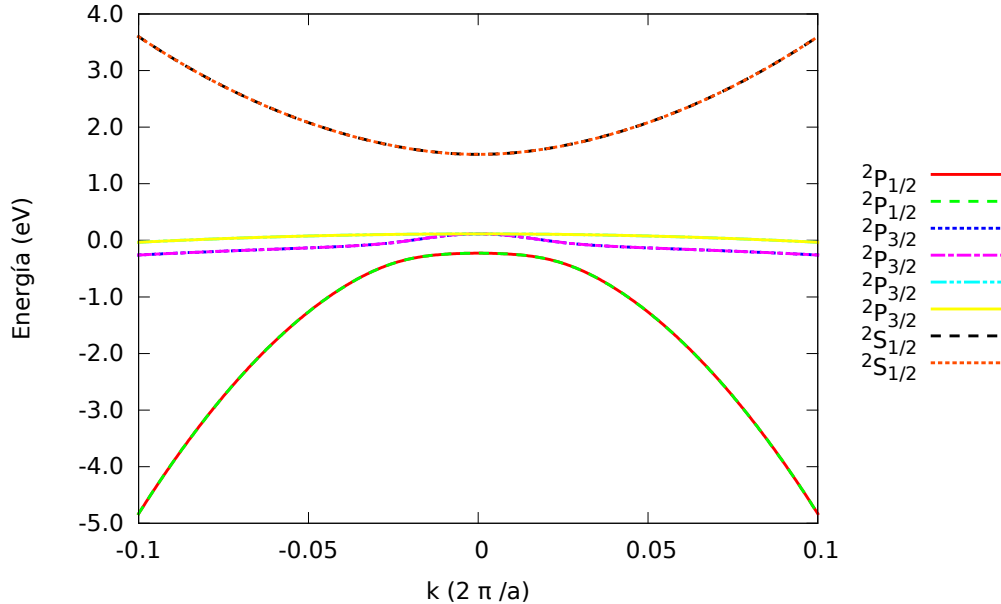


Figura 4.8: Bandas de energía para $H_{8\times 8}$ a lo largo del eje $\Lambda \vec{k} = (k, k, k)$

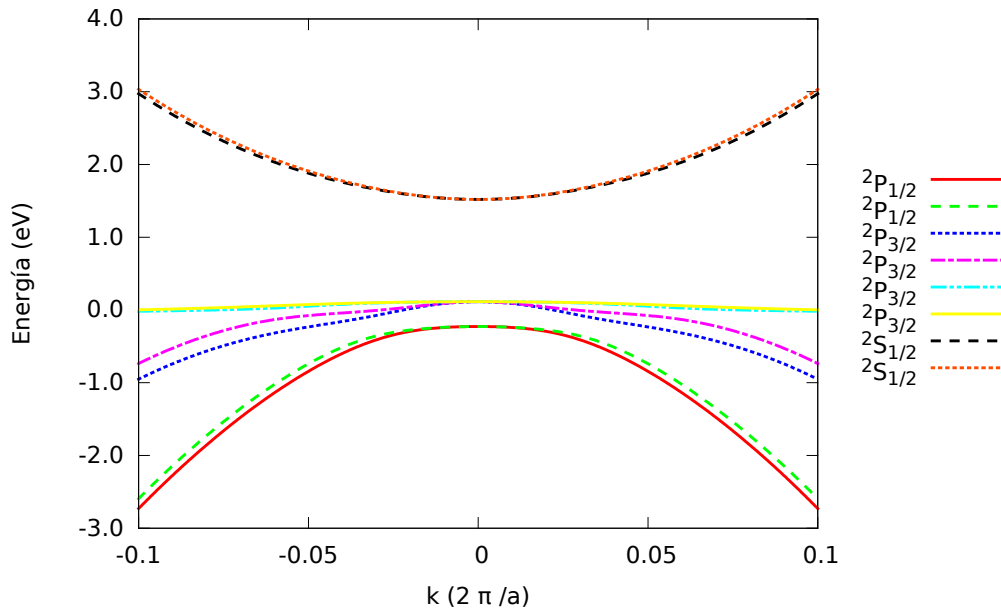


Figura 4.9: Bandas de energía para $H_{8\times 8}$ a lo largo del eje $\Sigma \vec{k} = (k, k, 0)$

- Hamiltoniano $H_{8 \times 8(k\pi)}$

Teniendo en cuenta el término $\vec{k} \cdot \vec{\pi}$

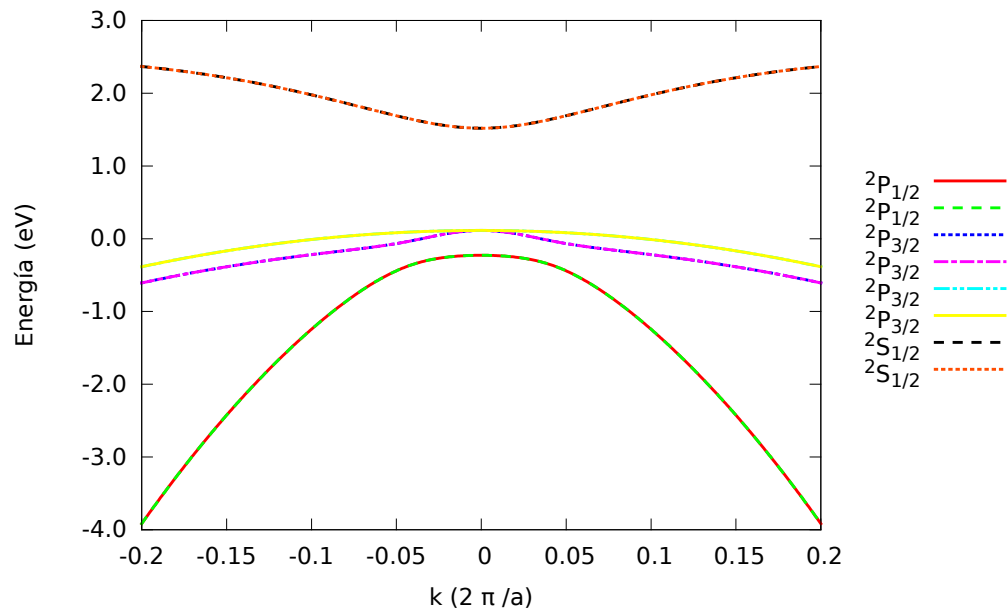


Figura 4.10: Bandas de energía para $H_{8 \times 8(k\pi)}$ a lo largo del eje $\Delta \vec{k} = (k, 0, 0)$

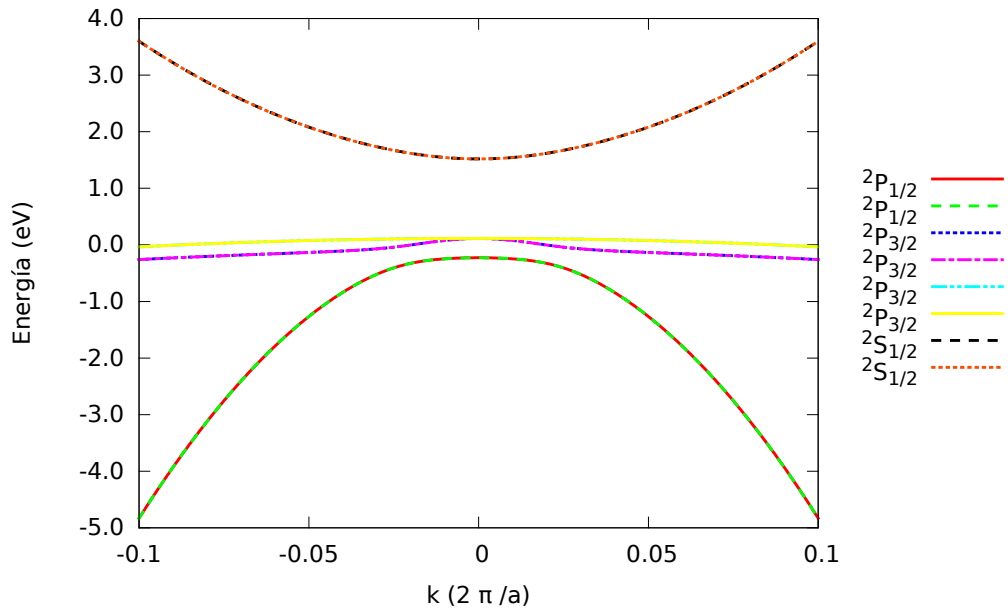


Figura 4.11: Bandas de energía para $H_{8 \times 8(k\pi)}$ a lo largo del eje $\Lambda \vec{k} = (k, k, k)$

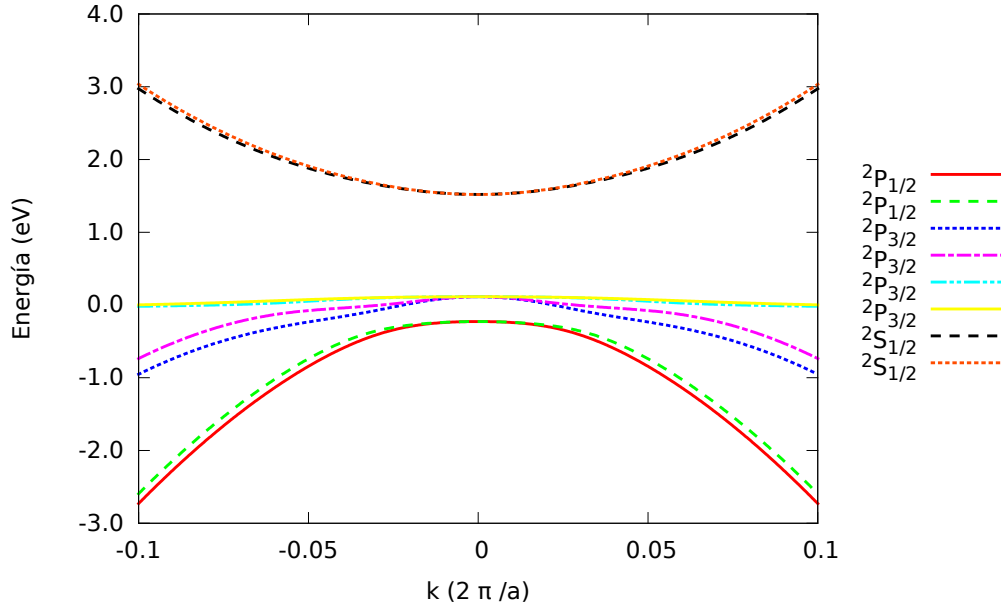


Figura 4.12: Bandas de energía para $H_{8\times 8(k\pi)}$ a lo largo del eje $\Sigma \vec{k} = (k, k, 0)$

- Hamiltoniano $H_{14\times 14}$

Teniendo en cuenta la interacción espín-órbita en la base $\{s^c, p_x^v, p_y^v, p_z^v, p_x^c, p_y^c, p_z^c\}$

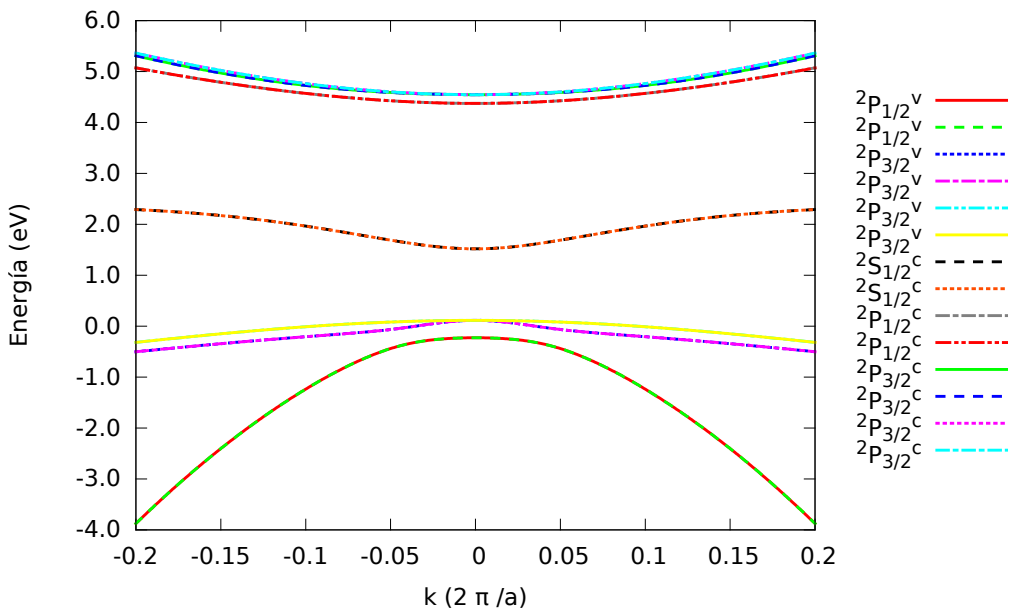


Figura 4.13: Bandas de energía para $H_{14\times 14}$ a lo largo del eje $\Delta \vec{k} = (k, 0, 0)$

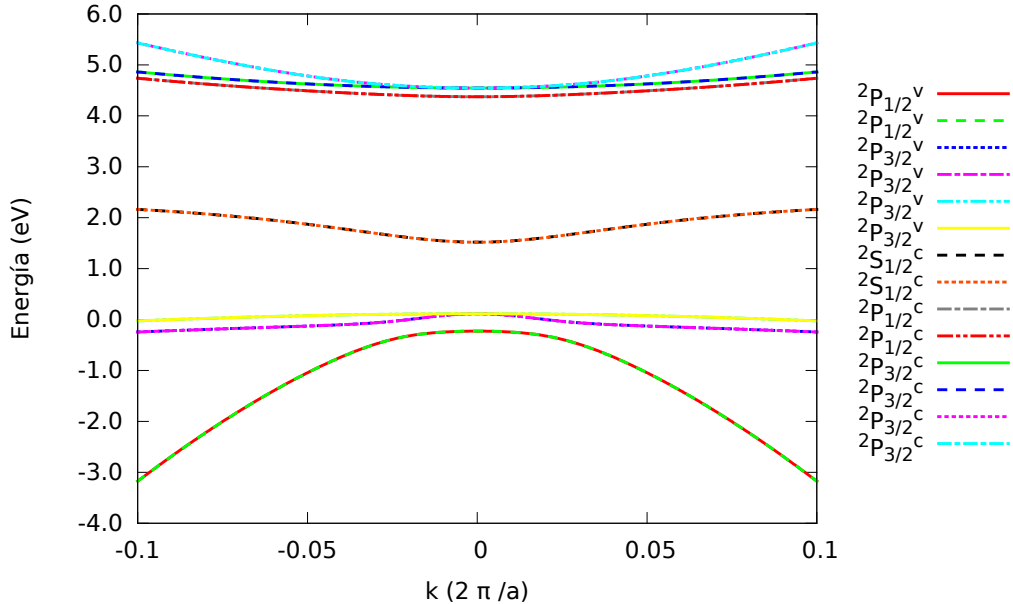


Figura 4.14: Bandas de energía para $H_{14 \times 14}$ a lo largo del eje Λ $\vec{k} = (k, k, k)$

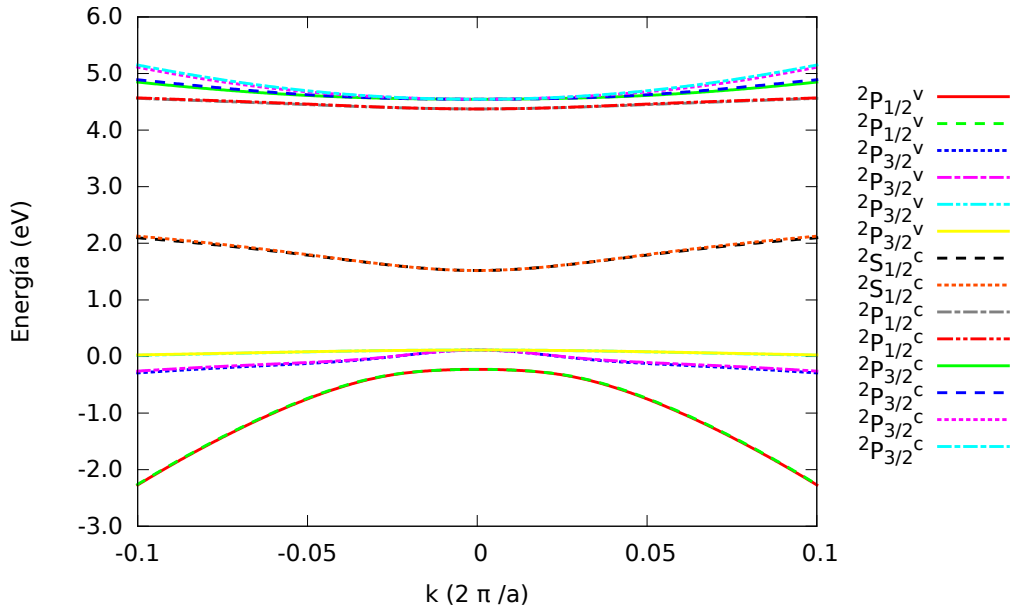


Figura 4.15: Bandas de energía para $H_{14 \times 14}$ a lo largo del eje Σ $\vec{k} = (k, k, 0)$

4.2. Superficies isoenergéticas

Mediante un programa que va barriendo el plano $(k_x, k_y, 0)$ y calculando el valor de la energía para cada banda en cada punto, se obtiene un conjunto de datos que nos permite hacernos una idea de la forma de las bandas. Estos datos se

pueden visualizar en dos formas: la primera es una representación tridimensional en la que el eje z corresponde a la energía del punto y la segunda es una gráfica de contorno en la que el valor de la energía viene representado por el color, de tal forma que aparecen líneas isoenergéticas correspondientes a cortes perpendiculares al eje z en la representación tridimensional.

- Hamiltoniano $H_{4 \times 4}$

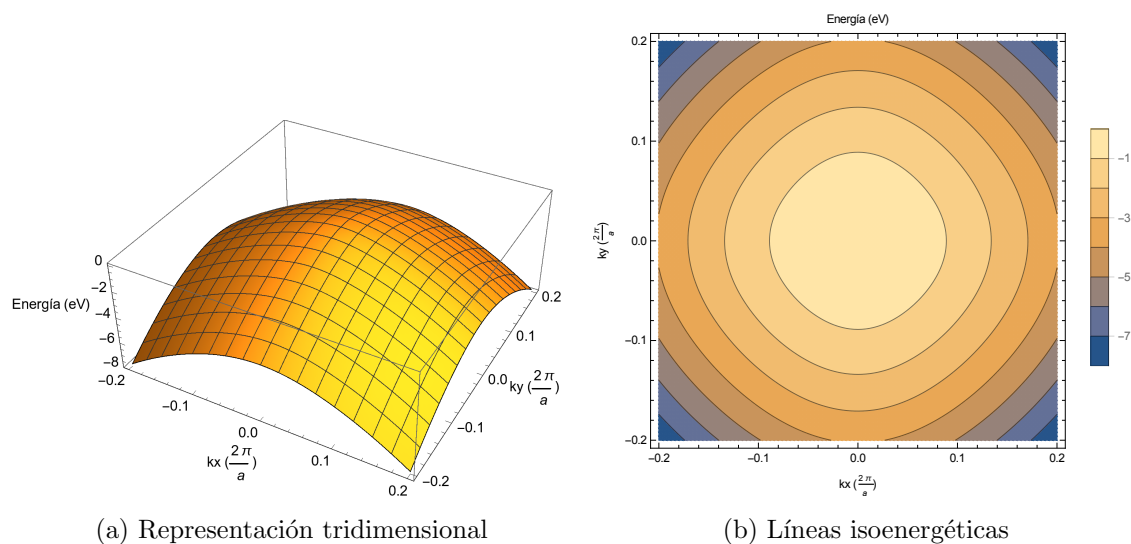


Figura 4.16: Primera banda tipo p^v para $H_{4 \times 4}$

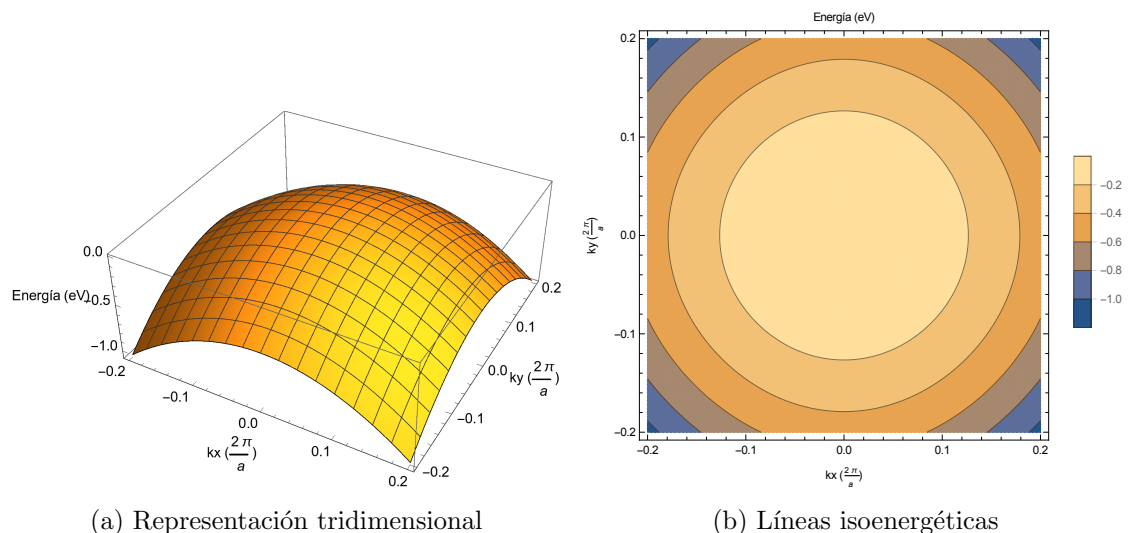
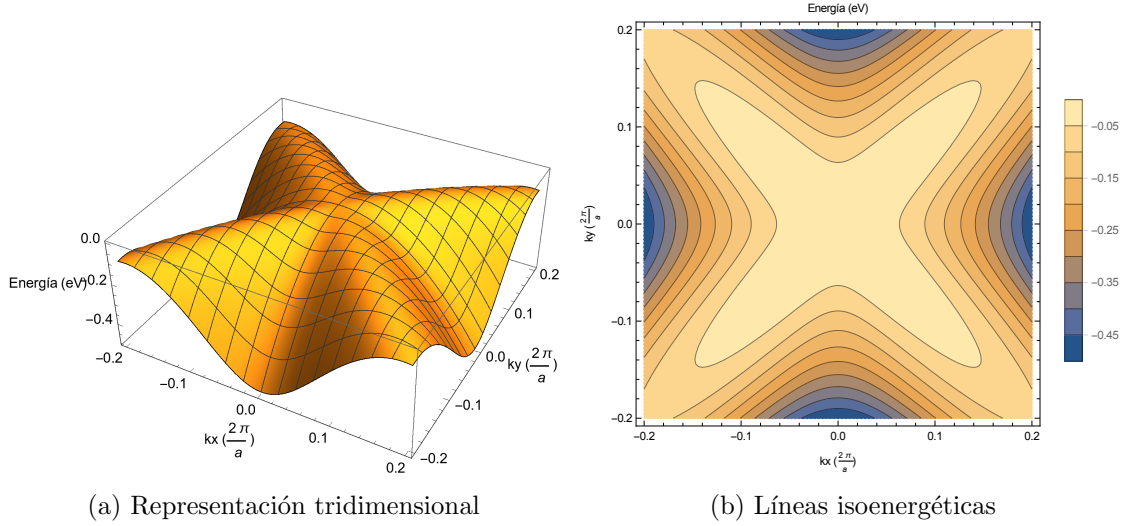
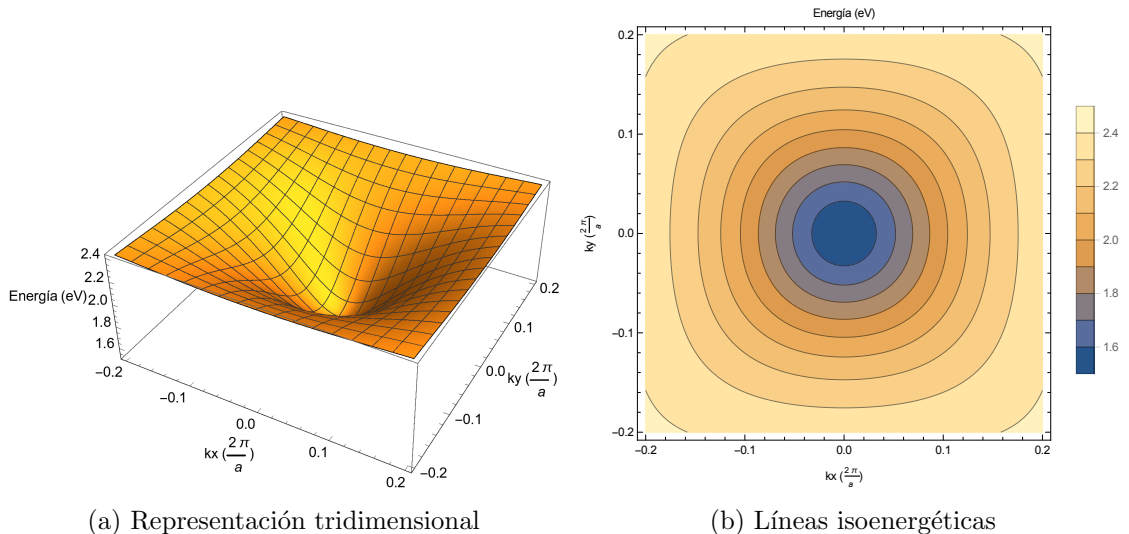


Figura 4.17: Segunda banda tipo p^v para $H_{4 \times 4}$

Figura 4.18: Tercera banda tipo p^v para $H_{4\times 4}$ Figura 4.19: Banda tipo s^c para $H_{4\times 4}$

Observando estas últimas gráficas se puede decir que la primera, segunda y cuarta banda son bandas bastante esféricas mientras que la tercera banda muestra una forma estrellada.

- Hamiltoniano $H_{7 \times 7}$

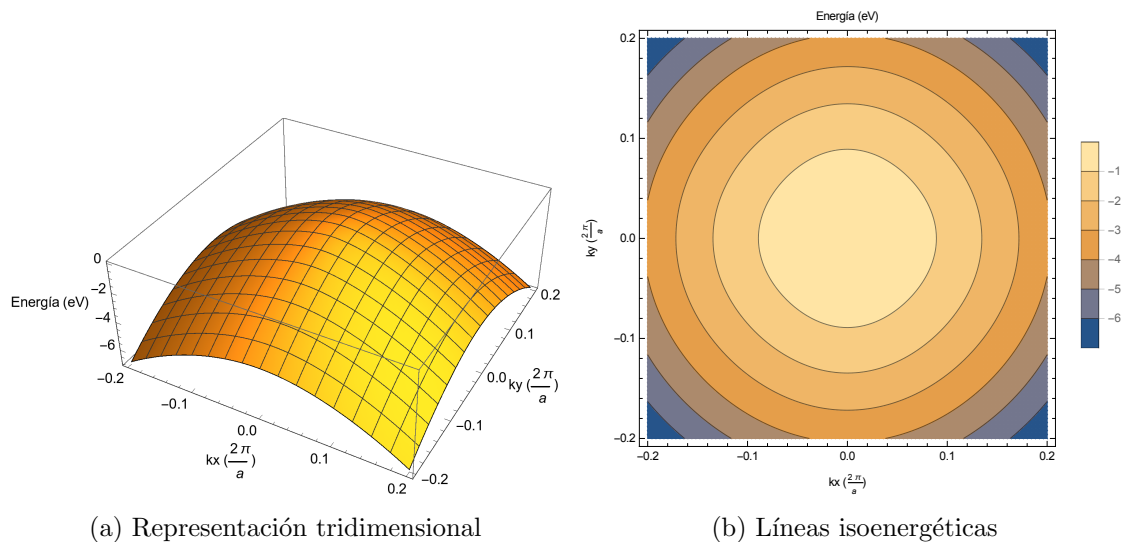


Figura 4.20: Primera banda tipo p^v para $H_{7 \times 7}$

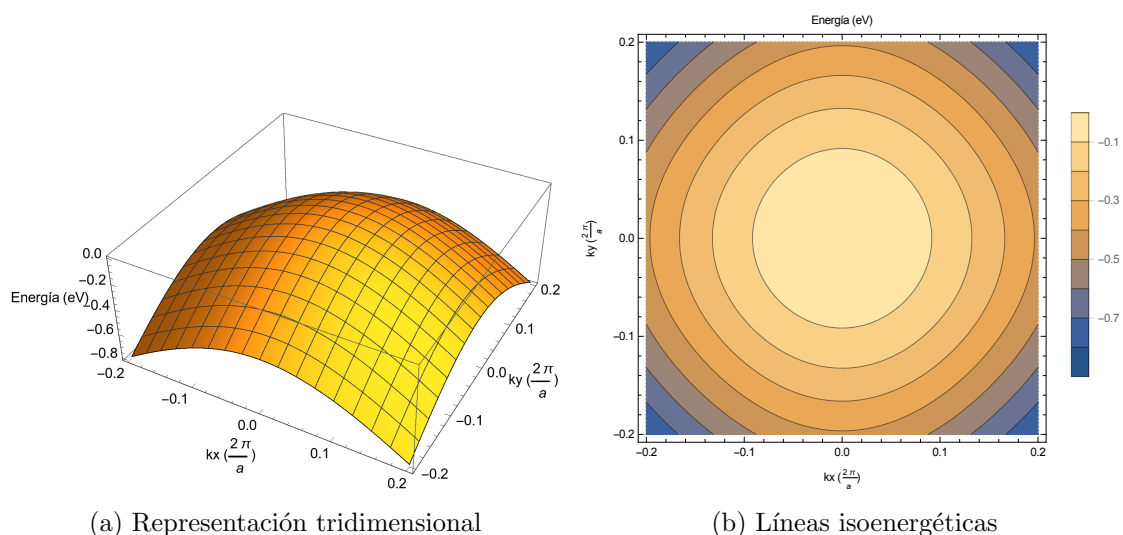
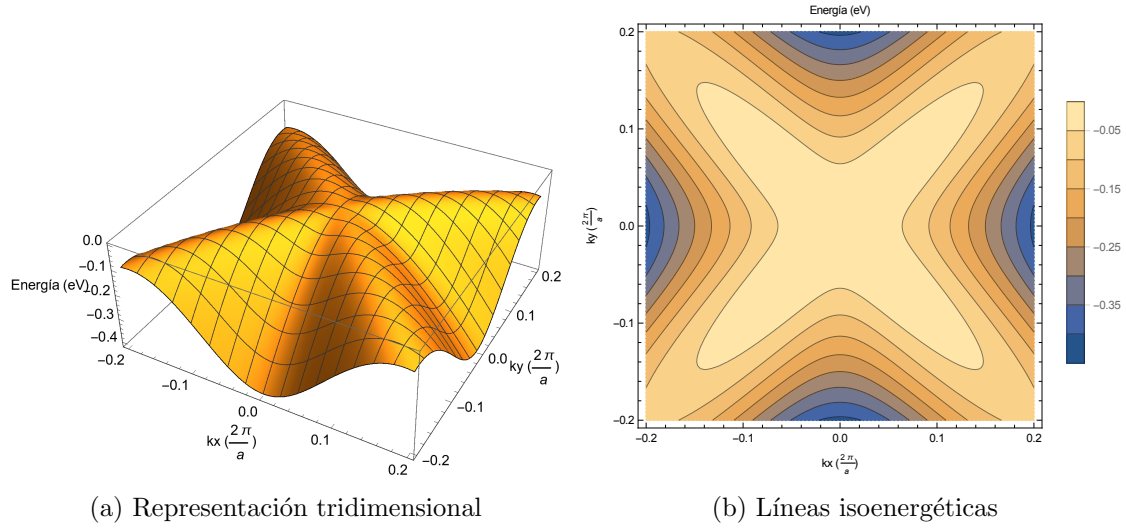
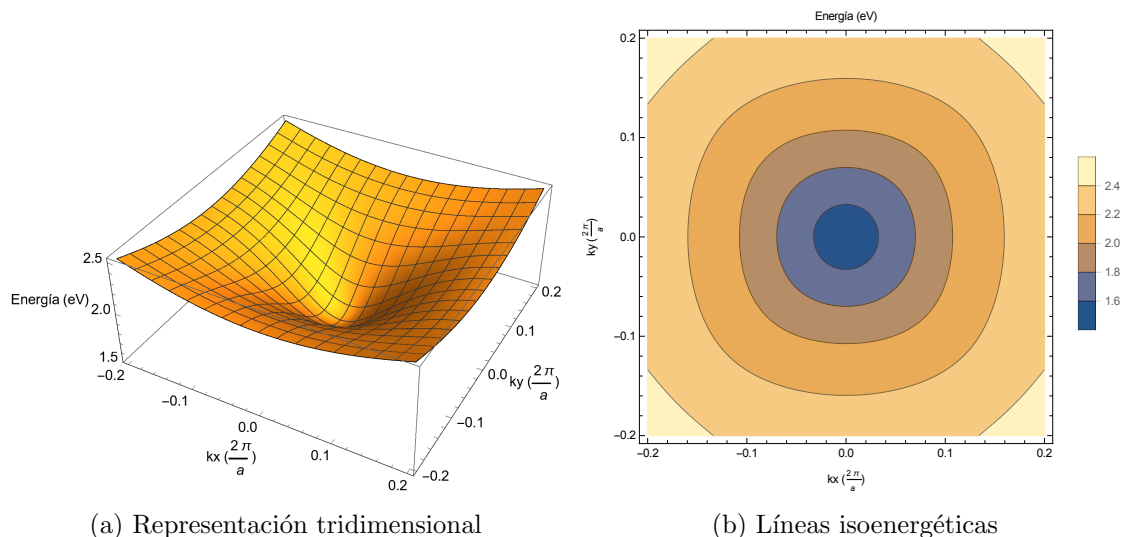
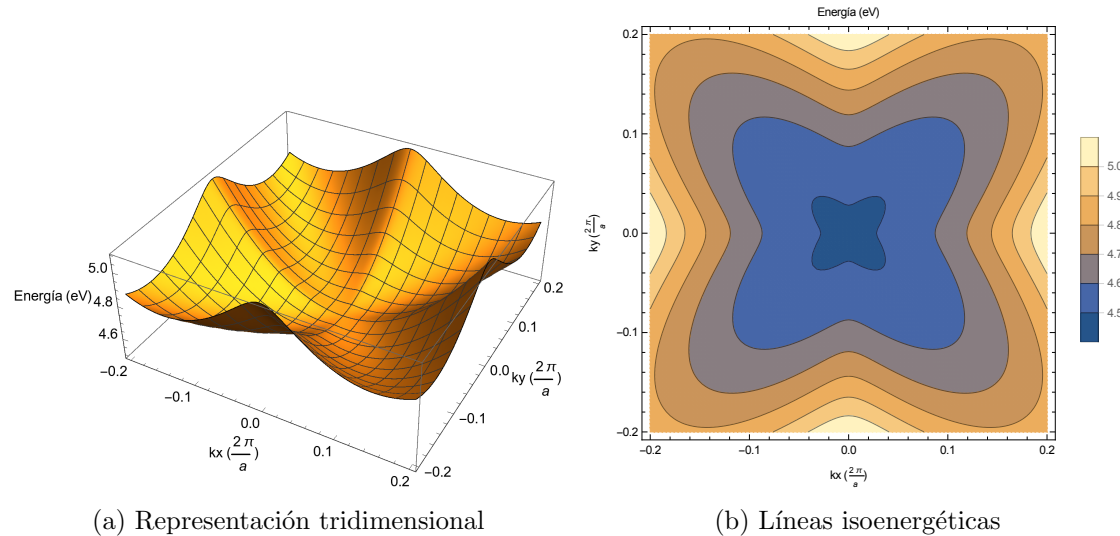
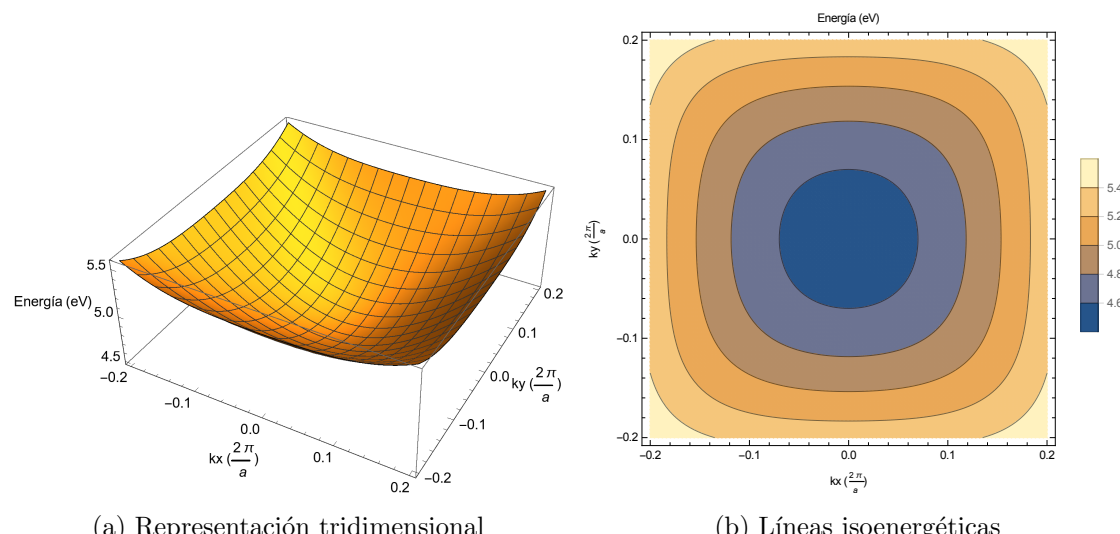
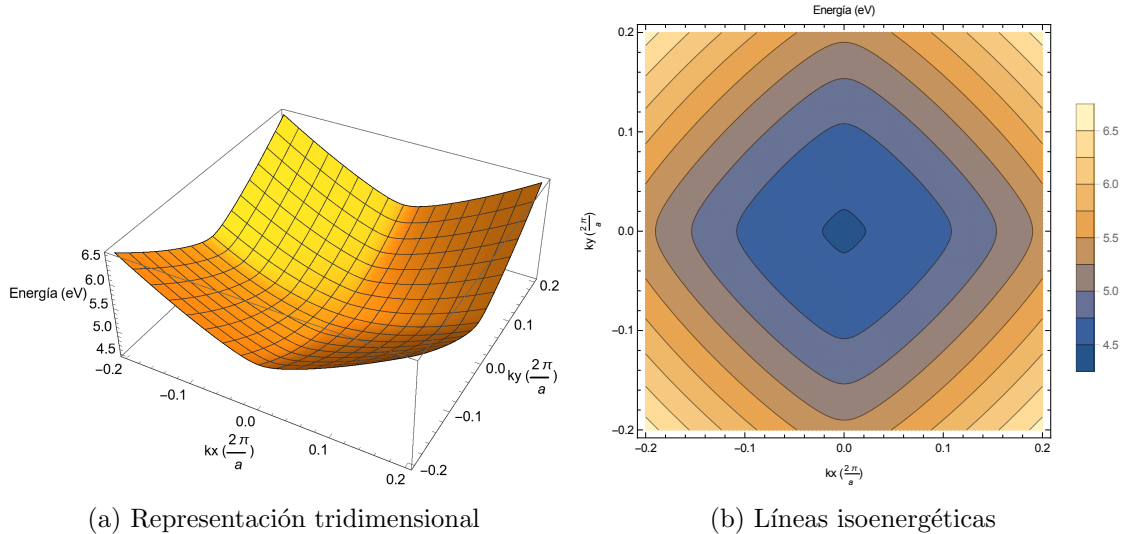


Figura 4.21: Segunda banda tipo p^v para $H_{7 \times 7}$

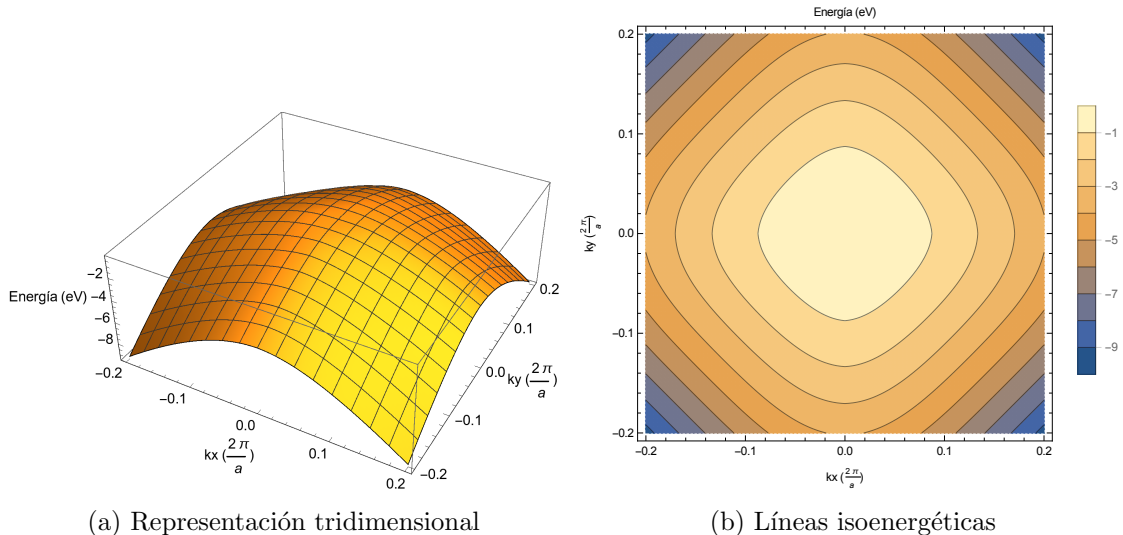
Figura 4.22: Tercera banda tipo p^v para $H_{7 \times 7}$ Figura 4.23: Banda tipo s^c para $H_{7 \times 7}$

Figura 4.24: Primera banda tipo p^c para $H_{7 \times 7}$ Figura 4.25: Segunda banda tipo p^c para $H_{7 \times 7}$

Figura 4.26: Tercera banda tipo p^c para $H_{7 \times 7}$

La primera, segunda y cuarta banda son bastante esféricas, la sexta banda tambien puede considerarse esférica para valores de k pequeños mientras que la tercera y séptima presentan forma de estrella y cuadrada respectivamente.

- Hamiltoniano $H_{8 \times 8}$

Figura 4.27: Primera banda tipo ${}^2P_{\frac{1}{2}}^v$ para $H_{8 \times 8}$

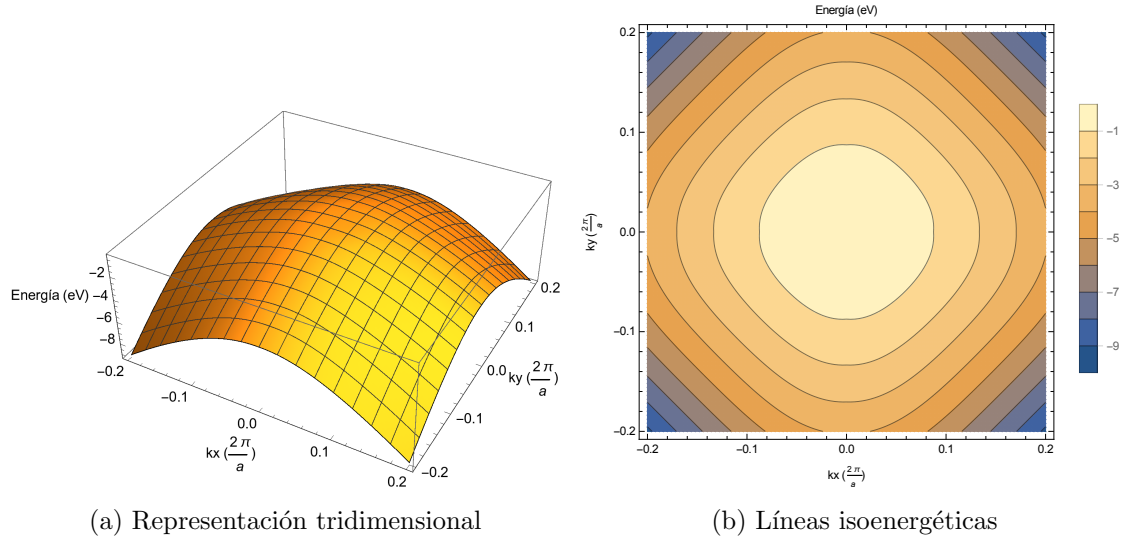


Figura 4.28: Segunda banda tipo $^2\text{P}_{\frac{1}{2}}^v$ para $H_{8 \times 8}$

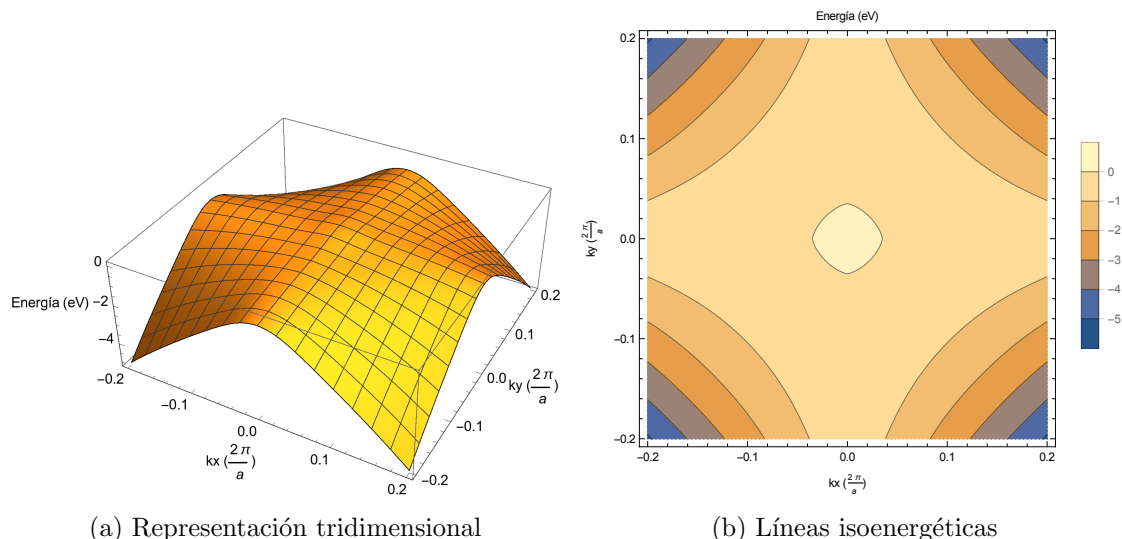


Figura 4.29: Primera banda tipo $^2\text{P}_{\frac{3}{2}}^v$ para $H_{8 \times 8}$

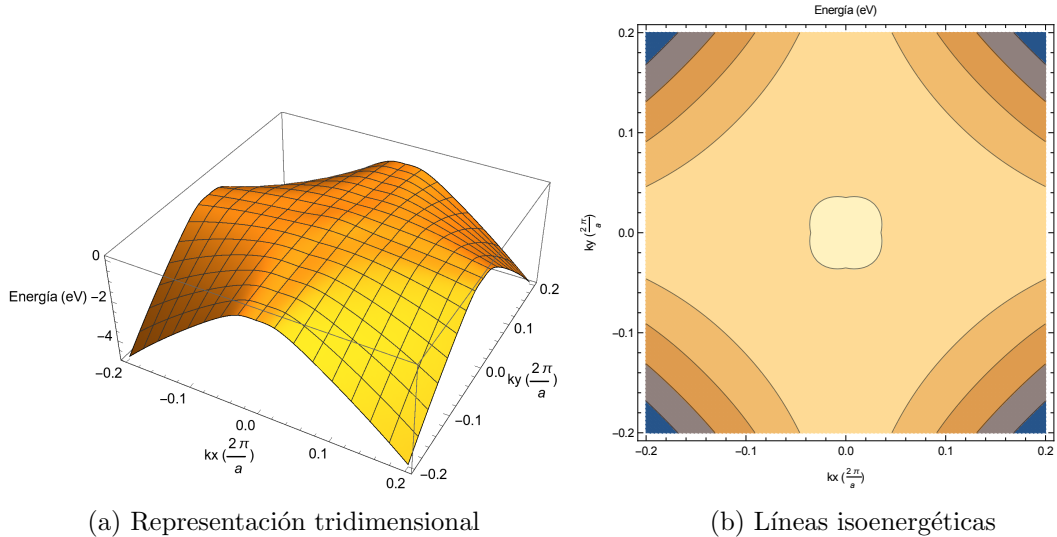


Figura 4.30: Segunda banda tipo $^2\text{P}_{\frac{3}{2}}^v$ para $H_{8 \times 8}$

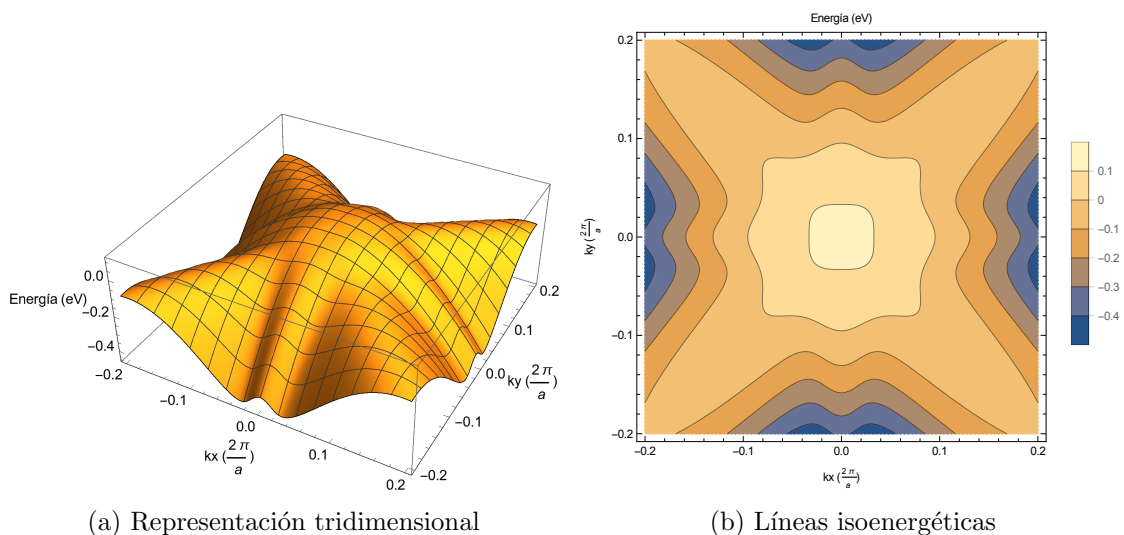


Figura 4.31: Tercera banda tipo $^2\text{P}_{\frac{3}{2}}^v$ para $H_{8 \times 8}$

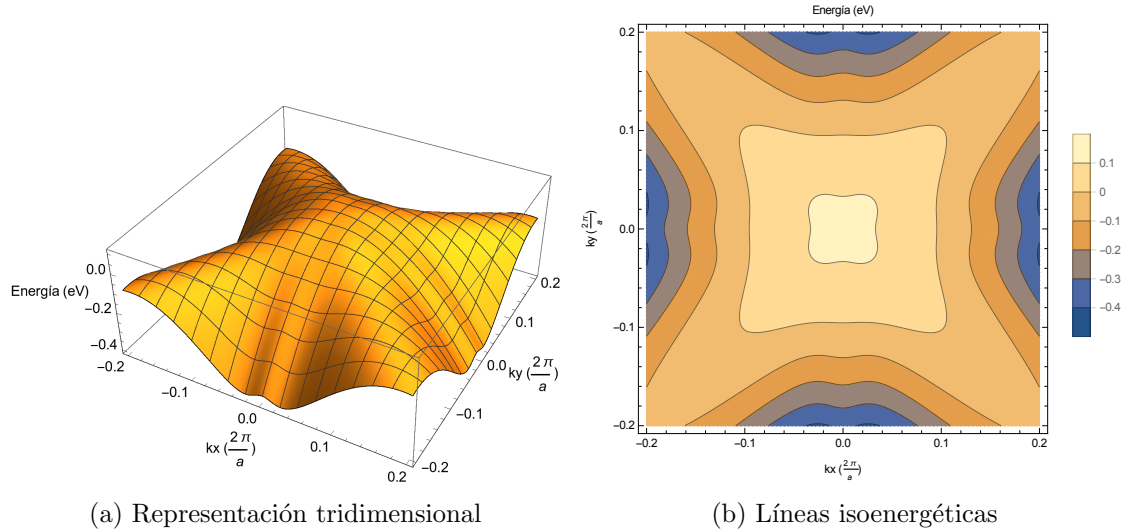


Figura 4.32: Cuarta banda tipo ${}^2\text{P}_{\frac{3}{2}}^v$ para $H_{8\times 8}$

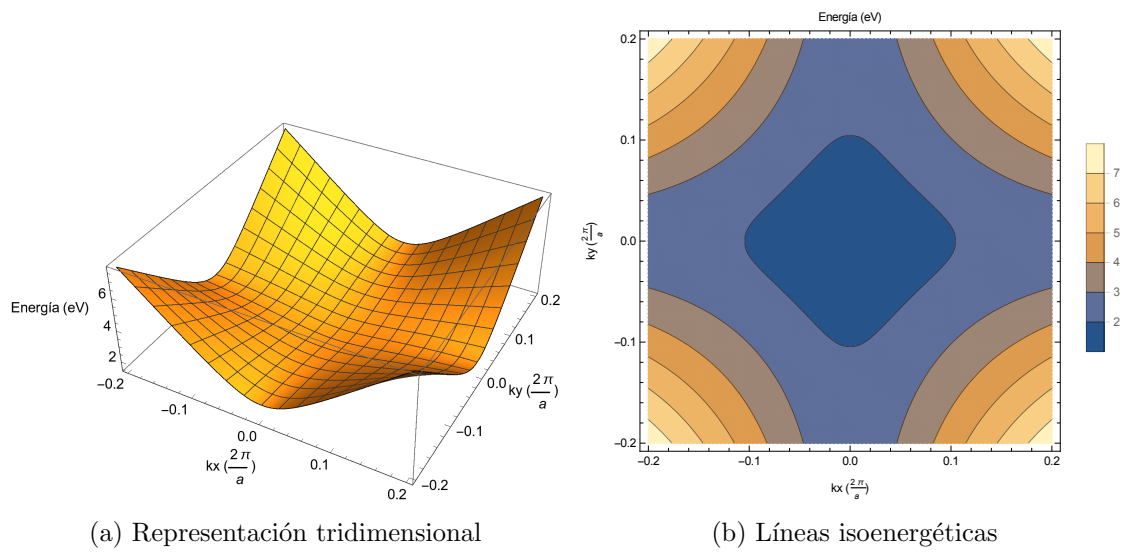


Figura 4.33: Primera banda tipo ${}^2\text{S}_{\frac{1}{2}}^c$ para $H_{8\times 8}$

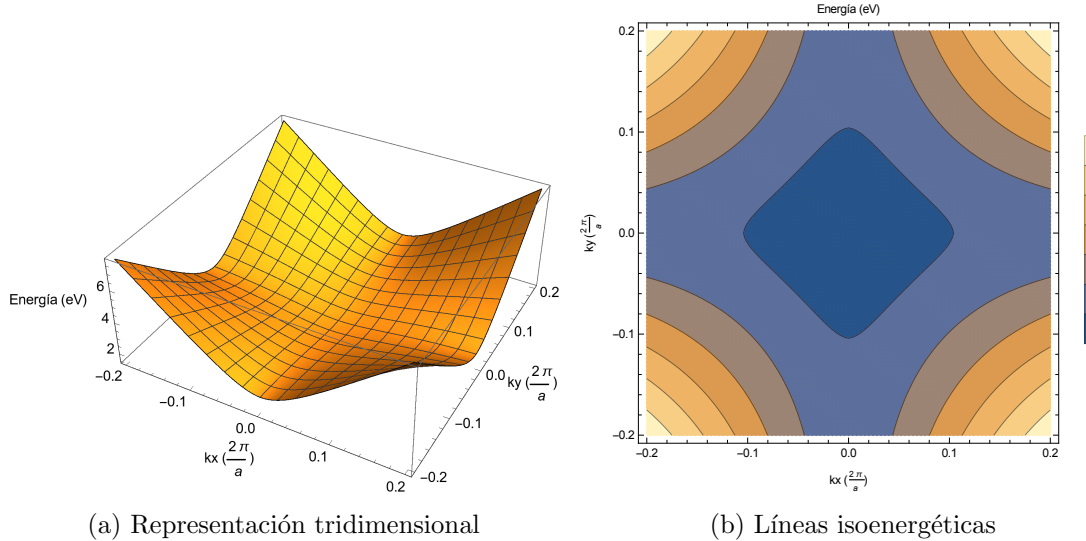


Figura 4.34: Segunda banda tipo $^2S_{\frac{1}{2}}^c$ para $H_{8 \times 8}$

Se observa que debido a la interacción espín-órbita las bandas pierden su esfericidad

- Hamiltoniano $H_{8 \times 8(kpi)}$

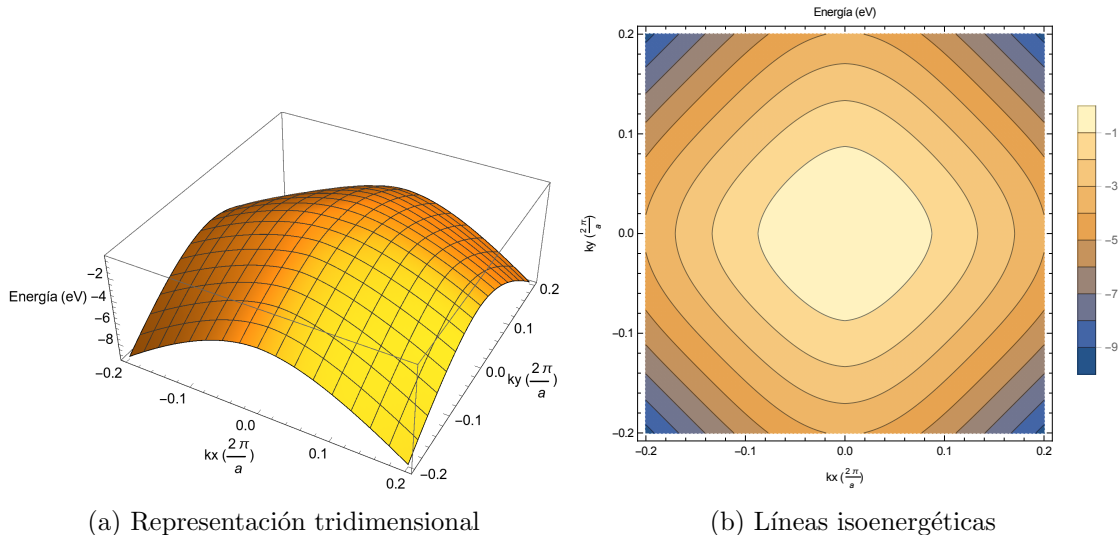


Figura 4.35: Primera banda tipo $^2P_{\frac{1}{2}}^v$ para $H_{8 \times 8(kpi)}$

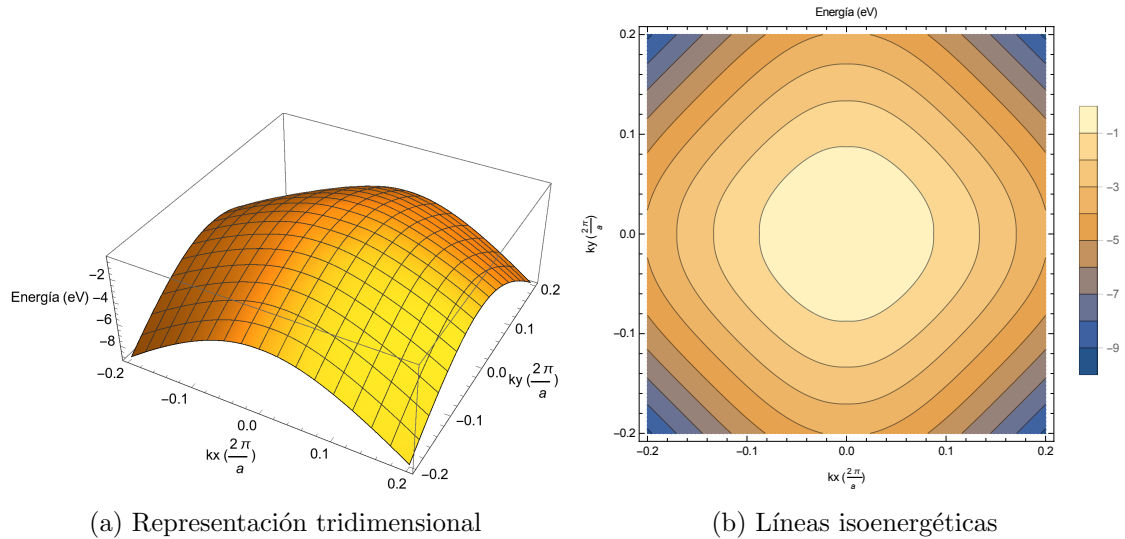


Figura 4.36: Segunda banda tipo ${}^2\text{P}_{\frac{1}{2}}^v$ para $H_{8 \times 8(kpi)}$

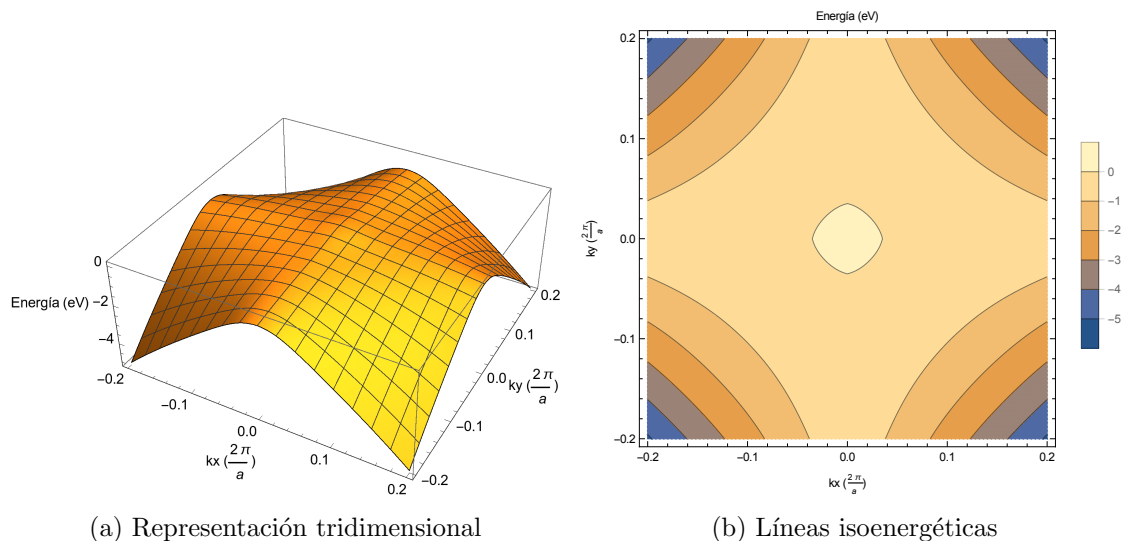


Figura 4.37: Primera banda tipo ${}^2\text{P}_{\frac{3}{2}}^v$ para $H_{8 \times 8(kpi)}$

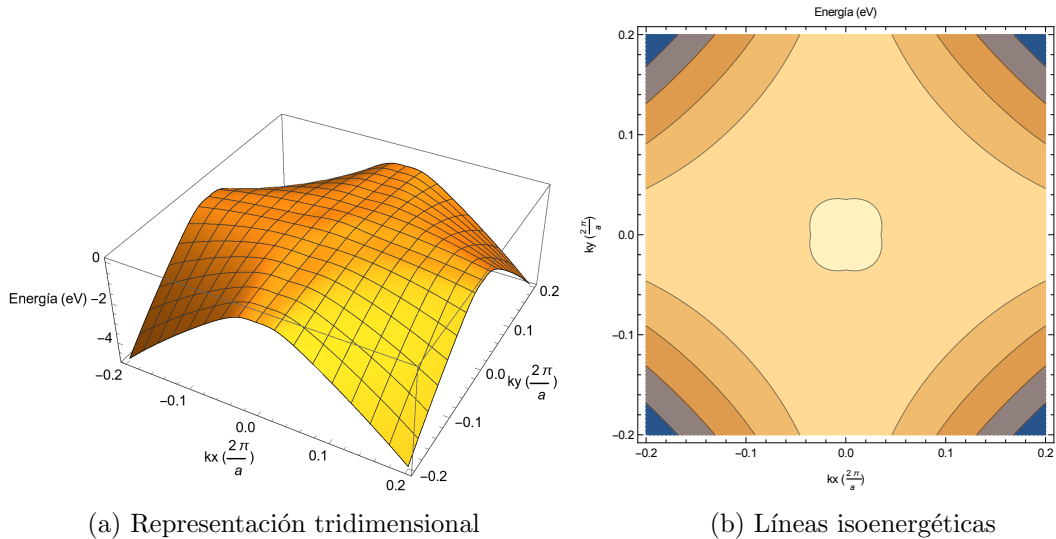


Figura 4.38: Segunda banda tipo $^2\text{P}_{\frac{3}{2}}^v$ para $H_{8 \times 8(kpi)}$

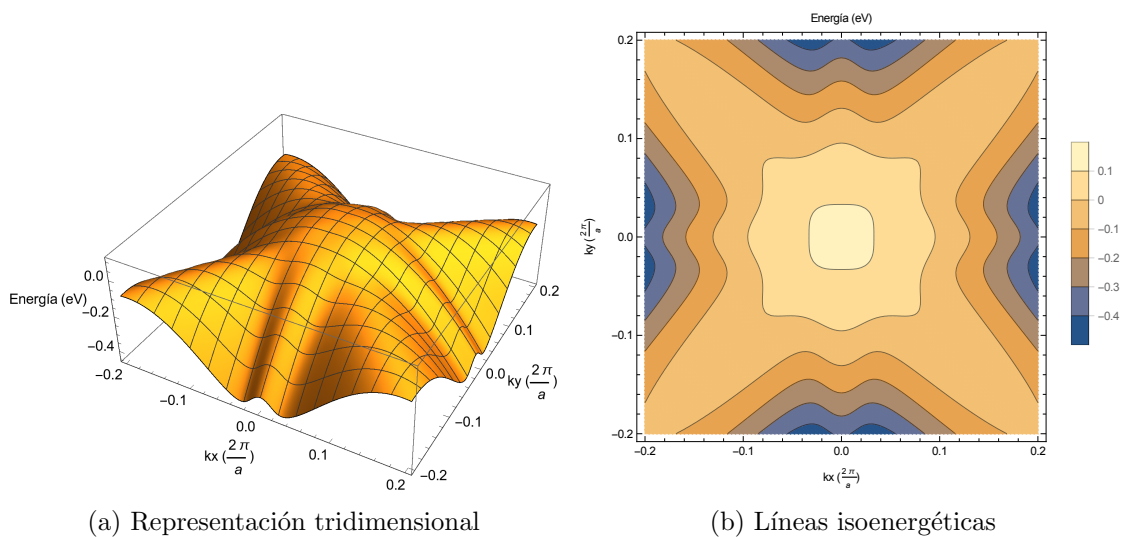


Figura 4.39: Tercera banda tipo $^2\text{P}_{\frac{3}{2}}^v$ para $H_{8 \times 8(kpi)}$

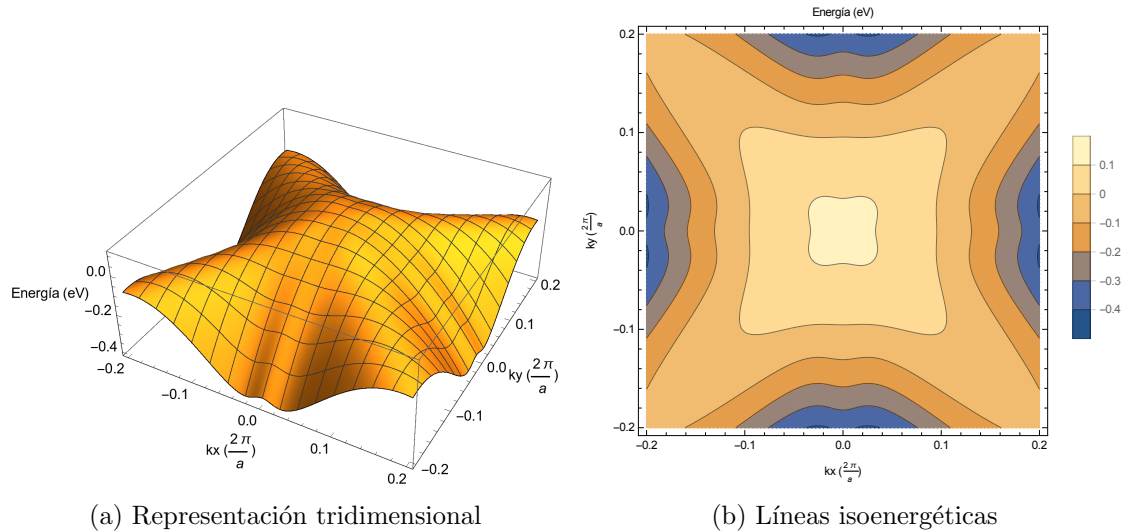


Figura 4.40: Cuarta banda tipo $^2\text{P}_{\frac{3}{2}}^v$ para $H_{8 \times 8(kpi)}$

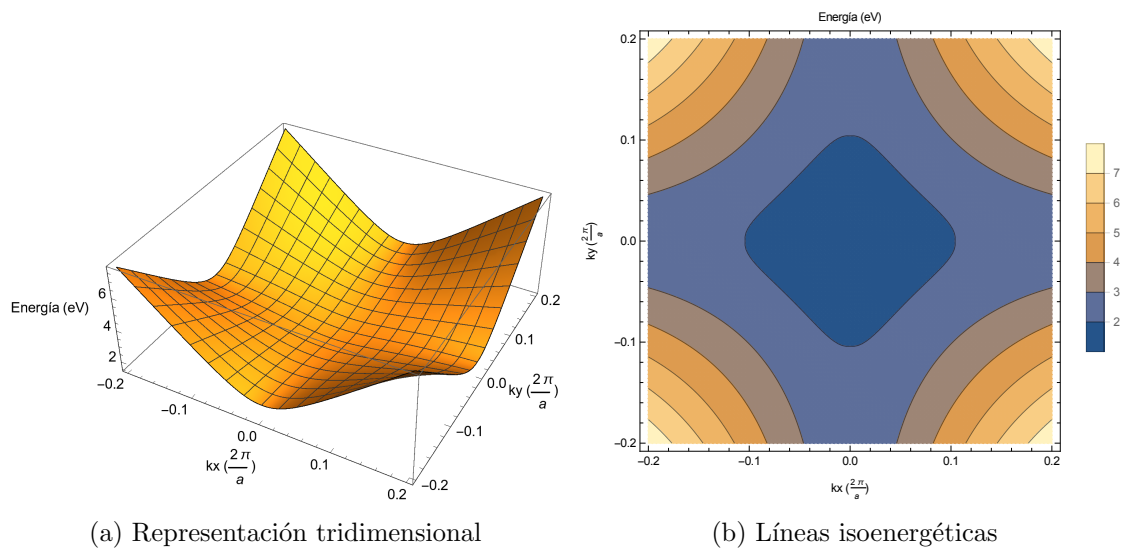


Figura 4.41: Primera banda tipo $^2\text{S}_{\frac{1}{2}}^c$ para $H_{8 \times 8(kpi)}$

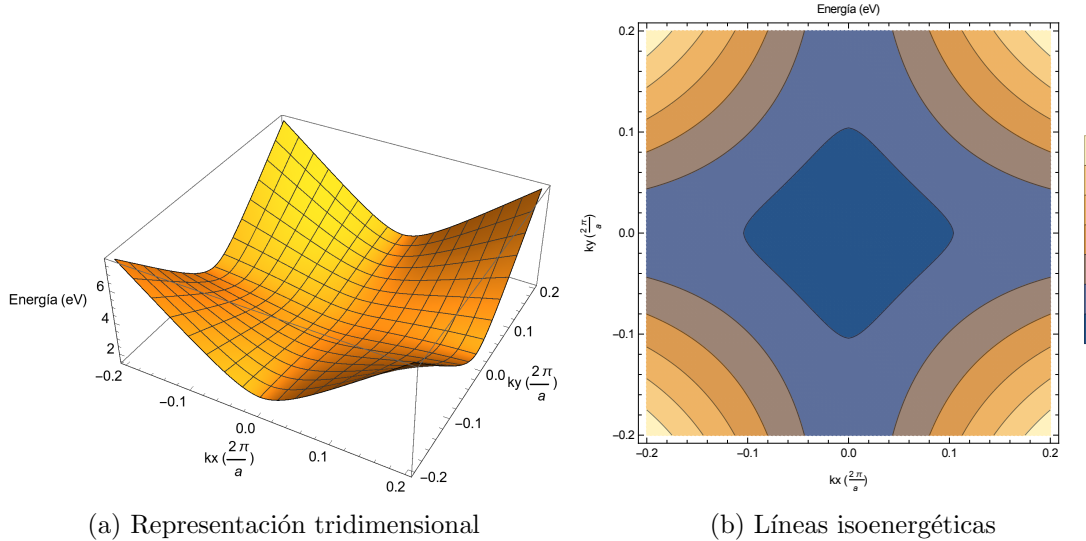


Figura 4.42: Segunda banda tipo $^2S_{\frac{1}{2}}^c$ para $H_{8 \times 8(kpi)}$

La forma de las bandas que se obtiene es muy similar a la que se obtiene a partir de $H_{8 \times 8}$.

- Hamiltoniano $H_{14 \times 14}$

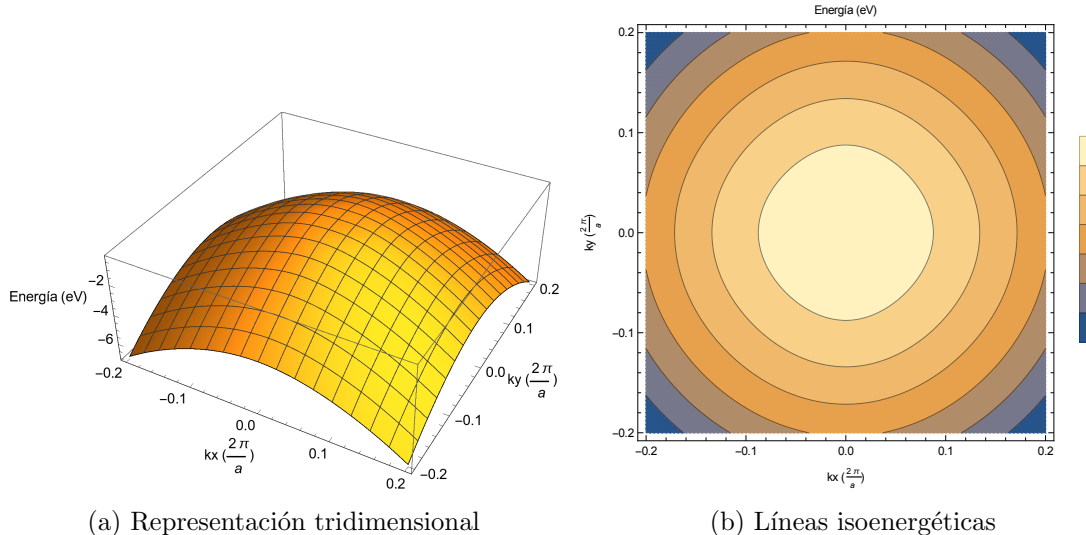


Figura 4.43: Primera banda tipo $^2P_{\frac{1}{2}}^v$ para $H_{14 \times 14}$

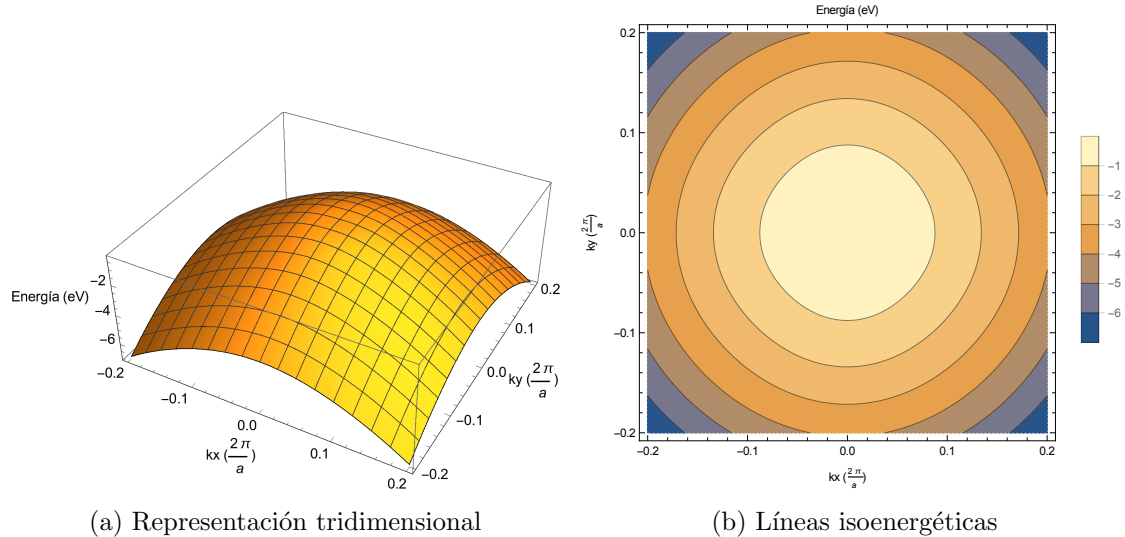


Figura 4.44: Segunda banda tipo $^2\text{P}_{\frac{1}{2}}^v$ para $H_{14 \times 14}$

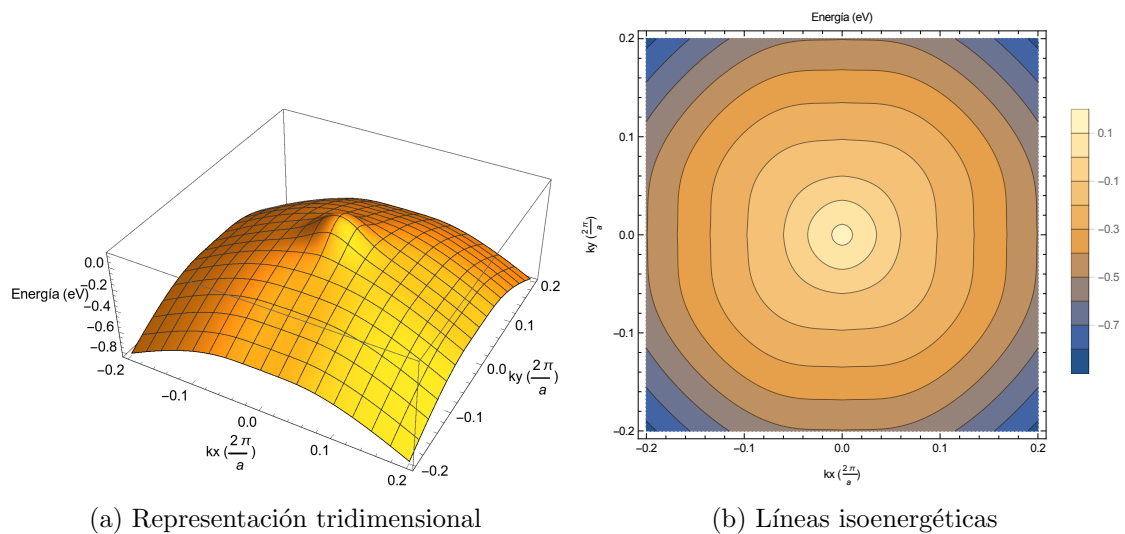
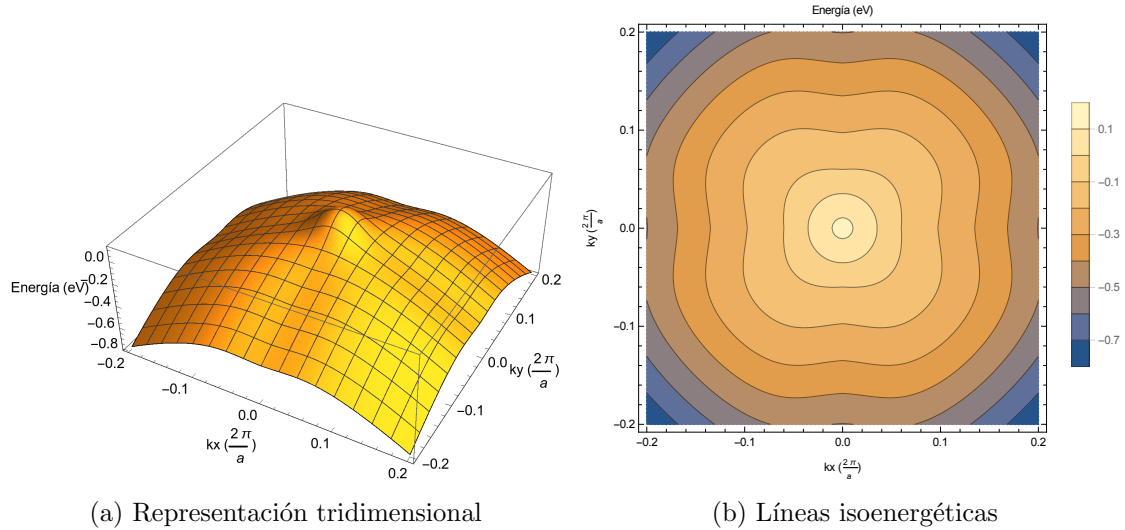
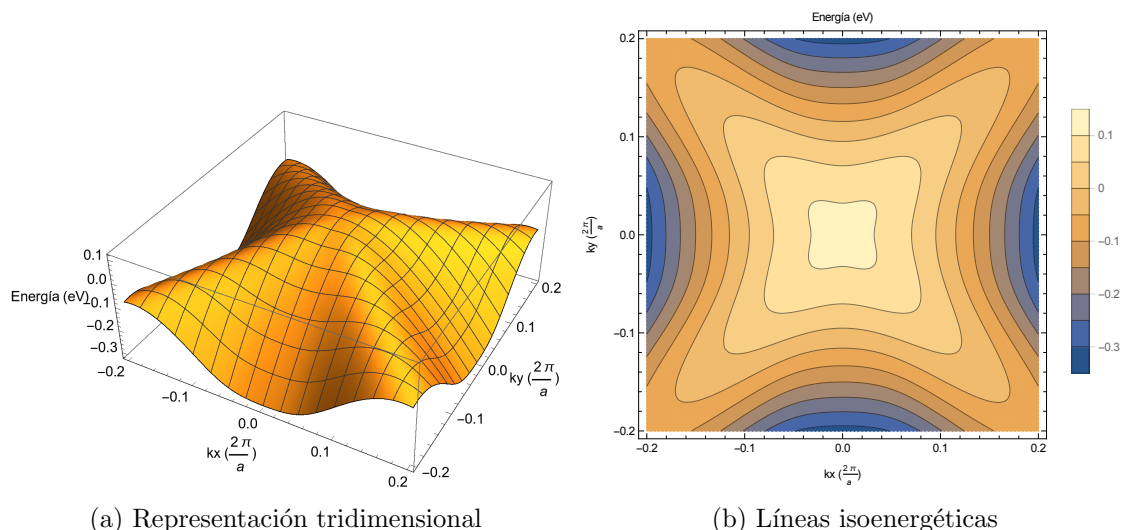


Figura 4.45: Primera banda tipo $^2\text{P}_{\frac{3}{2}}^v$ para $H_{14 \times 14}$

Figura 4.46: Segunda banda tipo $^2\text{P}_{\frac{3}{2}}^v$ para $H_{14 \times 14}$ Figura 4.47: Tercera banda tipo $^2\text{P}_{\frac{3}{2}}^v$ para $H_{14 \times 14}$

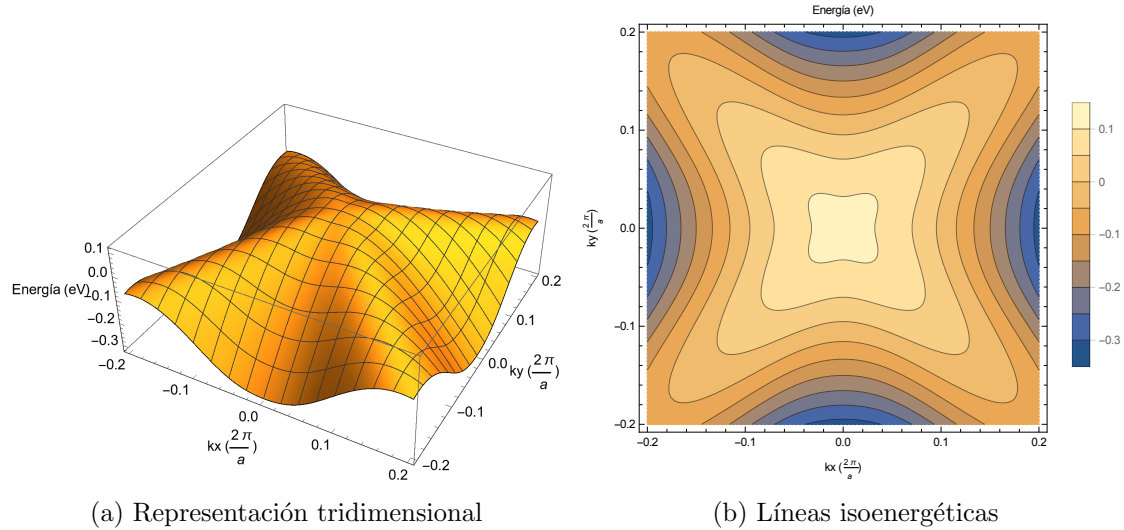


Figura 4.48: Cuarta banda tipo $^2\text{P}_{\frac{3}{2}}^v$ para $H_{14 \times 14}$

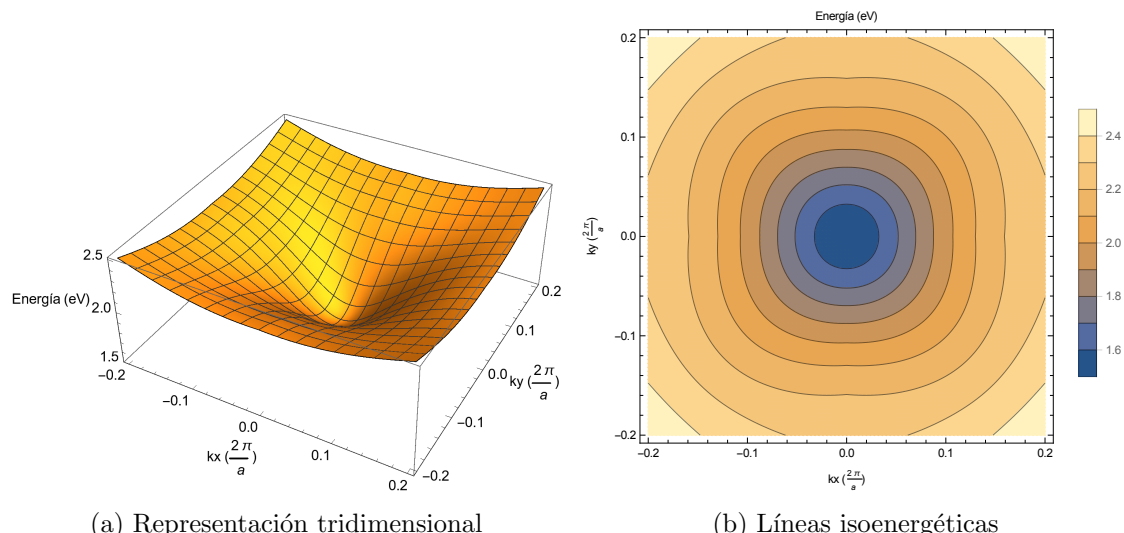


Figura 4.49: Primera banda tipo $^2\text{S}_{\frac{1}{2}}^c$ para $H_{14 \times 14}$

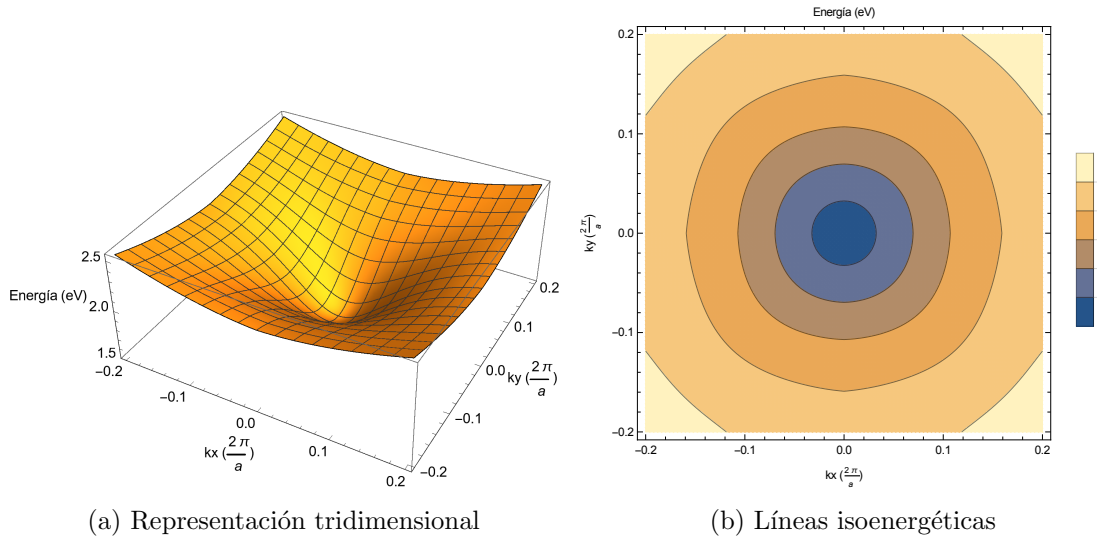


Figura 4.50: Segunda banda tipo $^2S_{\frac{1}{2}}^c$ para $H_{14 \times 14}$

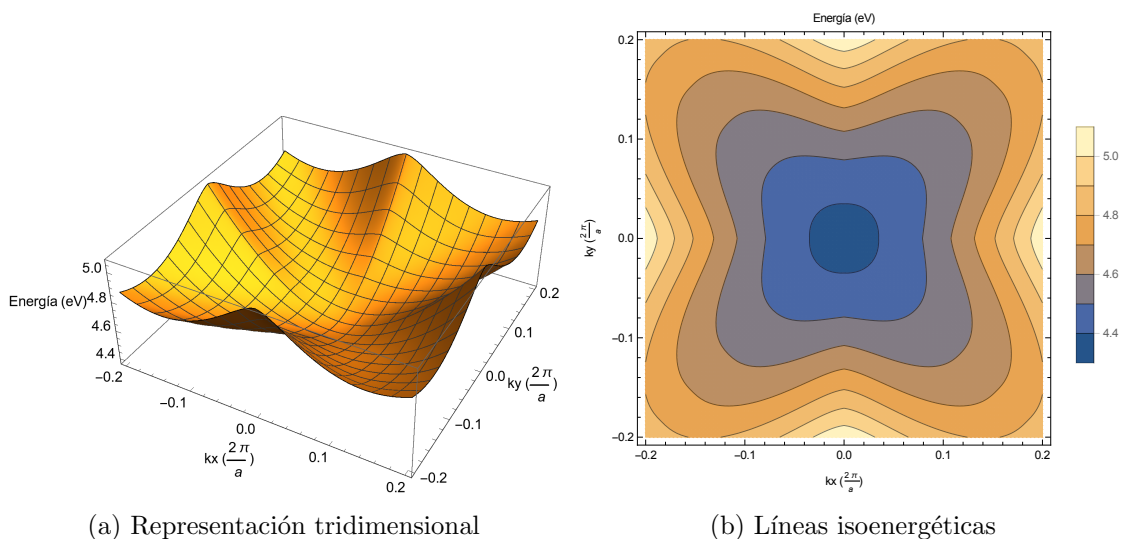


Figura 4.51: Primera banda tipo $^2P_{\frac{1}{2}}^v$ para $H_{14 \times 14}$

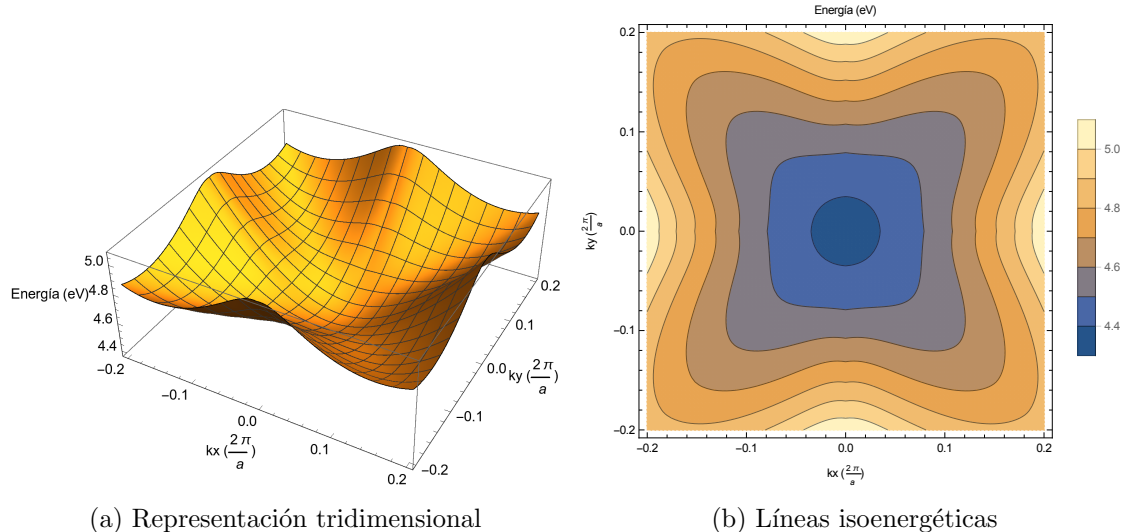


Figura 4.52: Segunda banda tipo $^2\text{P}_{\frac{1}{2}}^v$ para $H_{14 \times 14}$

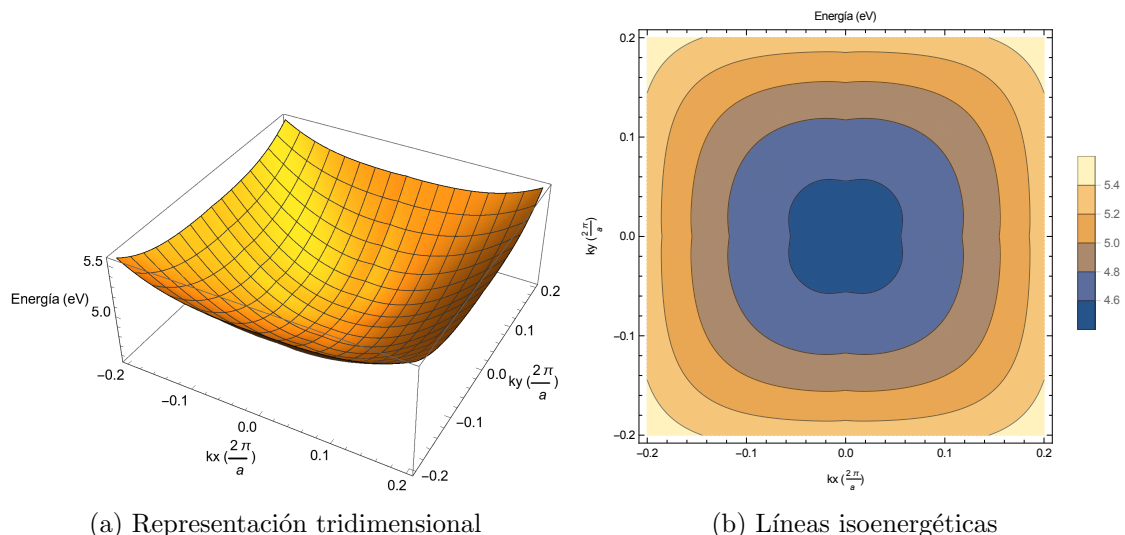


Figura 4.53: Primera banda tipo $^2\text{P}_{\frac{3}{2}}^c$ para $H_{14 \times 14}$

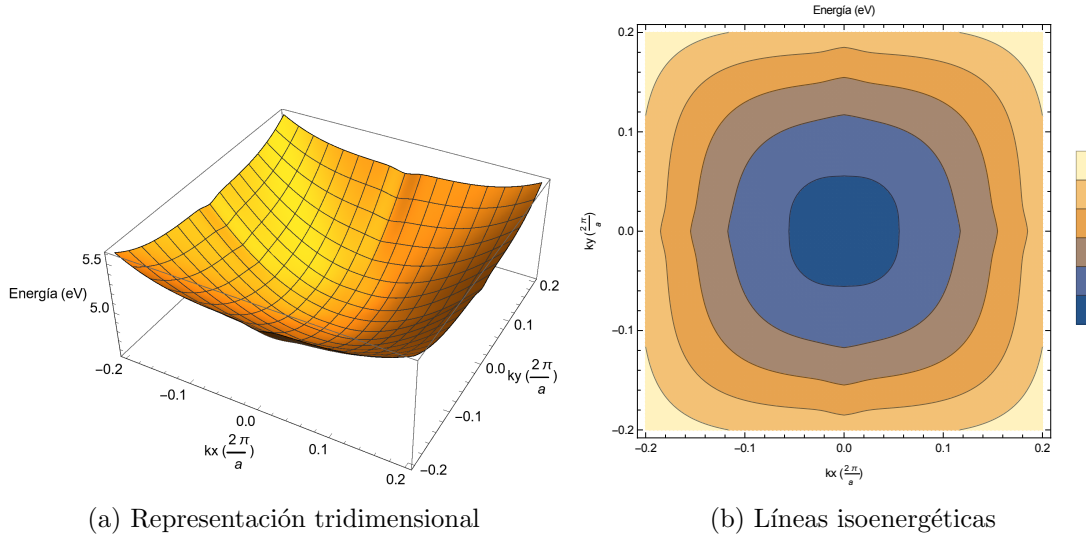


Figura 4.54: Segunda banda tipo $^2\text{P}_{\frac{3}{2}}^c$ para $H_{14 \times 14}$

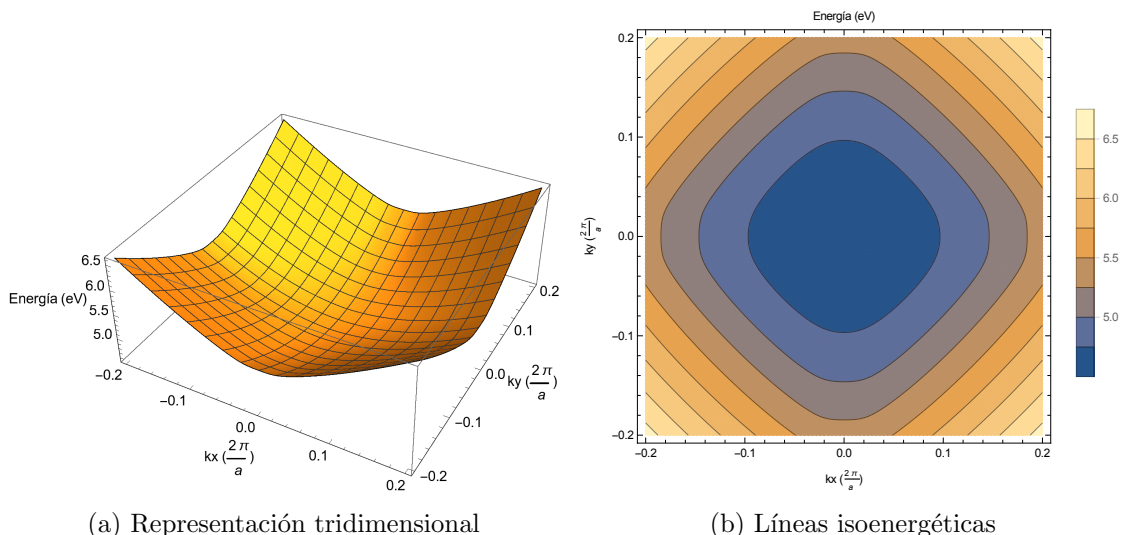


Figura 4.55: Tercera banda tipo $^2\text{P}_{\frac{3}{2}}^c$ para $H_{14 \times 14}$

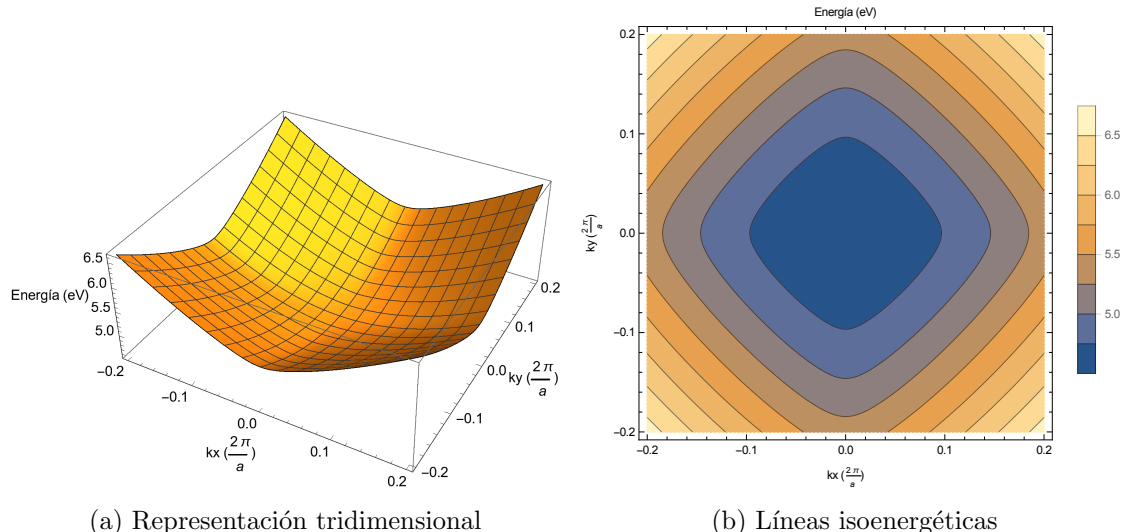


Figura 4.56: Cuarta banda tipo $^2P_3^c$ para $H_{14 \times 14}$

Las bandas primera, segunda, tercera, cuarta, séptima y octava presentan una forma más esférica que en el caso $H_{8 \times 8}$.

4.3. Masas efectivas

4.3.1. Cálculo analítico

Sustituyendo los valores de los parámetros en las expresiones obtenidas por el método de perturbaciones de Löwdin se obtienen los valores de las masas efectivas

$$\text{Masa de electrones: } 0,05554 m_0 \quad (4.1)$$

$$\text{Huecos ligeros: } -0,0277 m_0 \quad (4.2)$$

$$\text{Huecos pesados: } -0,2083 m_0 \quad (4.3)$$

4.3.2. Cálculos numéricos en el punto Γ

Mediante cálculos numéricos con el ordenador se obtienen los valores de masas efectivas para cada banda de energía en el punto Γ para cada uno de los hamiltonianos considerados.

- Hamiltoniano $H_{4 \times 4}$:

Banda	$m^* (m_0)$
s^c	0.0557
p_1^v	-0.0292
p_3^v	-0.3783
p_2^v	-0.3783

Cuadro 4.1: Masas efectivas en el punto Γ para $H_{4 \times 4}$

- Hamiltoniano $H_{7 \times 7}$:

Banda	$m^* (m_0)$
p_1^v	-0.0292
p_3^v	-0.3783
p_2^v	-0.3783
s^c	0.0557
p_1^c	0.332
p_3^c	0.205
p_2^c	0.205

Cuadro 4.2: Masas efectivas en el punto Γ para $H_{7 \times 7}$

- Hamiltoniano $H_{8 \times 8}$:

Banda	$m^* (m_0)$
$p_1^v \uparrow$	-0.0811
$p_1^v \downarrow$	-0.0811
$p_2^v \uparrow$	-0.0405
$p_2^v \downarrow$	-0.0405
$p_3^v \uparrow$	-0.378
$p_3^v \downarrow$	-0.378
$s^c \uparrow$	0.0551
$s^c \downarrow$	0.0551

Cuadro 4.3: Masas efectivas en el punto Γ para $H_{8 \times 8}$

- Hamiltoniano $H_{8 \times 8(k\pi)}$:

Banda	$m^* (m_0)$
$p_1^v \uparrow$	-0.0811
$p_1^v \downarrow$	-0.0811
$p_2^v \uparrow$	-0.0404
$p_2^v \downarrow$	-0.0404
$p_3^v \uparrow$	-0.378
$p_3^v \downarrow$	-0.378
$s^c \uparrow$	0.0551
$s^c \downarrow$	0.0551

Cuadro 4.4: Masas efectivas en el punto Γ para $H_{8 \times 8(k\pi)}$

- Hamiltoniano $H_{14 \times 14}$:

Banda	$m^* (m_0)$
$p_1^v \uparrow$	-0.0794
$p_1^v \downarrow$	-0.0794
$p_2^v \uparrow$	-0.0414
$p_2^v \downarrow$	-0.0414
$p_3^v \uparrow$	-0.357
$p_3^v \downarrow$	-0.357
$s^c \uparrow$	0.0555
$s^c \downarrow$	0.0555
$p_1^c \uparrow$	0.223
$p_1^c \downarrow$	0.223
$p_2^c \uparrow$	0.280
$p_2^c \downarrow$	0.280
$p_3^c \uparrow$	0.211
$p_3^c \downarrow$	0.211

Cuadro 4.5: Masas efectivas en el punto Γ para $H_{14 \times 14}$

4.3.3. Estudio de la dependencia de la masa con \vec{k}

Haciendo variar el valor de k para los distintos ejes se obtiene una representación gráfica de la dependencia del tensor de masa efectiva con k para cada una de las bandas de los distintos hamiltonianos considerados

■ $H_{4 \times 4}$

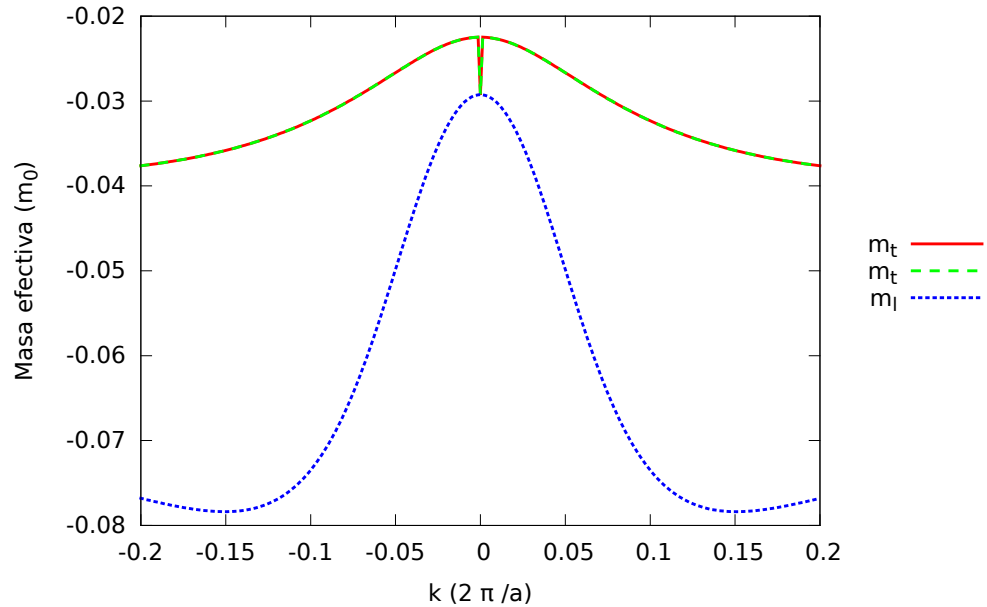


Figura 4.57: $H_{4 \times 4}$ eje $\Delta \vec{k} = (k, 0, 0)$ para la banda 1

Se observa una fuerte dependencia k de las componentes del tensor de masa efectiva.

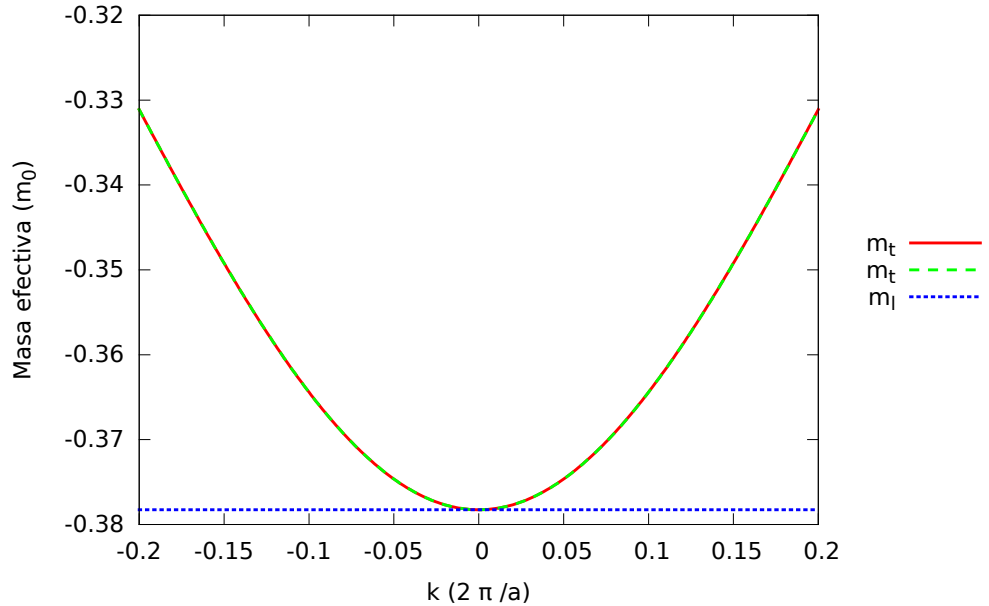


Figura 4.58: $H_{4 \times 4}$ eje $\Delta \vec{k} = (k, 0, 0)$ para la banda 2

En esta figura se observa que la componente longitudinal es constante y por lo tanto se puede expresar la energía de la banda en la forma:

$$E_n(\vec{k}) = \frac{\hbar^2}{2} \left[\frac{k_l^2}{m_l} + f(k_t, m_t) \right] \quad (4.4)$$

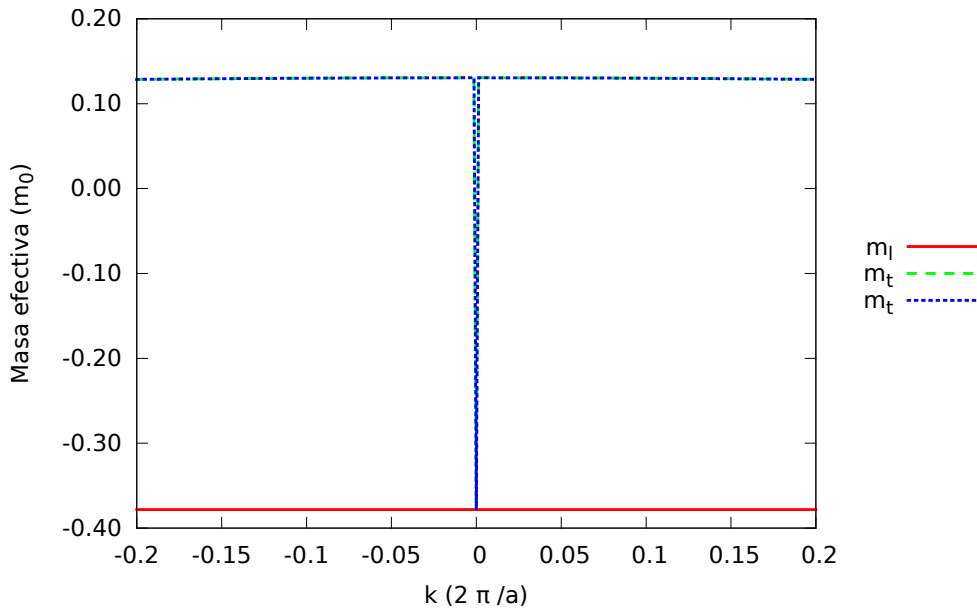


Figura 4.59: $H_{4 \times 4}$ eje Δ $\vec{k} = (k, 0, 0)$ para la banda 3

En esta figura se observa que las tres componentes son constantes y por lo tanto se puede expresar la energía de la banda en la forma:

$$E_n(\vec{k}) = \frac{\hbar^2}{2} \left[\frac{k_l^2}{m_l} + \frac{k_t^2}{m_t} + \frac{k_t^2}{m_t} \right] \quad (4.5)$$

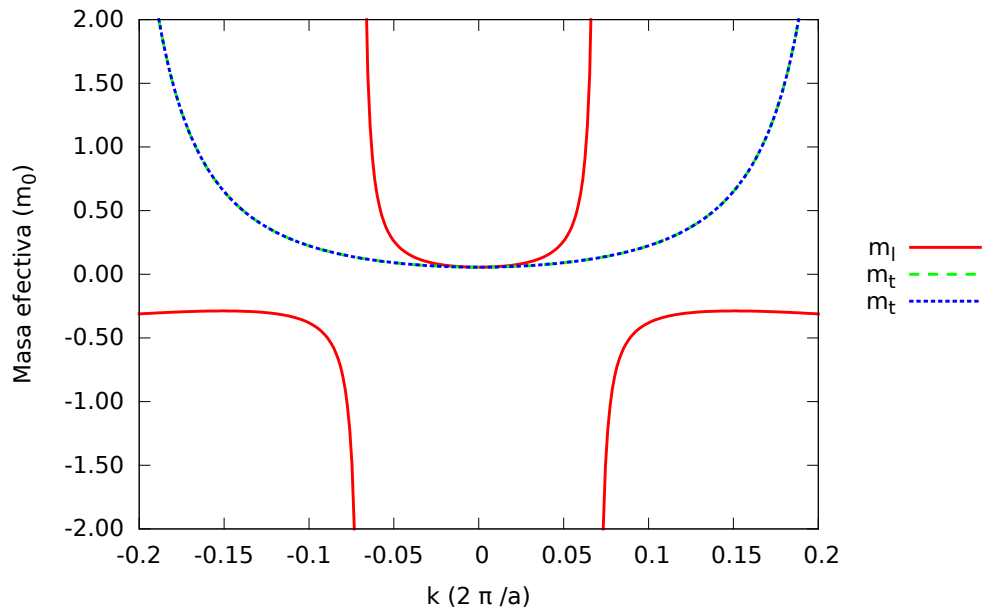


Figura 4.60: $H_{4 \times 4}$ eje $\Delta \vec{k} = (k, 0, 0)$ para la banda 4

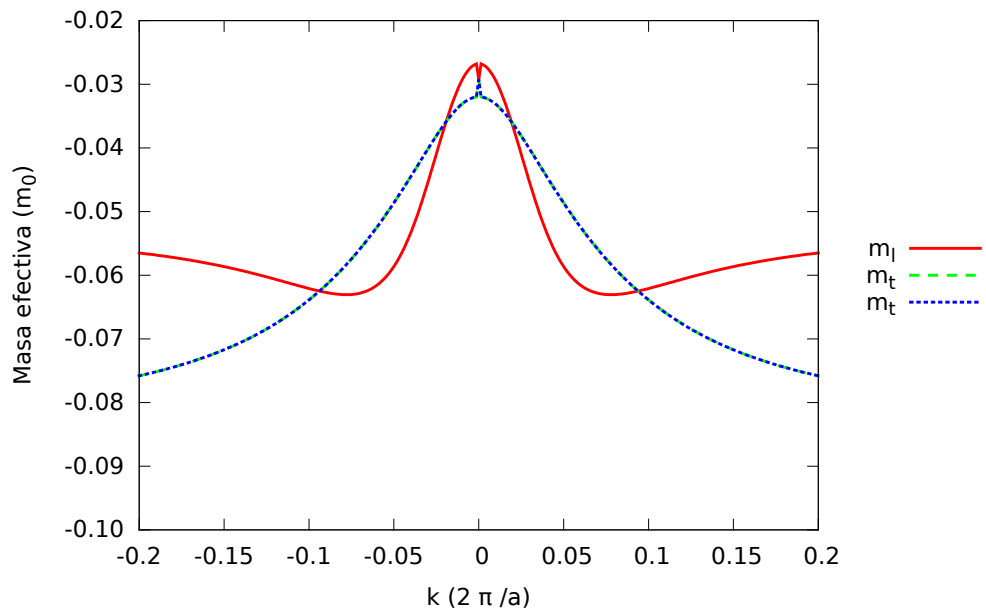


Figura 4.61: $H_{4 \times 4}$ eje $\Lambda \vec{k} = (k, k, k)$ para la banda 1

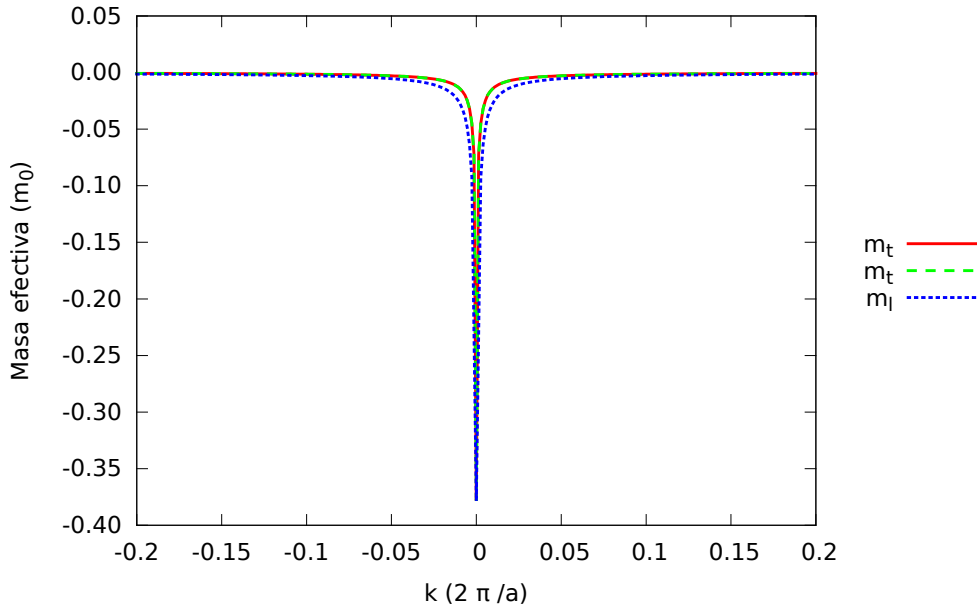


Figura 4.62: $H_{4 \times 4}$ eje Λ $\vec{k} = (k, k, k)$ para la banda 2

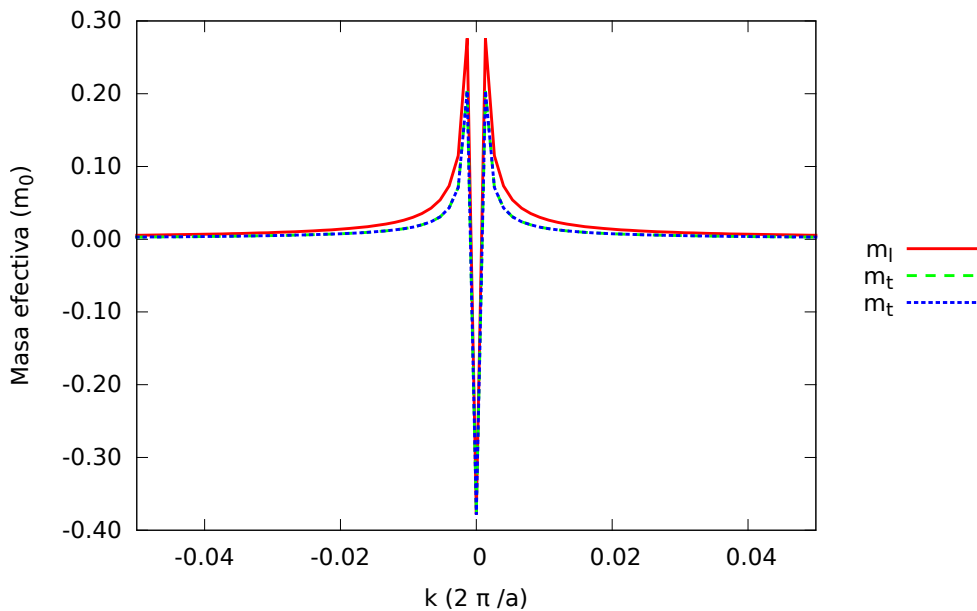
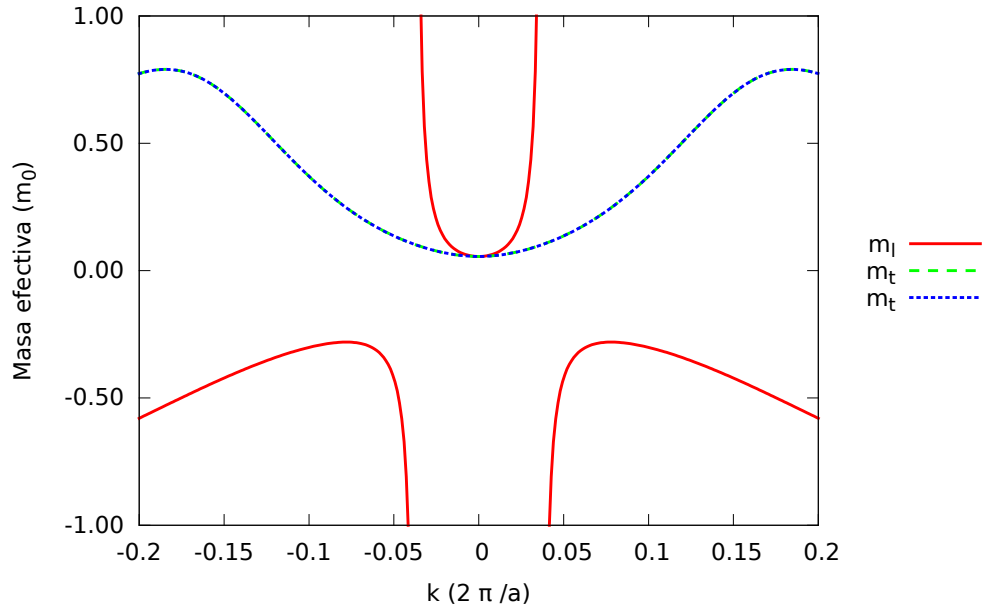
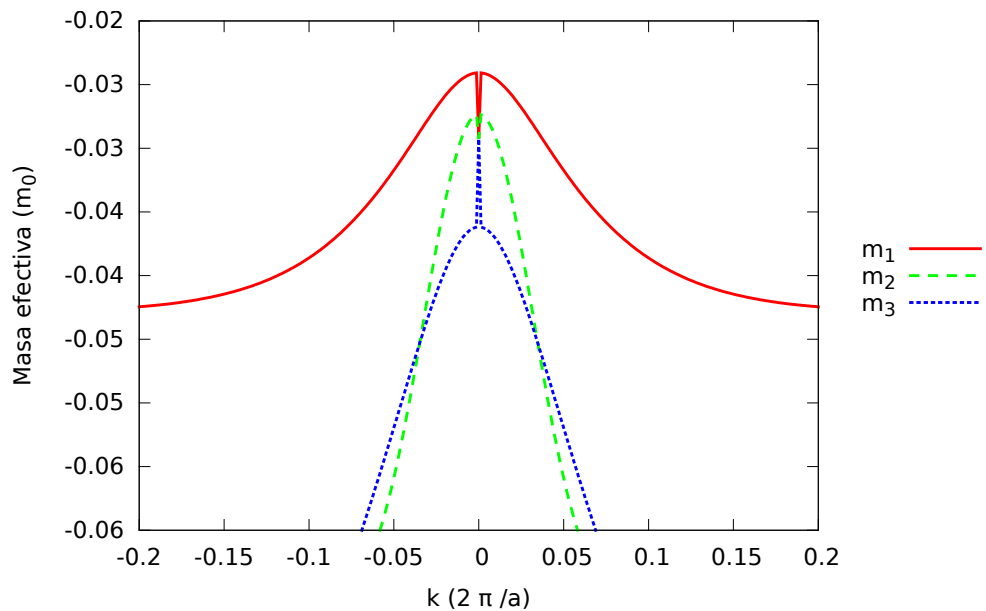


Figura 4.63: $H_{4 \times 4}$ eje Λ $\vec{k} = (k, k, k)$ para la banda 3

Figura 4.64: $H_{4 \times 4}$ eje Λ $\vec{k} = (k, k, k)$ para la banda 4Figura 4.65: $H_{4 \times 4}$ eje Σ $\vec{k} = (k, k, 0)$ para la banda 1

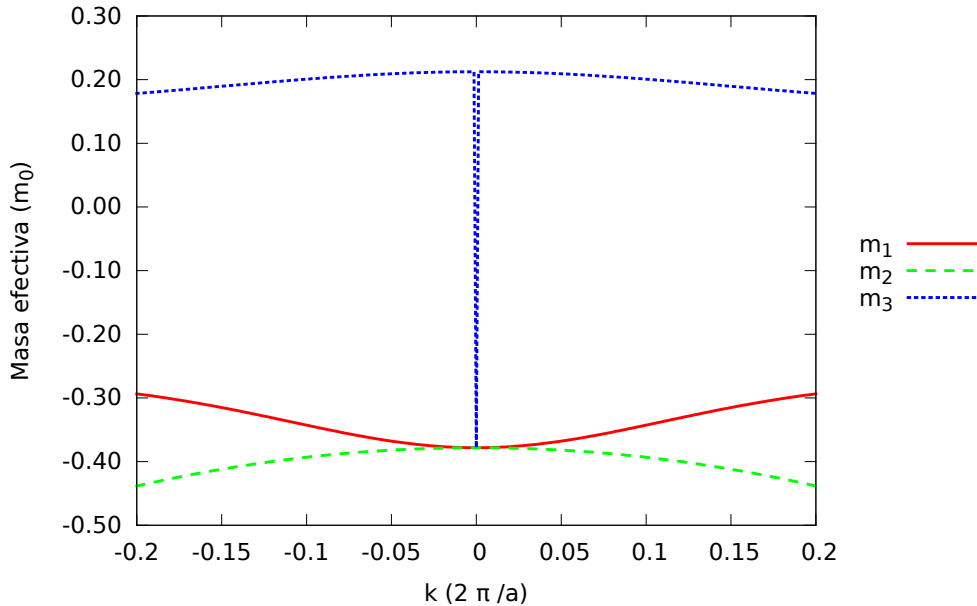


Figura 4.66: $H_{4 \times 4}$ eje $\Sigma \vec{k} = (k, k, 0)$ para la banda 2

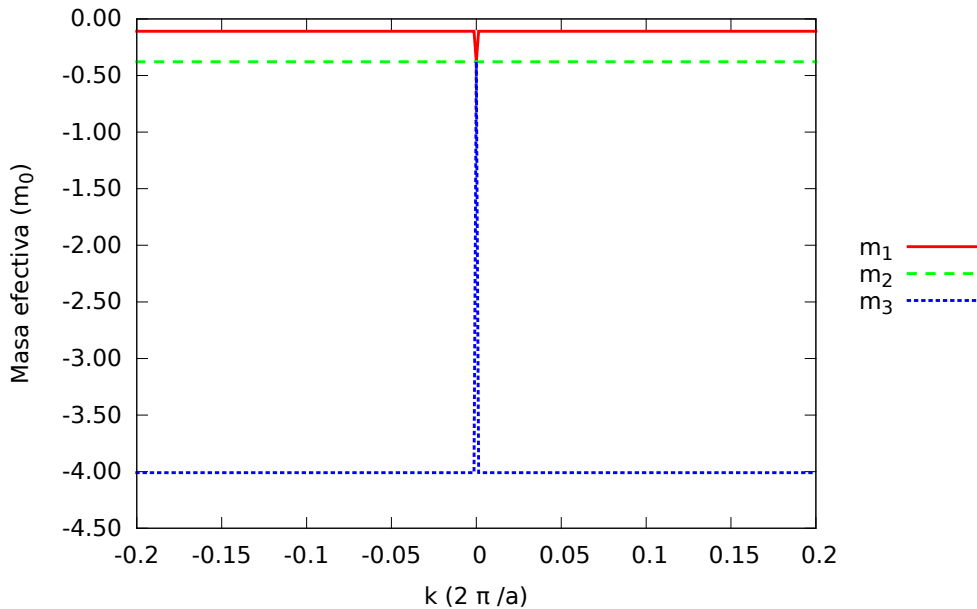
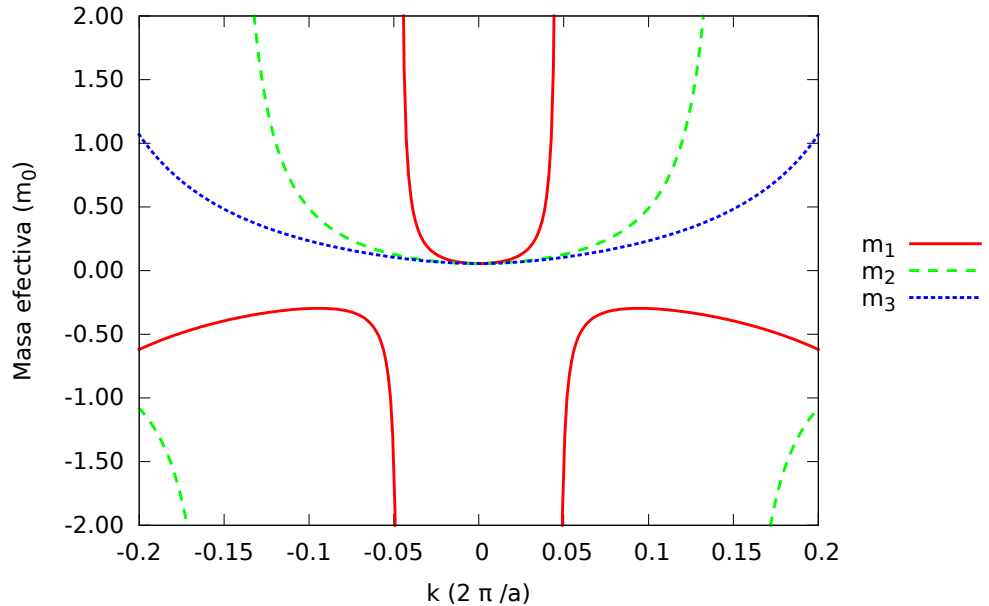
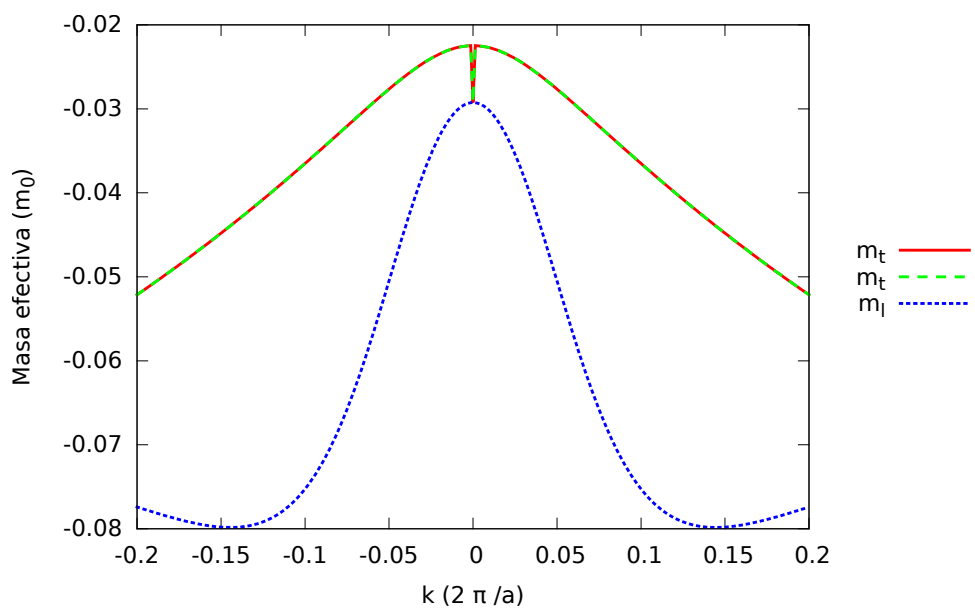


Figura 4.67: $H_{4 \times 4}$ eje $\Sigma \vec{k} = (k, k, 0)$ para la banda 3

Figura 4.68: $H_{4 \times 4}$ eje $\Sigma \vec{k} = (k, k, 0)$ para la banda 4■ $H_{7 \times 7}$ Figura 4.69: $H_{7 \times 7}$ eje $\Delta \vec{k} = (k, 0, 0)$ para la banda 1

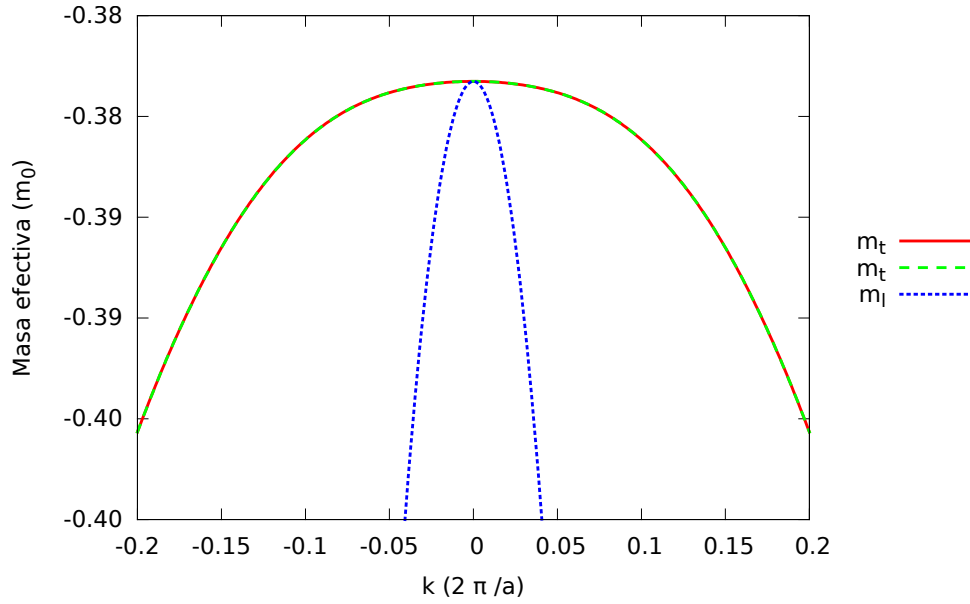


Figura 4.70: $H_{7\times 7}$ eje $\Delta \vec{k} = (k, 0, 0)$ para la banda 2

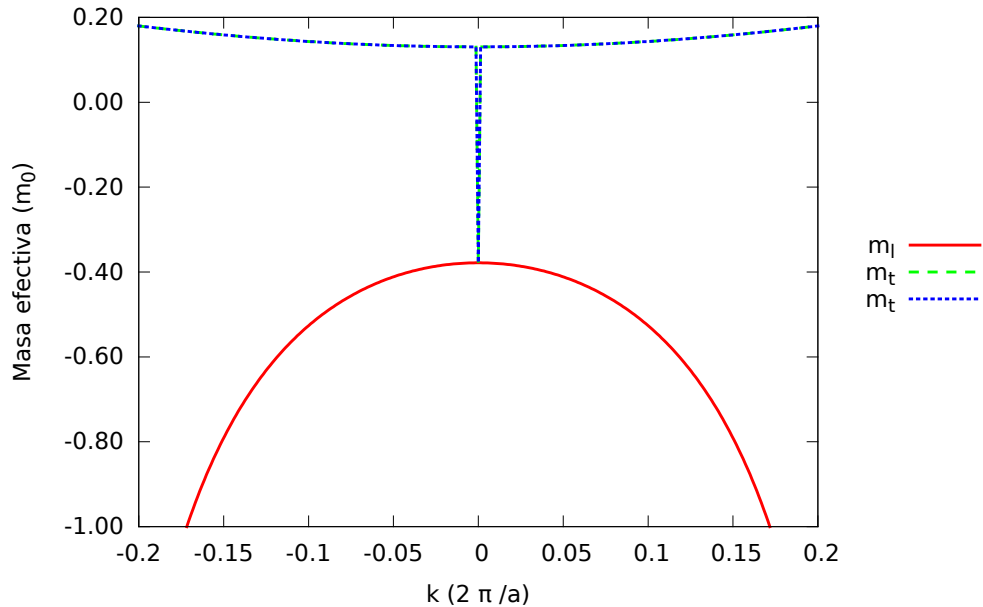
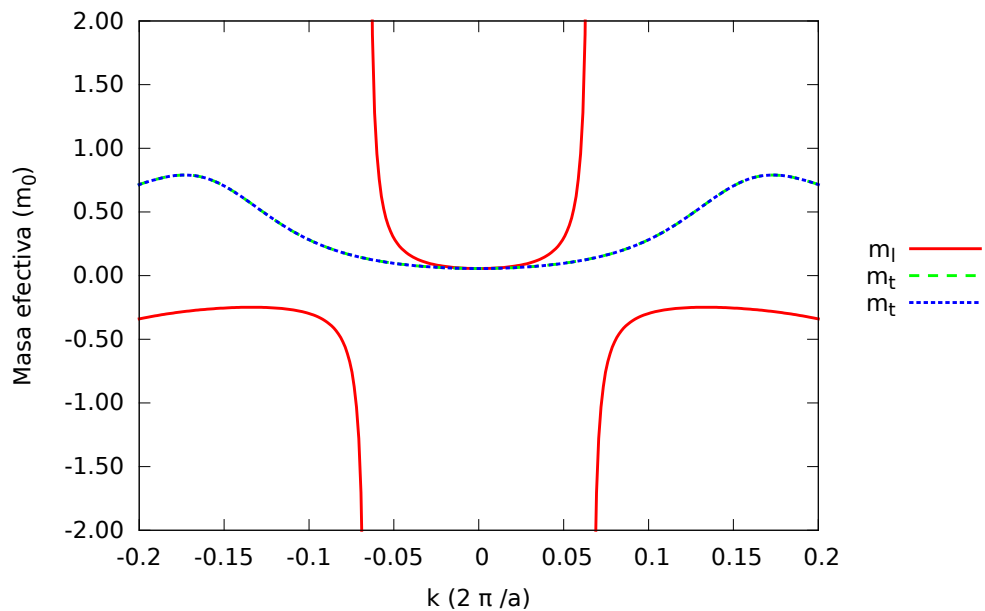
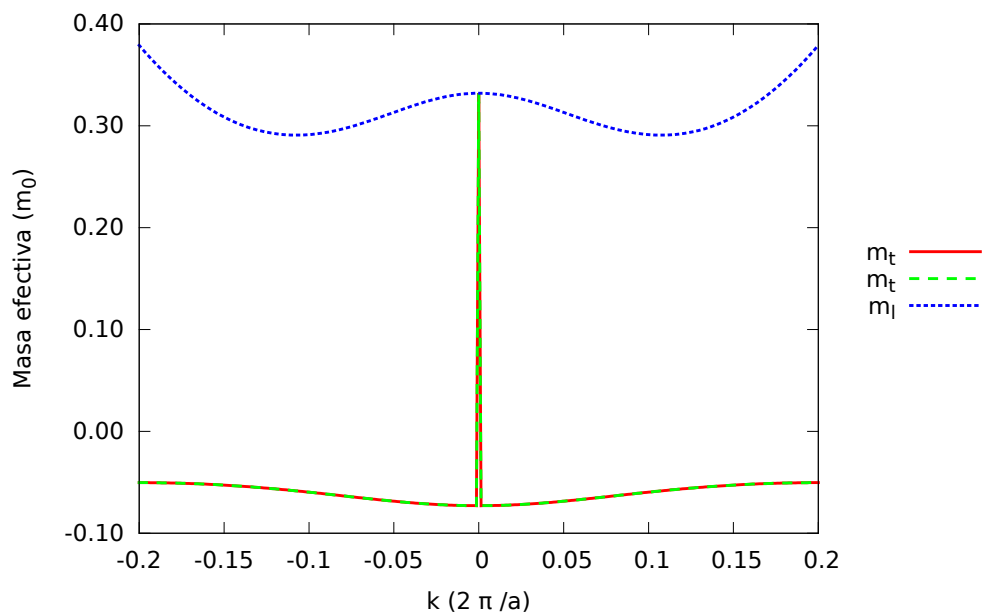


Figura 4.71: $H_{7\times 7}$ eje $\Delta \vec{k} = (k, 0, 0)$ para la banda 3

Figura 4.72: $H_{7 \times 7}$ eje $\Delta \vec{k} = (k, 0, 0)$ para la banda 4Figura 4.73: $H_{7 \times 7}$ eje $\Delta \vec{k} = (k, 0, 0)$ para la banda 5

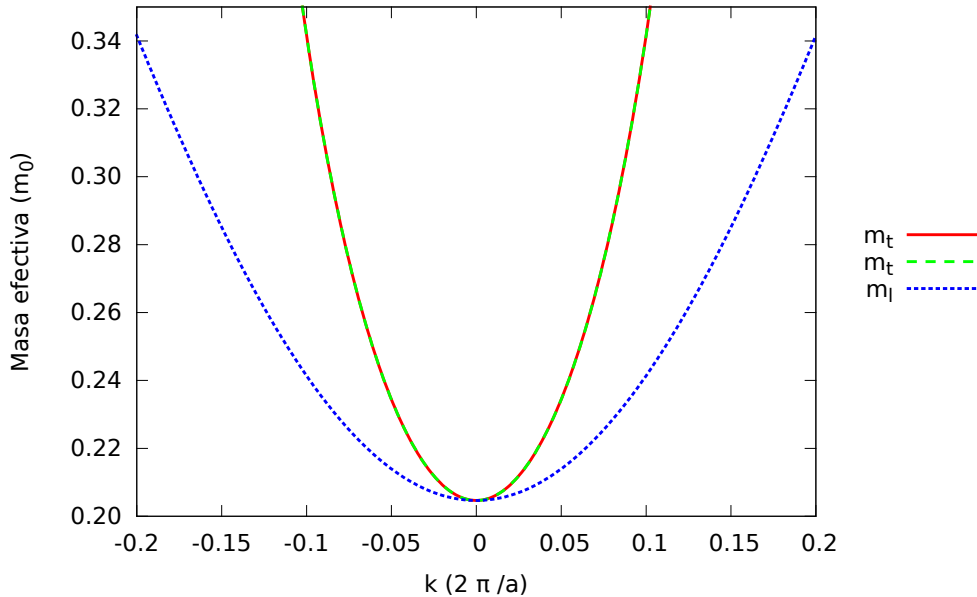


Figura 4.74: $H_{7 \times 7}$ eje Δ $\vec{k} = (k, 0, 0)$ para la banda 6

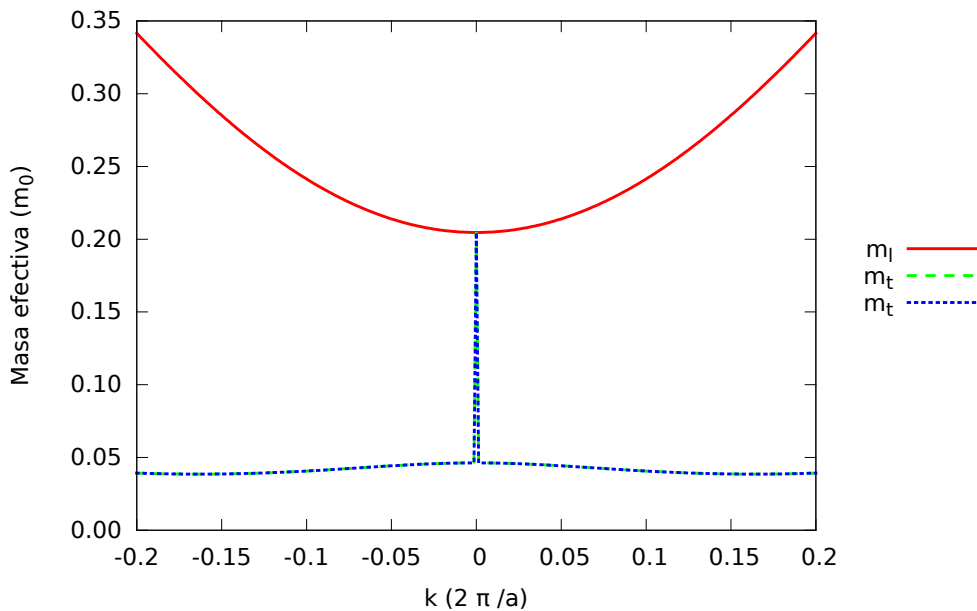
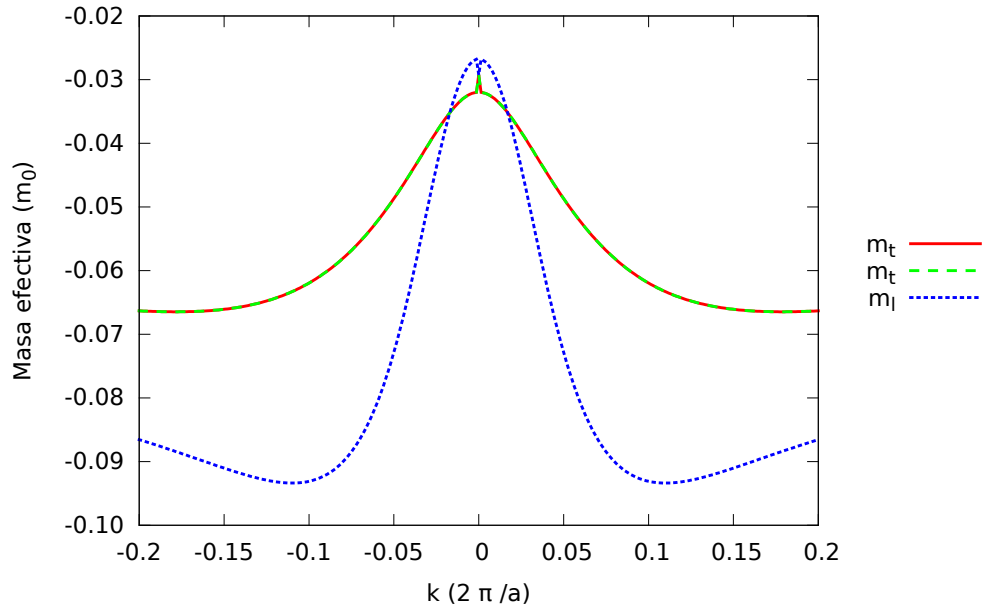
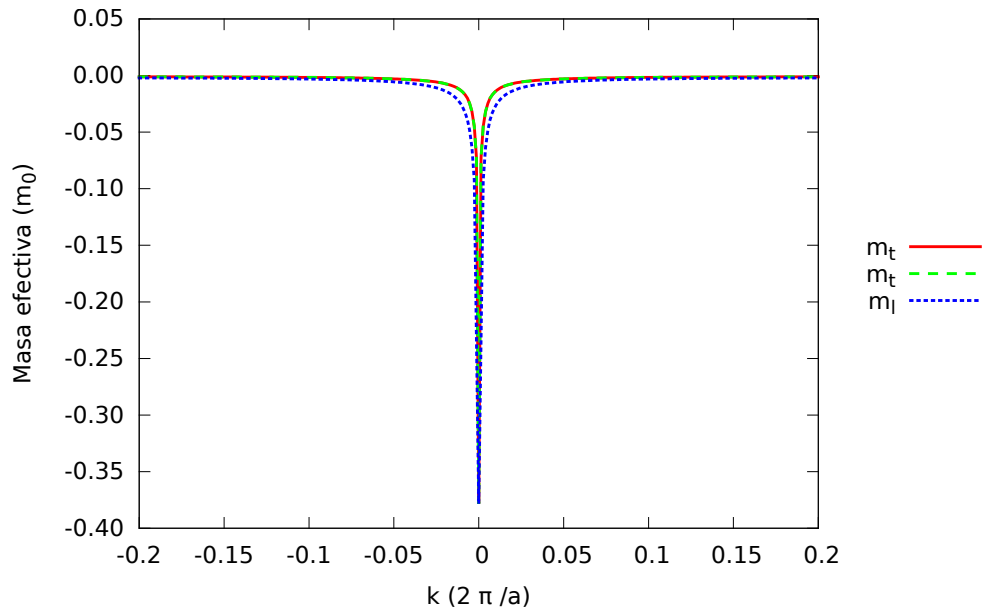


Figura 4.75: $H_{7 \times 7}$ eje Δ $\vec{k} = (k, 0, 0)$ para la banda 7

Figura 4.76: $H_{7 \times 7}$ eje $\vec{\Lambda}$ $\vec{k} = (k, k, k)$ para la banda 1Figura 4.77: $H_{7 \times 7}$ eje $\vec{\Lambda}$ $\vec{k} = (k, k, k)$ para la banda 2

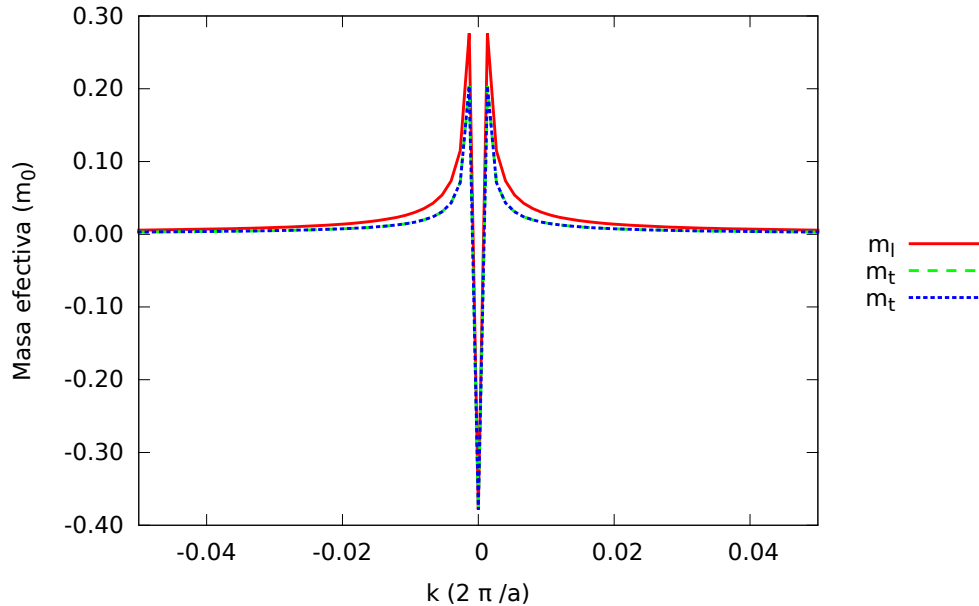


Figura 4.78: $H_{7 \times 7}$ eje $\vec{\Lambda}$ $\vec{k} = (k, k, k)$ para la banda 3

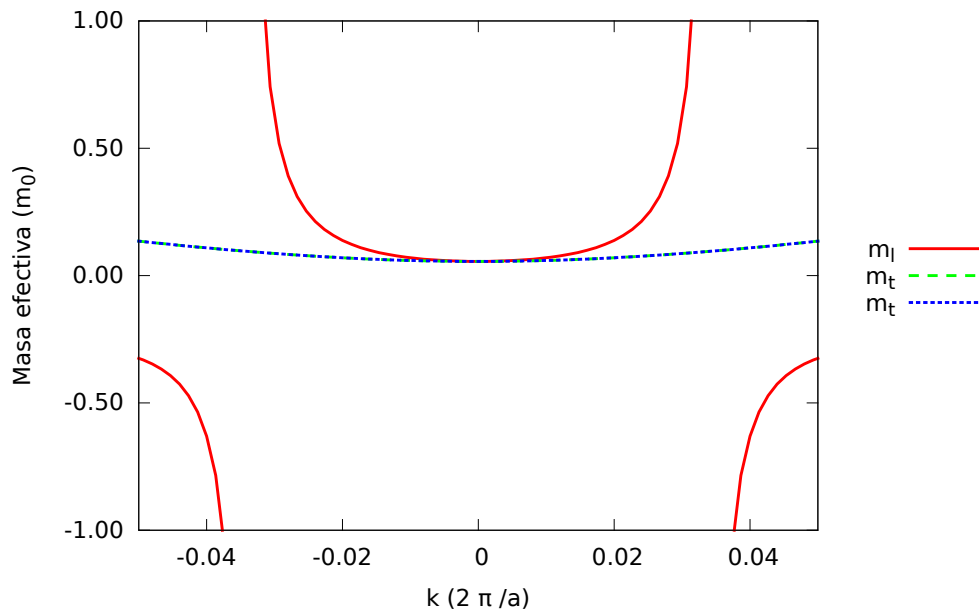
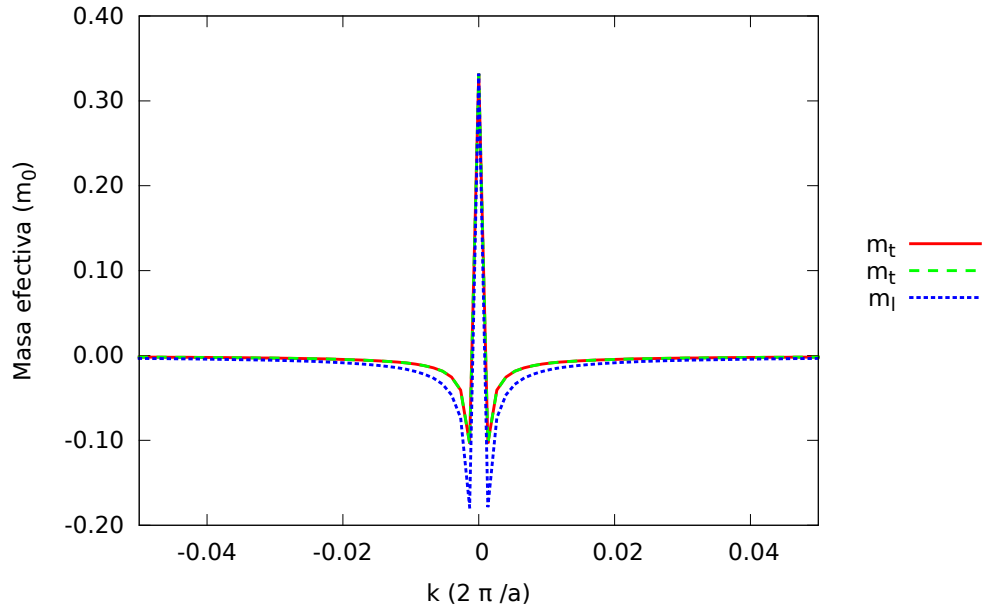
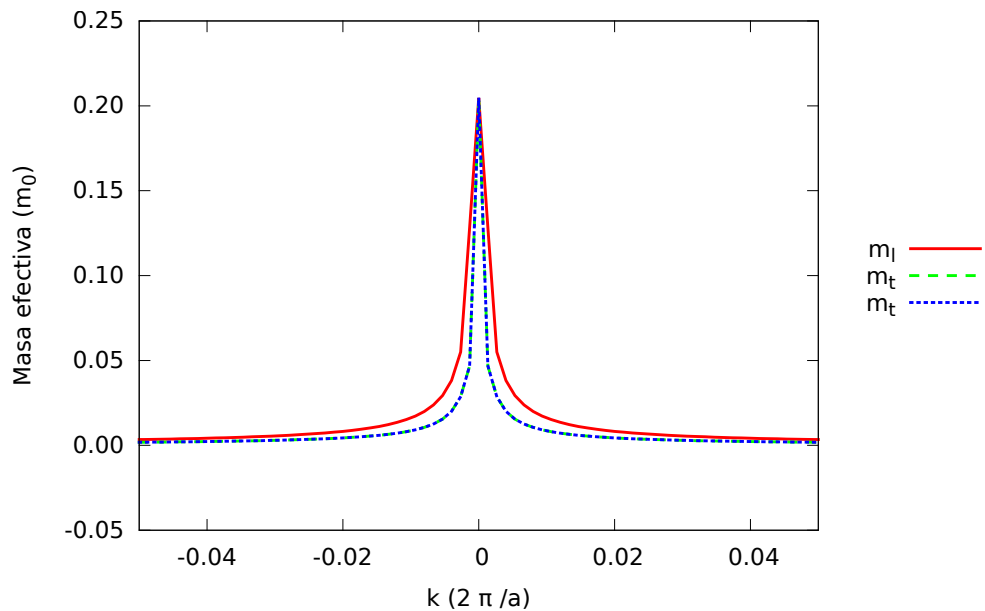


Figura 4.79: $H_{7 \times 7}$ eje $\vec{\Lambda}$ $\vec{k} = (k, k, k)$ para la banda 4

Figura 4.80: $H_{7\times 7}$ eje $\vec{\Lambda}$ $\vec{k} = (k, k, k)$ para la banda 5Figura 4.81: $H_{7\times 7}$ eje $\vec{\Lambda}$ $\vec{k} = (k, k, k)$ para la banda 6

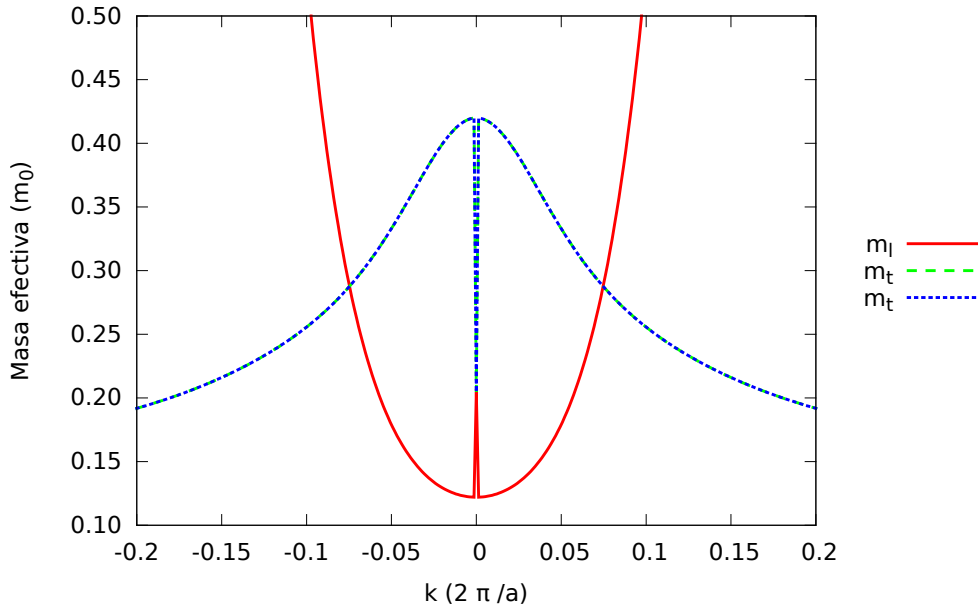


Figura 4.82: $H_{7 \times 7}$ eje Λ $\vec{k} = (k, k, k)$ para la banda 7

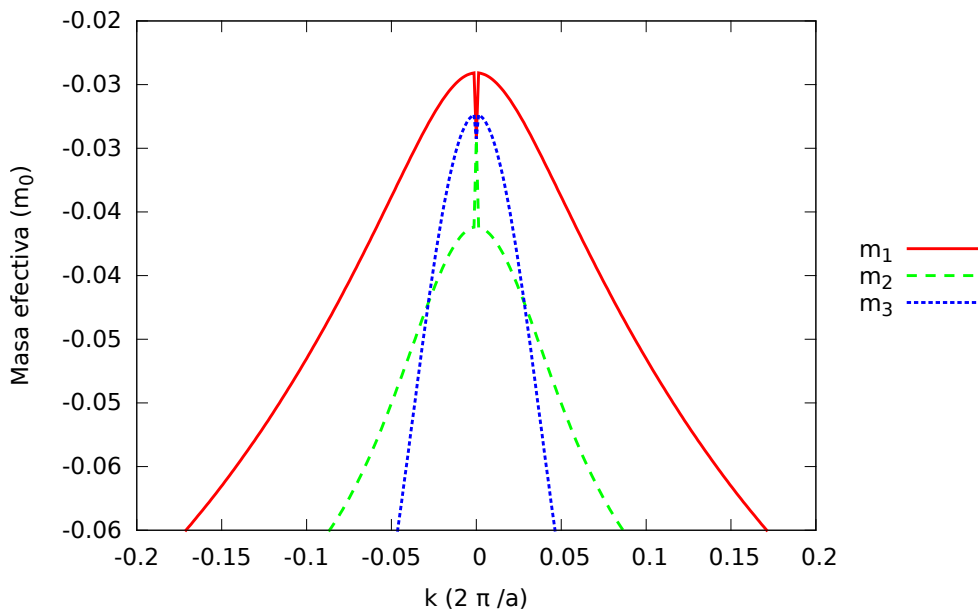
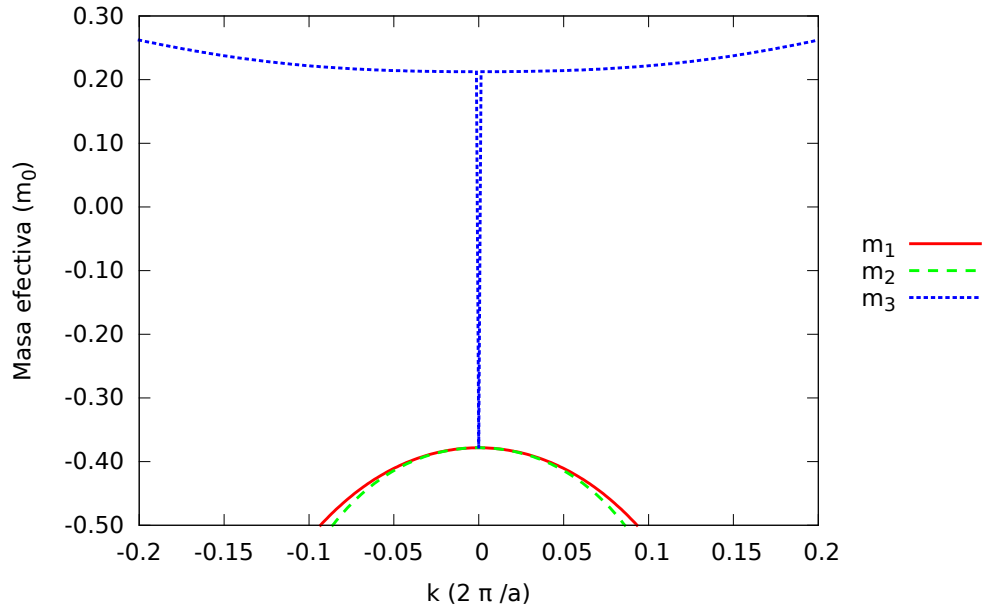
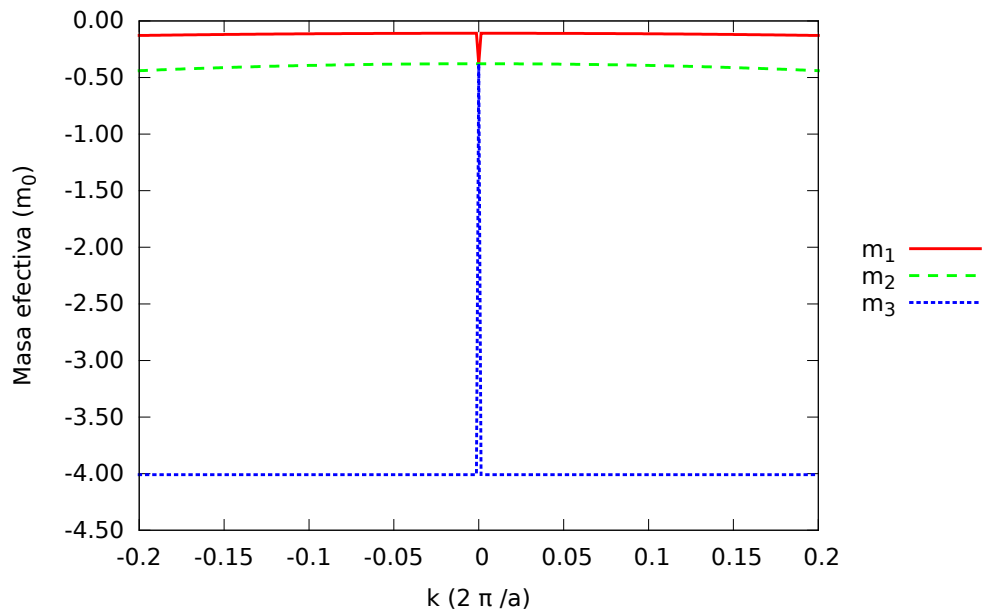


Figura 4.83: $H_{7 \times 7}$ eje Σ $\vec{k} = (k, k, 0)$ para la banda 1

Figura 4.84: $H_{7 \times 7}$ eje $\Sigma \vec{k} = (k, k, 0)$ para la banda 2Figura 4.85: $H_{7 \times 7}$ eje $\Sigma \vec{k} = (k, k, 0)$ para la banda 3

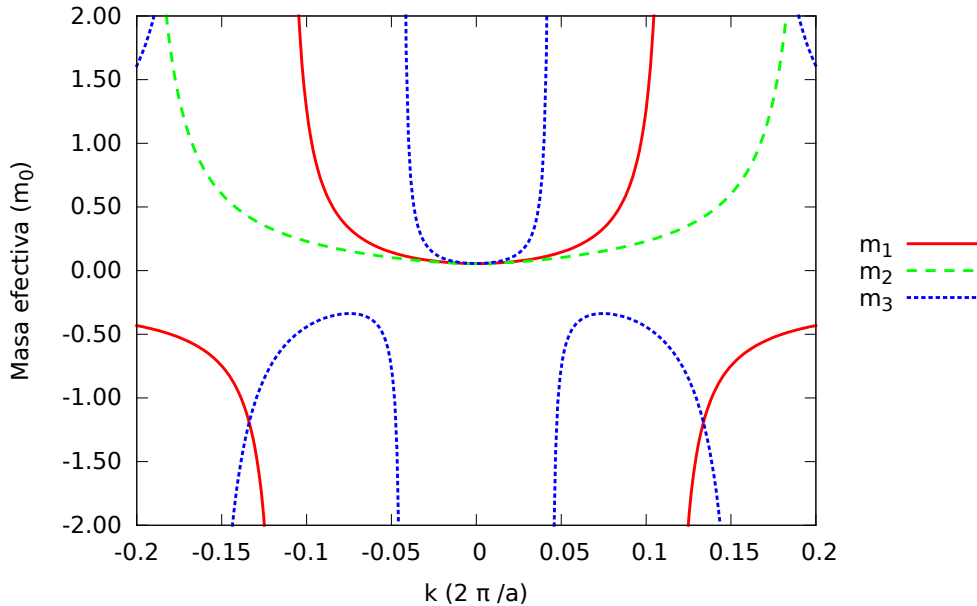


Figura 4.86: $H_{7 \times 7}$ eje Σ $\vec{k} = (k, k, 0)$ para la banda 4

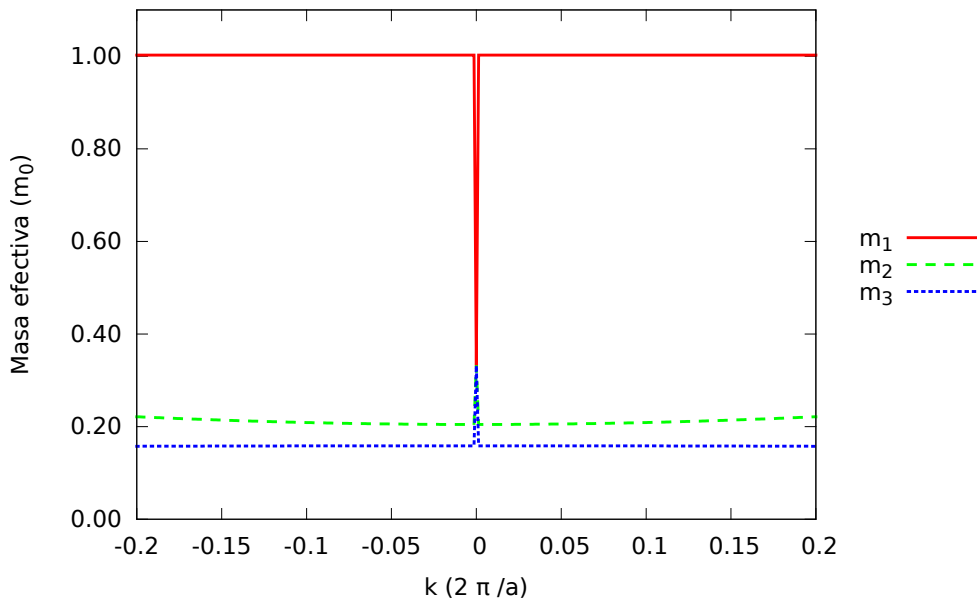
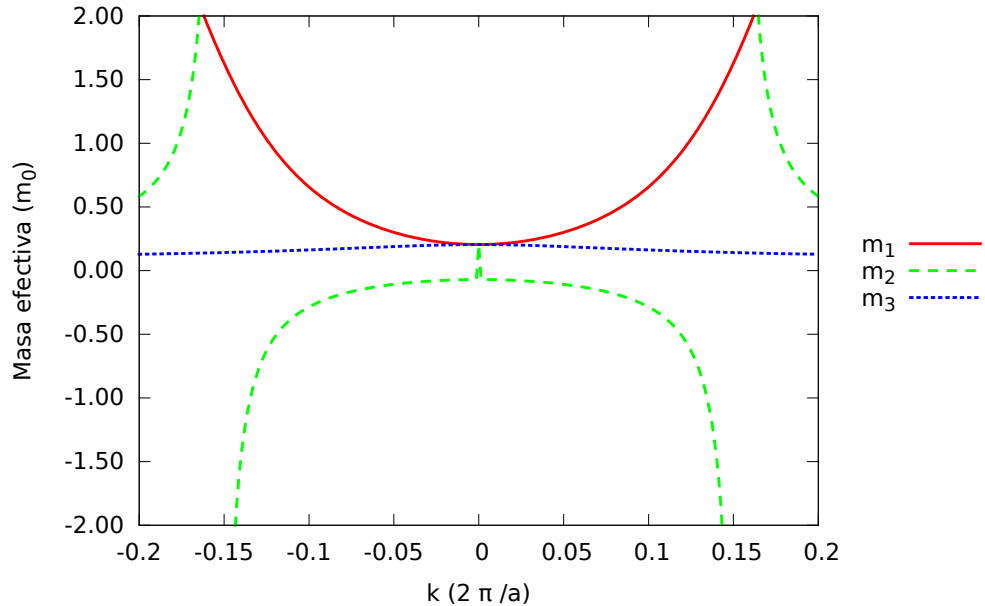
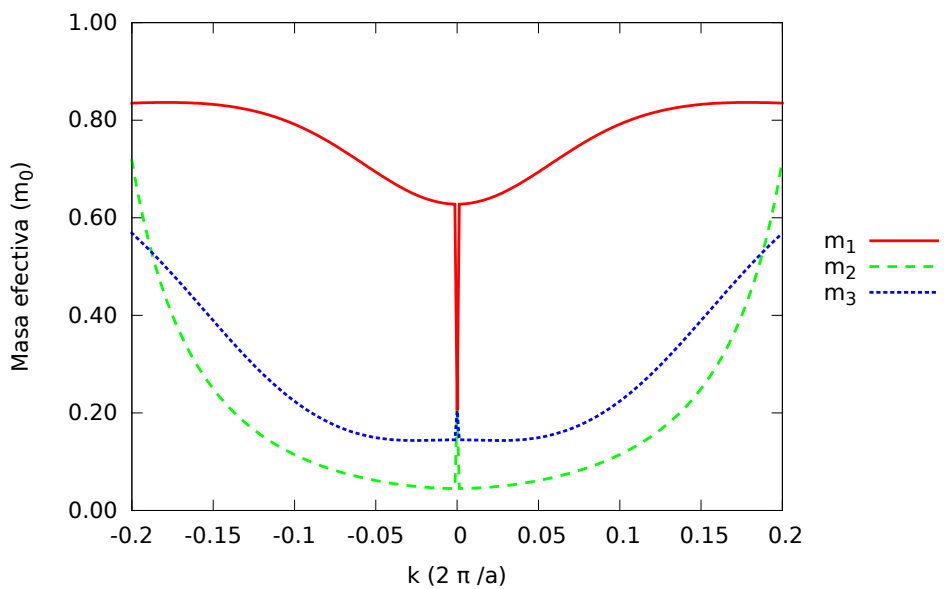


Figura 4.87: $H_{7 \times 7}$ eje Σ $\vec{k} = (k, k, 0)$ para la banda 5

Figura 4.88: $H_{7 \times 7}$ eje $\Sigma \vec{k} = (k, k, 0)$ para la banda 6Figura 4.89: $H_{7 \times 7}$ eje $\Sigma \vec{k} = (k, k, 0)$ para la banda 7

■ $H_{8 \times 8}$

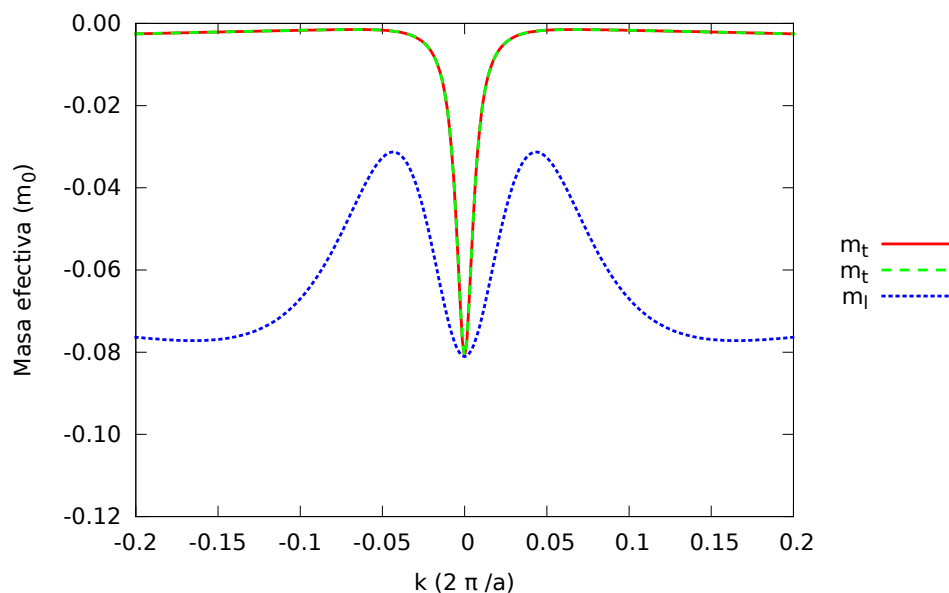


Figura 4.90: $H_{8 \times 8}$ eje $\Delta \vec{k} = (k, 0, 0)$ para la banda 1

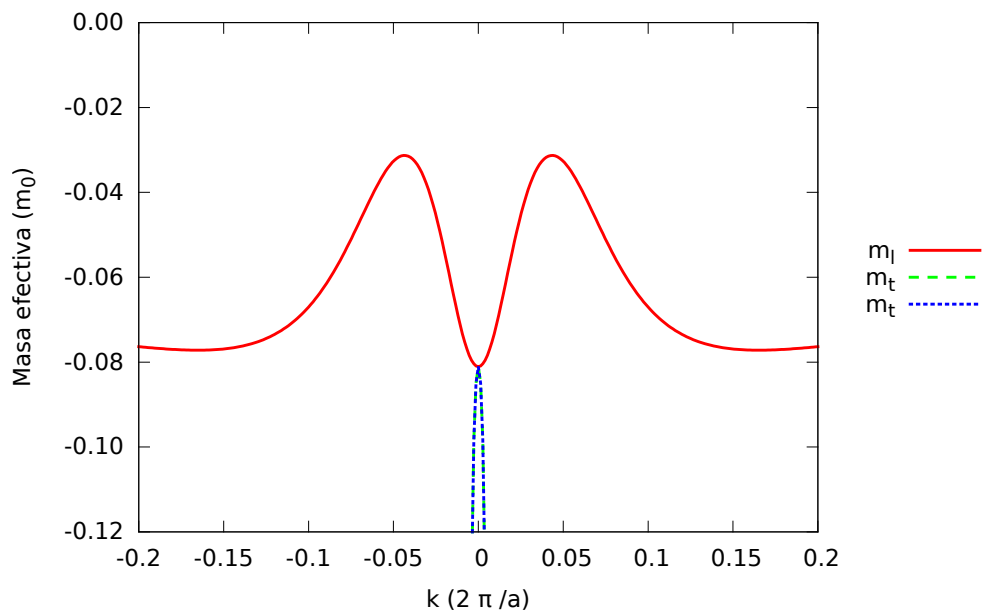
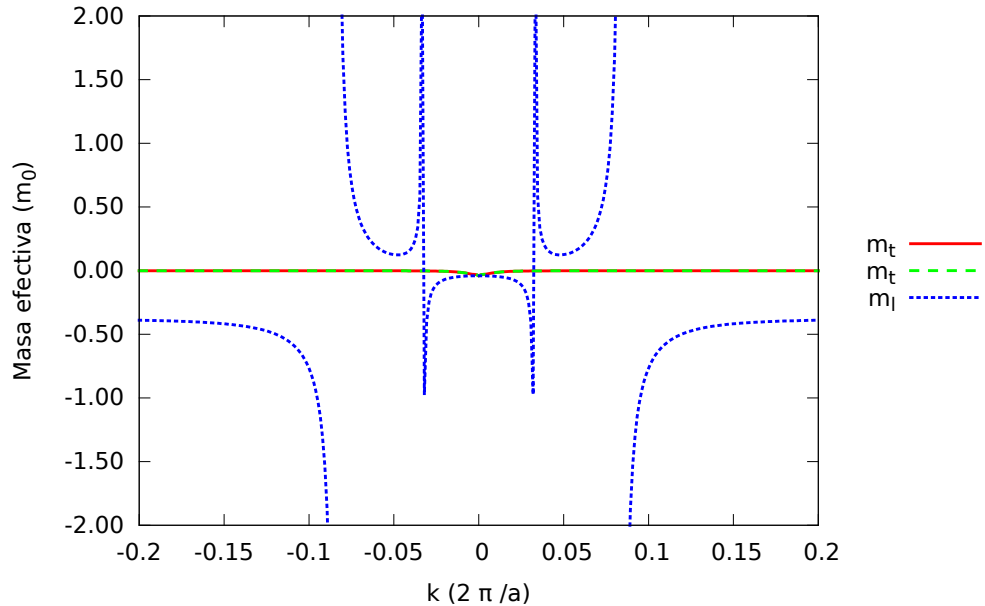
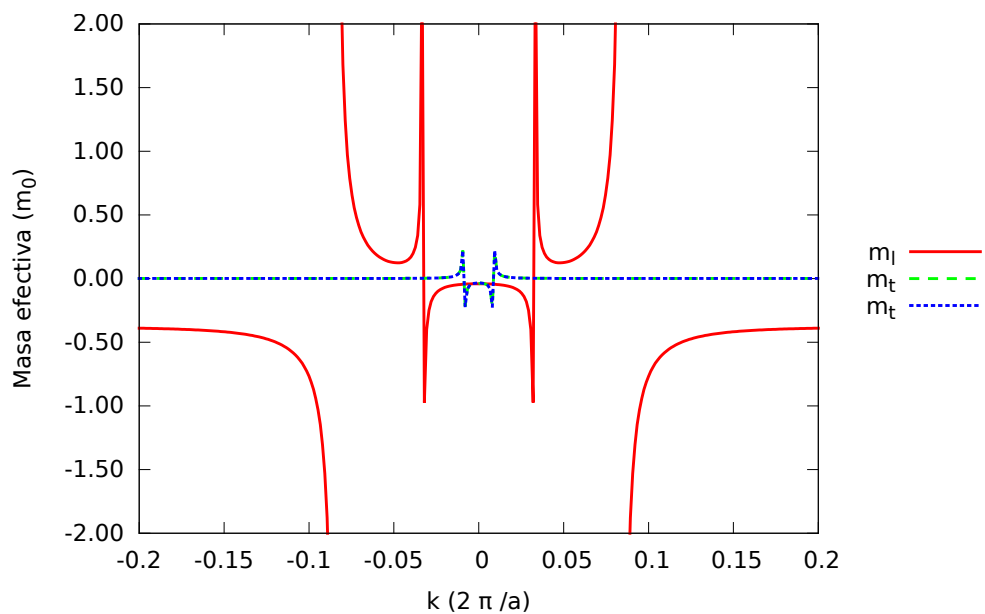


Figura 4.91: $H_{8 \times 8}$ eje $\Delta \vec{k} = (k, 0, 0)$ para la banda 2

Figura 4.92: $H_{8 \times 8}$ eje $\Delta \vec{k} = (k, 0, 0)$ para la banda 3Figura 4.93: $H_{8 \times 8}$ eje $\Delta \vec{k} = (k, 0, 0)$ para la banda 4

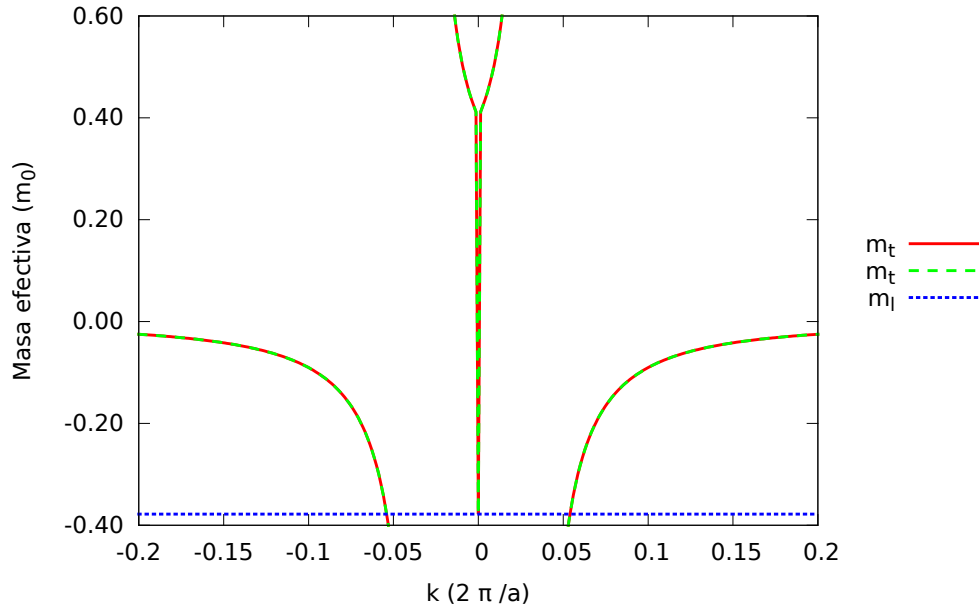


Figura 4.94: $H_{8 \times 8}$ eje $\Delta \vec{k} = (k, 0, 0)$ para la banda 5

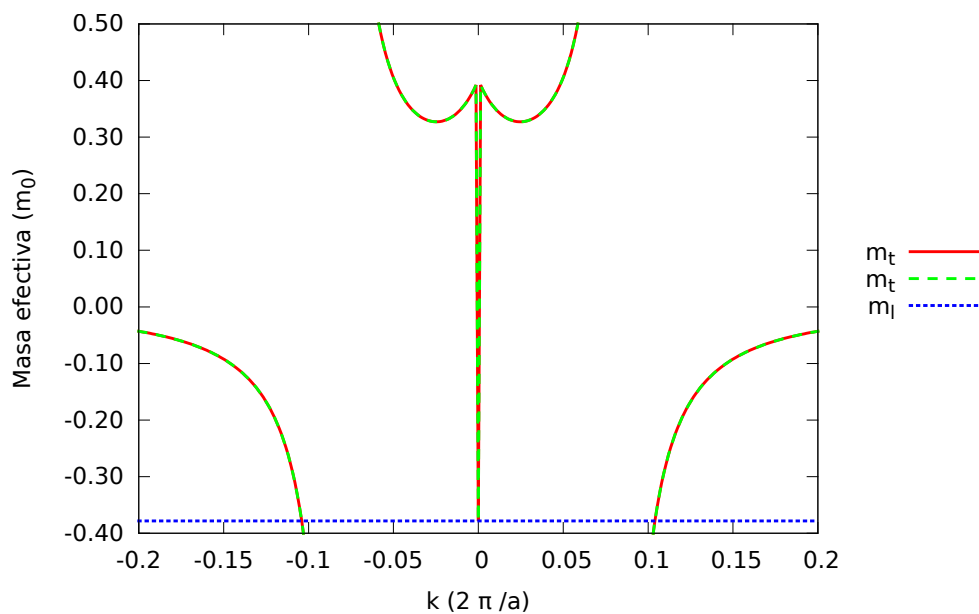
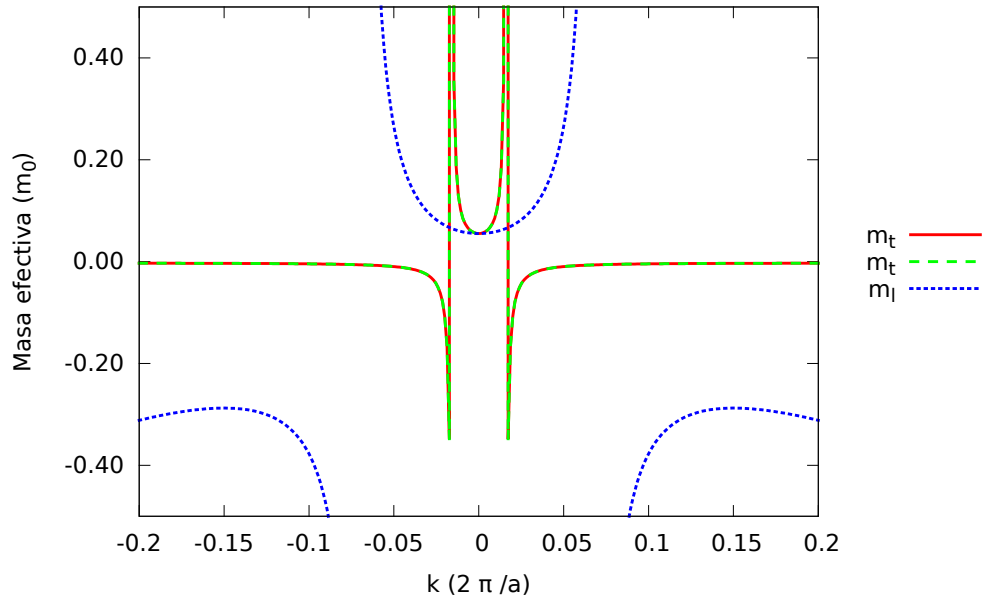
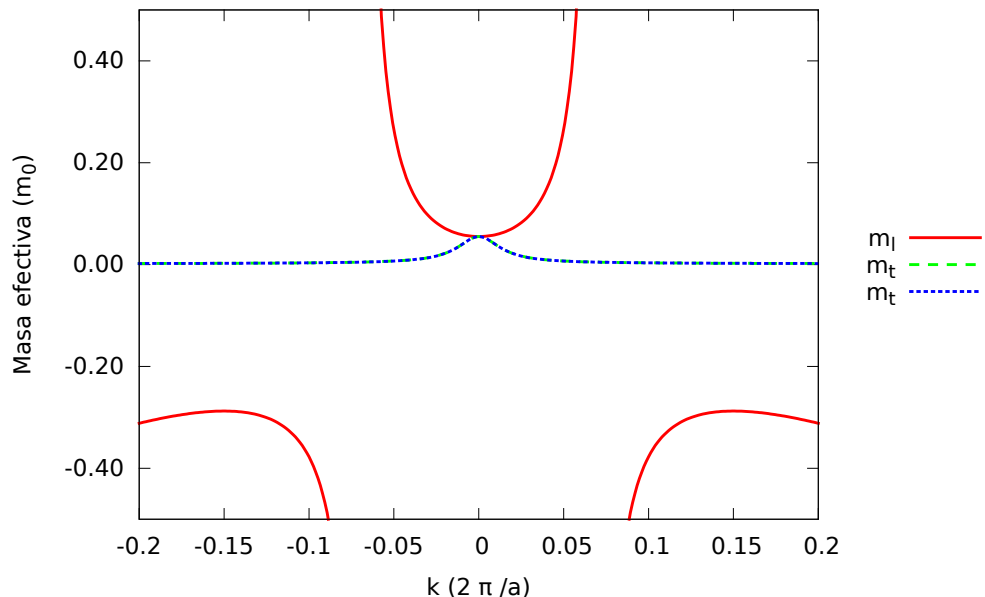


Figura 4.95: $H_{8 \times 8}$ eje $\Delta \vec{k} = (k, 0, 0)$ para la banda 6

Figura 4.96: $H_{8 \times 8}$ eje $\Delta \vec{k} = (k, 0, 0)$ para la banda 7Figura 4.97: $H_{8 \times 8}$ eje $\Delta \vec{k} = (k, 0, 0)$ para la banda 8

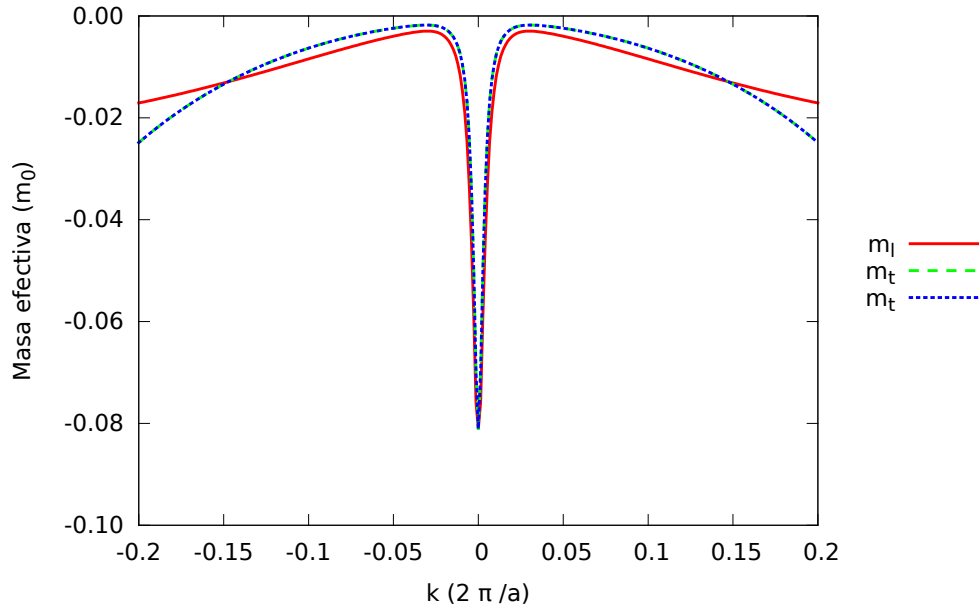


Figura 4.98: $H_{8 \times 8}$ eje $\vec{\Lambda}$ $\vec{k} = (k, k, k)$ para la banda 1

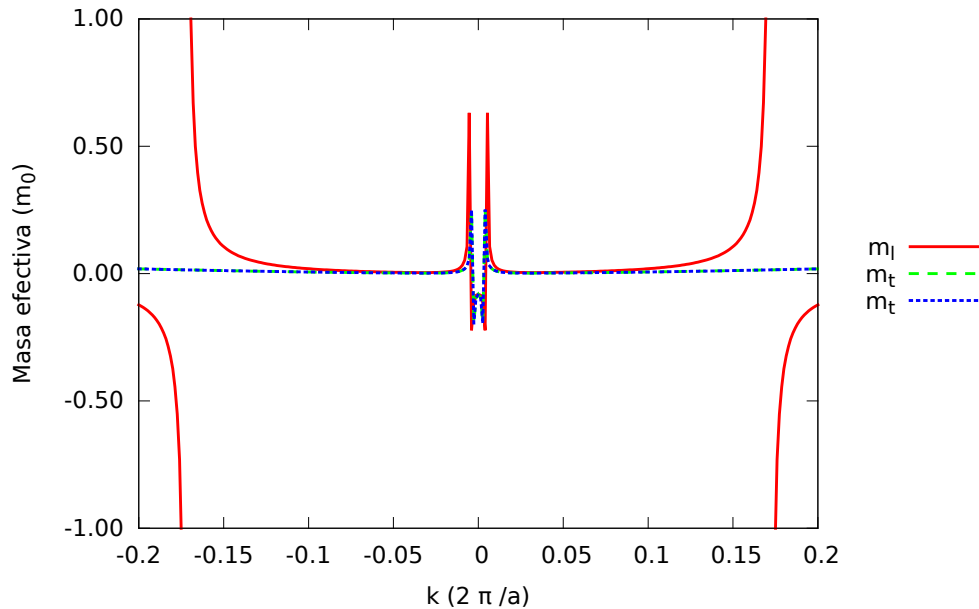
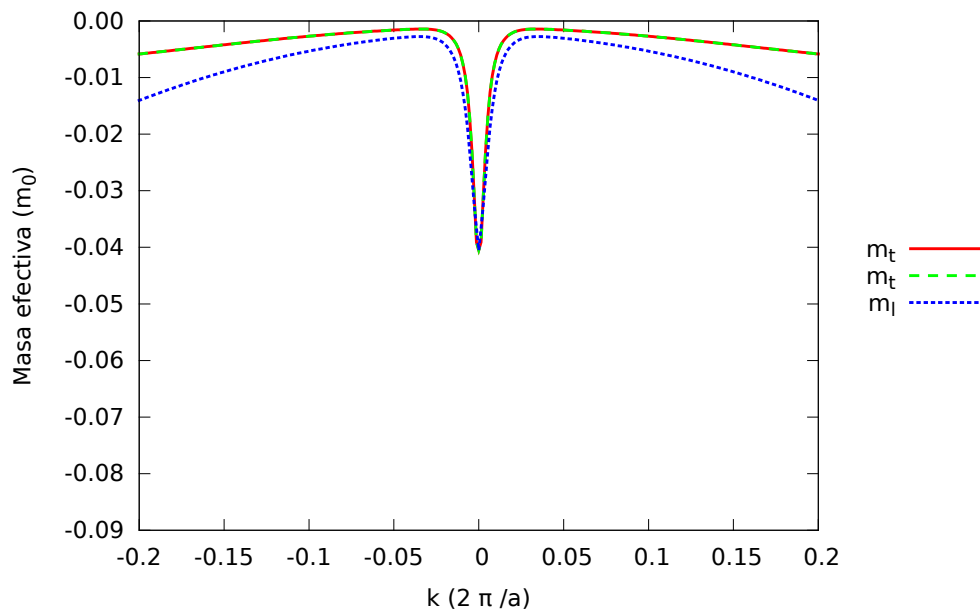
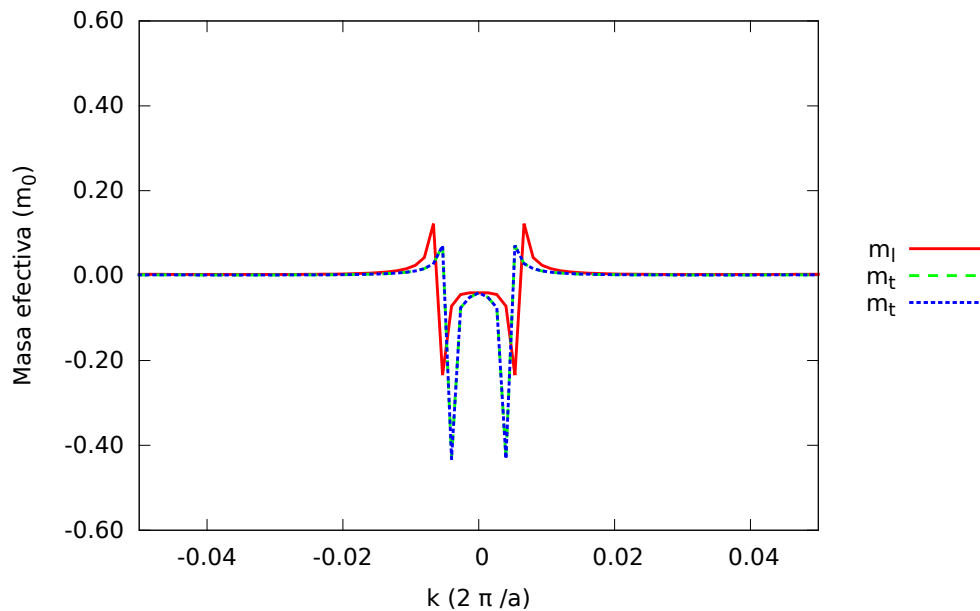


Figura 4.99: $H_{8 \times 8}$ eje $\vec{\Lambda}$ $\vec{k} = (k, k, k)$ para la banda 2

Figura 4.100: $H_{8 \times 8}$ eje $\vec{\Lambda}$ $\vec{k} = (k, k, k)$ para la banda 3Figura 4.101: $H_{8 \times 8}$ eje $\vec{\Lambda}$ $\vec{k} = (k, k, k)$ para la banda 4

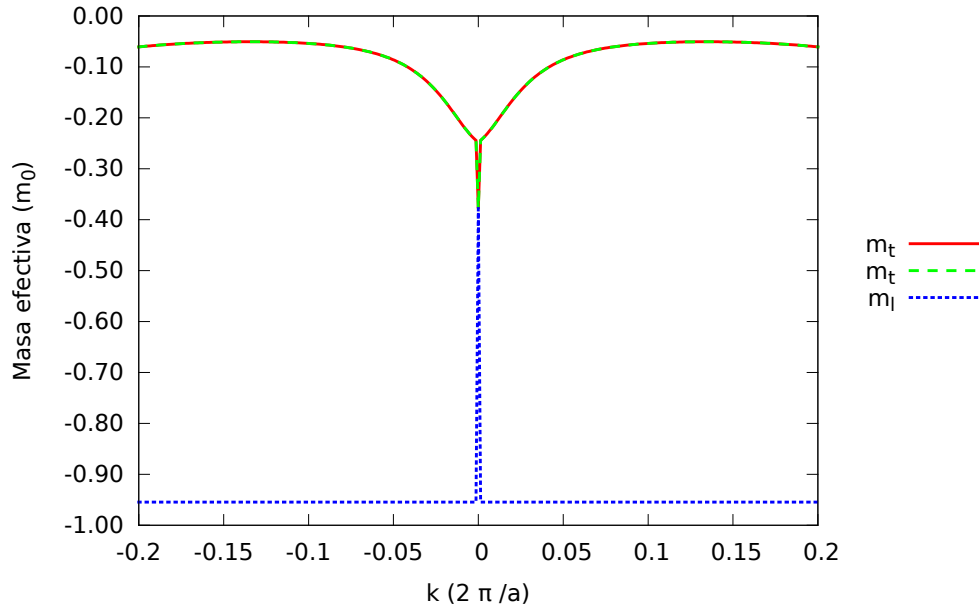


Figura 4.102: $H_{8 \times 8}$ eje $\vec{\Lambda}$ $\vec{k} = (k, k, k)$ para la banda 5

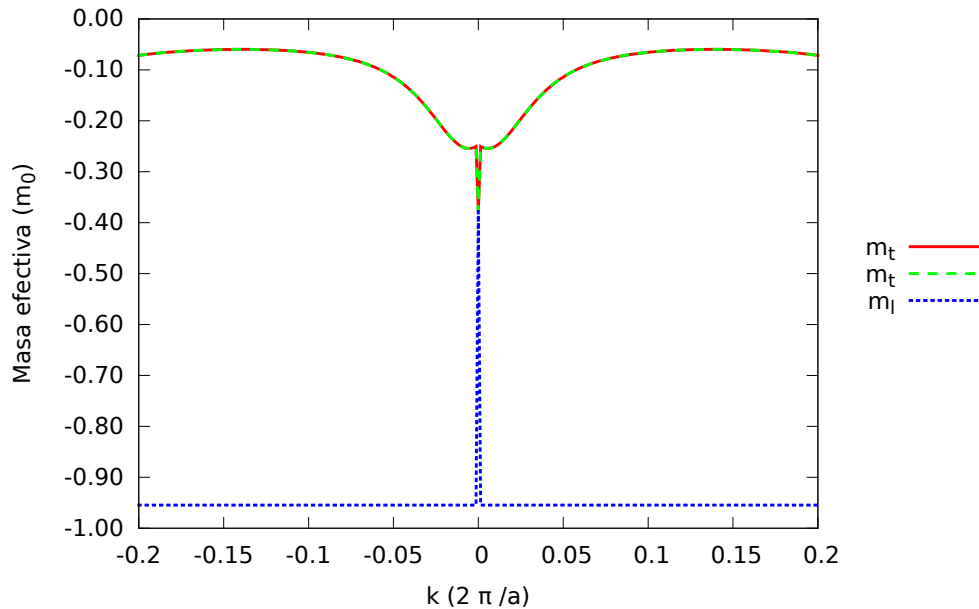
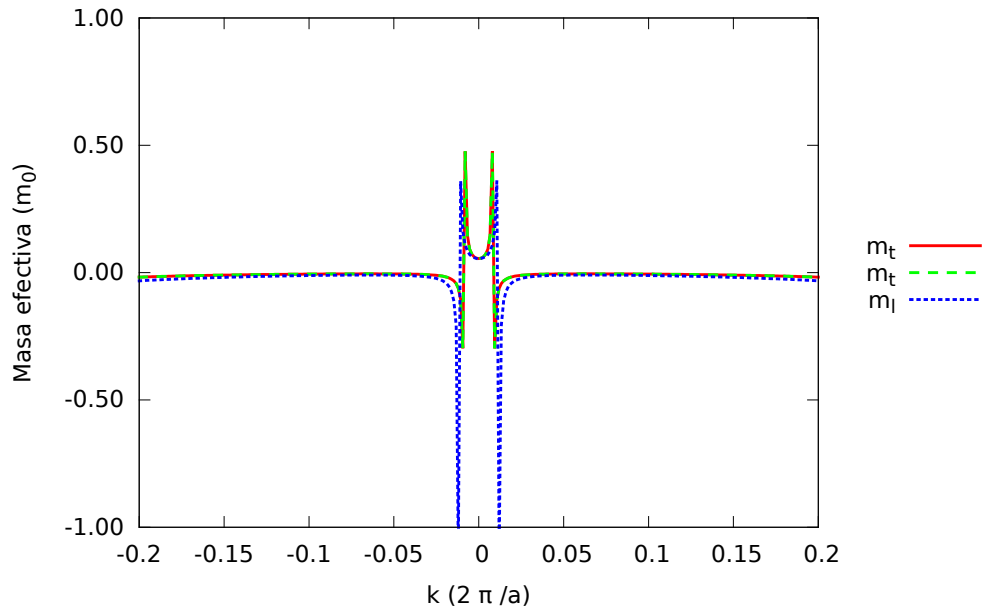
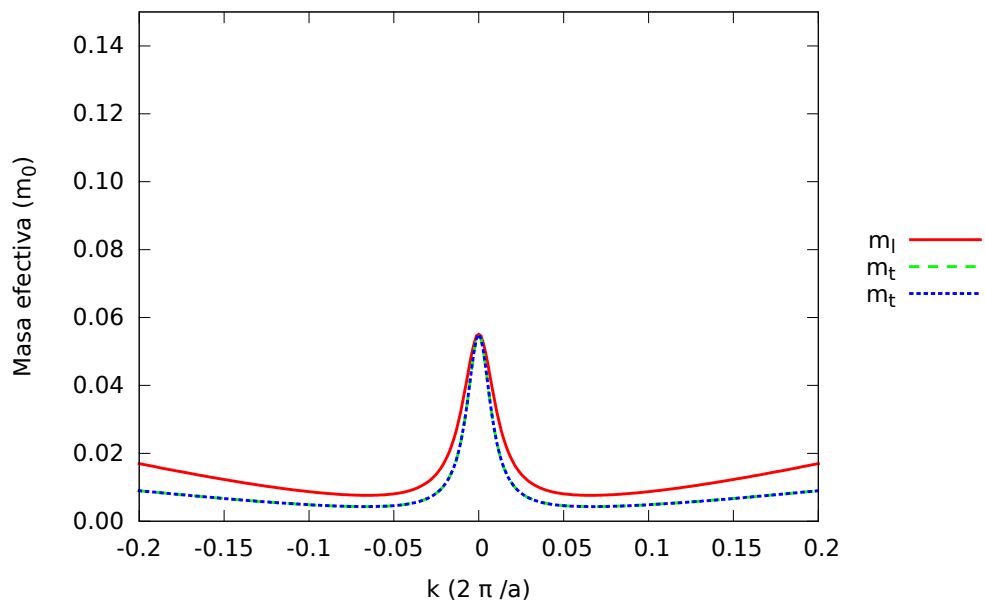


Figura 4.103: $H_{8 \times 8}$ eje $\vec{\Lambda}$ $\vec{k} = (k, k, k)$ para la banda 6

Figura 4.104: $H_{8\times 8}$ eje $\vec{\Lambda}$ $\vec{k} = (k, k, k)$ para la banda 7Figura 4.105: $H_{8\times 8}$ eje $\vec{\Lambda}$ $\vec{k} = (k, k, k)$ para la banda 8

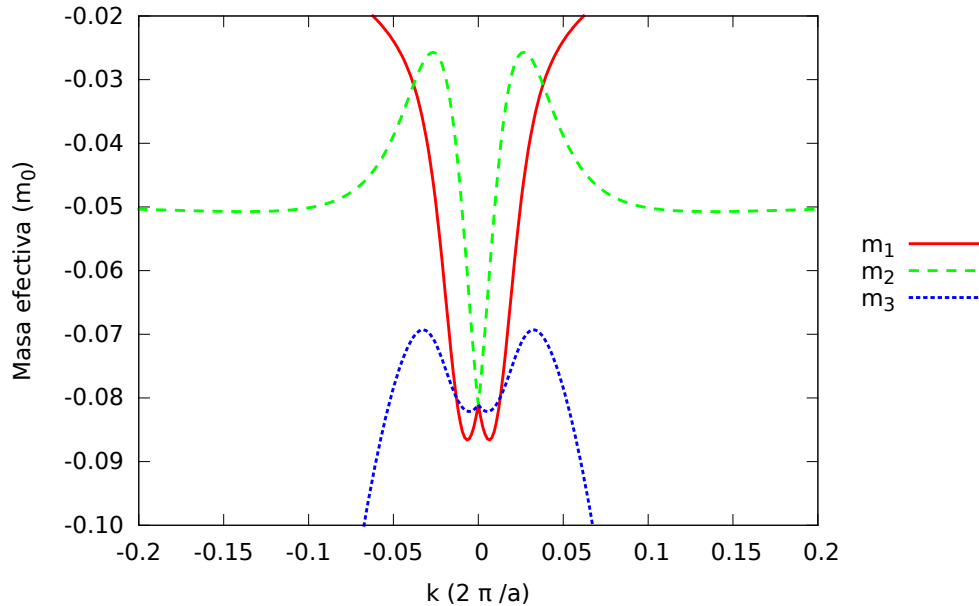


Figura 4.106: $H_{8 \times 8}$ eje $\Sigma \vec{k} = (k, k, 0)$ para la banda 1

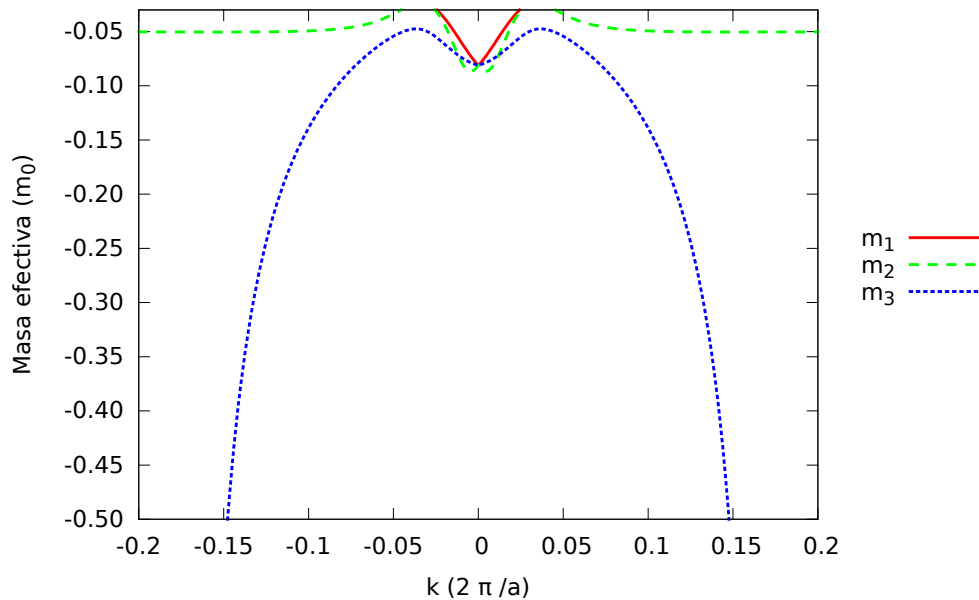
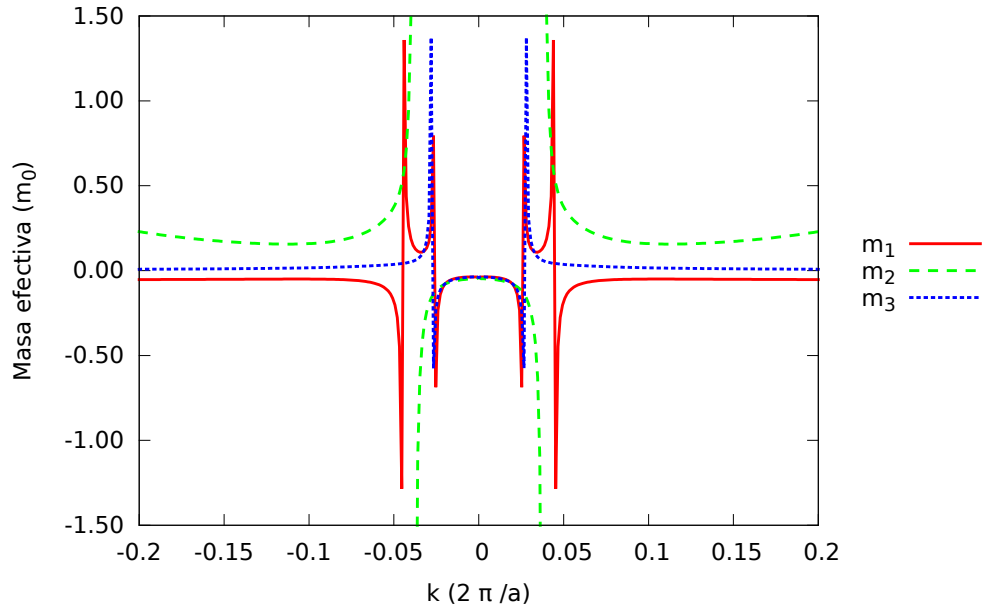
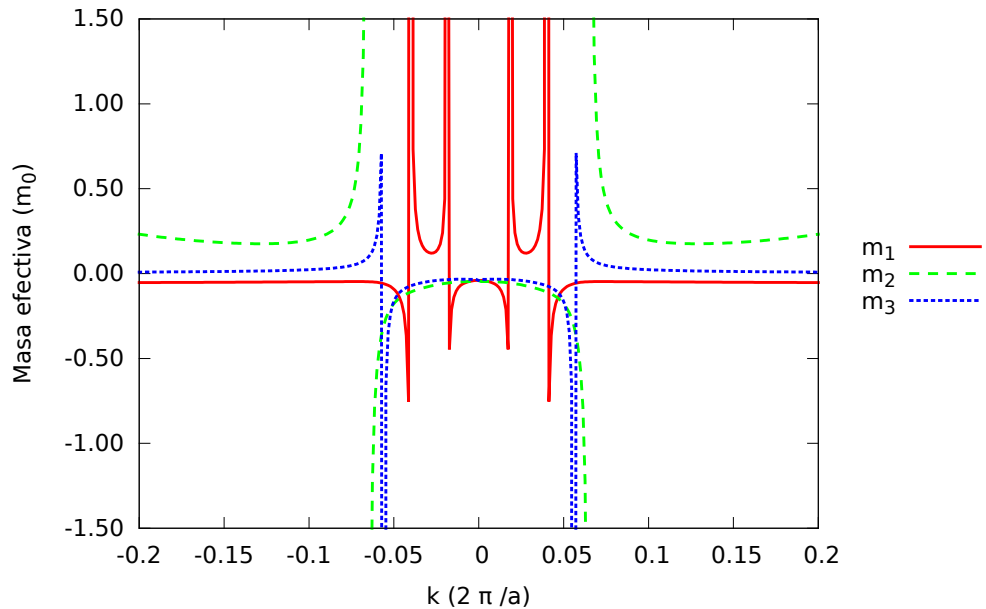


Figura 4.107: $H_{8 \times 8}$ eje $\Sigma \vec{k} = (k, k, 0)$ para la banda 2

Figura 4.108: $H_{8 \times 8}$ eje $\Sigma \vec{k} = (k, k, 0)$ para la banda 3Figura 4.109: $H_{8 \times 8}$ eje $\Sigma \vec{k} = (k, k, 0)$ para la banda 4

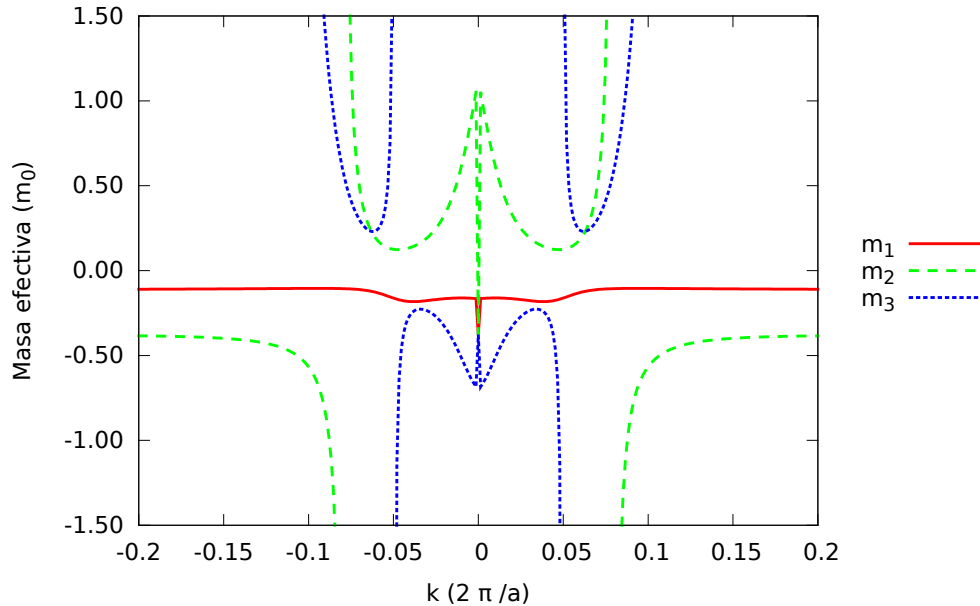


Figura 4.110: $H_{8 \times 8}$ eje $\Sigma \vec{k} = (k, k, 0)$ para la banda 5

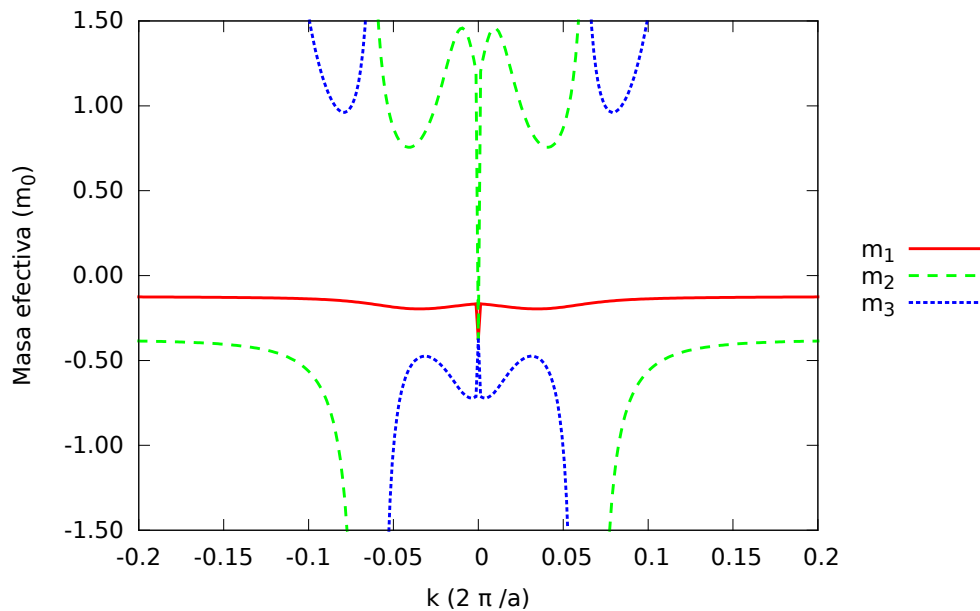
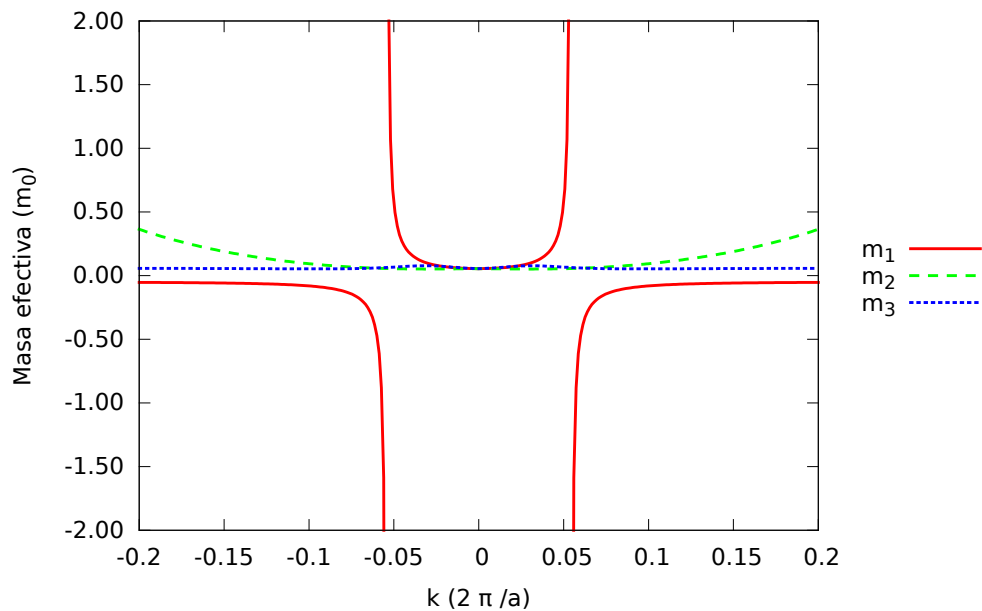
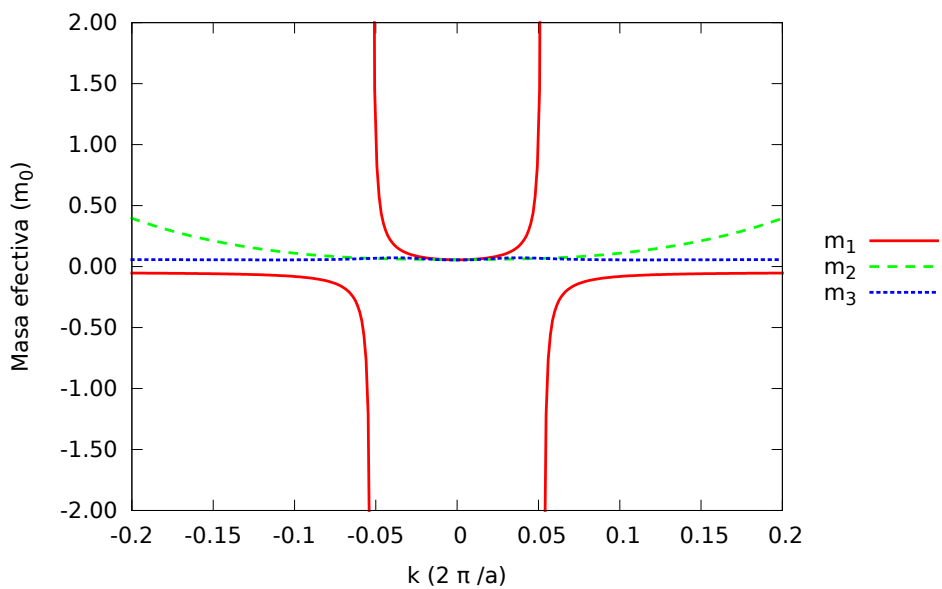


Figura 4.111: $H_{8 \times 8}$ eje $\Sigma \vec{k} = (k, k, 0)$ para la banda 6

Figura 4.112: $H_{8 \times 8}$ eje $\Sigma \vec{k} = (k, k, 0)$ para la banda 7Figura 4.113: $H_{8 \times 8}$ eje $\Sigma \vec{k} = (k, k, 0)$ para la banda 8

■ $H_{8 \times 8(k\pi)}$

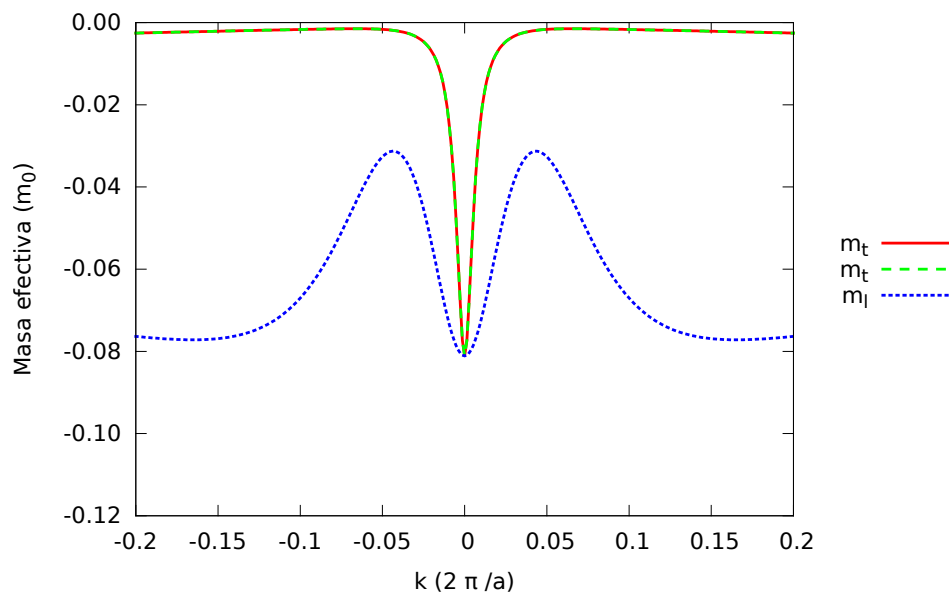


Figura 4.114: $H_{8 \times 8(k\pi)}$ eje delta banda 1

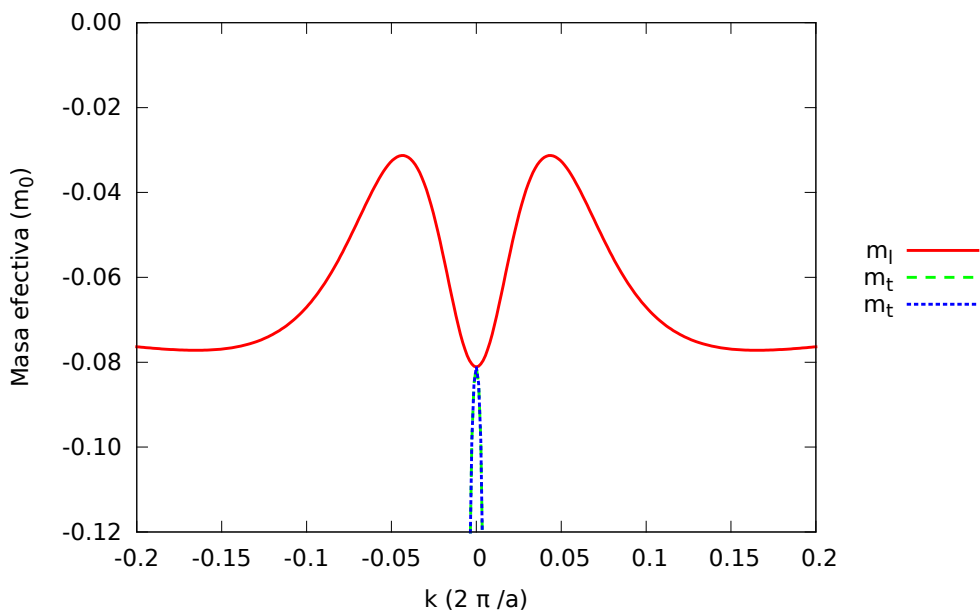
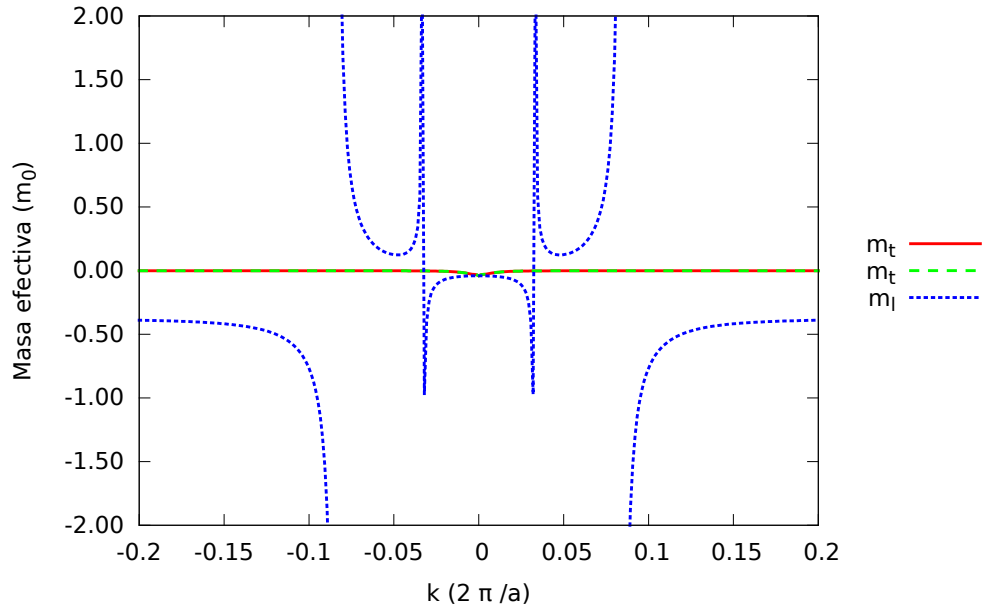
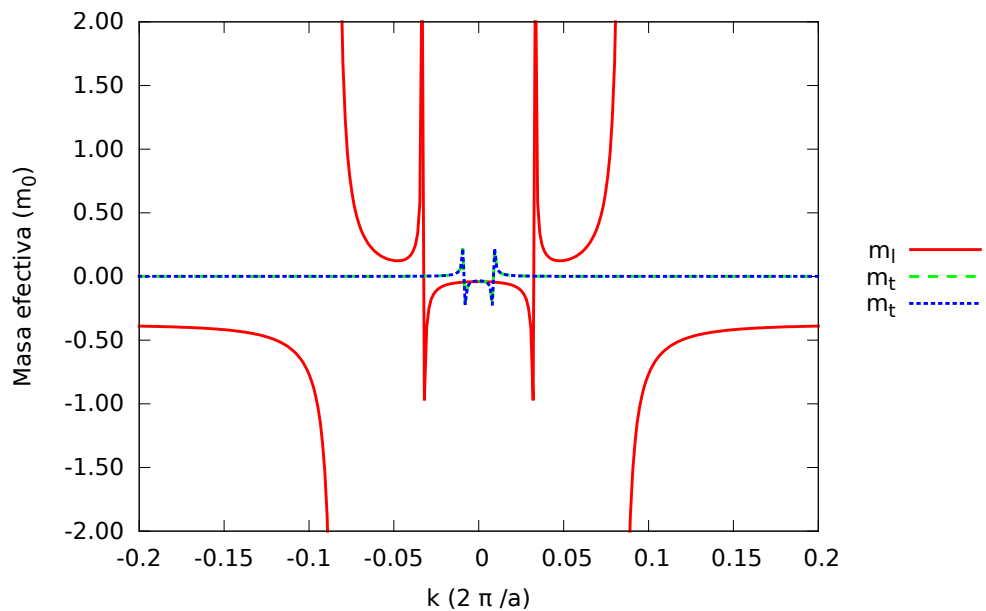
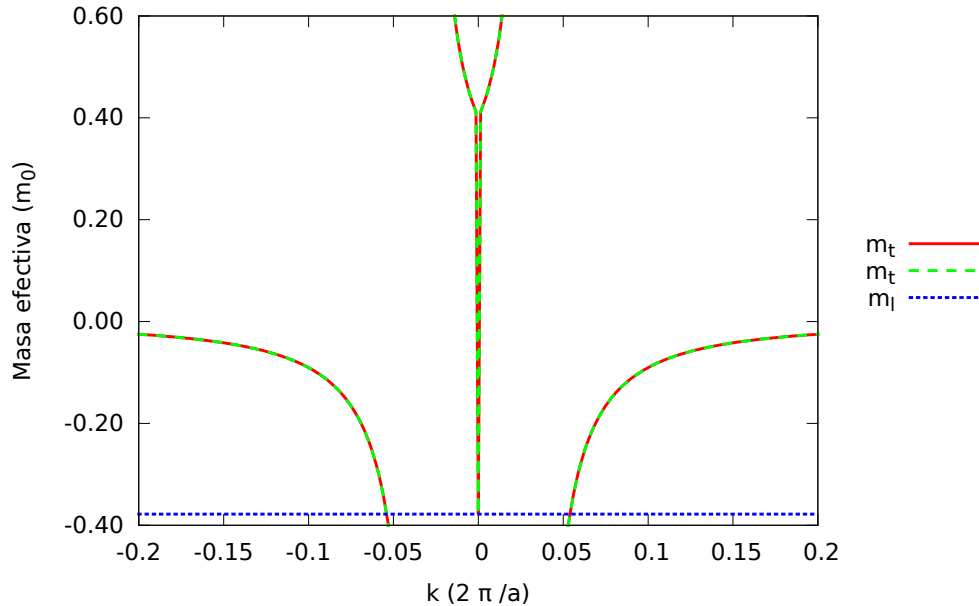
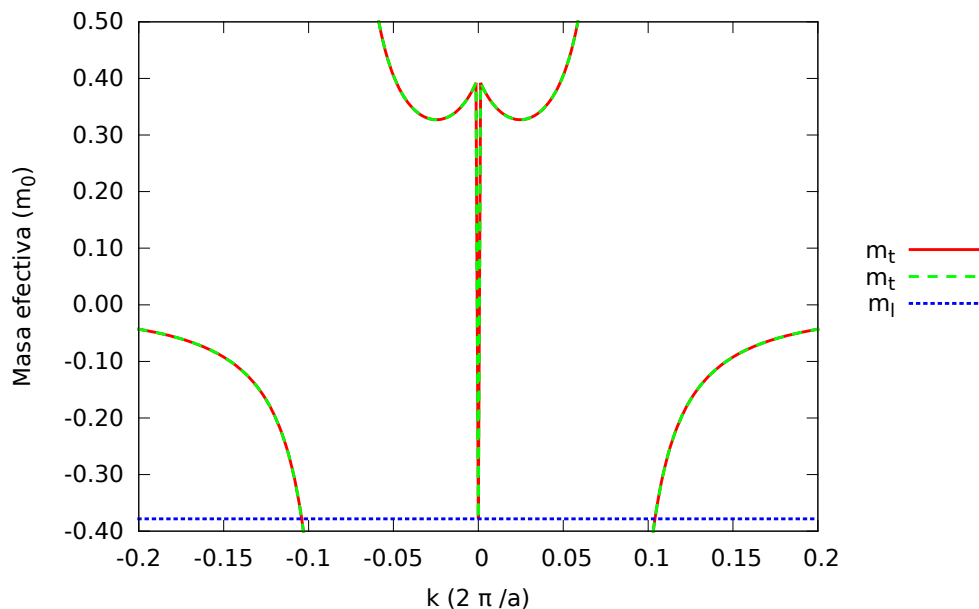
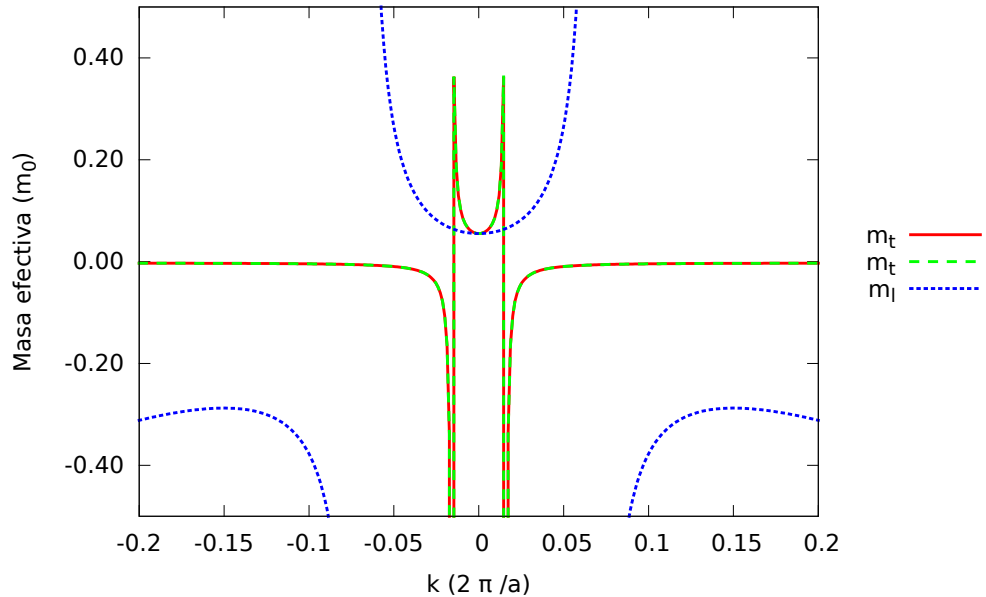
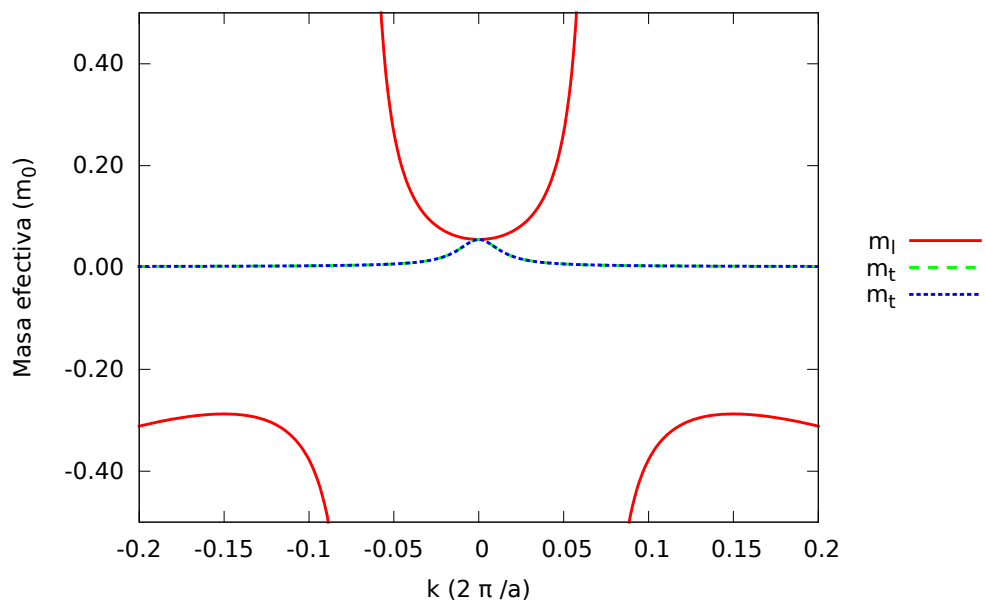


Figura 4.115: $H_{8 \times 8(k\pi)}$ eje delta banda 2

Figura 4.116: $H_{8 \times 8(k\pi)}$ eje delta banda 3Figura 4.117: $H_{8 \times 8(k\pi)}$ eje delta banda 4

Figura 4.118: $H_{8\times 8}(k\pi)$ eje delta banda 5Figura 4.119: $H_{8\times 8}(k\pi)$ eje delta banda 6

Figura 4.120: $H_{8\times 8(k\pi)}$ eje delta banda 7Figura 4.121: $H_{8\times 8(k\pi)}$ eje delta banda 8

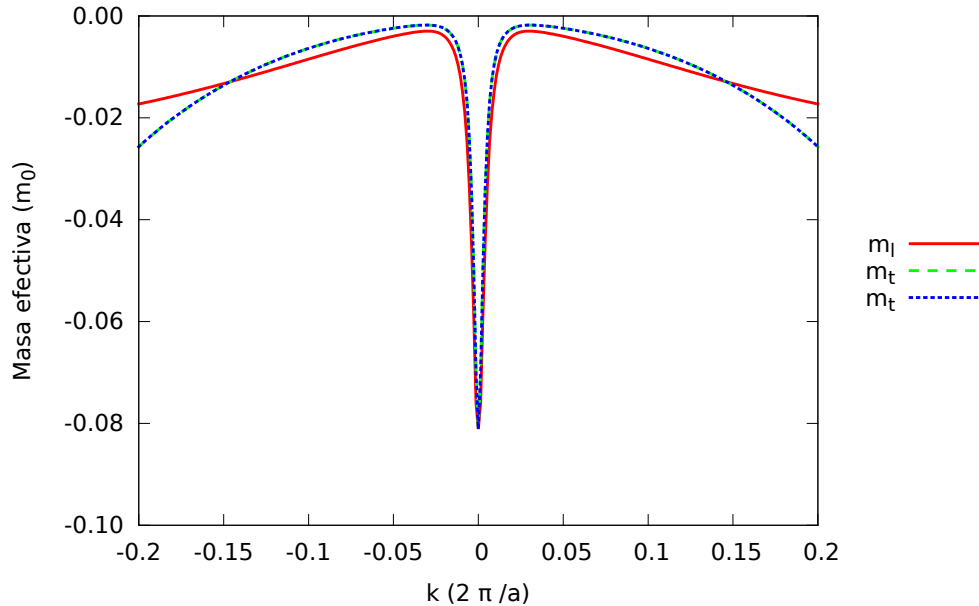


Figura 4.122: $H_{8\times 8(k\pi)}$ eje lambda banda 1

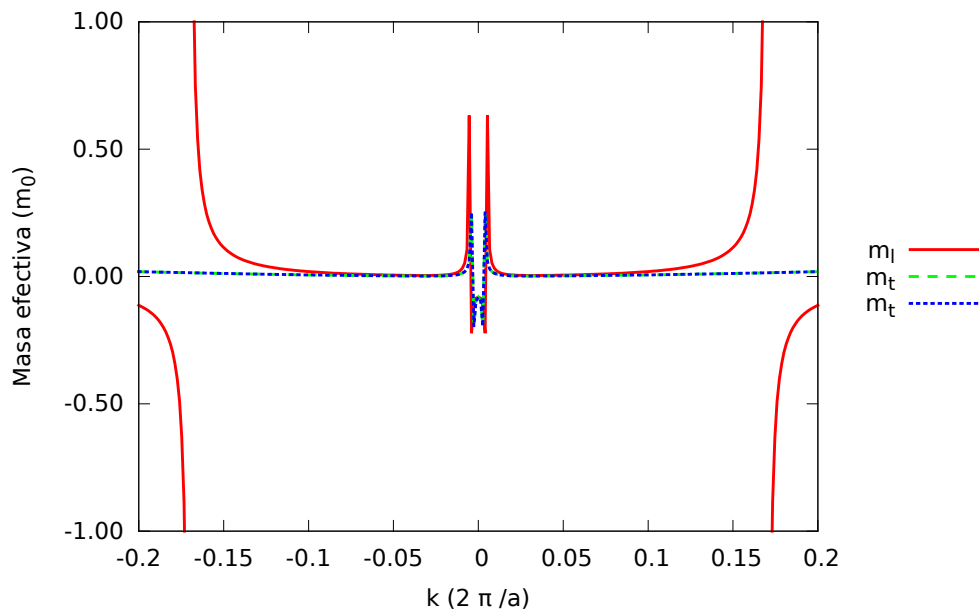
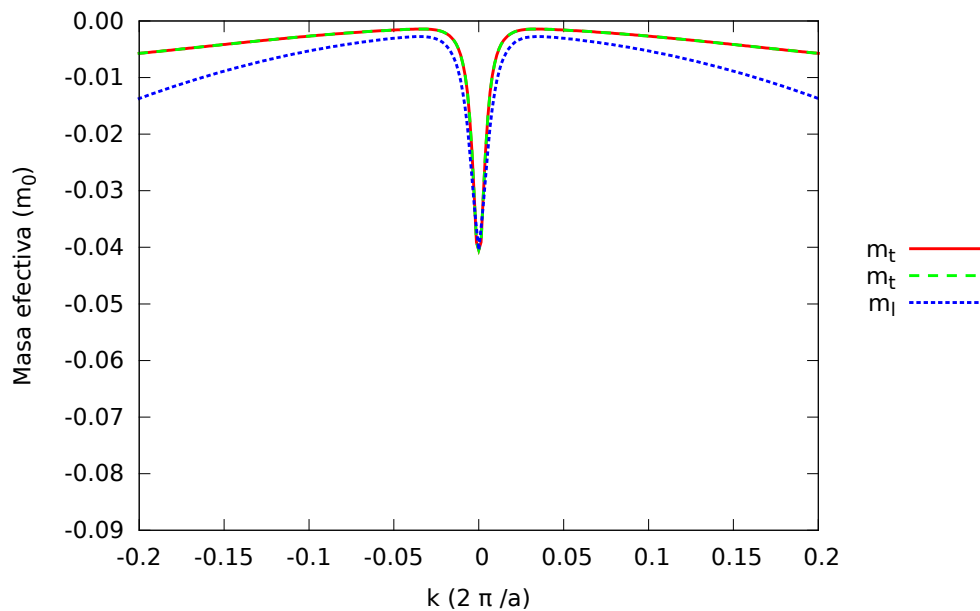
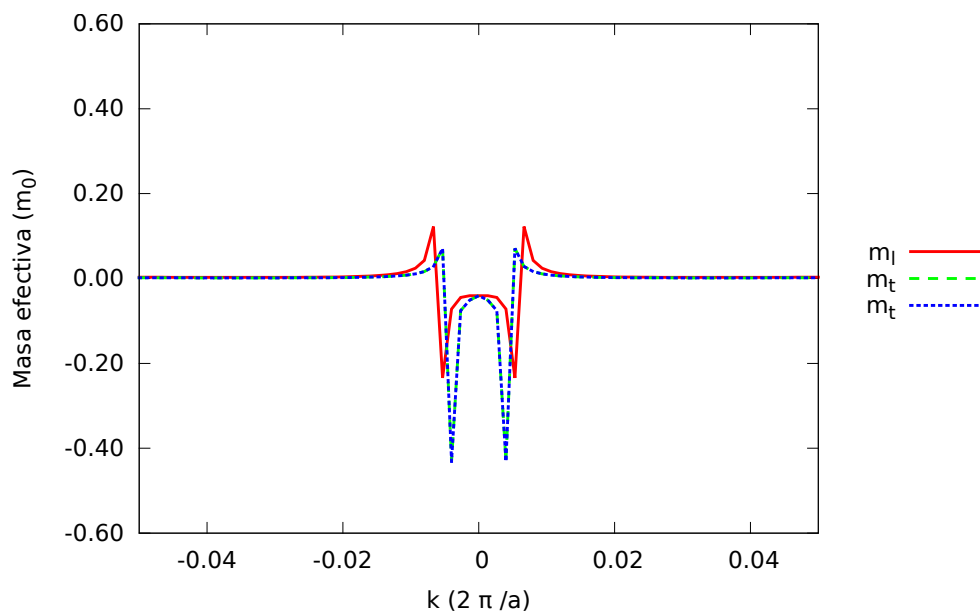
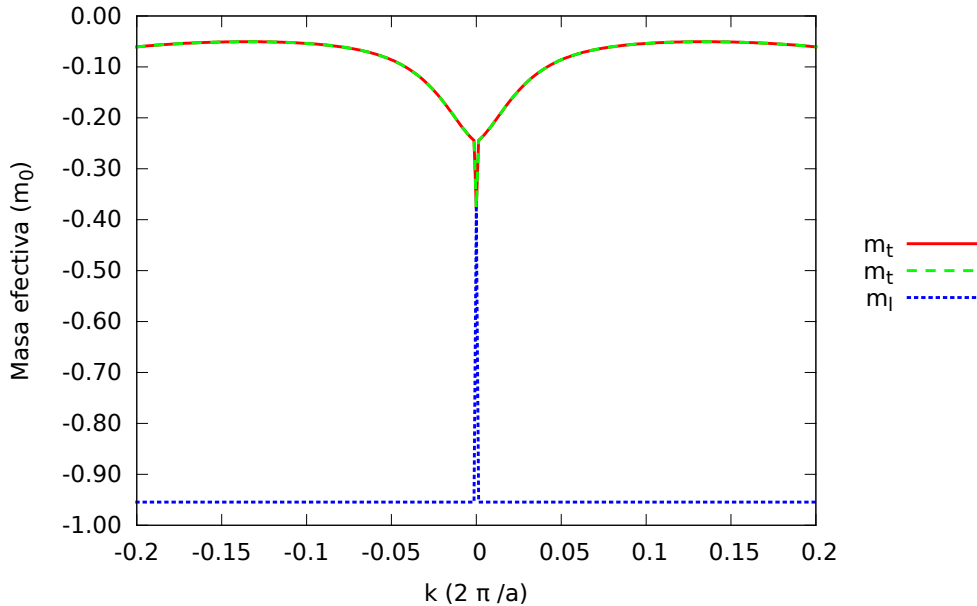
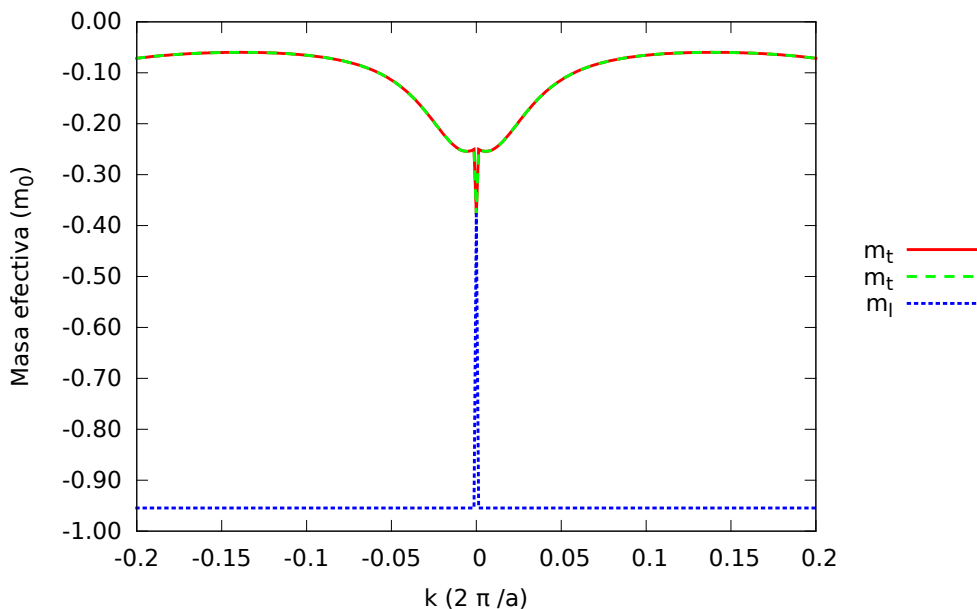
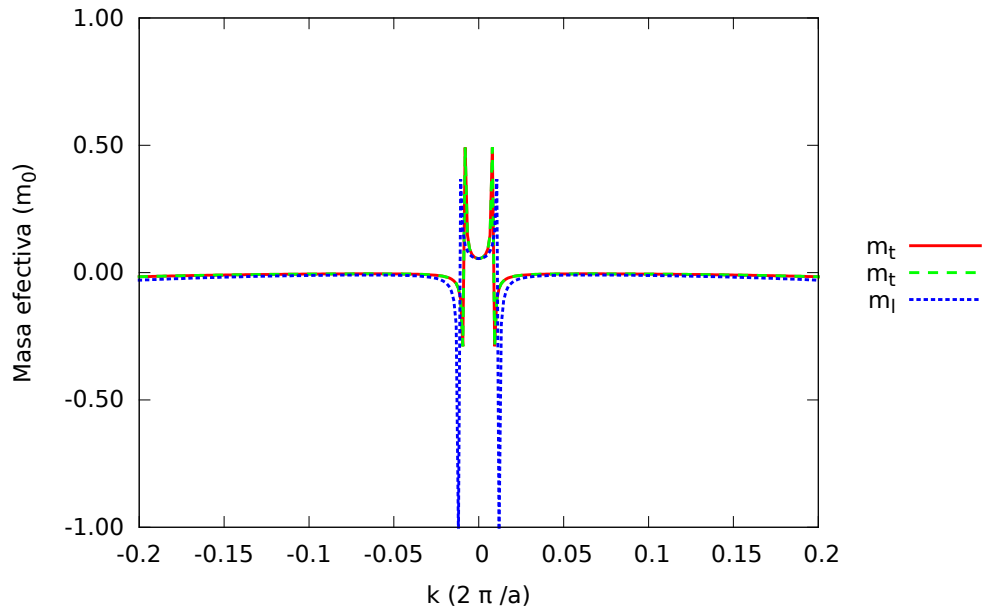
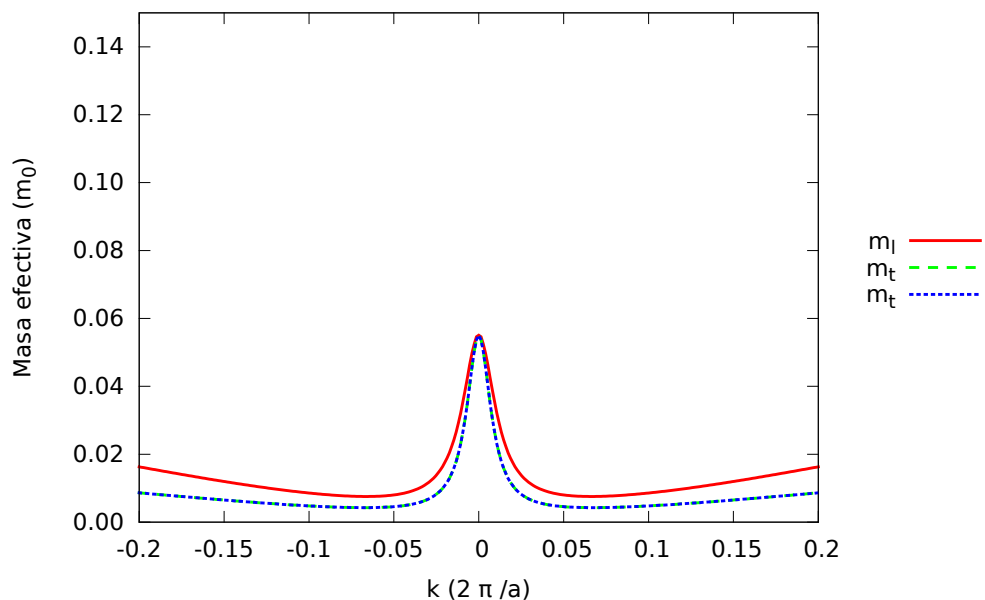
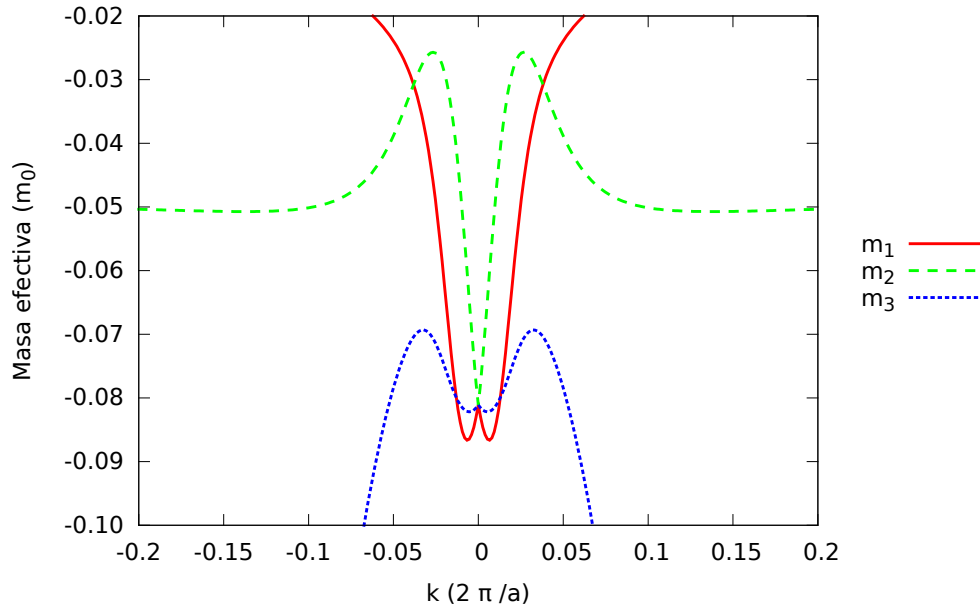
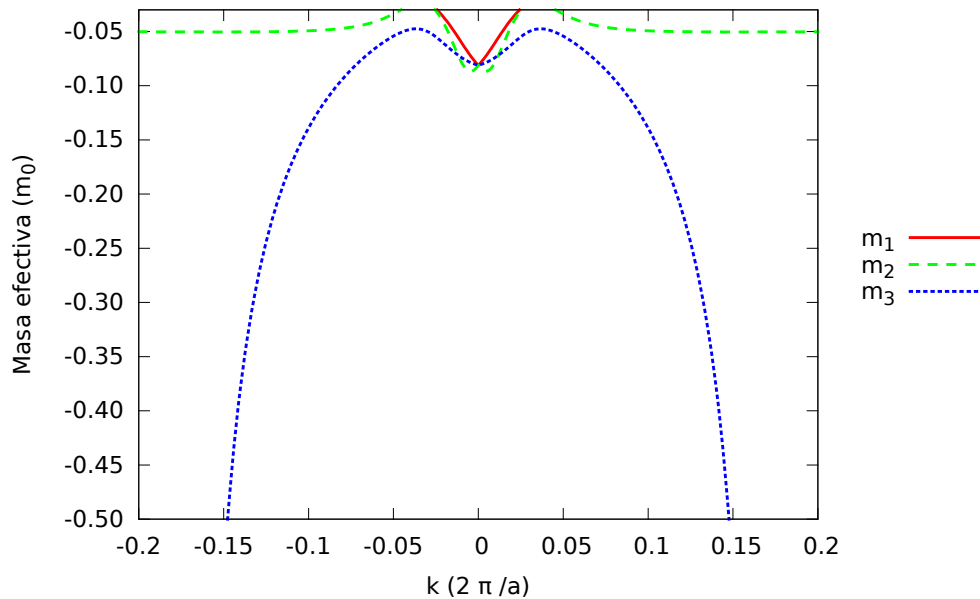


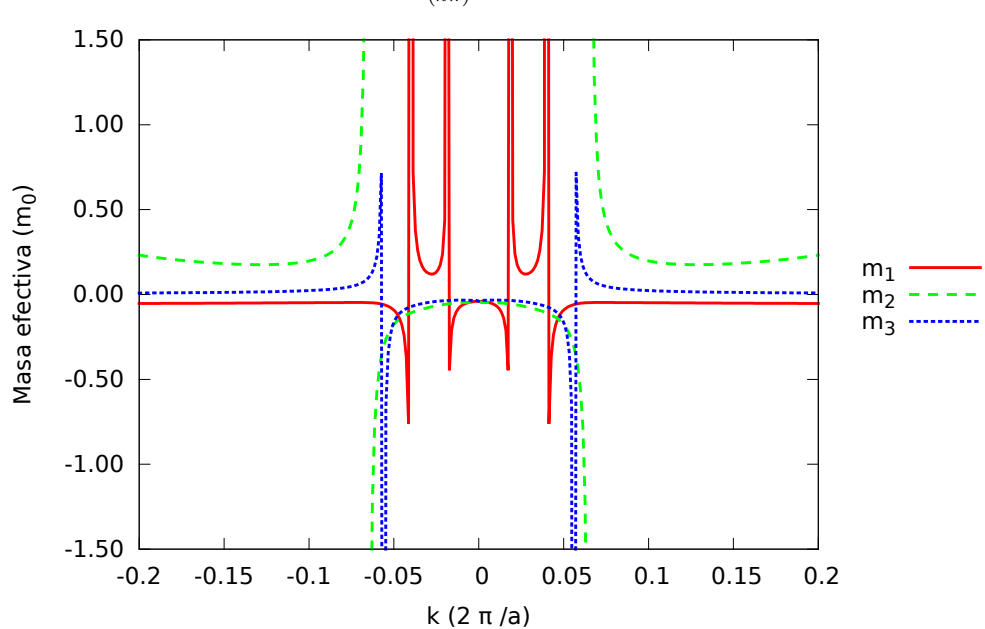
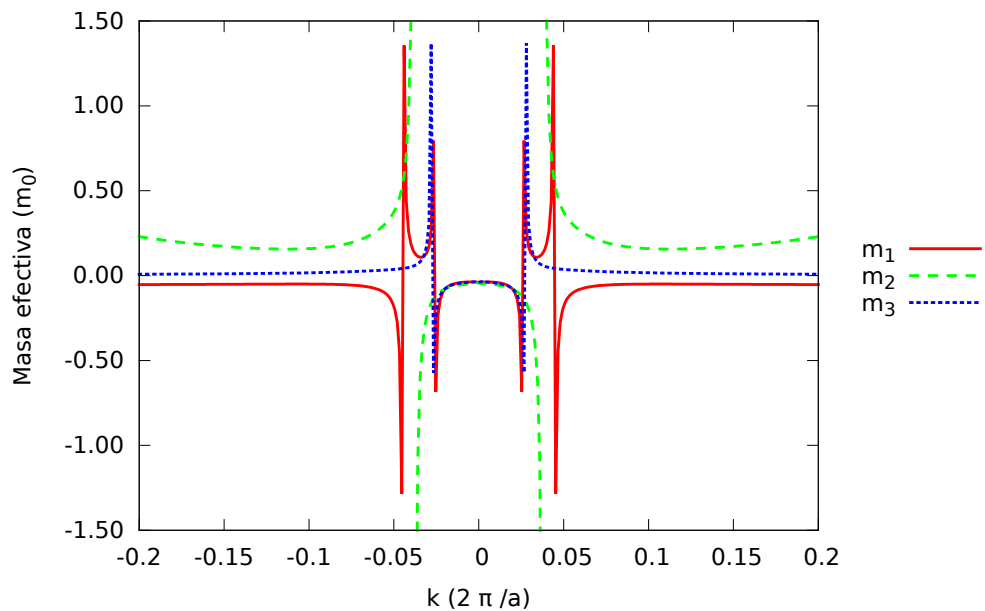
Figura 4.123: $H_{8\times 8(k\pi)}$ eje lambda banda 2

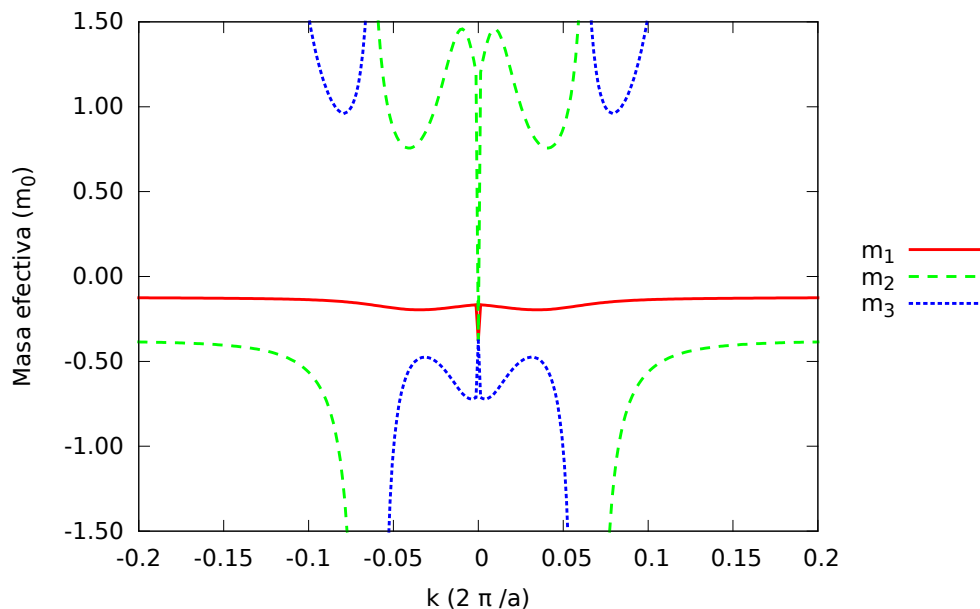
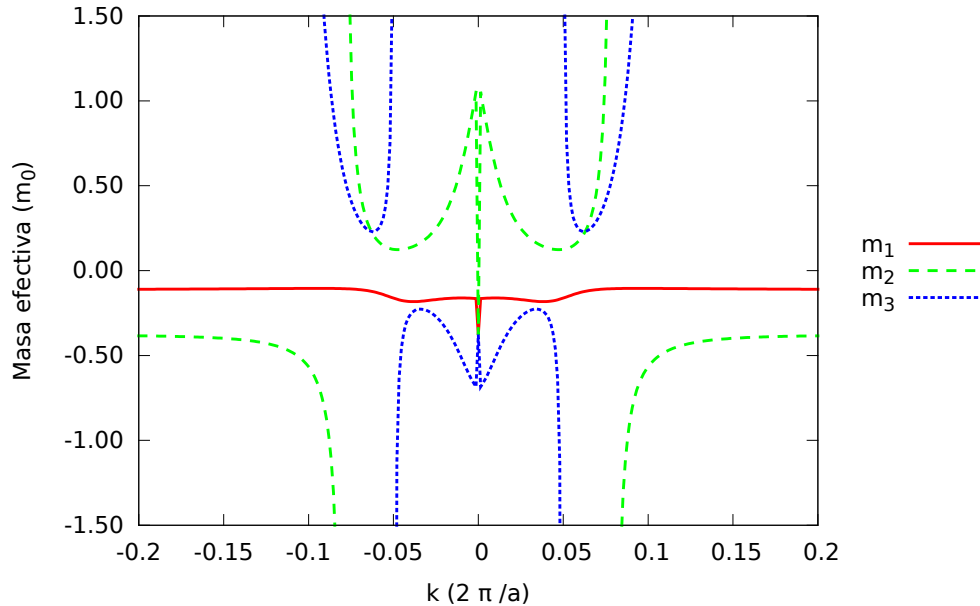
Figura 4.124: $H_{8\times 8(k\pi)}$ eje lambda banda 3Figura 4.125: $H_{8\times 8(k\pi)}$ eje lambda banda 4

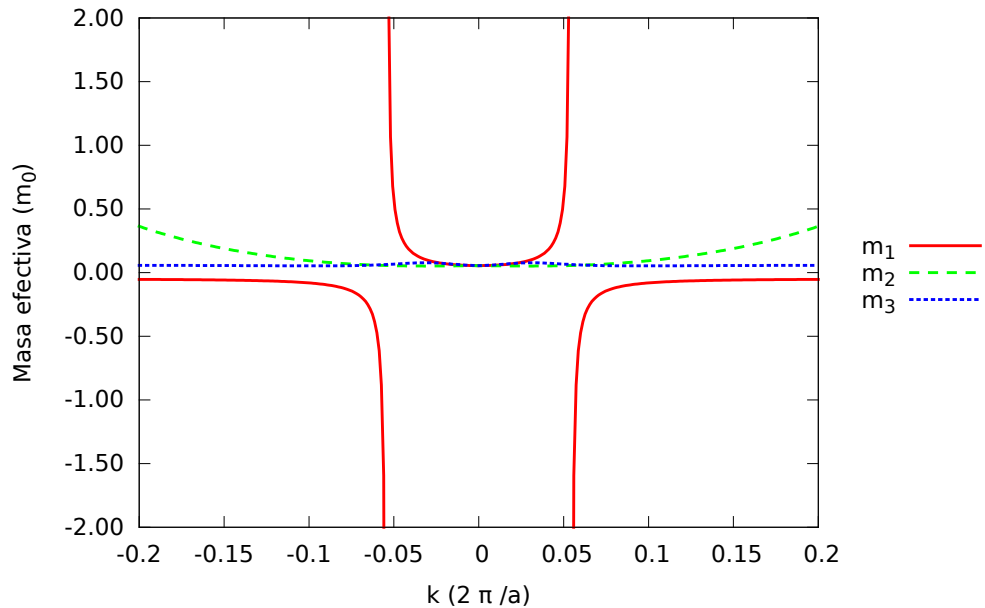
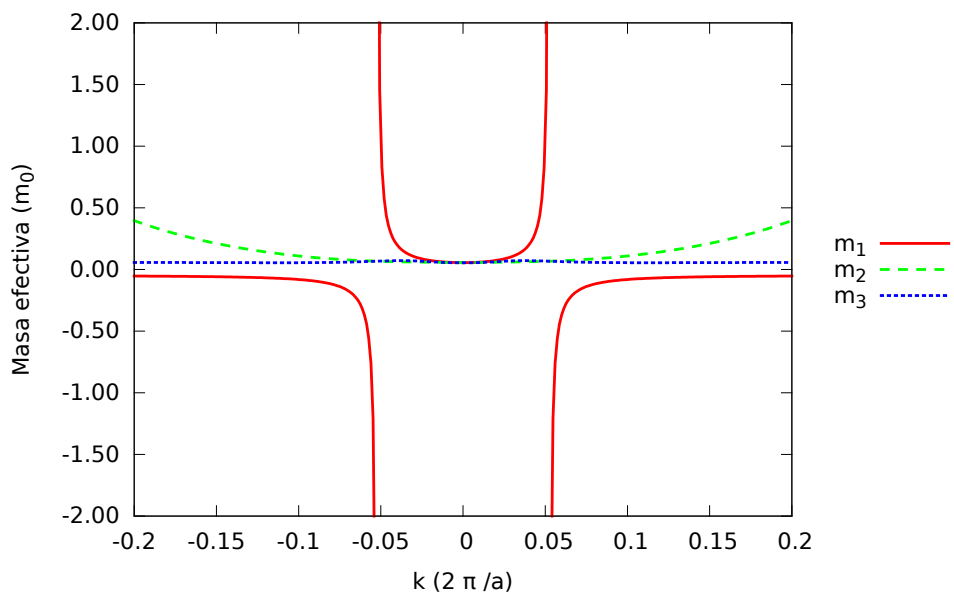
Figura 4.126: $H_{8 \times 8(k\pi)}$ eje lambda banda 5Figura 4.127: $H_{8 \times 8(k\pi)}$ eje lambda banda 6

Figura 4.128: $H_{8\times 8(k\pi)}$ eje lambda banda 7Figura 4.129: $H_{8\times 8(k\pi)}$ eje lambda banda 8

Figura 4.130: $H_{8\times 8}(k\pi)$ eje sigma banda 1Figura 4.131: $H_{8\times 8}(k\pi)$ eje sigma banda 2





Figura 4.136: $H_{8 \times 8(k\pi)}$ eje sigma banda 7Figura 4.137: $H_{8 \times 8(k\pi)}$ eje sigma banda 8

■ $H_{14 \times 14}$

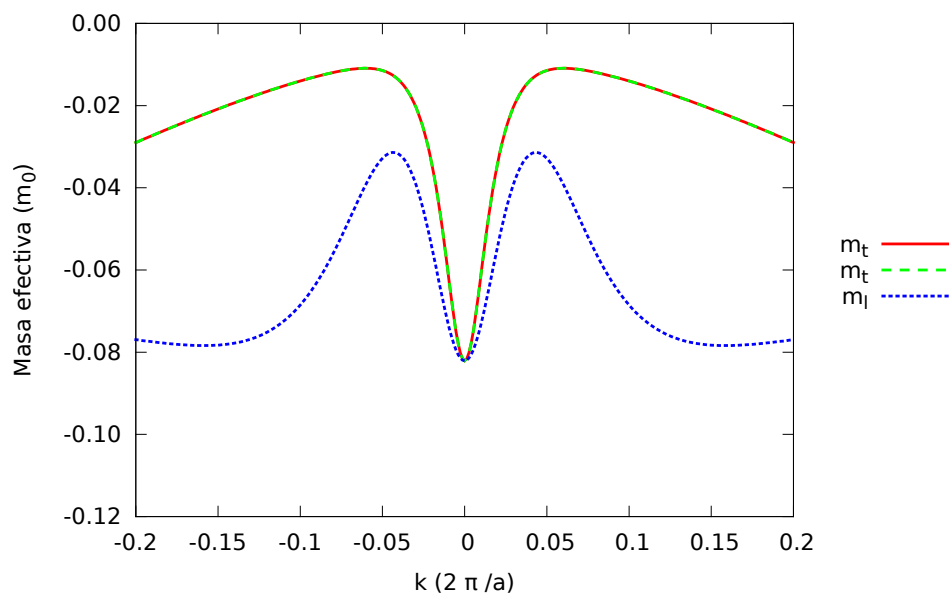


Figura 4.138: $H_{14 \times 14}$ eje $\vec{\Delta} \vec{k} = (k, 0, 0)$ para la banda 1

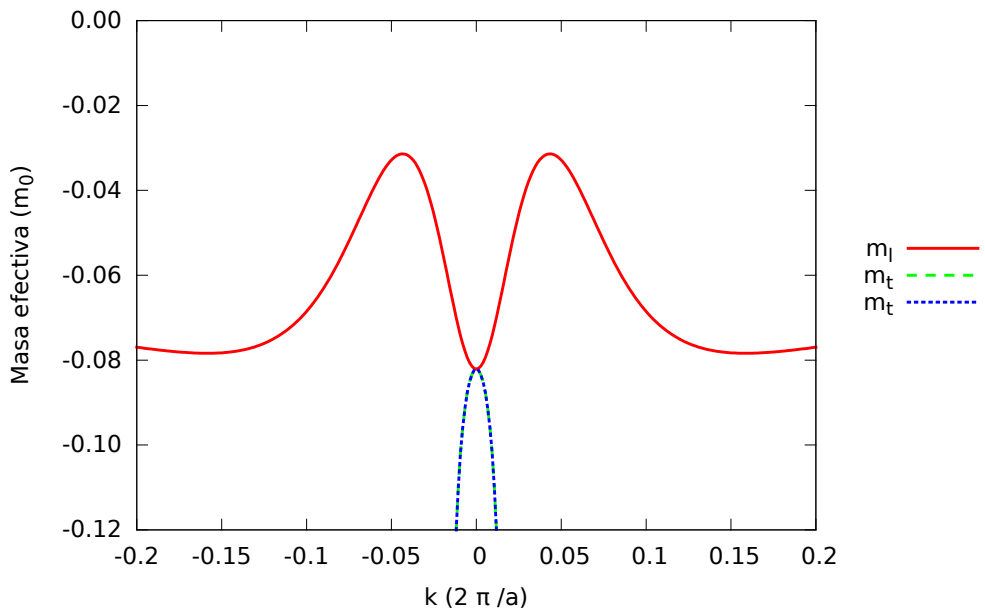
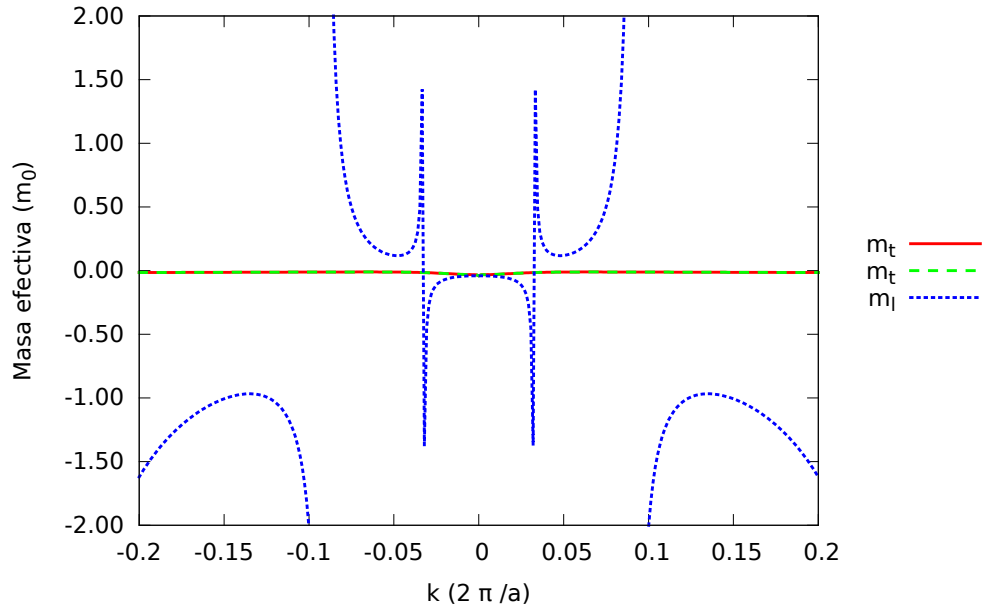
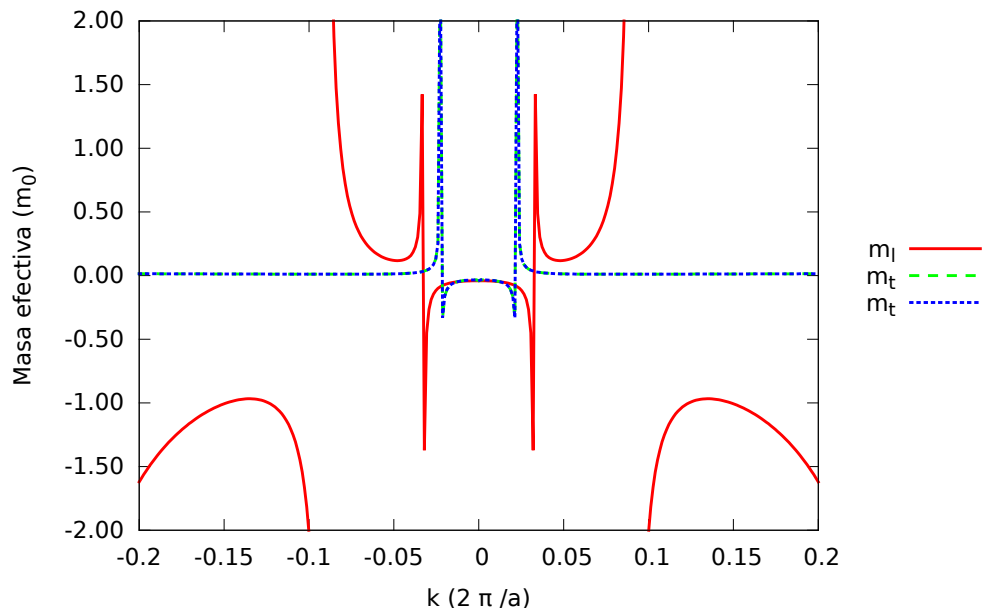


Figura 4.139: $H_{14 \times 14}$ eje $\vec{\Delta} \vec{k} = (k, 0, 0)$ para la banda 2

Figura 4.140: $H_{14 \times 14}$ eje $\Delta \vec{k} = (k, 0, 0)$ para la banda 3Figura 4.141: $H_{14 \times 14}$ eje $\Delta \vec{k} = (k, 0, 0)$ para la banda 4

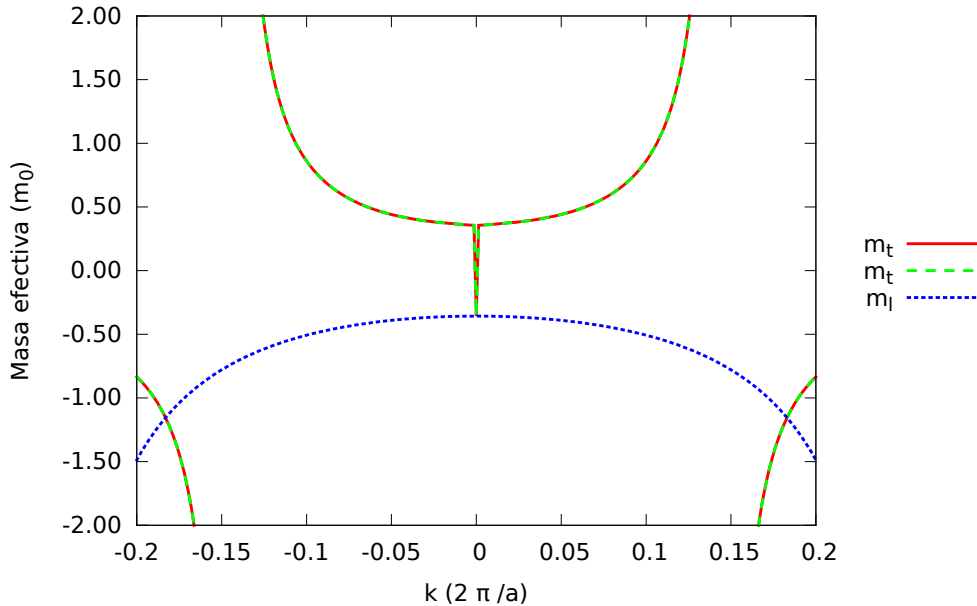


Figura 4.142: $H_{14 \times 14}$ eje $\Delta \vec{k} = (k, 0, 0)$ para la banda 5

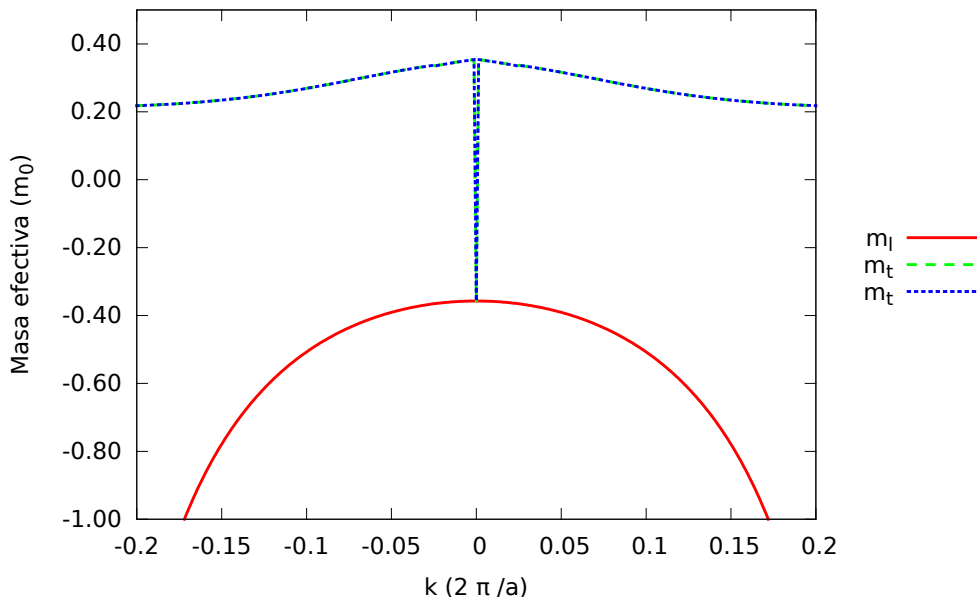
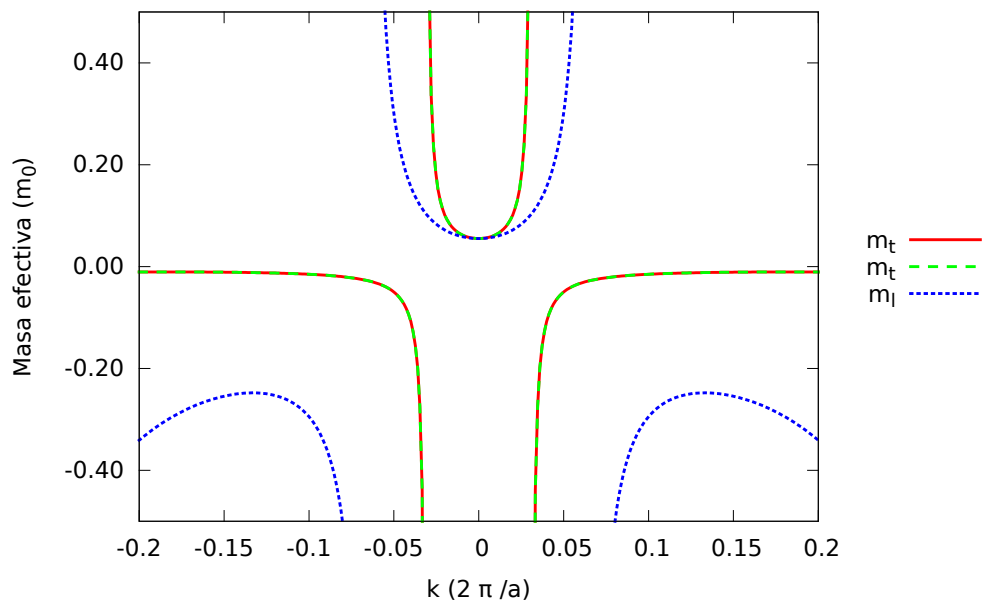
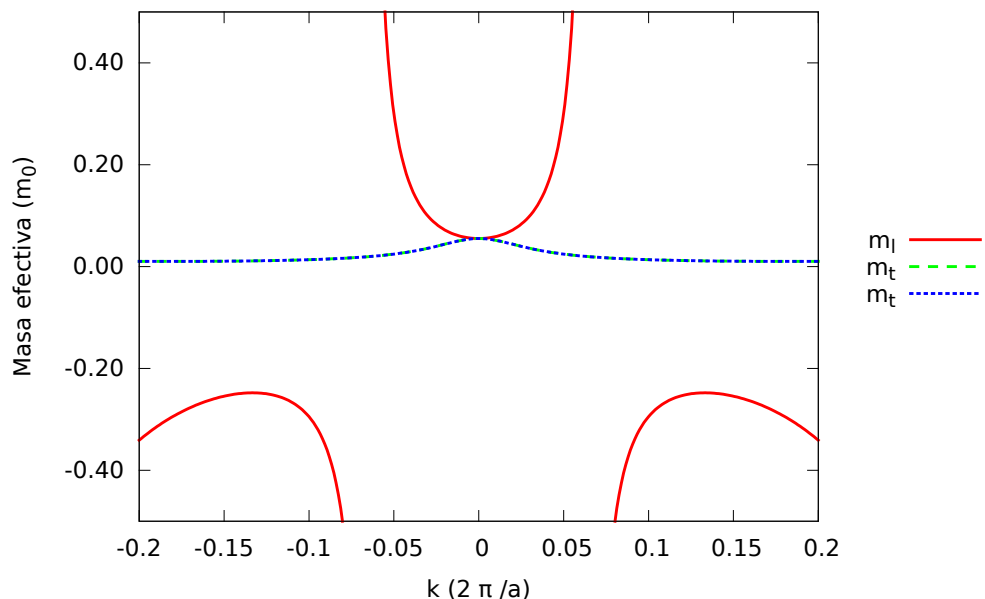


Figura 4.143: $H_{14 \times 14}$ eje $\Delta \vec{k} = (k, 0, 0)$ para la banda 6

Figura 4.144: $H_{14 \times 14}$ eje $\Delta \vec{k} = (k, 0, 0)$ para la banda 7Figura 4.145: $H_{14 \times 14}$ eje $\Delta \vec{k} = (k, 0, 0)$ para la banda 8

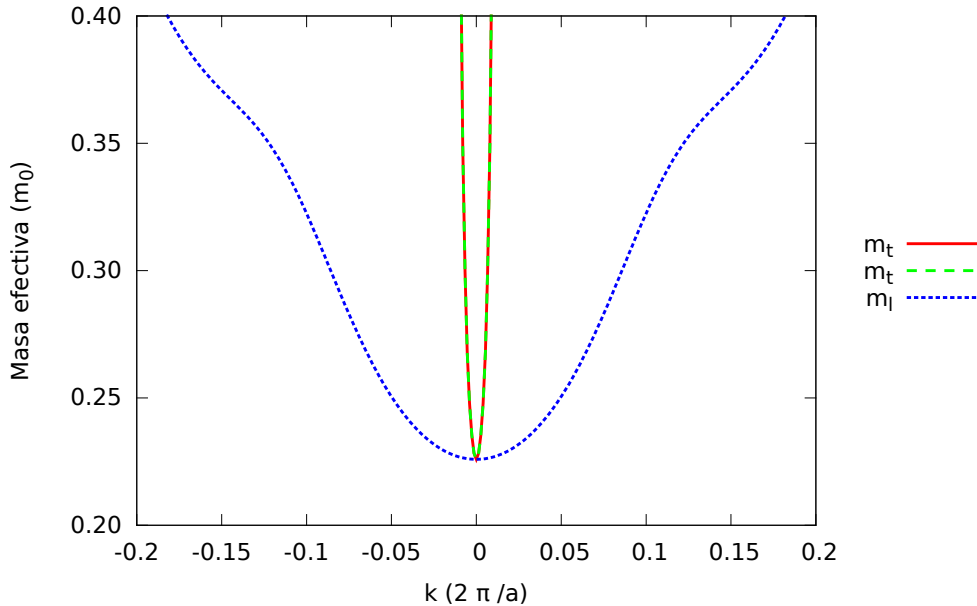


Figura 4.146: $H_{14 \times 14}$ eje $\Delta \vec{k} = (k, 0, 0)$ para la banda 9

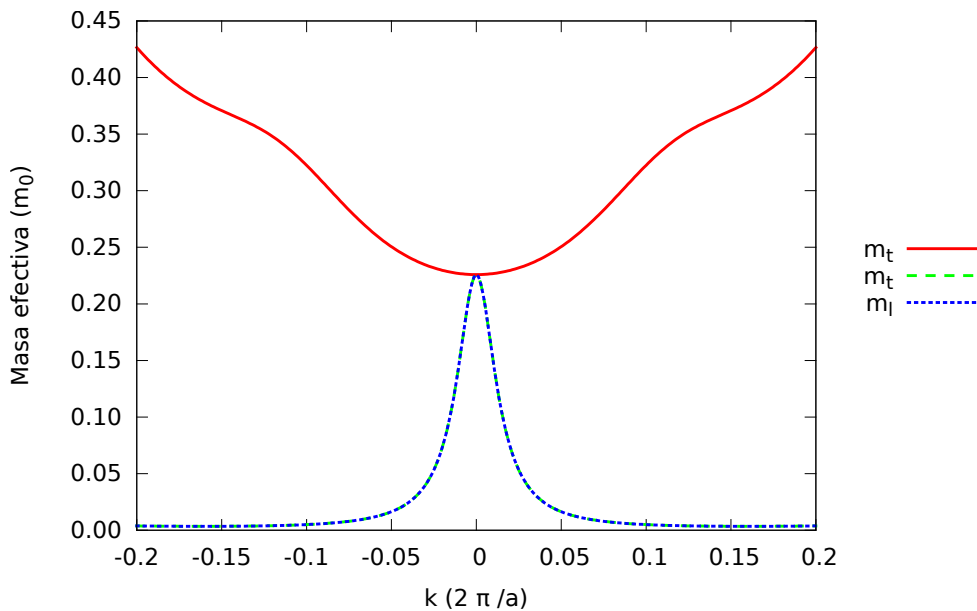
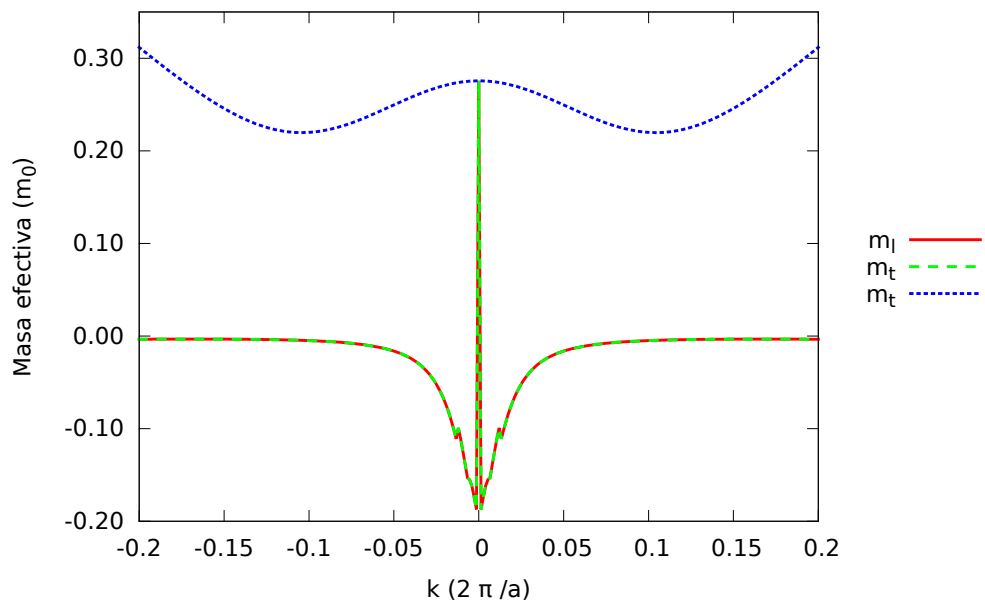
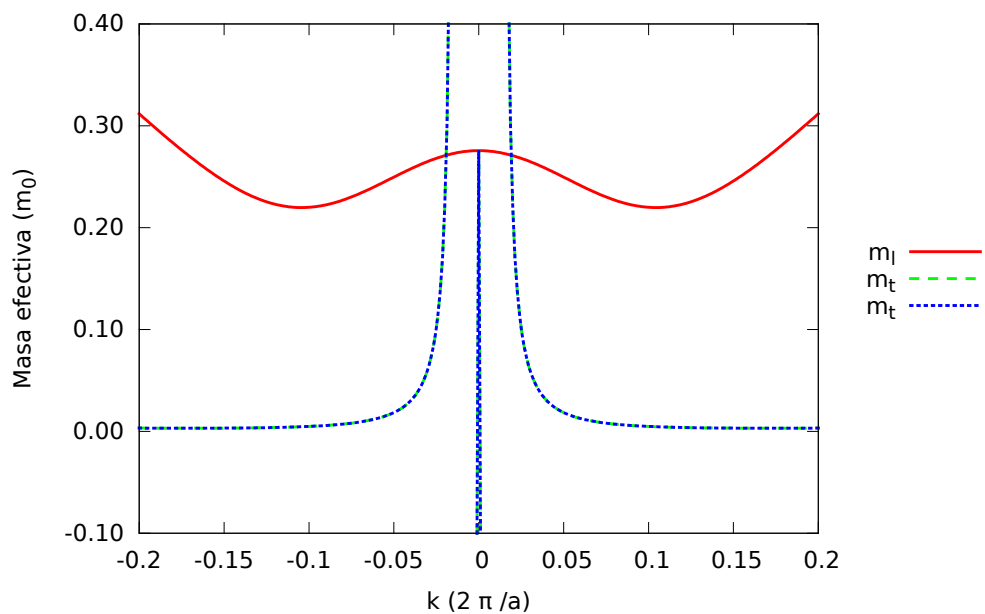


Figura 4.147: $H_{14 \times 14}$ eje $\Delta \vec{k} = (k, 0, 0)$ para la banda 10

Figura 4.148: $H_{14 \times 14}$ eje $\vec{k} = (k, 0, 0)$ para la banda 11Figura 4.149: $H_{14 \times 14}$ eje $\vec{k} = (k, 0, 0)$ para la banda 12

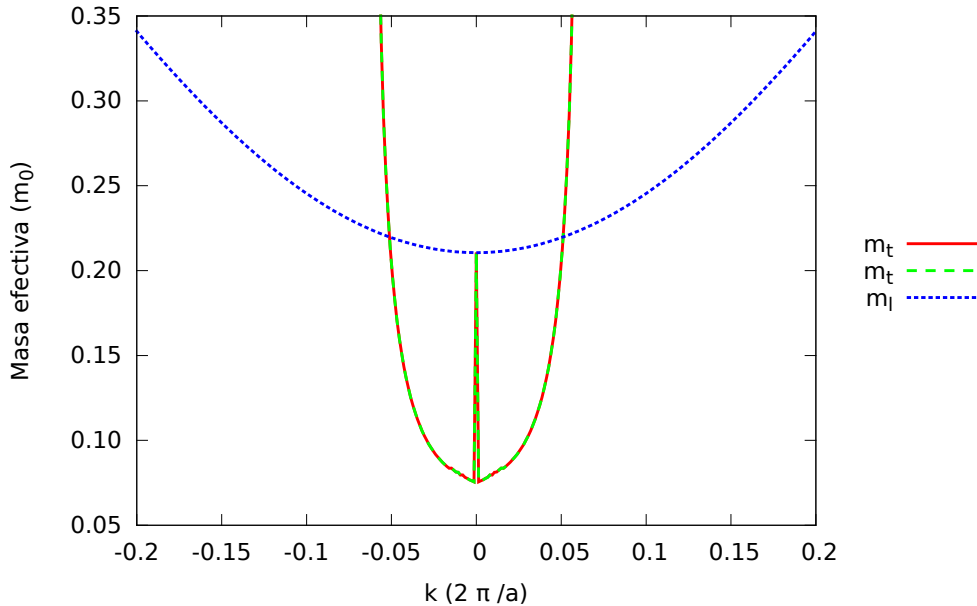


Figura 4.150: $H_{14 \times 14}$ eje $\vec{k} = (k, 0, 0)$ para la banda 13

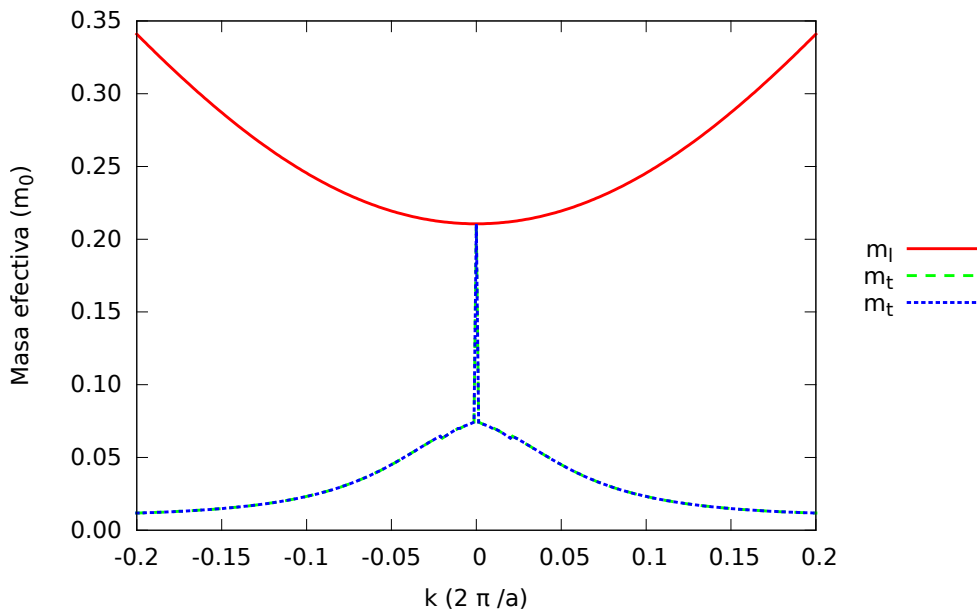
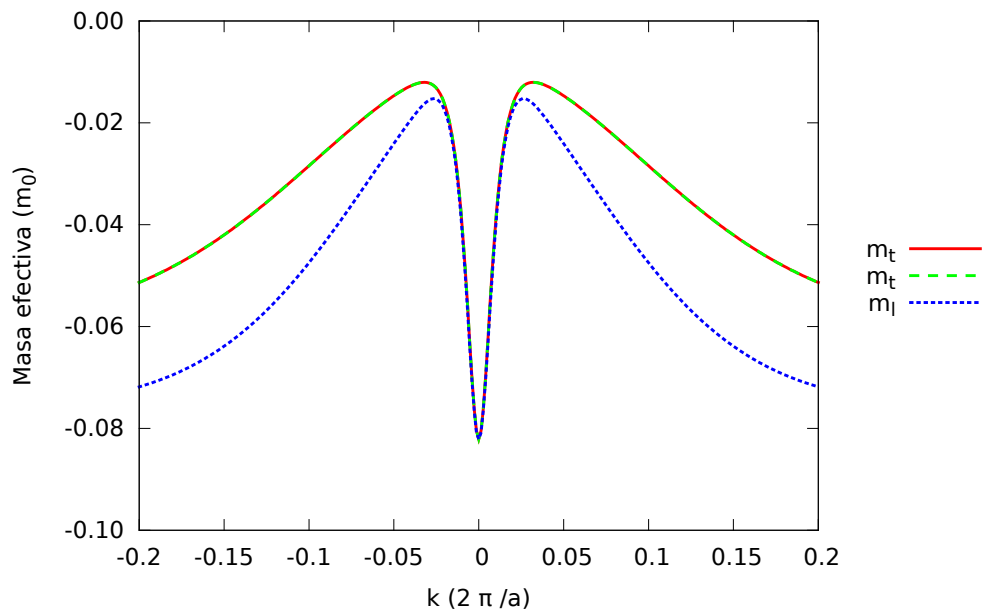
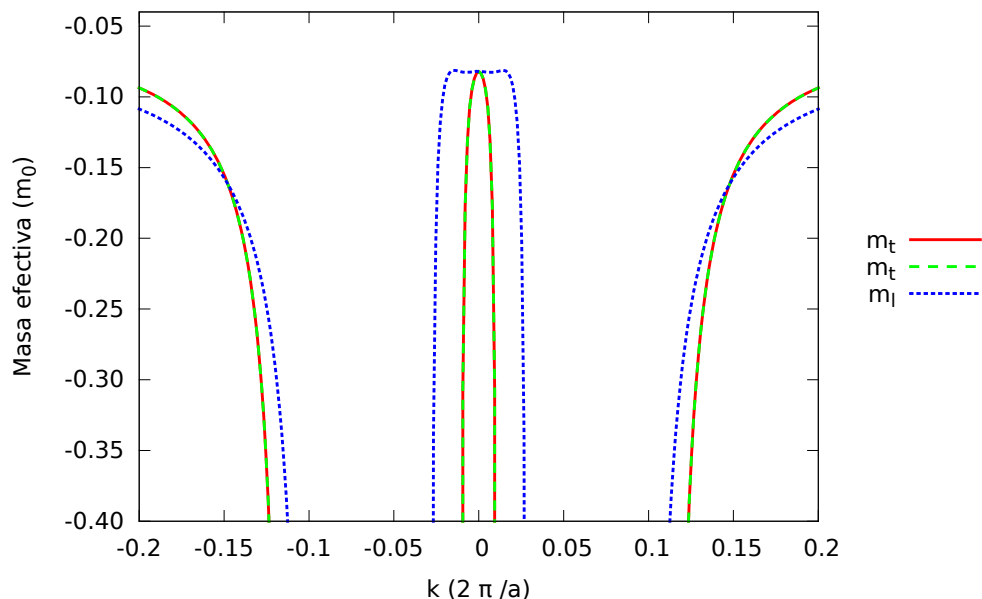


Figura 4.151: $H_{14 \times 14}$ eje $\vec{k} = (k, 0, 0)$ para la banda 14

Figura 4.152: $H_{14 \times 14}$ eje $\vec{\Lambda}$ $\vec{k} = (k, k, k)$ para la banda 1Figura 4.153: $H_{14 \times 14}$ eje $\vec{\Lambda}$ $\vec{k} = (k, k, k)$ para la banda 2

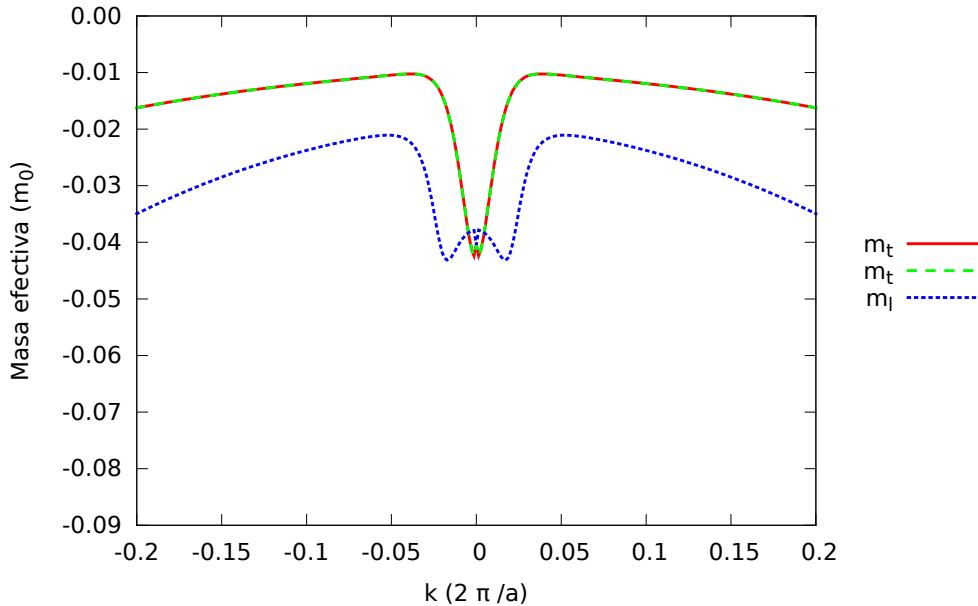


Figura 4.154: $H_{14 \times 14}$ eje $\vec{\Lambda}$ $\vec{k} = (k, k, k)$ para la banda 3

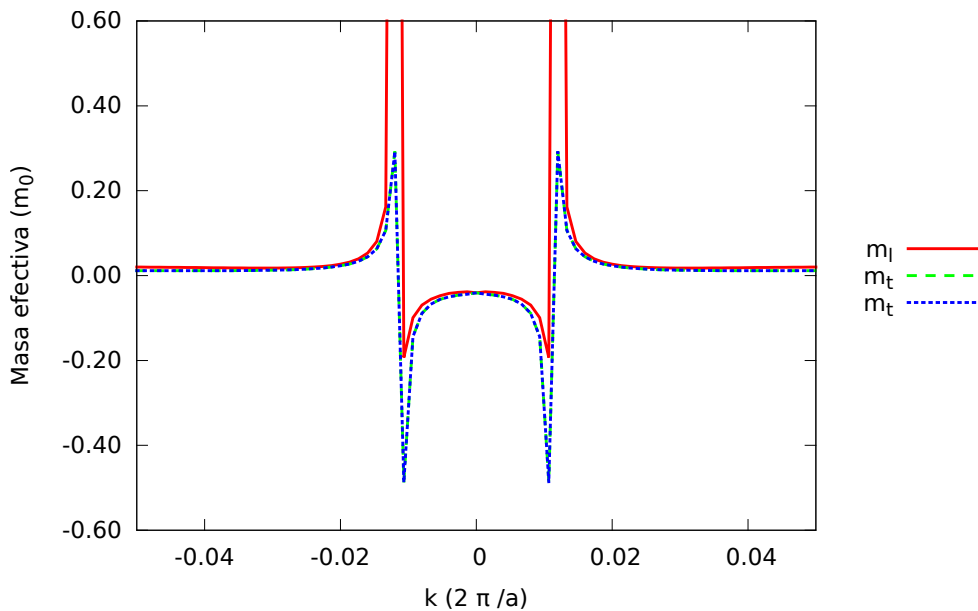
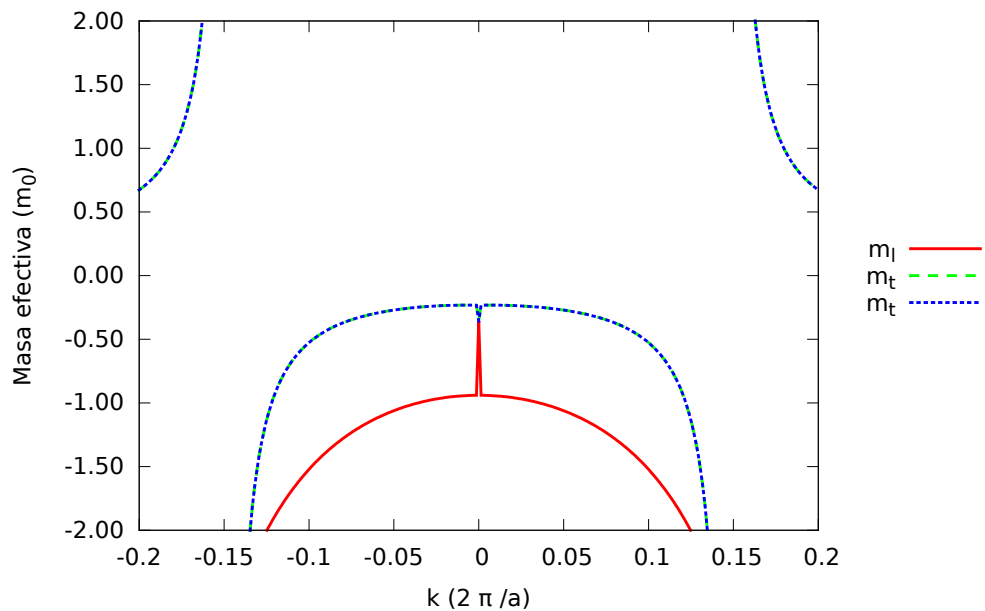
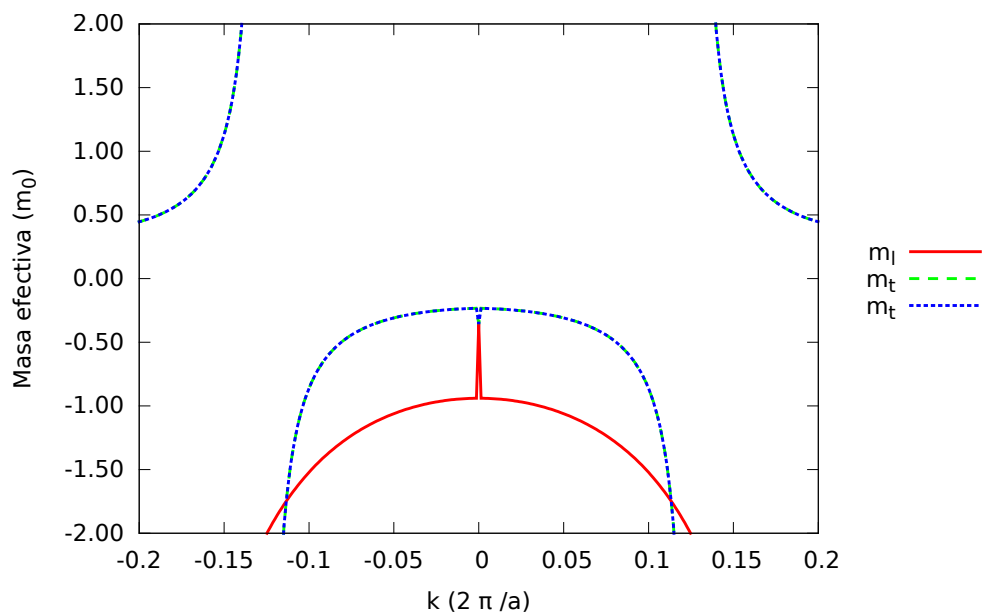


Figura 4.155: $H_{14 \times 14}$ eje $\vec{\Lambda}$ $\vec{k} = (k, k, k)$ para la banda 4

Figura 4.156: $H_{14 \times 14}$ eje $\vec{\Lambda}$ $\vec{k} = (k, k, k)$ para la banda 5Figura 4.157: $H_{14 \times 14}$ eje $\vec{\Lambda}$ $\vec{k} = (k, k, k)$ para la banda 6

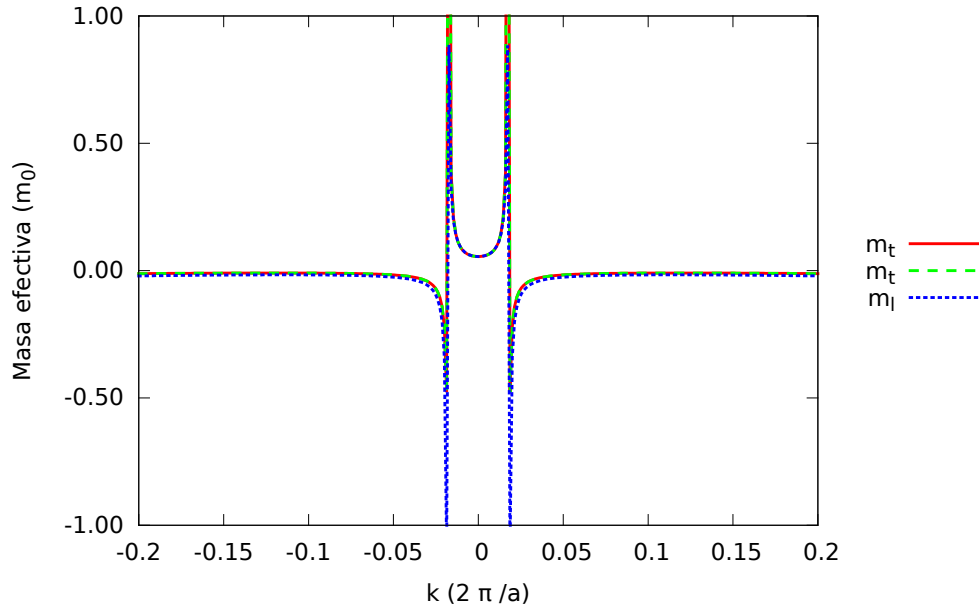


Figura 4.158: $H_{14 \times 14}$ eje $\vec{\Lambda}$ $\vec{k} = (k, k, k)$ para la banda 7

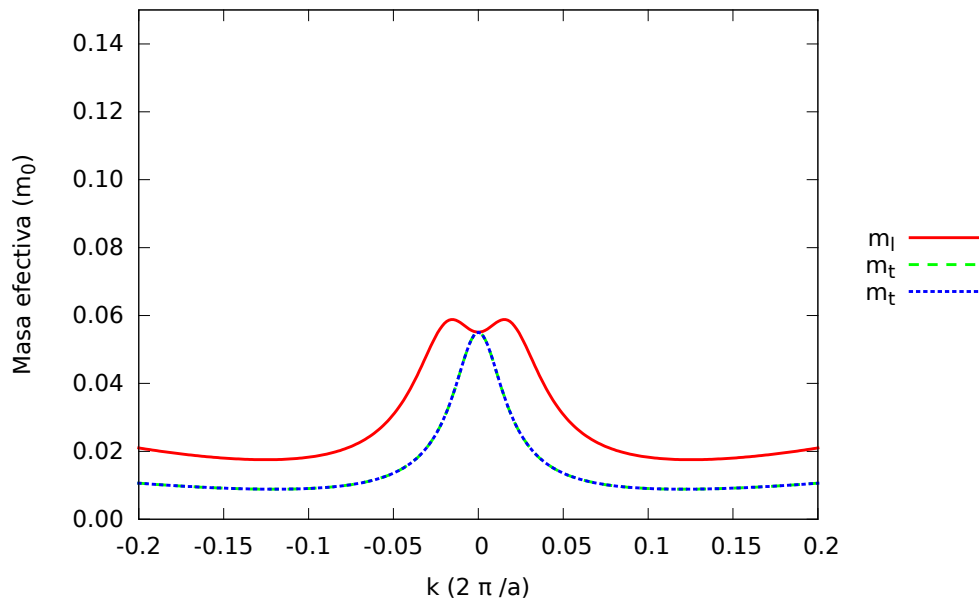
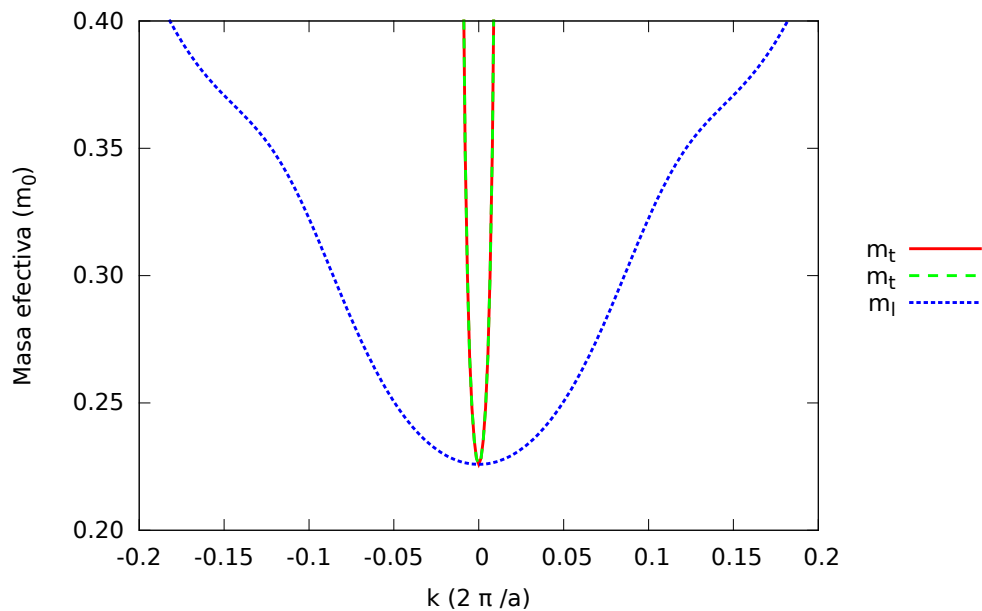
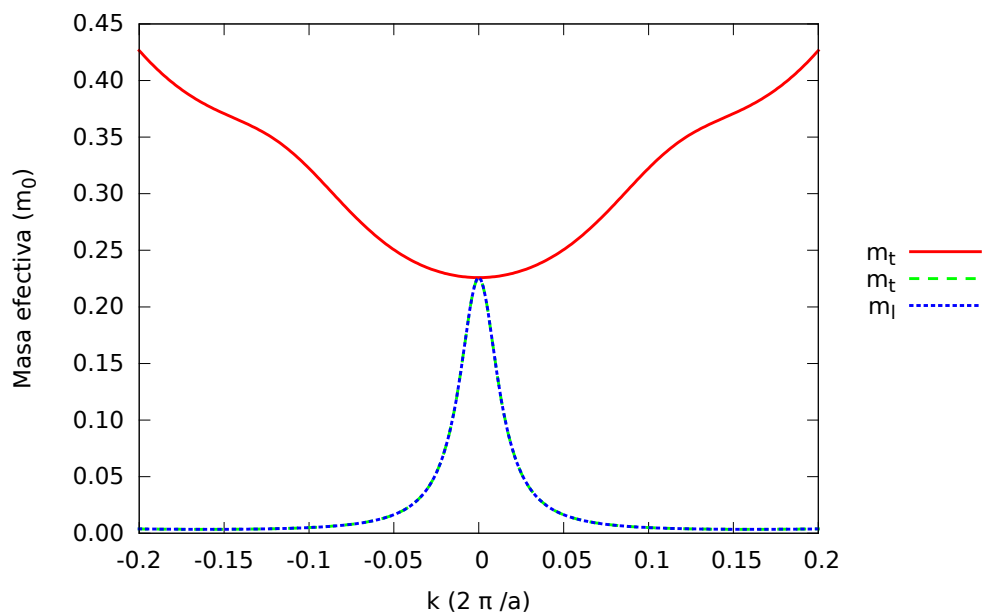


Figura 4.159: $H_{14 \times 14}$ eje $\vec{\Lambda}$ $\vec{k} = (k, k, k)$ para la banda 8

Figura 4.160: $H_{14 \times 14}$ eje $\vec{\Lambda}$ $\vec{k} = (k, k, k)$ para la banda 9Figura 4.161: $H_{14 \times 14}$ eje $\vec{\Lambda}$ $\vec{k} = (k, k, k)$ para la banda 10

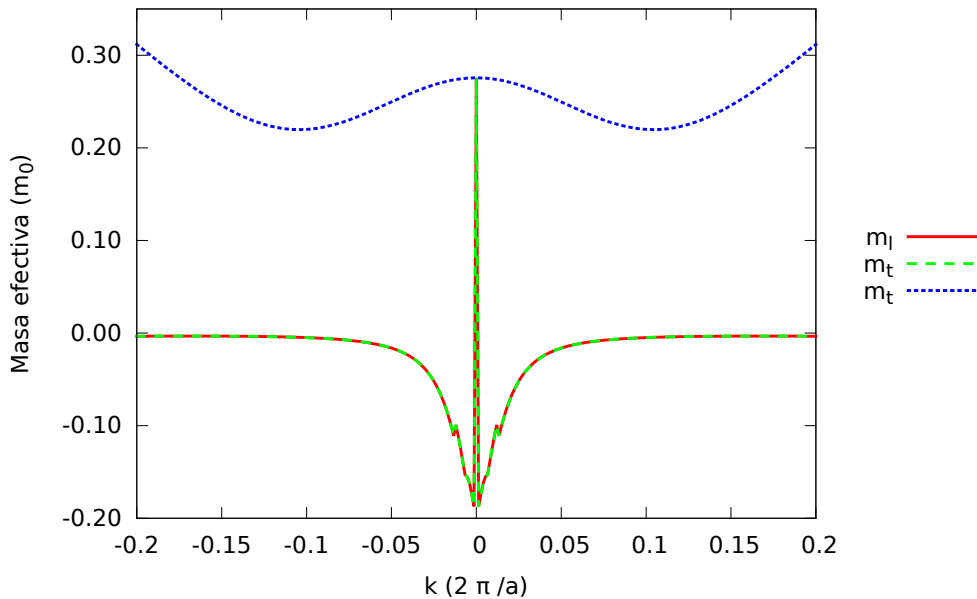


Figura 4.162: $H_{14 \times 14}$ eje $\vec{\Lambda}$ $\vec{k} = (k, k, k)$ para la banda 11

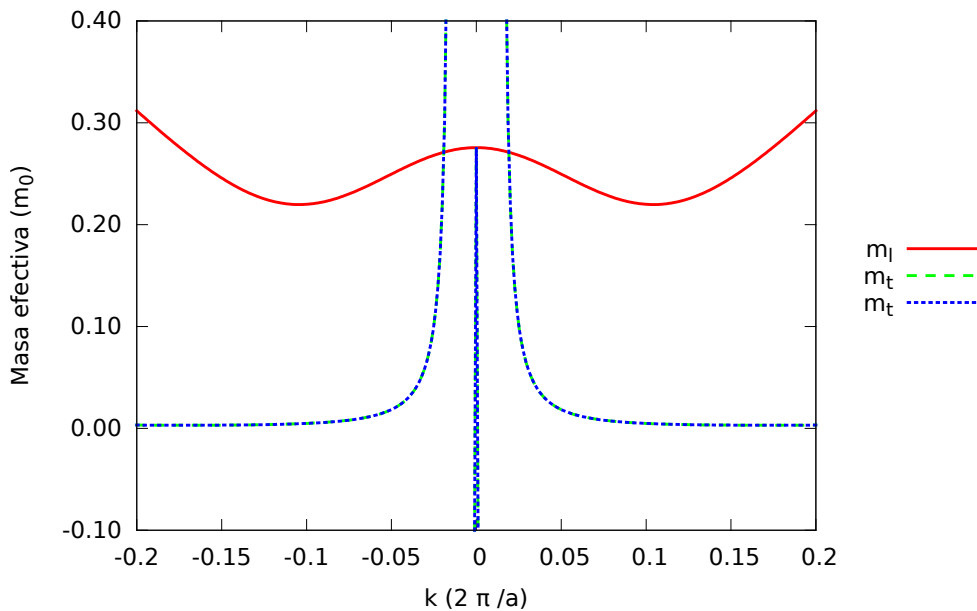
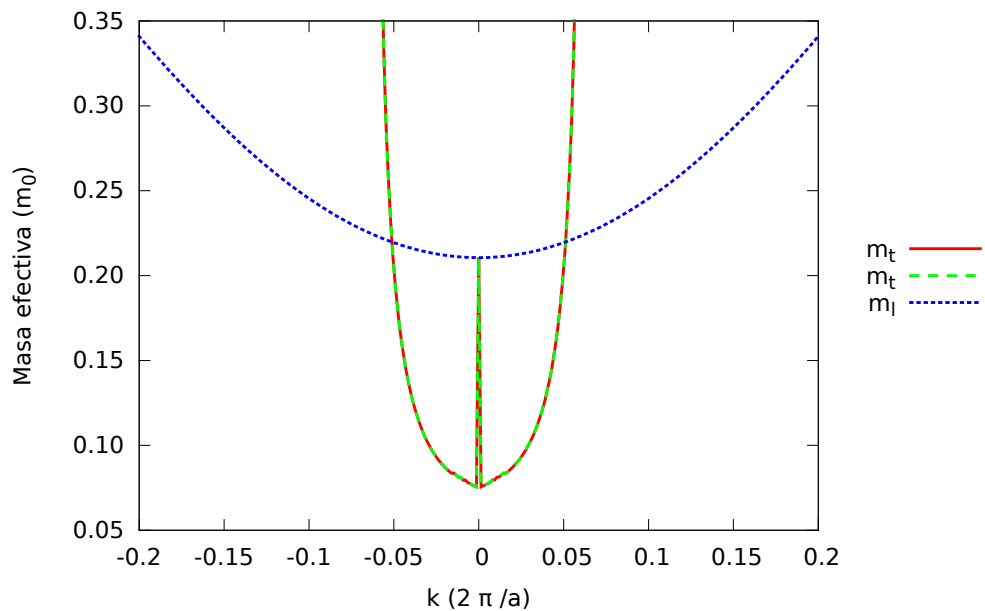
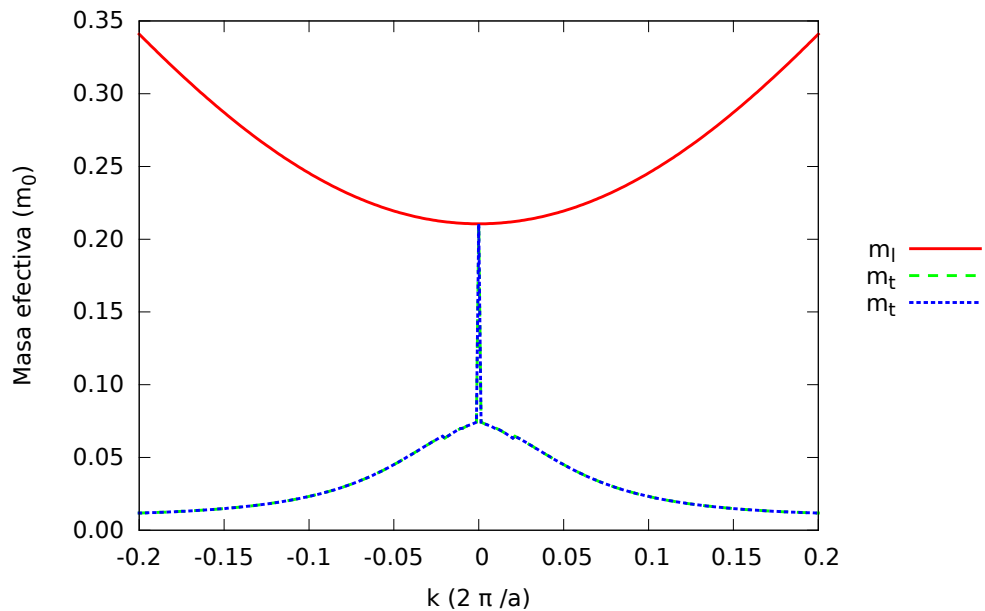


Figura 4.163: $H_{14 \times 14}$ eje $\vec{\Lambda}$ $\vec{k} = (k, k, k)$ para la banda 12

Figura 4.164: $H_{14 \times 14}$ eje $\vec{\Lambda}$ $\vec{k} = (k, k, k)$ para la banda 13Figura 4.165: $H_{14 \times 14}$ eje $\vec{\Lambda}$ $\vec{k} = (k, k, k)$ para la banda 14

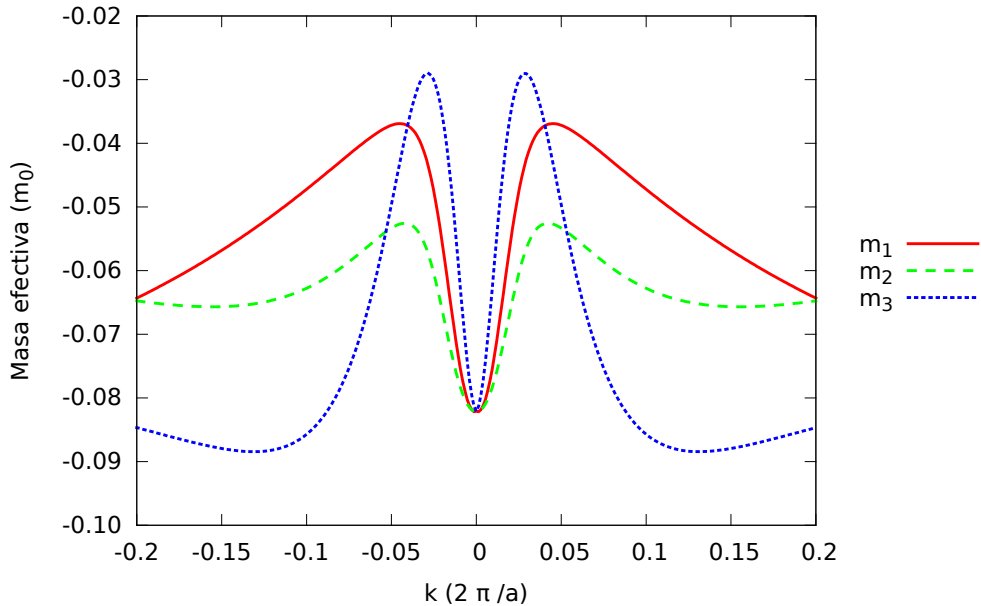


Figura 4.166: $H_{14 \times 14}$ eje $\Sigma \vec{k} = (k, k, 0)$ para la banda 1

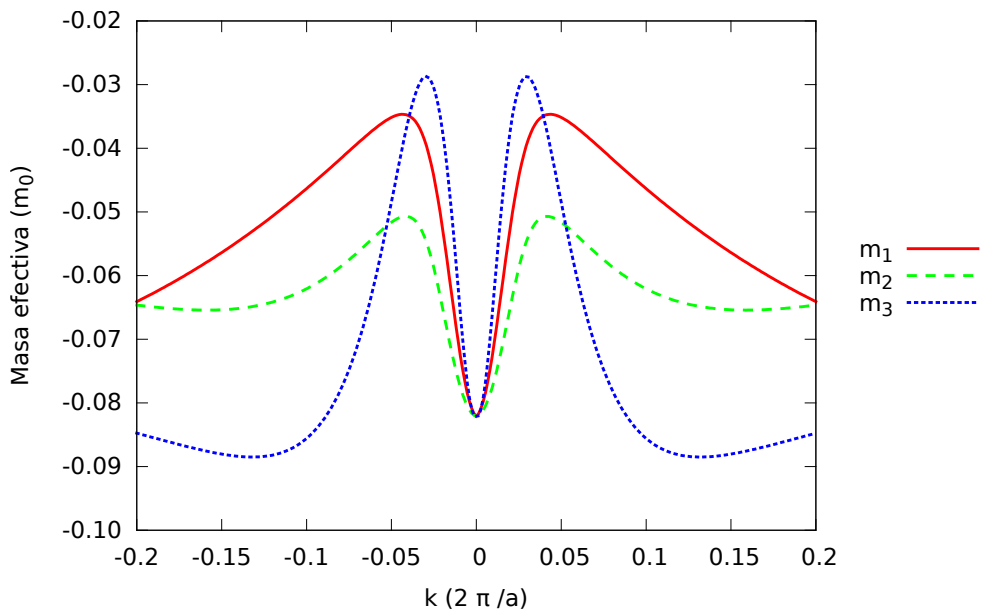
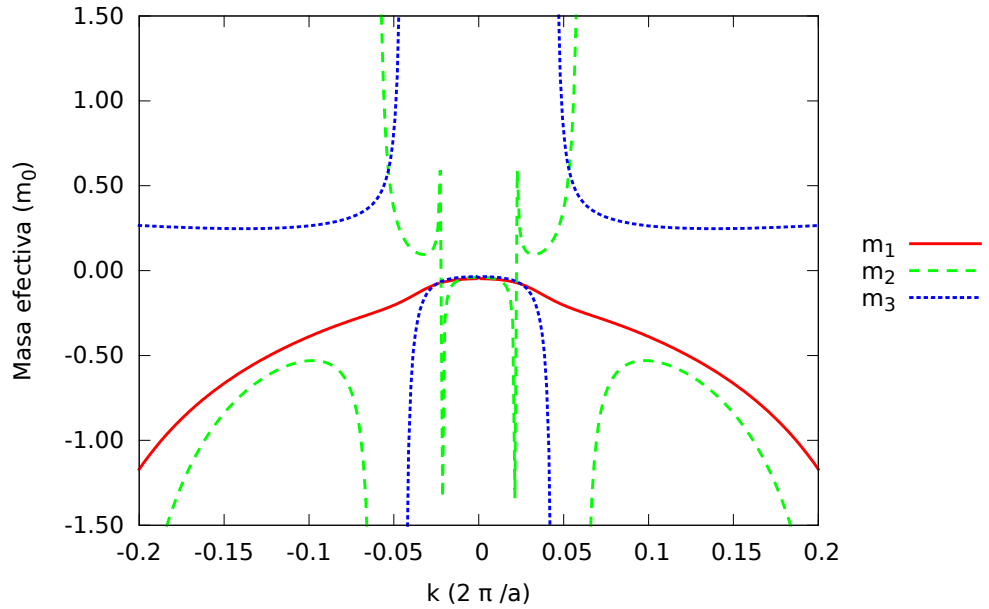
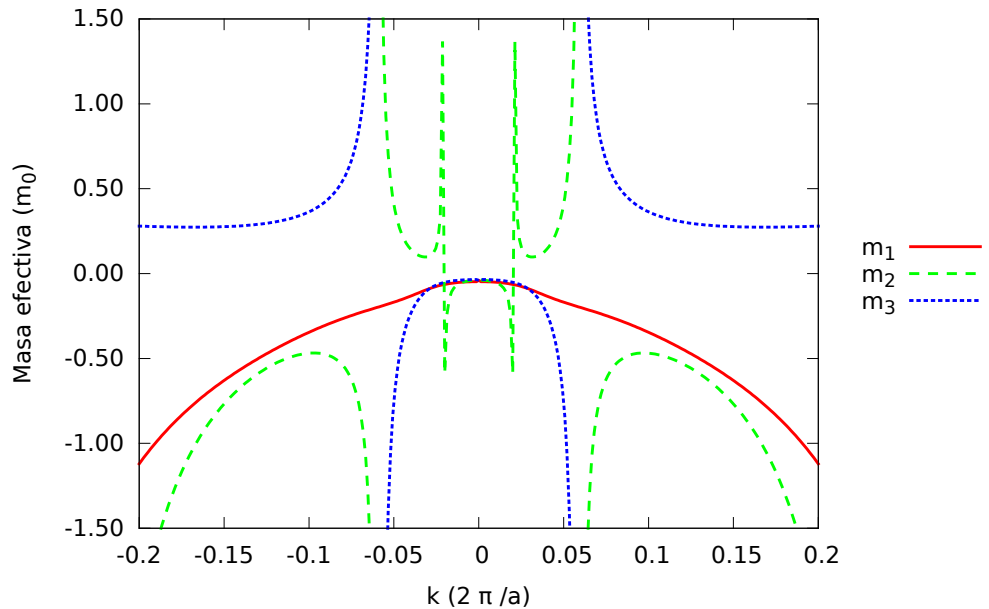


Figura 4.167: $H_{14 \times 14}$ eje $\Sigma \vec{k} = (k, k, 0)$ para la banda 2

Figura 4.168: $H_{14 \times 14}$ eje $\Sigma \vec{k} = (k, k, 0)$ para la banda 3Figura 4.169: $H_{14 \times 14}$ eje $\Sigma \vec{k} = (k, k, 0)$ para la banda 4

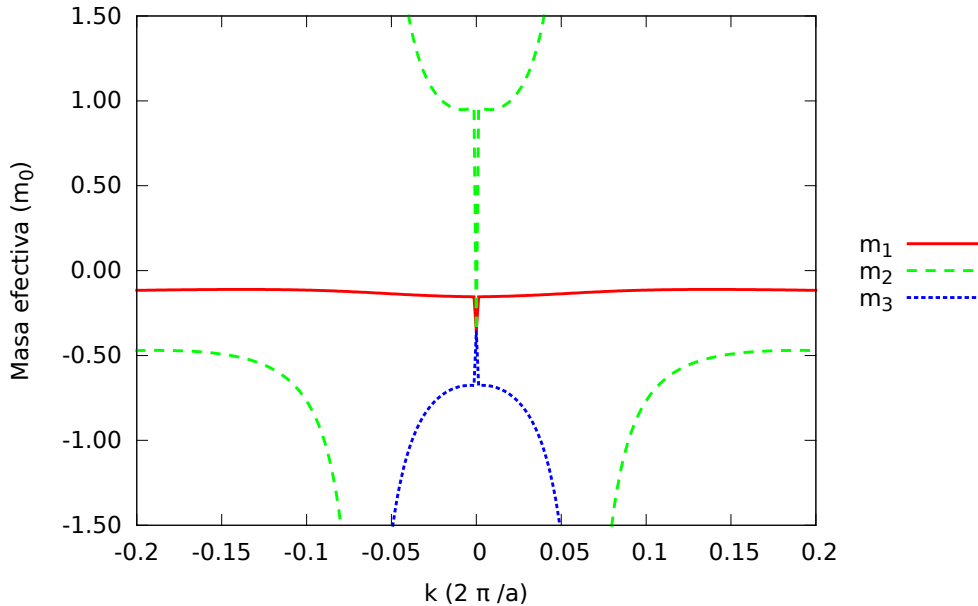


Figura 4.170: $H_{14 \times 14}$ eje $\Sigma \vec{k} = (k, k, 0)$ para la banda 5

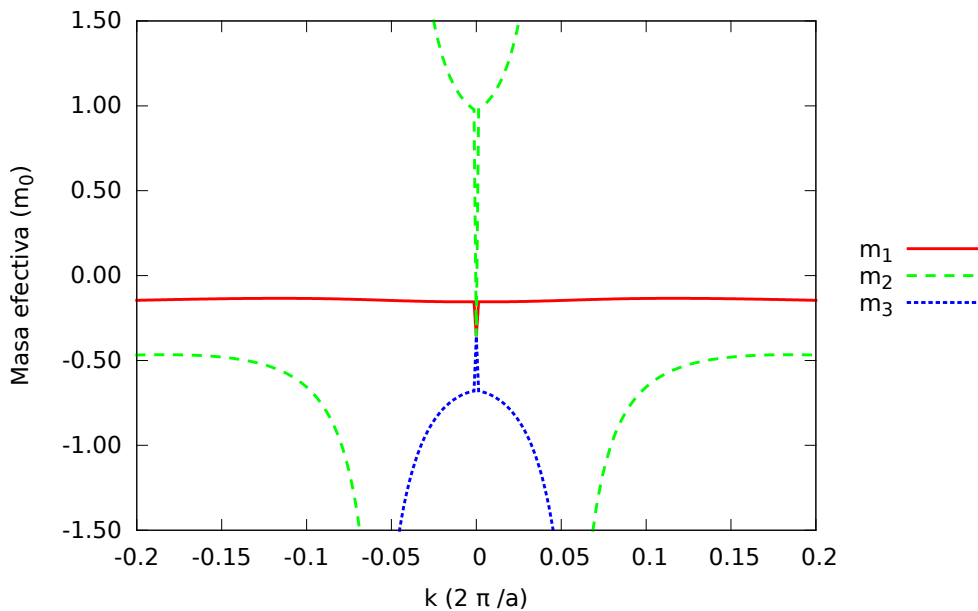
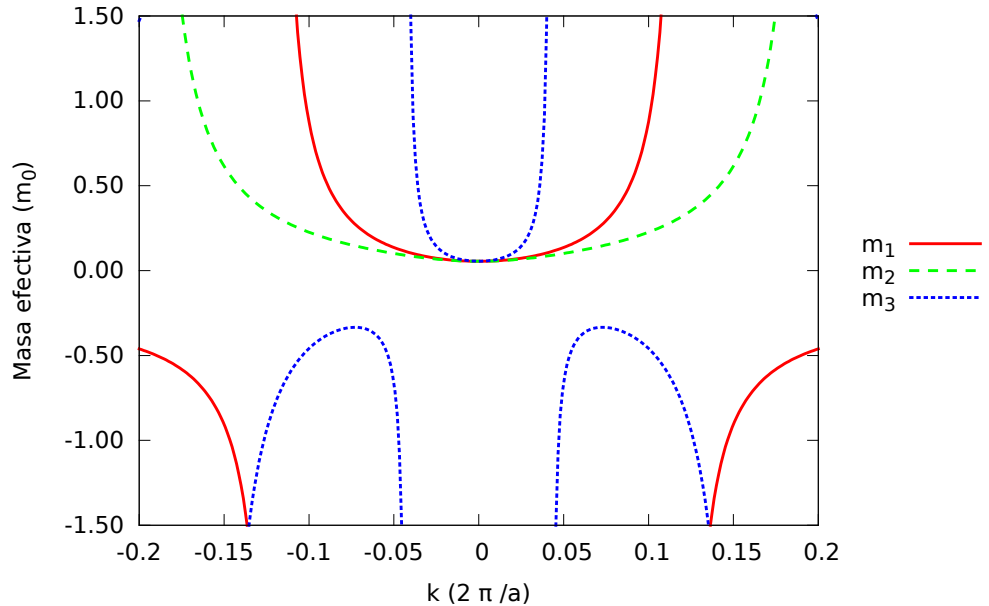
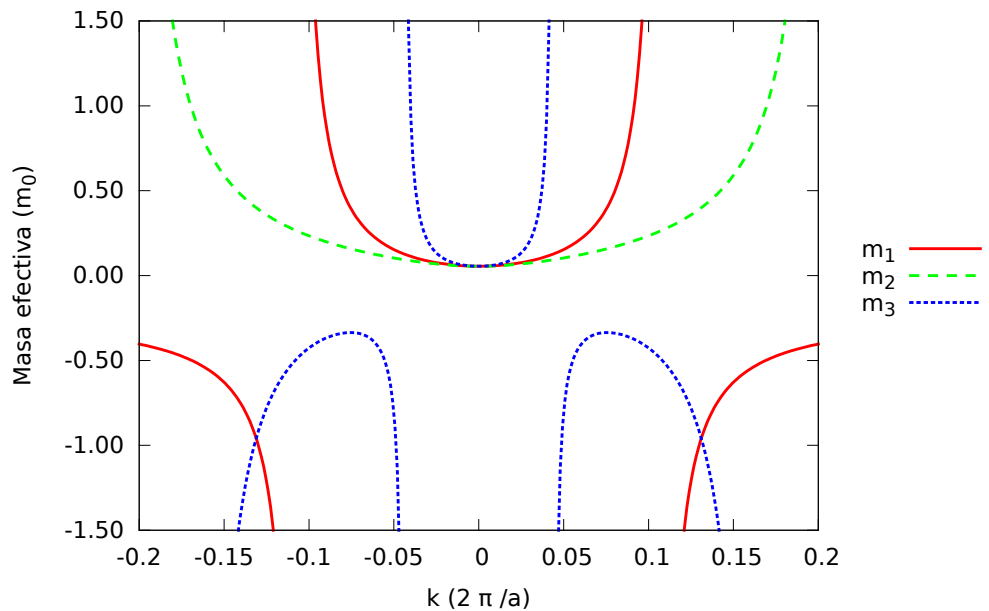


Figura 4.171: $H_{14 \times 14}$ eje $\Sigma \vec{k} = (k, k, 0)$ para la banda 6

Figura 4.172: $H_{14 \times 14}$ eje $\Sigma \vec{k} = (k, k, 0)$ para la banda 7Figura 4.173: $H_{14 \times 14}$ eje $\Sigma \vec{k} = (k, k, 0)$ para la banda 8

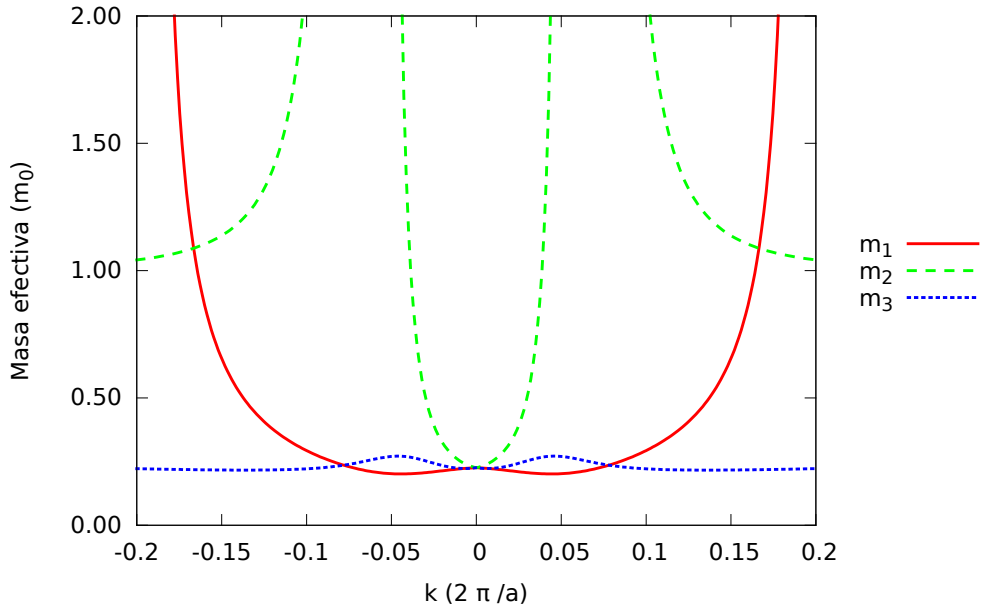


Figura 4.174: $H_{14 \times 14}$ eje $\Sigma \vec{k} = (k, k, 0)$ para la banda 9

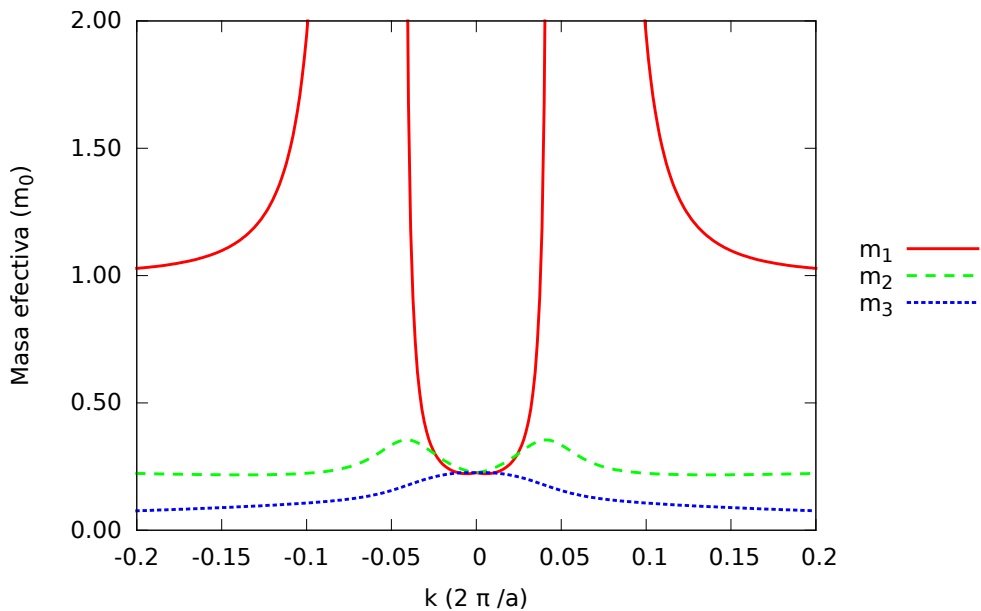
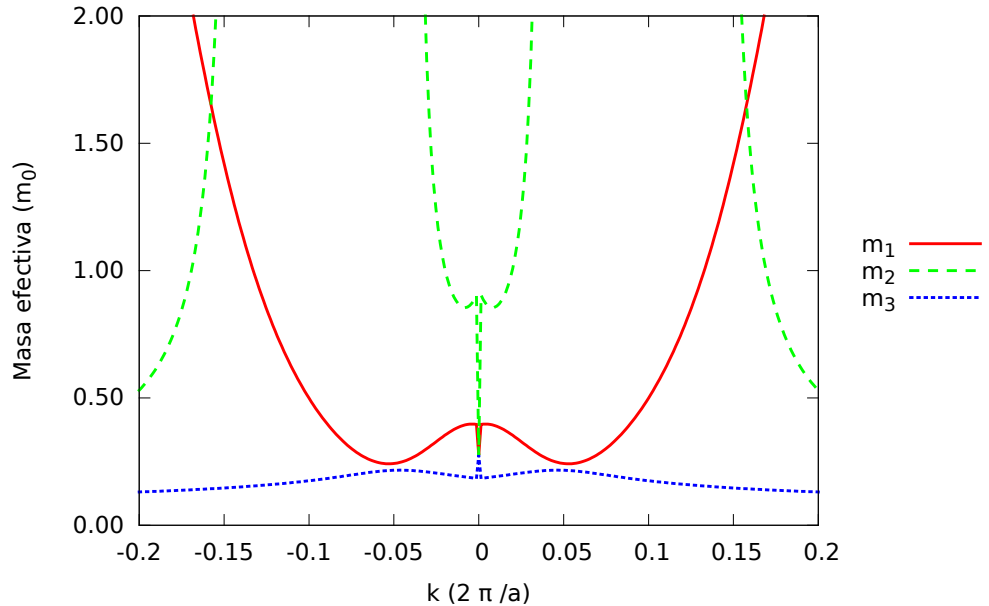
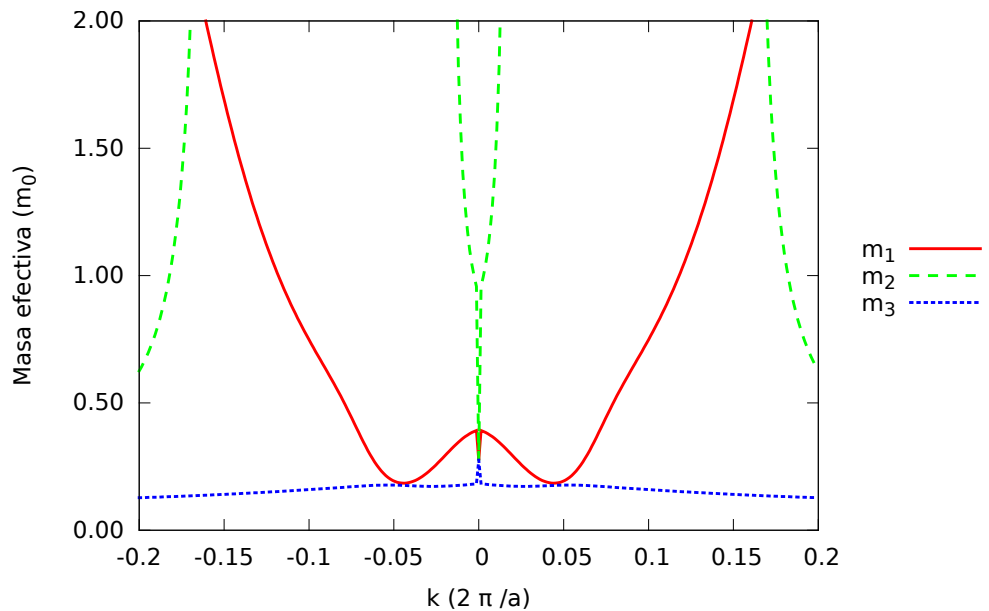


Figura 4.175: $H_{14 \times 14}$ eje $\Sigma \vec{k} = (k, k, 0)$ para la banda 10

Figura 4.176: $H_{14 \times 14}$ eje $\vec{\Sigma} \vec{k} = (k, k, 0)$ para la banda 11Figura 4.177: $H_{14 \times 14}$ eje $\vec{\Sigma} \vec{k} = (k, k, 0)$ para la banda 12

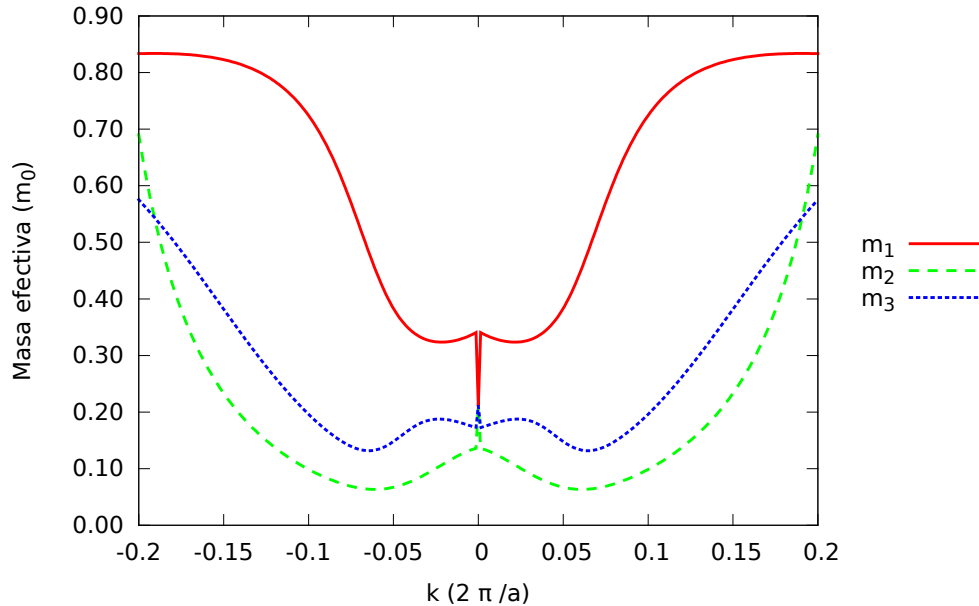


Figura 4.178: $H_{14 \times 14}$ eje $\vec{\Sigma} \vec{k} = (k, k, 0)$ para la banda 13

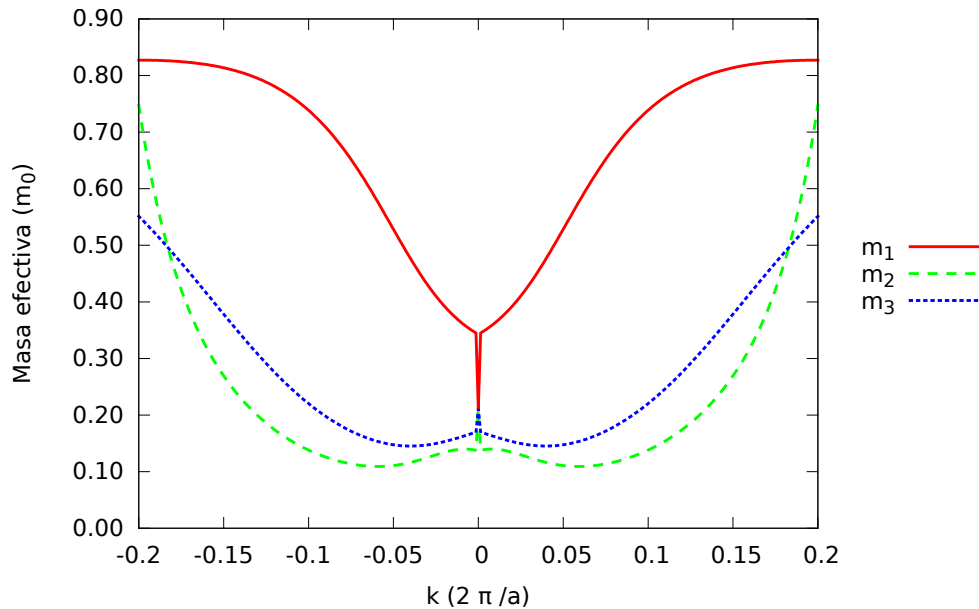


Figura 4.179: $H_{14 \times 14}$ eje $\vec{\Sigma} \vec{k} = (k, k, 0)$ para la banda 14

Capítulo 5

Conclusiones

En este trabajo se ha estudiado la aplicación del método $\vec{k} \cdot \vec{p}$ al Arseniuro de Galio (GaAs) obteniéndose resultados de bandas de energía, superficies isoenergéticas y masas efectivas.

Las bandas de energía obtenidas, reproducen bastante bien las bandas del (GaAs) pero solamente para valores de \vec{k} pequeños. Al alejarse del punto Γ el valor de \vec{k} crece haciendo que la contribución del término $\vec{k} \cdot \vec{p}$ sea cada vez más grande hasta llegar al punto en el que tratarlo como una perturbación ya no es adecuado. No obstante, los resultados obtenidos para valores pequeños de k son bastante satisfactorios.

Las bandas de orbitales tipo p_i tanto para $H_{4 \times 4}$ como para $H_{7 \times 7}$ para los ejes Δ y Λ se presentan en una banda no degenerada más dos bandas degeneradas, esto es debido a que si se hace un cambio de coordenadas de modo que se tenga un eje paralelo y dos perpendiculares, los dos últimos pueden hacerse coincidir por medio de operaciones de simetría y por lo tanto son equivalentes. No ocurre a lo largo del eje Σ ya que los ejes perpendiculares no son transformables por operaciones de simetría y en consecuencia se obtienen tres bandas distintas. El mismo argumento sirve para explicar las degeneraciones en las bandas para $H_{8 \times 8}, H_{8 \times 8(kpi)}, H_{14 \times 14}$ en los ejes Δ y Λ .

La banda de tipo $^2S_{\frac{1}{2}}$ aparece degenerada con degeneración 2 como cabía esperar ya que el hamiltoniano no tiene dependencia con S_z .

Tal y como cabía esperar, y como se observa en las figuras 4.7-4.15, la interacción espín-órbita separa los estados tipo p_i subiendo los correspondientes a $J = \frac{3}{2}$ y bajando los de $J = \frac{1}{2}$.

The $^2S_{\frac{1}{2}}$ -type band appears twice-degenerated as it should since the hamiltonian does not depend of the component of spin along z axis.

Los resultados obtenidos para las masas efectivas en el punto Γ se corresponden bastante bien con los valores experimentales:

m^* / m_0	Valor Experimental	Método $\vec{k} \cdot \vec{p}$
m_e	0.067	0.055
m_{lh}	-0.08	-0.03
m_{hh}	-0.53	-0.38
m_{so}	-0.154	-0.081

Cuadro 5.1: Comparación entre valores teóricos y experimentales de masas efectivas en el punto Γ . Los valores experimentales se han tomado de [1].

En el cuadro 8 m_{so} hace referencia a la masa de los huecos que se obtienen al tener en cuenta la interacción espín-órbita.

Los resultados, a pesar de no reproducir exactamente los valores experimentales, son bastante buenos.

Comparando los valores de masas efectivas obtenidos para las distintas bases y hamiltonianos considerados, se observa que los resultados son muy consistentes ya que se obtienen valores muy parecidos. Por ejemplo, las masas de las bandas comunes de $H_{4 \times 4}$ y $H_{7 \times 7}$, $(p_1^v, p_2^v, p_3^v, s^c)$, son muy parecidas. Lo mismo ocurre con las masas de las bandas comunes de $H_{8 \times 8}, H_{8 \times 8(kpi)}$ y $H_{14 \times 14}$, que serían las 8 primeras. Asimismo, el valor de masa efectiva que se obtiene para la banda s^c ó $^2S_{\frac{1}{2}}$ es prácticamente el mismo para los 5 casos.

Cabe además comentar que las masas efectivas obtenidas en el punto Γ son isótropas tal y como cabía esperar ya que, debido a las simetrías del cristal, en ese punto los tres ejes son equivalentes.

En las figuras 4.16-4.56 se puede observar la no parabolicidad de la mayoría de las bandas, es decir, las superficies isoenergéticas no son esferas. De nuevo, se

observa la consistencia de los resultados ya que las formas de bandas equivalentes para cada uno de los hamiltonianos son muy parecidas.

En las figuras 4.57-3.179 se hace aún más notable la no parabolicidad de las bandas. La mayoría de las bandas presentan una fuerte dependencia con \vec{k} en una forma no parabólica lo que hace que tratar a los electrones, o huecos, en estas bandas como partículas libres no sea una aproximación adecuada. Debido a las simetrías de los ejes Λ y Δ , los tensores de masas efectivas en estos ejes presentan dos componentes iguales y una distinta correspondientes a dos masas transversales al eje y otra longitudinal. No ocurre lo mismo en el eje Σ a lo largo del cual se obtienen tensores de masa efectiva con las tres componentes distintas.

Comparando los resultados obtenidos para $H_{8 \times 8}$ y $H_{8 \times 8(kpi)}$ se puede concluir que el término τ^{op} es totalmente despreciable y que en la expresión (3.15) se puede sustituir $\vec{k} \cdot \vec{\pi}$ por $\vec{k} \cdot \vec{p}$ sin cometer un error apreciable.

En conclusión, el método $\vec{k} \cdot \vec{p}$ es un método sencillo de implementar en el ordenador y de cómputo rápido, ya que permite trabajar con una base reducida de autoestados, que proporciona buenos resultados para entornos reducidos del punto Γ .

5.1. Conclusions

In this work we have studied the $\vec{k} \cdot \vec{p}$ method for Gallium Arsenide and we have obtain results for energy bands, isoenergetic surfaces and efective masses.

The results for energy bands reproduce quite well the energy bands in Gallium Arsenide but only for small values of \vec{k} . As we move away from *Gamma* point, the value of \vec{k} increases making the $\vec{k} \cdot \vec{p}$ more significant to the point where we can no longer treat it as a perturbation. In figures 1-15 we can observe the tendency of the bands to grow in a parabolic way reaching energy values too high. Nevertheless, the results for small k are quite good.

p_i -type energy bands for $H_{4 \times 4}$ as well as for $H_{7 \times 7}$ along Δ and Λ axis appear in one non-degenerate band and other twice-degenerated band. This is bacause if

we made a coordinates transformation so one axis is along the Δ or Λ axis and the other two axis are perpendicular, we can transform one perpendicular axis into the other by applying simmetry operations and therefore, the this two axis are equivalent. This does not occur along the Σ axis because we can not transform one perpendicular axis into the other by applying simmetry operations. The same argument is valid to explain band degeneracies for $H_{8 \times 8}, H_{8 \times 8(kpi)}, H_{14 \times 14}$ along the Δ and Λ axis.

We can observe in bands 4.7-4.15 that spin-orbit interaction splits p_i -type estates raising the energy of states with $J = \frac{3}{2}$ and lowering the energy of states with $J = \frac{1}{2}$ just as one would expect.

The obtained results for efective masses in Γ correspond quite well with experimental values:

m^* / m_0	Valor Experimental	Método $\vec{k} \cdot \vec{p}$
m_e	0.067	0.055
m_{lh}	-0.08	-0.03
m_{hh}	-0.53	-0.38

Cuadro 5.2: Comparison between theoretical and experimental effective mass values in Γ . The experimental values have been taken from [1].

Comparing the results for the differents models we can say that the results are very consistent since for the same states in each model we obtain similar results.

As one would spect, the effective masses in *Gamma* are isotropic since due to the simmetries of the cristal the three axis are equivalent.

In figures 4.16-4.56 the non-parabolicity of the bands can observed. The iso-energetic surfaces are no longer spheres.

In figures 4.57-4.179 the non-parabolicity of the bands is even more noticeable. The majority of the bands show a strong dependency with \vec{k} in a non-parabolic way that makes treating the electron, or holes, in these bands not a good approximation. Due to the simmetries in Λ and Δ axis the effective mass tensor has two componets that are equal and other component that is different to the

other two which correspond to longitudinal masses and transversal mass respectively. This does not occur in *Sigma* axis where all three components are different.

Comparing results from $H_{8\times 8}$ and $H_{8\times 8(kpi)}$ we can infer that the term τ^{op} is totally negectible and in formula (3.15) one can substitute $\vec{k} \cdot \vec{\pi}$ by $\vec{k} \cdot \vec{p}$ with no error.

In conclusion, $\vec{k} \cdot \vec{p}$ method is a easy to implement method in a computer of fast calculation that provides good result for small values of \vec{k}

Apéndice A

Teoría de perturbaciones de Löwdin

Para poder tratar la influencia mutua de dos clases de estados sin perturbar, Lödwin desarrolló una teoría de perturbaciones, que se reduce a la habitual teoría de perturbaciones no degenerada cuando una de estas clases tiene únicamente un estado.

A.1. Principio variacional

Dado un conjunto de autoestados sin perturbar, se puede escribir cualquier otro estado del espacio en la forma

$$\psi \approx \sum_{n=1}^N \psi_n^{(0)} C_n \quad (\text{A.1})$$

Sólo es una igualdad cuando $\{\psi_n^{(0)}\}$ es una base completa, y en ese caso los coeficientes C_n están determinados por la elección de la base. Si la base no es completa, la relación es sólo aproximada y los C_n pueden elegirse de tal manera que se minimize el error.

La energía del estado será

$$\langle \psi | H | \psi \rangle = \sum_{nm} \frac{C_m^* \langle \psi_m^{(0)} | H | \psi_n^{(0)} \rangle C_n}{\sum_n C_n^* C_n} = \sum_{nm} \frac{C_m^* H_{mn} C_n}{\sum_n C_n^* C_n} \quad (\text{A.2})$$

Según el principio variacional, la energía es un extremal cuando se cumple $\frac{\partial E}{\partial C_m} = 0$ y por lo tanto

$$\sum_{n=1}^N [H_{mn} - E\delta_{mn}] C_n = 0 ; \quad m = 1, N \quad (\text{A.3})$$

A.2. Fórmula de la perturbación

Primeramente se divide la base $\{\psi_n^{(0)}\}$ en dos clases:

$$\psi = \sum_{m \in A} \psi_m^{(0)} + \sum_{n \in B} \psi_n^{(0)} \quad (\text{A.4})$$

El conjunto A es los estados para los cuales queremos calcular sus autovalores y el conjunto B es aquellos estados que cuya influencia será una perturbación en los estados de A.

Sacando del sumatorio el término m en la ecuación (A.3) se tiene

$$(E - H_{mm})C_m = \sum_{n \in A} H'_{nm}C_n + \sum_{m \in B} H'_{nm}C_n \quad (\text{A.5})$$

Con

$$H'_{nm} = H_{nm}(1 - \delta_{mn}) \quad (\text{A.6})$$

Despejando los coeficientes C_m

$$C_m = \left(\sum_{n \in A} + \sum_{m \in B} \right) \frac{H'_{nm}}{E - H'_{mm}} C_n = \left(\sum_{n \in A} + \sum_{m \in B} \right) h'_{mn} C_n \quad (\text{A.7})$$

Iterando a los coeficientes en la suma en B

$$C_m = \sum_{n \in A} h'_{mn} C_n + \sum_{m \in B} h'_{mn} C_n \quad (\text{A.8})$$

$$= \sum_{n \in A} h'_{mn} C_n + \sum_{m \in B} h'_{mn} \left(\sum_{\alpha \in A} h'_{n\alpha} C_\alpha + \sum_{\alpha \in B} h'_{n\alpha} C_\alpha \right) \quad (\text{A.9})$$

$$= \sum_{n \in A} h'_{mn} C_n + \sum_{n \in A} \sum_{\alpha \in B} h'_{\alpha n} h'_{m\alpha} C_n + \sum_{n \in A} \sum_{\alpha, \beta \in B} h'_{\beta n} h'_{m\alpha} h'_{\alpha\beta} C_n + \dots \quad (\text{A.10})$$

$$= \sum_{n \in A} \left[h'_{nm} + \sum_{\alpha \in B} h'_{m\alpha} h'_{\alpha n} + \sum_{\alpha, \beta \in B} h'_{m\alpha} h'_{\alpha\beta} h'_{\beta n} + \dots \right] C_n \quad (\text{A.11})$$

$$= \frac{1}{(E - H_{mm})} \sum_{n \in A} \left[H'_{mn} + \sum_{\alpha \in B} \frac{H'_{m\alpha} H'_{\alpha n}}{(E - H'_{\alpha\alpha})} + \sum_{\alpha \in B} \frac{H'_{m\alpha} H'_{\alpha\beta} H'_{\beta n}}{(E - H'_{\alpha\alpha})(E - H'_{\beta\beta})} + \dots \right] \quad (\text{A.12})$$

$$= \frac{1}{(E - H_{mm})} \sum_{n \in A} [U_{mn}^A - H_{mn} \delta_{mn}] C_n \quad (\text{A.13})$$

donde

$$U_{mn}^A = H'_{mn} + \sum_{\alpha \in B} \frac{H'_{m\alpha} H'_{\alpha n}}{(E - H'_{\alpha\alpha})} + \sum_{\alpha \in B} \frac{H'_{m\alpha} H'_{\alpha\beta} H'_{\beta n}}{(E - H'_{\alpha\alpha})(E - H'_{\beta\beta})} + \dots \quad (\text{A.14})$$

Para un $m \in A$,

$$(E - H_{mm}) C_m = \sum_{n \in A} [U_{mn}^A - H_{mm} \delta_{mn}] C_n \quad (\text{A.15})$$

$$\Rightarrow \sum_{m, n \in A} [U_{mn}^A - E \delta_{mn}] = 0 \quad (\text{A.16})$$

Se obtiene un conjunto de ecuaciones seculares donde el hamiltoniano original ha sido reemplazado con el hamiltoniano perturbado U_{mn}^A .

Apéndice B

Código fuente de los programas

B.1. Cálculo de bandas de energía

Para el cálculo de las bandas de energía se ha escrito un programa en fortran que se encarga de leer los parámetros del AsGa necesarios y de calcular los valores de energía para cada banda a lo largo de los puntos de los ejes Λ , Δ y Σ y escribe los resultados en un archivo para posteriormente poder hacer una representación gráfica de los datos haciendo uso del programa *gnuplot*.

A continuación se presenta el código fuente utilizado para el cálculo de las bandas de energía para el caso $H_{4\times 4}$. Para los demás casos el programa es totalmente análogo pero teniendo en cuenta que la dimensión del hamiltoniano cambia y que la subrutina de construcción del hamiltoniano es distinta en cada caso y se deben incluir además los parámetros referentes a la interacción espín-órbita en el caso de los hamiltonianos $H_{8\times 8}$, $H_{8\times 8(kpi)}$ y $H_{14\times 14}$.

B.1.1. Programa principal

```
1 ! Calcula las bandas de energía a lo largo de tres ejes:  
2 ! Eje Delta (1,0,0), Eje Lambda (1,1,1) y Eje Sigma (1,1,0)  
3 PROGRAM bandas  
4  
5 ! Declaración de VARIABLES  
6 IMPLICIT NONE  
7  
8 INTEGER :: i, ip !Índices DO  
9
```

```

11      INTEGER :: ndim !Dimensión de la matriz hamiltoniana
11      PARAMETER (ndim=4)

13      ! Parámetros subrutina de diagonalización (EIGCH)
13      INTEGER :: IW,IJOB, IER
15      PARAMETER (IW=ndim)
15      PARAMETER(IJOB=12)

17      ! Área de trabajo en subrutina de diagonalización (EIGCH)
19      REAL(KIND(0.0D0)) :: WKD(2*IW*IW+4*IW)

21      ! Coordenadas cartesianas del vector de onda
21      REAL(KIND(0.0D0)) :: KX, KY, KZ
23      ! Recorrido del eje x en sentido creciente
23      REAL(KIND(0.0D0)) :: paso , PK

25      REAL(KIND(0.0D0)) :: AVS(ndim) !Autovalores
27

27      ! Matriz hamiltoniana
29      COMPLEX(KIND(0.0D0)) :: HKP(ndim ,ndim)

31      ! Vectores propios
31      COMPLEX(KIND(0.0D0)) :: AUFS(ndim ,ndim)

33      ! Parámetros del AsGa
35      REAL(KIND(0.0D0)) :: E0,E1,P0,P1,Q,a,g1,g2,g3
35      INTEGER :: np !Número de puntos

37      ! Valores inicial y final del ámetro x
39      REAL(KIND(0.0D0)) :: xi ,xf

41

41      ! Leo los parámetros de entrada del archivo
43      OPEN(11,FILE='datos.dat') !Abro el fichero de entrada
43      READ(11,*) E0 !Energía de los estados  $s_c$ 
45      READ(11,*) E1 !Energía de los estados  $p_c$ 
45      READ(11,*) P0 !Parámetro P
47      READ(11,*) P1 !Parámetro P'
47      READ(11,*) Q !Parámetro Q
49      READ(11,*) g1 !Parámetros de Luttinger
49      READ(11,*) g2
49      READ(11,*) g3

```

```

53      READ(11,* ) a    ! Constante de red
      CLOSE(11)

55      ! CONSTRUCCIÓN y DIAGONALIZACIÓN
      ! a lo largo del eje: Delta (x,0,0)
57      OPEN(12,FILE='ejedelta.dat') !Abro el fichero de salida

59      xi = -0.2d0 !x inicial
60      xf = 0.2d0 !x final
61
62      ! Inicializo el valor de k
63      KX = 0.0d0
64      KY = 0.0d0
65      KZ = 0.0d0

67      paso = (xf - xi) / np

69      DO ip = 0,np

71      KX = xi + ip * paso

73      PK = KX

75      ! Subrutina de CONSTRUCCIÓN
76      CALL HAMKP(KX,KY,KZ,HKP,E0,E1,P0,P1,Q,g1,g2,g3,a,ndim)
77      ! Subrutina de DIAGONALIZACIÓN
78      CALL EIGCH(HKP,ndim,IJOB,AVS,AUFS,ndim,WKD,IER)

79      WRITE (12,20) PK,(AVS(i),i=1,ndim)

81      END DO

83      CLOSE(12)

85      ! CONSTRUCCIÓN y DIAGONALIZACIÓN
86      ! a lo largo del eje Lambda (x,x,x)
87      OPEN(12,FILE='ejelambda.dat') !Abro el fichero de salida

89      xi = -0.1d0 !x inicial
90      xf = 0.1d0 !x final
91
92      ! Inicializo el valor de k
93      KX = 0.0d0

```

```

95      KY = 0.0d0
      KZ = 0.0d0

97      paso = ( xf - xi ) / np

99      DO ip = 0,np

101     KX = xi + ip * paso
      KY = KX
      KZ = KX

105     PK = KX

107     ! Subrutina de CONSTRUCCIÓN
CALL HAMKP(KX,KY,KZ,HKP,E0,E1,P0,P1,Q,g1,g2,g3,a,ndim)
109     ! Subrutina de DIAGONALIZACIÓN
CALL EIGCH(HKP,ndim,IJOB,AVS,AUFS,ndim,WKD,IER)
111     ! Escritura de resultados
WRITE (12,20) PK,(AVS(i),i=1,ndim)

113     END DO
115     CLOSE(12)

117     ! CONSTRUCCIÓN y DIAGONALIZACIÓN
     ! a lo largo del eje Sigma (x,x,0)
119     OPEN(12,FILE='ejesigma.dat') ! Abro el fichero de salida

121     xi = -0.1d0 !x inicial
     xf = 0.1d0    !x final

123     ! Inicializo el valor de k
125     KX = 0.0d0
      KY = 0.0d0
      KZ = 0.0d0

129     paso = ( xf - xi ) / np

131     DO ip = 0,np

133     KX = xi + ip * paso
      KY = KX

```

```

137      PK = KX
138
139      !Subrutina de CONSTRUCCIÓN
140      CALL HAMKP(KX,KY,KZ,HKP,E0,E1,P0,P1,Q,g1,g2,g3,a,ndim)
141      !Subrutina de DIAGONALIZACIÓN
142      CALL EIGCH(HKP,ndim,IJOB,AVS,AUFS,ndim,WKD,IER)
143      !Escritura de resultados
144      WRITE (12,20) PK,(AVS(i),i=1,ndim)

145  END DO
146  CLOSE(12)
147
148 20 FORMAT(1x,10(E14.7,1x))
149
150  STOP
151  END PROGRAM bandas

```

ejes.f

B.1.2. Subrutina de construcción del hamiltoniano

```

1 ! Esta subrutina toma como parámetros de entrada los parámetros del
2 ! AsGa, las coordenadas del vector de onda y una matriz H.
3 ! Tras realizar los cálculos devuelve a través de la matriz H
4 ! el hamiltoniano k.p correspondiente a ese punto k.

5
6 SUBROUTINE HAMKP(X,Y,Z,H,E0,E1,P0,P1,Q,g1,g2,g3,red,ndim)
7
8 ! X,Y,Z → KX,KY,KZ Coordenadas cartesianas del vector de onda
9 ! H → HKP Matriz hamiltoniana
10 ! E0 → E0 Energía u tipo s en banda de conducción
11 ! E1 → E1 Energía u tipo p en banda de conducción
12 ! P0 → P0 Interacción  $u_{sc}$  con  $u_{pv}$ 
13 ! P1 → P1 Interacción  $u_{sc}$  con  $u_{pc}$ 
14 ! Q → Q Interacción  $u_{pv}$  con  $u_{pc}$ 
15 ! N → N Dimensión de la matriz hamiltoniana
16 ! g1,g2,g3 Parámetros de Luttinger
17 ! * La energía del estado  $u_{pv}$  se toma como origen de energías

18 ****
19 ! ORDENACIÓN DE LA BASE: sc,pxv,pyv,pzv
20 ****

```

```

23 ! Declaración de VARIABLES
25   INTEGER      I , J
26   INTEGER      ndim
27
28   REAL*8       X,Y,Z
29   REAL*8       ALFA,BETA,DOSPI
30   REAL*8       E0 ,E1 ,P0 ,P1 ,Q, red ,L,M,N,g1 ,g2 ,g3
31   REAL*8       P0l ,P1l ,Ql ,A,B
32
33   COMPLEX*16   H( ndim , ndim )
34
35 ! Defición de CONSTANTES
36   DOSPI=6.28318530718d0 ! (2*pi)
37   !(eV) alfa=(hbar**2)*2*(PI**2)/m/(a**2)
38   ALFA=150.412063818d0/red**2
39   BETA=3.80998201d0 !(eV/A**2) (hbar**2)/(2m)
40
41   L=BETA*( g1+4.d0*g2+1.d0 )
42   M=BETA*( g1-2.d0*g2+1.d0 )
43   N=BETA*6.d0*g3
44
45   L=L*( DOSPI/ red )**2
46   M=M*( DOSPI/ red )**2
47   N=N*( DOSPI/ red )**2
48
49   Ql=Q*( DOSPI/ red )
50   P0l=P0*( DOSPI/ red )
51   P1l=P1*( DOSPI/ red )
52
53   A=(P1l**2)/(E0-E1)
54   B=Ql*P1l/(E0/2-E1)
55
56 ! Cálculo del HAMILTONIANO
57
58 ! Inicializo con ceros
59   DO J=1,ndim
60     DO I=1,ndim
61       H(I,J)=dcmplx ( 0 . d0 , 0 . d0 )
62     END DO
63   END DO

```

```

65 ! Lleno la diagonal
66 H(1,1)=dcmplx(E0+ALFA*(X**2+Y**2+Z**2)+A*(X**2+Y**2+Z**2),0.d0)
67 H(2,2)=dcmplx(ALFA*(X**2+Y**2+Z**2)+L*X**2+M*(Y**2+Z**2),0.d0)
68 H(3,3)=dcmplx(ALFA*(X**2+Y**2+Z**2)+L*Y**2+M*(X**2+Z**2),0.d0)
69 H(4,4)=dcmplx(ALFA*(X**2+Y**2+Z**2)+L*Z**2+M*(X**2+Y**2),0.d0)

71 ! Lleno el triángulo superior
72 H(1,2)=dcmplx(B*Y*Z,P01*X)
73
74 H(1,3)=dcmplx(B*X*Z,P01*Y)
75 H(2,3)=dcmplx(N*X*Y,0.d0)

77 H(1,4)=dcmplx(B*X*Y,P01*Z)
78 H(2,4)=dcmplx(N*X*Z,0.d0)
79 H(3,4)=dcmplx(N*Y*Z,0.d0)

81 ! Lleno el triángulo inferior como el hermítico del superior
82 DO J=1,ndim-1
83   DO I=J+1,ndim
84     H(I,J)=dconjg(H(J,I))
85   END DO
86 END DO
87
88 RETURN
89 END

```

hk4x4.f

B.1.3. Subrutina de construcción del hamiltoniano con espín-órbita

En el caso de considerar la interacción espín-órbita la subrutina de construcción del hamiltoniano es un poco distinta. A continuación se muestra el código de la subrutina en el caso $H_{8\times 8}$, para el resto de casos con interacción espín-órbita la subrutina es análoga.

```

1 SUBROUTINE HAMKP(X,Y,Z,H,E0,E1,P0,P1,Q,g1,g2,g3,delta0,a,ndim)
2
3 ! Declaración de VARIABLES
4
5

```

```

1      INTEGER :: I , J
7      INTEGER :: ndim

9      REAL(KIND(0.0D0)) :: X,Y,Z
10     REAL(KIND(0.0D0)) :: ALFA,DPI2 , PI , DOSPI
11     REAL(KIND(0.0D0)) :: E0,E1,P0,P1,Q,a,L,M,N,g1 , g2 , g3 , delta0
12     REAL(KIND(0.0D0)) :: P01 , P11 , Q1

13
14     COMPLEX(KIND(0.0D0)) :: H(ndim , ndim) , Sinv (ndim , ndim) , S(ndim , ndim)
15     COMPLEX(KIND(0.0D0)) :: Maux( ndim , ndim)

16
17 ! BASE DUPLICADA:
18     p1v+,p2v+,p3v+,,p1v-,p2v-,p3v-,p1c+,p2c+,p3c+,,p1c-,p2c-,p3c-,s+,s-,
19
20 ! Defición de CONSTANTES
21     DOSPI=6.28318530718d0 ! (2*pi)
22     ALFA=150.412063818d0/a**2 !(eV) alfa=(hbar**2)*2*(PI**2)/m/(a**2)
23     BETA=3.80998201d0 !(eV/A**2) (hbar**2)/(2m)

24
25     L=BETA*( g1+4.d0*g2+1.d0)
26     M=BETA*( g1-2.d0*g2+1.d0)
27     N=BETA* 6 . d0*g3

28
29     L=L*(DOSPI/a)**2
30     M=M*(DOSPI/a)**2
31     N=N*(DOSPI/a)**2

32
33     Ql=Q*(DOSPI/a)
34     P0l=P0*(DOSPI/a)
35     P1l=P1*(DOSPI/a)

36
37 ! Inicializo con ceros
38
39     DO J=1,ndim
40         DO I=1,ndim
41             H(I,J)=dcmplx (0 . d0 , 0 . d0 )
42         END DO
43     END DO

44
45 ! Lleno la diagonal de las submatrices Hpp
46     H(1,1)=dcmplx (ALFA*(X**2+Y**2+Z**2)+L*X**2+M*(Y**2+Z**2) , 0 . d0 )
47     H(2,2)=dcmplx (ALFA*(X**2+Y**2+Z**2)+L*Y**2+M*(X**2+Z**2) , 0 . d0 )
48     H(3,3)=dcmplx (ALFA*(X**2+Y**2+Z**2)+L*Z**2+M*(X**2+Y**2) , 0 . d0 )

```

```

49   H(4,4)=dcmplx(ALFA*(X**2+Y**2+Z**2)+L*X**2+M*(Y**2+Z**2),0.d0)
50   H(5,5)=dcmplx(ALFA*(X**2+Y**2+Z**2)+L*Y**2+M*(X**2+Z**2),0.d0)
51   H(6,6)=dcmplx(ALFA*(X**2+Y**2+Z**2)+L*Z**2+M*(X**2+Y**2),0.d0)

53 ! Lleno el triángulo superior de las submatrices Hpp
54   H(1,2)=dcmplx(N*X*Y,0.d0)
55   H(4,5)=dcmplx(N*X*Y,0.d0)

57   H(1,3)=dcmplx(N*X*Z,0.d0)
58   H(4,6)=dcmplx(N*X*Z,0.d0)

59   H(2,3)=dcmplx(N*Y*Z,0.d0)
60   H(5,6)=dcmplx(N*Y*Z,0.d0)

63 ! Columna Hps up
64   H(1,7)=dcmplx(Ql*P11*Y*Z*(1.d0/(E0-E1)-1.d0/E1),P01*X)
65   H(2,7)=dcmplx(Ql*P11*X*Z*(1.d0/(E0-E1)-1.d0/E1),P01*Y)
66   H(3,7)=dcmplx(Ql*P11*X*Y*(1.d0/(E0-E1)-1.d0/E1),P01*Z)

67 ! Columna Hps down
68   H(4,8)=dcmplx(Ql*P11*Y*Z*(1.d0/(E0-E1)-1.d0/E1),P01*X)
69   H(5,8)=dcmplx(Ql*P11*X*Z*(1.d0/(E0-E1)-1.d0/E1),P01*Y)
70   H(6,8)=dcmplx(Ql*P11*X*Y*(1.d0/(E0-E1)-1.d0/E1),P01*Z)

71 ! Terminos diagonales de los s
72   H(7,7)=dcmplx(E0+ALFA*(X**2+Y**2+Z**2)
73     >+P11**2*(X**2+Y**2+Z**2)/(E0-E1),0.d0)
74   H(8,8)=dcmplx(E0+ALFA*(X**2+Y**2+Z**2)
75     >+P11**2*(X**2+Y**2+Z**2)/(E0-E1),0.d0)

77 ! Lleno el triángulo inferior como el hermítico del superior

79 DO J=1,ndim-1
80   DO I=J+1,ndim
81     H(I,J)=dconjg(H(J,I))
82   END DO
83 END DO

85 ! Construyo la MATRIZ DE PASO S

87 ! Inicializo con ceros

89 DO J=1,ndim

```

```

DO I=1,ndim
 91   Sinv(I,J)=dcmplx(0.d0,0.d0)
 92   S(I,J)=dcmplx(0.d0,0.d0)
END DO
93 END DO

95 ! Lleno los elementos distintos de cero
96
97   S(1,1)=dcmplx(-dsqrt(0.5d0),0.d0)
98   S(3,1)=dcmplx(dsqrt(1.d0/6.d0),0.d0)
99   S(6,1)=dcmplx(-dsqrt(1.d0/3.d0),0.d0)

101  S(1,2)=dcmplx(0.d0,dsqrt(0.5d0))
102  S(3,2)=dcmplx(0.d0,dsqrt(1.d0/6.d0))
103  S(6,2)=dcmplx(0.d0,-dsqrt(1.d0/3.d0))

105  S(2,3)=dcmplx(dsqrt(2.d0/3.d0),0.d0)
106  S(5,3)=dcmplx(-dsqrt(1.d0/3.d0),0.d0)

109  S(2,4)=dcmplx(-dsqrt(1.d0/6.d0),0.d0)
110  S(4,4)=dcmplx(dsqrt(1.d0/2.d0),0.d0)
111  S(5,4)=dcmplx(-dsqrt(1.d0/3.d0),0.d0)

113  S(2,5)=dcmplx(0.d0,dsqrt(1.d0/6.d0))
114  S(4,5)=dcmplx(0.d0,dsqrt(1.d0/2.d0))
115  S(5,5)=dcmplx(0.d0,dsqrt(1.d0/3.d0))

117  S(3,6)=dcmplx(dsqrt(2.d0/3.d0),0.d0)
118  S(6,6)=dcmplx(dsqrt(1.d0/3.d0),0.d0)

119  S(7,7)=dcmplx(1.d0,0.d0)
120  S(8,8)=dcmplx(1.d0,0.d0)

123 ! Ahora la inversa

125  Sinv(1,1)=dcmplx(-dsqrt(0.5d0),0.d0)
126  Sinv(2,1)=dcmplx(0.d0,-dsqrt(0.5d0))

127  Sinv(3,2)=dcmplx(dsqrt(2.d0/3.d0),0.d0)
128  Sinv(4,2)=dcmplx(-1.d0/sqrt(6.d0),0.d0)
129  Sinv(5,2)=dcmplx(0.d0,-1.d0/sqrt(6.d0))

131

```

```

133   Sinv(1,3)=dcmplx(1.d0/sqrt(6.d0),0.d0)
134   Sinv(2,3)=dcmplx(0.d0,-1.d0/sqrt(6.d0))
135   Sinv(6,3)=dcmplx(dsqr(2.d0/3.d0),0.d0)

136
137   Sinv(4,4)=dcmplx(dsqr(0.5d0),0.d0)
138   Sinv(5,4)=dcmplx(0.d0,-dsqr(0.5d0))

139
140   Sinv(3,5)=dcmplx(-dsqr(1.d0/3.d0),0.d0)
141   Sinv(4,5)=dcmplx(-dsqr(1.d0/3.d0),0.d0)
142   Sinv(5,5)=dcmplx(0.d0,-dsqr(1.d0/3.d0))

143
144   Sinv(1,6)=dcmplx(-dsqr(1.d0/3.d0),0.d0)
145   Sinv(2,6)=dcmplx(0.d0,dsqr(1.d0/3.d0))
146   Sinv(6,6)=dcmplx(dsqr(1.d0/3.d0),0.d0)

147
148   Sinv(7,7)=dcmplx(1.d0,0.d0)
149   Sinv(8,8)=dcmplx(1.d0,0.d0)

150
151 ! Realizo el cambio de base
152 CALL PRODD88(S,H,Maux) !M=S*H

153 CALL PRODD88(Maux,Sinv,H) !H=S*H*S**(-1)

154
155 ! Sumo los términos de espín-órbita

156
157   H(1,1)=H(1,1)+dcmplx(delta0/3.d0,0.d0)
158   H(2,2)=H(2,2)+dcmplx(delta0/3.d0,0.d0)
159   H(3,3)=H(3,3)+dcmplx(delta0/3.d0,0.d0)
160   H(4,4)=H(4,4)+dcmplx(delta0/3.d0,0.d0)

161
162   H(5,5)=H(5,5)+dcmplx(-2.d0*delta0/3.d0,0.d0)
163   H(6,6)=H(6,6)+dcmplx(-2.d0*delta0/3.d0,0.d0)

164
165 RETURN
166 END

```

hkp8x8.f

B.1.4. Subrutina EIGCH de diagonalización de matrices

Para la diagonalización de matrices se hace uso de la subrutina EICH que además de diagonalizar matrices, devuelve autovalores, autovectores, las matrices

de paso, la matriz de permutaciones, etc.

```

CCCCCCCCCCCCCCCCCCCCCCCCCCCCCCCCCCCCCCCCCCCCCCCCCCCCCCCCCCCC
2 C          EIGCH          C
CCCCCCCCCCCCCCCCCCCCCCCCCCCCCCCCCCCCCCCCCCCCCCCCCCCCCCCCCCCC
4 ! IMSL ROUTINE NAME - EIGCH EICH0010C
!C_____
6 C
! COMPUTER - DG7/DOUBLE
8 C
! LATEST REVISION - JUNE 1, 1980
10 C
! PURPOSE - EIGENVALUES AND (OPTIONALLY) EIGENVECTORS OF
12 ! A COMPLEX HERMITIAN MATRIX
C
14 ! USAGE - CALL EIGCH (A,N,JOBN,D,Z,IZ,WK,IER)
C
16 ! ARGUMENTS A - INPUT COMPLEX HERMITIAN MATRIX OF ORDER N
! WHOSE EIGENVALUES AND EIGENVECTORS ARE
18 ! TO BE COMPUTED. INPUT A IS DESTROYED IF
! IJOB IS EQUAL TO 0 OR 1.
20 ! NOTE - THE ROUTINE TREATS A AS A REAL VECTOR.
! AN EQUIVALENCE STATEMENT MAY BE REQUIRED-
22 ! SEE DOCUMENT EXAMPLE.
! N - INPUT ORDER OF THE MATRIX A AND MATRIX Z.
24 ! JOBN - INPUT OPTION PARAMETER. IF JOBN.GE.10
! A IS ASSUMED TO BE IN FULL COMPLEX STORAGE
26 ! MODE (MUST BE DIMENSIONED EXACTLY N BY N).
! IF JOBN.LT.10 THEN A IS ASSUMED TO BE IN
28 ! HERMITIAN STORAGE MODE. DEFINE
! IJOB=MOD(JOBN,10). THEN WHEN
30 ! IJOB = 0, COMPUTE EIGENVALUES ONLY.
! IJOB = 1, COMPUTE EIGENVALUES AND EIGEN-
32 ! VECTORS.
! IJOB = 2, COMPUTE EIGENVALUES, EIGENVECTORS
34 ! AND PERFORMANCE INDEX.
! IJOB = 3, COMPUTE PERFORMANCE INDEX ONLY.
36 ! IF THE PERFORMANCE INDEX IS COMPUTED, IT IS
! RETURNED IN WK(1). THE ROUTINES HAVE
38 ! PERFORMED (WELL, SATISFACTORILY, POORLY) IF
! WK(1) IS (LESS THAN 1, BETWEEN 1 AND 100,
40 ! GREATER THAN 100).
! D - OUTPUT VECTOR OF LENGTH N CONTAINING THE

```

```

42 ! EIGENVALUES OF A.
43 ! Z - OUTPUT N BY N COMPLEX MATRIX CONTAINING
44 ! THE EIGENVECTORS OF A.
45 ! THE EIGENVECTOR IN COLUMN J OF Z CORRESPONDS
46 ! PONDS TO THE EIGENVALUE D(J).
47 ! IF IJOB = 0, Z IS NOT USED.
48 ! NOTE - THE ROUTINE TREATS Z AS A REAL VECTOR
49 ! OF LENGTH 2*N*N. AN APPROPRIATE EQUIVALENCE
50 ! STATEMENT MAY BE REQUIRED. SEE DOCUMENTATION
51 ! EXAMPLE.
52 ! IZ - INPUT ROW DIMENSION OF MATRIX Z EXACTLY AS
53 ! SPECIFIED IN THE DIMENSION STATEMENT IN THE
54 ! CALLING PROGRAM. IZ MUST BE GREATER THAN
55 ! OR EQUAL TO N IF IJOB IS NOT EQUAL TO ZERO.
56 ! WK - WORK AREA, THE LENGTH OF WK DEPENDS
57 ! ON THE VALUE OF IJOB, WHEN
58 ! IJOB = 0, THE LENGTH OF WK IS AT LEAST 3N.
59 ! IJOB = 1, THE LENGTH OF WK IS AT LEAST 3N.
60 ! IJOB = 2, THE LENGTH OF WK IS AT LEAST
61 ! N*N+4N.
62 ! IJOB = 3, THE LENGTH OF WK IS AT LEAST 1.
63 ! IER - ERROR PARAMETER. (OUTPUT)
64 ! TERMINAL ERROR
65 ! IER = 128+J, INDICATES THAT EQRT2S
66 ! FAILED TO CONVERGE ON EIGENVALUE J.
67 ! EIGENVALUES J+1,J+2,...,N HAVE BEEN
68 ! COMPUTED CORRECTLY.
69 ! THE PERFORMANCE INDEX IS SET TO 1000.0.
70 ! WARNING ERROR (WITH FIX)
71 ! IN THE FOLLOWING, IJOB = MOD(JOBN,10).
72 ! IER = 66, INDICATES IJOB IS LESS THAN 0 OR
73 ! IJOB IS GREATER THAN 3. IJOB IS SET TO 1.
74 ! IER = 67, INDICATES IJOB IS NOT EQUAL TO
75 ! ZERO, AND IZ IS LESS THAN THE ORDER OF
76 ! MATRIX A. IJOB IS SET TO ZERO.
77 ! IER = 68, INDICATES THAT MATRIX A IS NOT
78 ! HERMITIAN BECAUSE SOME DIAGONAL ELEMENT(S)
79 ! ARE NOT REAL. EIGCH SETS THE IMAGINARY
80 ! PART OF THESE ELEMENTS TO ZERO AND
81 ! PROCEEDS WITH THE COMPUTATIONS.
82 C
83 ! PRECISION/HARDWARE - SINGLE AND DOUBLE/H32

```

```

84 ! - SINGLE/H36,H48,H60
C
86 ! REQD. IMSL ROUTINES - EHBCKH,EHOUSH,EQRT2S,UERTST,UGETIO
C
88 ! NOTATION - INFORMATION ON SPECIAL NOTATION AND
! CONVENTIONS IS AVAILABLE IN THE MANUAL
90 ! INTRODUCTION OR THROUGH IMSL ROUTINE UHELP
C
92 ! COPYRIGHT - 1980 BY IMSL, INC. ALL RIGHTS RESERVED.
C
94 ! WARRANTY - IMSL WARRANTS ONLY THAT IMSL TESTING HAS BEEN
! APPLIED TO THIS CODE. NO OTHER WARRANTY,
96 ! EXPRESSED OR IMPLIED, IS APPLICABLE.
C
98 C_____
C
100      SUBROUTINE EIGCH  (A,N,JOBN,D,Z,IZ ,WK,IER)
! SPECIFICATIONS FOR ARGUMENTS
102      INTEGER          N,JOBN,IZ ,IER
      DOUBLE PRECISION   A(1) ,D(N) ,Z(1) ,WK(1)
104 ! SPECIFICATIONS FOR LOCAL VARIABLES
      INTEGER          JER,K,I ,NE,NTAU,NA,NI ,NI2 ,IM1 ,J ,IIZ ,NZ ,IIZ1
      ,
106      1                 IJOB ,JR ,IR ,IJ ,JI ,NP1 ,
      2                 JZ ,JZI ,L,M,II ,IL ,KK,LZ ,MZ ,LK ,KZ
108      DOUBLE PRECISION ANORM,ASUM,PI ,SUMZ,SUMR,SUMI ,S ,TEN ,RDELP ,
      1                 ZERO,ONE,THOUS,AN ,SIGNA
110      DATA             RDELP / 0.2220446050D-15 /
      DATA             ZERO,ONE / 0.0D0 ,1.0D0 / ,TEN / 10.0D0 / ,THOUS
      / 1000.0D
112      *0/
! INITIALIZE ERROR PARAMETERS
114 ! FIRST EXECUTABLE STATEMENT
      IER = 0
116      JER = 0
      IF (JOBN.LT.10) GO TO 15
118 ! CONVERT TO HERMETIAN STORAGE MODE
      JR = N + N - 2
120      IJ = 2
      K = 2
122      DO 10 J=1,N
      DO 5 I=1,J

```

```

124      A(K-1) = A(IJ-1)
125      A(K) = -A(IJ)
126      K = K+2
127      IJ = IJ + 2
128      5  CONTINUE
129      IJ = IJ + JR
130      JR = JR - 2
131      10 CONTINUE
132      15 IJOB = MOD(JOBN,10)
133      IF (IJOB.GE.0.AND.IJOB.LE.3) GO TO 20
134 ! WARNING ERROR - IJOB IS NOT IN THE
135 ! RANGE
136      IER = 66
137      IJOB = 1
138      GO TO 25
139      20 IF (IJOB.EQ.0) GO TO 45
140      25 IF (IZ.GE.N) GO TO 30
141 ! WARNING ERROR - IZ IS LESS THAN N
142 ! EIGENVECTORS CAN NOT BE COMPUTED,
143 ! IJOB SET TO ZERO
144      IER = 67
145      IJOB = 0
146      30 K = 2
147      DO 40 I=1,N
148      IF (A(K).EQ.ZERO) GO TO 35
149      A(K) = ZERO
150 ! WARNING ERROR - SOME DIAGONAL
151 ! ELEMENT(S) NOT REAL
152      IER = 68
153      35      K = K+I+I+2
154      40 CONTINUE
155      IF (IJOB.EQ.3) GO TO 110
156      45 NE = 1
157      NTAU = NE+N
158      NA = NTAU+N+N
159      NI = (N*(N+1))/2
160      NI2 = NI+NI
161      IF (IJOB.NE.2) GO TO 55
162 ! SAVE INPUT A IF IJOB = 2
163      K = NA
164      DO 50 I=1,NI2
165      WK(K) = A(I)

```

```

166      K = K+1
167 50 CONTINUE
168 ! SEPARATE A INTO REAL AND IMAGINARY
169 ! PARTS
170   55 IF (NI.LT.2) GO TO 70
171     IM1 = 1
172   DO 65 I=2,NI
173     K = IM1+I
174     PI = A(K)
175   DO 60 J=1,IM1
176     A(K) = A(K-1)
177     K = K-1
178   60 CONTINUE
179     A(I) = PI
180     IM1 = I
181 65 CONTINUE
182 ! REDUCE HERMITIAN MATRIX TO A REAL
183 ! SYMMETRIC TRIDIAGONAL MATRIX
184   70 CALL EHOUSH (A(1),A(NI+1),N,D,WK(NE),WK(NTAU))
185     IIZ = 1
186   IF (IJOB.NE.0) IIZ = IZ+IZ
187   IF (IIZ.EQ.1) GO TO 85
188 ! SET Z TO AN IDENTITY MATRIX
189   NZ = (IZ+IZ)*N
190   DO 75 I=1,NZ
191     Z(I) = ZERO
192 75 CONTINUE
193   K = 1
194   IIZ1 = IIZ+1
195   DO 80 I=1,N
196     Z(K) = ONE
197     K = K+IIZ1
198 80 CONTINUE
199 ! COMPUTE EIGENVALUES AND EIGENVECTORS
200   85 CALL EQRT2S (D,WK(NE),N,Z(1),IIZ,JER)
201   IF (IJOB.EQ.0) GO TO 9000
202 ! BACKTRANSFORM THE EIGENVECTORS
203   CALL EHBCKH (A(1),A(NI+1),WK(NTAU),N,Z(1),Z(IZ+1),IIZ)
204 ! CONVERT Z (EIGENVECTORS) TO COMPLEX
205 ! FORMAT Z(IZ,N)
206   JZ = 0
207   DO 100 J=1,N

```

```

208      JZI = JZ+IZ
210      DO 90 I=1,N
211          K = JZI+I
212          WK(I) = Z(K)
213      90  CONTINUE
214          K = JZ+N
215          L = K+N-1
216          M = N
217          DO 95 I=1,N
218              Z(L) = Z(K)
219              Z(L+1) = WK(M)
220              K = K-1
221              L = L-2
222              M = M-1
223      95  CONTINUE
224          JZ = JZ+IZ+IZ
225      100 CONTINUE
226      ! Z IS NOW IN COMPLEX FORMAT Z(IZ,N).
227      IF (IJOB.NE.2) GO TO 9000
228      ! MOVE ORIGINAL MATRIX BACK TO A
229          K = NA
230          DO 105 I=1,NI2
231              A(I) = WK(K)
232              K = K+1
233      105 CONTINUE
234          WK(1) = THOUS
235          IF (JER.NE.0) GO TO 9000
236          ! COMPUTE 1-NORM OF A
237          110 ANORM = ZERO
238          II = 1
239          DO 120 I=1,N
240              ASUM = ZERO
241              IL = II
242              KK = 2
243              DO 115 L=1,N
244                  ! ASUM = ASUM+DCABS(DCMPLX(A(IL),A(IL+1)))
245                  ASUM = ASUM+CDABS(DCMPLX(A(IL),A(IL+1)))
246                  IF (L.GE. I) KK = L+L
247                  IL = IL+KK
248      115  CONTINUE
249          ANORM = DMAX1(ANORM,ASUM)
250          II = II+I+I

```

```

250      120 CONTINUE
251      IF (ANORM.EQ.ZERO) ANORM = ONE
252 ! COMPUTE PERFORMANCE INDEX
253      PI = ZERO
254      DO 135 I=1,N
255          II = 1
256          S = ZERO
257          SUMZ = ZERO
258          LZ = (IZ+IZ)*(I-1)+1
259          LZ = IZ*(I-1)*2+1
260          MZ = LZ
261          DO 130 L=1,N
262              LK = II
263              KK = 2
264 ! SUMZ = SUMZ+DCABS(DCMPLX(Z(LZ),Z(LZ+1)))
265             SUMZ = SUMZ+CDABS(DCMPLX(Z(LZ),Z(LZ+1)))
266             SUMR = -D(I)*Z(LZ)
267             SUMI = -D(I)*Z(LZ+1)
268             KZ = MZ
269             DO 125 K=1,N
270                 SIGNA = ONE
271                 IF (K.GT.L) SIGNA = -ONE
272                 SUMR = SUMR+A(LK)*Z(KZ)-SIGNA*A(LK+1)*Z(KZ+1)
273                 SUMI = SUMI+A(LK)*Z(KZ+1)+SIGNA*A(LK+1)*Z(KZ)
274                 IF (K.GE.L) KK = K+K
275                 LK = LK+KK
276                 KZ = KZ+2
277             125      CONTINUE
278 ! S = S+DCABS(DCMPLX(SUMR,SUMI))
279             S = S+CDABS(DCMPLX(SUMR,SUMI))
280             LZ = LZ+2
281             II = II+L+L
282     130      CONTINUE
283     IF (SUMZ.EQ.ZERO) GO TO 135
284     PI = DMAX1(PI,S/SUMZ)
285     135      CONTINUE
286     AN = N
287     PI = PI/(ANORM*TEN*AN*RDELP)
288     WK(1) = PI
289     IF (JOBN.LT.10) GO TO 9000
290 ! CONVERT BACK TO FULL COMPLEX MODE
291     NP1 = N + 1

```

```

292      IJ = (N-1) * NP1
293      IJ = IJ + IJ + 2
294      K = N * NP1
295      DO 145 JR=1,N
296          J = N+1-JR
297          DO 140 IR=1,J
298              A(IJ-1) = A(K-1)
299              A(IJ) = -A(K)
300              K = K-2
301              IJ = IJ - 2
302      140      CONTINUE
303          IJ = IJ - JR - JR
304      145      CONTINUE
305          JR = N + N
306          II = 2
307          JI = 2
308          DO 155 I=1,N
309              IJ = II
310              DO 150 J=1,I
311                  A(IJ-1) = A(JI-1)
312                  A(IJ) = -A(JI)
313                  JI = JI+2
314                  IJ = IJ+JR
315      150      CONTINUE
316          JI = JI + JR - I - I
317          II = II + 2
318      155      CONTINUE
319      9000      CONTINUE
320          IF (IER.NE.0) CALL UERTST (IER, 'EIGCH ')
321          IF (JER.EQ.0) GO TO 9005
322          IER = JER
323          CALL UERTST (IER, 'EIGCH ')
324      9005      RETURN
325          END
326      CCCCCCCCCCCCCCCCCCCCCCCCCCCCCCCCCCCCCCCCCCCCC
327      C          EHOUSH          C
328      CCCCCCCCCCCCCCCCCCCCCCCCCCCCCCCCCCCCCCCCCCCCC
329      C  IMSL ROUTINE NAME  - EHOUSH
330          EHOH0010C
331      C
332      ! COMPUTER - DG7/DOUBLE

```

```

C
334 ! LATEST REVISION - JUNE 1, 1982
C
336 ! PURPOSE - NUCLEUS CALLED ONLY BY IMSL ROUTINE EIGCH
C
338 ! PRECISION/HARDWARE - SINGLE AND DOUBLE/H32
! - DOUBLE/H36,H48,H60
C
340 ! REQD. IMSL ROUTINES - NONE REQUIRED
C
342 ! NOTATION - INFORMATION ON SPECIAL NOTATION AND
344 ! CONVENTIONS IS AVAILABLE IN THE MANUAL
! INTRODUCTION OR THROUGH IMSL ROUTINE UHELP
C
346 ! COPYRIGHT - 1982 BY IMSL, INC. ALL RIGHTS RESERVED.
C
348 ! WARRANTY - IMSL WARRANTS ONLY THAT IMSL TESTING HAS BEEN
350 ! APPLIED TO THIS CODE. NO OTHER WARRANTY,
! EXPRESSED OR IMPLIED, IS APPLICABLE.
C
352 C_____
C
354 C
      SUBROUTINE EHOUSH (AR,AI,N,D,E,TAU)
356 ! SPECIFICATIONS FOR ARGUMENTS
      INTEGER          N
      DOUBLE PRECISION AR(1) ,AI(1) ,D(1) ,E(1) ,TAU(2 ,1)
! SPECIFICATIONS FOR LOCAL VARIABLES
360      INTEGER          NM1,NN,I ,NR,NRM1,L,INDX,J ,JJ ,INX1 ,INX2 ,JP1 ,
      KK,
      *                  IX ,IM1
      DOUBLE PRECISION RHO,TOLER,ZERO,ONE,T1 ,T2 ,TESTBB,VR,ROOT,
      DELTA,
      *                  RATIO,RDELP,Q1 ,Q2 ,X1 ,X2 ,TT1 ,TT2 ,BB
364      DATA             ZERO/0.0D0/ ,ONE/1.0D0/
      DATA             RDELP/0.2220446050D-15/
366 ! FIRST EXECUTABLE STATEMENT
      NM1=N-1
368      TOLER=ZERO
      NN=(N*(N+1))/2
      DO 5 I=1,NN
      T1=DABS(AR(I))
      T2=DABS(AI(I))
372

```

```

374      IF (T2.GT.T1) T1=T2
375      IF (T1.GT.TOLER) TOLER=T1
376      5 CONTINUE
377      TESTBB=RDELP*TOLER
378      IF (N.LE.2) GO TO 65
379 ! PERFORM N - 2 SIMILARITY
380 ! TRANSFORMATIONS
381      DO 60 NR=2,NM1
382          NRM1=NR-1
383          VR=ZERO
384          TAU(1, NR)=ZERO
385          TAU(2, NR)=ZERO
386          TAU(2, 1)=ZERO
387          DO 10 L=NR, N
388              INDX=(L*(L-1))/2+NRM1
389              VR=AR(INDX)**2+AI(INDX)**2+VR
390          10 CONTINUE
391          INDX=(NR*NRM1)/2+NRM1
392          IF ((TESTBB)**2 .GE. VR) GO TO 60
393 ! ROOT = DCABS(DCMPLX(AR(INDX),AI(INDX))*DSQRT(VR)
394          ROOT = CDABS(DCMPLX(AR(INDX), AI(INDX)))*DSQRT(VR)
395          IF (ROOT.NE.ZERO) GO TO 15
396          AR(INDX)=DSQRT(VR)
397          DELTA=VR
398          TAU(1, 1)=-AR(INDX)
399          GO TO 20
400      15 DELTA=VR+ROOT
401          RATIO=VR/ROOT
402          TAU(1, 1)=-RATIO*AR(INDX)
403          TAU(2, 1)= RATIO*AI(INDX)
404          AR(INDX)=(RATIO+ONE)*AR(INDX)
405          AI(INDX)=(RATIO+ONE)*AI(INDX)
406 ! THE MATRIX TO BE USED IN THE
407 ! SIMILARITY TRANSFORMATION HAS
408 ! BEEN DETERMINED. THE TRANSFOR-
409 ! MATION FOLLOWS
410      20 DO 35 J=NR, N
411          JJ=(J*(J-1))/2
412          INDX=JJ+NRM1
413          TAU(1, J)=AR(INDX)/DELTA
414          TAU(2, J)=AI(INDX)/DELTA
415          D(J)=ZERO

```

```

E(J)=ZERO
416  DO 25 L=NR,J
      INX1=(L*(L-1))/2+NRM1
418  INX2=JJ+L
      D(J)= D(J)+AR(INX2)*AR(INX1)-AI(INX2)*AI(INX1)
420  E(J)= E(J)+AR(INX2)*AI(INX1)+AI(INX2)*AR(INX1)
25    CONTINUE
422  JP1=J+1
      IF (JP1 .GT. N) GO TO 40
424  DO 30 L=JP1,N
      KK=(L*(L-1))/2
426  INX1=KK+NRM1
      INX2=KK+J
428  D(J)=D(J)+AR(INX2)*AR(INX1)+AI(INX2)*AI(INX1)
      E(J)=E(J)+AR(INX2)*AI(INX1)-AI(INX2)*AR(INX1)
430  30   CONTINUE
35    CONTINUE
432  40   RHO=ZERO
      DO 45 L=NR,N
      RHO=RHO+D(L)*TAU(1,L)+E(L)*TAU(2,L)
434  45   CONTINUE
436  IX=(NRM1*(NR-2))/2
      DO 55 I=NR,N
      IX=IX+I-1
438  INX2=IX+NRM1
      DO 50 J=NR,I
      INX1=IX+J
440  X1=TAU(1,I)*D(J)+TAU(2,I)*E(J)
      X2=TAU(2,I)*D(J)-TAU(1,I)*E(J)
442  Q1=D(I)-RHO*AR(INX2)
      Q2=E(I)-RHO*AI(INX2)
444  T1=Q1*TAU(1,J)+Q2*TAU(2,J)
      T2=Q2*TAU(1,J)-Q1*TAU(2,J)
446  AR(INX1)=AR(INX1)-X1-T1
      AI(INX1)=AI(INX1)-X2-T2
448  50   CONTINUE
55    CONTINUE
452  TAU(1, NR)=TAU(1, 1)
      TAU(2, NR)=TAU(2, 1)
454  60 CONTINUE
456 ! THE MATRIX HAS BEEN REDUCED TO TRI-
      ! DIAGONAL HERMITIAN FORM. THE SUB-

```



```
CCCCCCCCCCCCCCCCCCCCCCCCCCCCCCCCCCCCCCCCCCCCCCCC  
500 ! IMSL ROUTINE NAME - EQRT2S EQRT0010C  
C_____  
502 C  
! COMPUTER - DG7/DOUBLE  
C  
504 ! LATEST REVISION - NOVEMBER 1, 1984  
C  
506 ! PURPOSE - EIGENVALUES AND (OPTIONALLY) EIGENVECTORS OF  
508 ! A SYMMETRIC TRIDIAGONAL MATRIX USING THE  
! QL METHOD.  
C  
510 ! USAGE - CALL EQRT2S (D,E,N,Z,IZ,IER)  
C  
512 ! ARGUMENTS D - ON INPUT, THE VECTOR D OF LENGTH N CONTAINS  
514 ! THE DIAGONAL ELEMENTS OF THE SYMMETRIC  
! TRIDIAGONAL MATRIX T.  
516 ! ON OUTPUT, D CONTAINS THE EIGENVALUES OF  
! T IN ASCENDING ORDER.  
518 ! E - ON INPUT, THE VECTOR E OF LENGTH N CONTAINS  
! THE SUB-DIAGONAL ELEMENTS OF T IN POSITION  
520 ! 2,...,N. ON OUTPUT, E IS DESTROYED.  
! N - ORDER OF TRIDIAGONAL MATRIX T.(INPUT)  
522 ! Z - ON INPUT, Z CONTAINS THE IDENTITY MATRIX OF  
! ORDER N.  
524 ! ON OUTPUT, Z CONTAINS THE EIGENVECTORS  
! OF T. THE EIGENVECTOR IN COLUMN J OF Z  
526 ! CORRESPONDS TO THE EIGENVALUE D(J).  
! IZ - INPUT ROW DIMENSION OF MATRIX Z EXACTLY AS  
528 ! SPECIFIED IN THE DIMENSION STATEMENT IN THE  
! CALLING PROGRAM. IF IZ IS LESS THAN N, THE  
530 ! EIGENVECTORS ARE NOT COMPUTED. IN THIS CASE  
! Z IS NOT USED.  
532 ! IER - ERROR PARAMETER  
! TERMINAL ERROR  
534 ! IER = 128+J, INDICATES THAT EQRT2S FAILED  
! TO CONVERGE ON EIGENVALUE J. EIGENVALUES  
536 ! AND EIGENVECTORS 1,...,J-1 HAVE BEEN  
! COMPUTED CORRECTLY, BUT THE EIGENVALUES  
538 ! ARE UNORDERED.  
C  
540 ! PRECISION/HARDWARE - SINGLE AND DOUBLE/H32
```

```

! - SINGLE/H36,H48,H60
542 C
! REQD. IMSL ROUTINES - UERTST,UGETIO
544 C
! NOTATION - INFORMATION ON SPECIAL NOTATION AND
546 ! CONVENTIONS IS AVAILABLE IN THE MANUAL
! INTRODUCTION OR THROUGH IMSL ROUTINE UHELP
548 C
! COPYRIGHT - 1978 BY IMSL, INC. ALL RIGHTS RESERVED.
550 C
! WARRANTY - IMSL WARRANTS ONLY THAT IMSL TESTING HAS BEEN
552 ! APPLIED TO THIS CODE. NO OTHER WARRANTY,
! EXPRESSED OR IMPLIED, IS APPLICABLE.
554 C
C_____
556 C
      SUBROUTINE EQRT2S (D,E,N,Z,IZ ,IER)
558 C
      INTEGER IER , II ,IP1 ,IZ ,I ,J,K,L,L1 ,M,MM1,MM1PL,N
      DIMENSION D(1) ,E(1) ,Z(IZ ,1)
      DOUBLE PRECISION D,E,Z,B,C,F,G,H,P,R,S ,RDELP,ONE,ZERO
      DATA RDELP/0.2220446050D-15/
      DATA ZERO,ONE/0.0D0,1.0D0/
564 ! MOVE THE LAST N-1 ELEMENTS
566 ! OF E INTO THE FIRST N-1 LOCATIONS
566 ! FIRST EXECUTABLE STATEMENT
      IER = 0
568   IF (N .EQ. 1) GO TO 9005
      DO 5   I=2,N
      E(I-1) = E(I)
570   5 CONTINUE
      E(N) = ZERO
      B = ZERO
574   F = ZERO
      DO 60   L=1,N
      J = 0
      H = RDELP*(DABS(D(L))+DABS(E(L)))
578   IF (B.LT.H) B = H
      ! LOOK FOR SMALL SUB-DIAGONAL ELEMENT
      DO 10   M=L,N
      K=M
      IF (DABS(E(K)) .LE. B) GO TO 15

```

```

10    CONTINUE
584   15    M = K
           IF (M.EQ.L) GO TO 55
586   20    IF (J .EQ. 30) GO TO 85
           J = J+1
588   L1 = L+1
           G = D(L)
590   P = (D(L1)-G)/(E(L)+E(L))
           R = DABS(P)
592   IF (RDEL*DABS(P) .LT. 1.0D0) R = DSQRT(P*P+ONE)
           D(L) = E(L)/(P+DSIGN(R,P))
594   H = G-D(L)
           DO 25 I = L1,N
           D(I) = D(I)-H
25    CONTINUE
598   F = F+H
! QL TRANSFORMATION
600   P = D(M)
602   C = ONE
604   S = ZERO
       MM1 = M-1
604   MM1PL = MM1+L
       IF (L.GT.MM1) GO TO 50
606   DO 45 II=L,MM1
           I = MM1PL-II
           G = C*E(I)
           H = C*P
610   IF (DABS(P).LT.DABS(E(I))) GO TO 30
           C = E(I)/P
612   R = DSQRT(C*C+ONE)
           E(I+1) = S*P*R
614   S = C/R
           C = ONE/R
616   GO TO 35
30    C = P/E(I)
618   R = DSQRT(C*C+ONE)
           E(I+1) = S*E(I)*R
620   S = ONE/R
           C = C*S
622   35    P = C*D(I)-S*G
           D(I+1) = H+S*(C*G+S*D(I))
           IF (IZ .LT. N) GO TO 45
624

```


! IMSL ROUTINE NAME - UERTST UERT0010C

C_____

C

! COMPUTER - DG7/SINGLE

C

! LATEST REVISION - JUNE 1, 1982

C

! PURPOSE - PRINT A MESSAGE REFLECTING AN ERROR CONDITION

C

! USAGE - CALL UERTST (IER,NAME)

C

! ARGUMENTS IER - ERROR PARAMETER. (INPUT)

! IER = I+J WHERE

! I = 128 IMPLIES TERMINAL ERROR MESSAGE,

! I = 64 IMPLIES WARNING WITH FIX MESSAGE,

! I = 32 IMPLIES WARNING MESSAGE.

! J = ERROR CODE RELEVANT TO CALLING

! ROUTINE.

! NAME - A CHARACTER STRING OF LENGTH SIX PROVIDING

! THE NAME OF THE CALLING ROUTINE. (INPUT)

C

! PRECISION/HARDWARE - SINGLE/ALL

C

! REQD. IMSL ROUTINES - UGETIO,USPKD

C

! NOTATION - INFORMATION ON SPECIAL NOTATION AND

! CONVENTIONS IS AVAILABLE IN THE MANUAL

! INTRODUCTION OR THROUGH IMSL ROUTINE UHELP

C

! REMARKS THE ERROR MESSAGE PRODUCED BY UERTST IS WRITTEN

! TO THE STANDARD OUTPUT UNIT. THE OUTPUT UNIT

! NUMBER CAN BE DETERMINED BY CALLING UGETIO AS

! FOLLOWS.. CALL UGETIO(1,NIN,NOUT).

! THE OUTPUT UNIT NUMBER CAN BE CHANGED BY CALLING

! UGETIO AS FOLLOWS..

! NIN = 0

! NOUT = NEW OUTPUT UNIT NUMBER

! CALL UGETIO(3,NIN,NOUT)

! SEE THE UGETIO DOCUMENT FOR MORE DETAILS.

C

! COPYRIGHT - 1982 BY IMSL, INC. ALL RIGHTS RESERVED.

```

C
710 ! WARRANTY - IMSL WARRANTS ONLY THAT IMSL TESTING HAS BEEN
    ! APPLIED TO THIS CODE. NO OTHER WARRANTY,
712 ! EXPRESSED OR IMPLIED, IS APPLICABLE.

C
714 C_____
C

716      SUBROUTINE UERTST (IER,NAME)
    ! SPECIFICATIONS FOR ARGUMENTS
    INTEGER          IER
    ! CHARACTER NAME*(*)
    ! SPECIFICATIONS FOR LOCAL VARIABLES
    INTEGER          I ,IEQ,IEQDF,IOUNIT,LEVEL,LEVOLD,NAMEQ(6) ,
722    *           NAMSET(6),NAMUPK(6),NIN,NMTB,NAME(6)
    DATA            NAMSET/1HU,1HE,1HR,1HS,1HE,1HT/
724    DATA            NAMEQ/6*1H /
    DATA            LEVEL/4/,IEQDF/0/,IEQ/1H=/
726 ! UNPACK NAME INTO NAME
    ! FIRST EXECUTABLE STATEMENT
728 ! CALL USPKD (NAME,6,NAMUPK,NMTB)
    ! GET OUTPUT UNIT NUMBER
730     CALL UGETIO(1,NIN,IOUNIT)
    ! CHECK IER
732     IF (IER.GT.999) GO TO 25
    IF (IER.LT.-32) GO TO 55
734     IF (IER.LE.128) GO TO 5
    IF (LEVEL.LT.1) GO TO 30
736 ! PRINT TERMINAL MESSAGE
    IF (IEQDF.EQ.1) WRITE(IOUNIT,35) IER,NAMEQ,IEQ,NAME
738     IF (IEQDF.EQ.0) WRITE(IOUNIT,35) IER,NAME
    GO TO 30
740     5 IF (IER.LE.64) GO TO 10
    IF (LEVEL.LT.2) GO TO 30
742 ! PRINT WARNING WITH FIX MESSAGE
    IF (IEQDF.EQ.1) WRITE(IOUNIT,40) IER,NAMEQ,IEQ,NAME
744     IF (IEQDF.EQ.0) WRITE(IOUNIT,40) IER,NAME
    GO TO 30
746     10 IF (IER.LE.32) GO TO 15
    ! PRINT WARNING MESSAGE
    IF (LEVEL.LT.3) GO TO 30
    IF (IEQDF.EQ.1) WRITE(IOUNIT,45) IER,NAMEQ,IEQ,NAME
748     IF (IEQDF.EQ.0) WRITE(IOUNIT,45) IER,NAME

```

```

    GO TO 30
752   15 CONTINUE
! CHECK FOR UERSET CALL
754     DO 20 I=1,6
          IF (NAME(I).NE.NAMSET(I)) GO TO 25
756   20 CONTINUE
      LEVOLD = LEVEL
758     LEVEL = IER
      IER = LEVOLD
760     IF (LEVEL.LT.0) LEVEL = 4
      IF (LEVEL.GT.4) LEVEL = 4
762     GO TO 30
25 CONTINUE
764     IF (LEVEL.LT.4) GO TO 30
! PRINT NON-DEFINED MESSAGE
766     IF (IEQDF.EQ.1) WRITE(IONUNIT,50) IER,NAMEQ,IEQ,NAME
      IF (IEQDF.EQ.0) WRITE(IONUNIT,50) IER,NAME
768   30 IEQDF = 0
      RETURN
770   35 FORMAT(19H *** TERMINAL ERROR,10X,7H(IER = ,I3 ,
      1           20H) FROM IMSL ROUTINE ,6A1,A1,6A1)
772   40 FORMAT(27H *** WARNING WITH FIX ERROR,2X,7H(IER = ,I3 ,
      1           20H) FROM IMSL ROUTINE ,6A1,A1,6A1)
774   45 FORMAT(18H *** WARNING ERROR,11X,7H(IER = ,I3 ,
      1           20H) FROM IMSL ROUTINE ,6A1,A1,6A1)
776   50 FORMAT(20H *** UNDEFINED ERROR,9X,7H(IER = ,I5 ,
      1           20H) FROM IMSL ROUTINE ,6A1,A1,6A1)
778 C
      ! SAVE P FOR P = R CASE
780 ! P IS THE PAGE NAME
      ! R IS THE ROUTINE NAME
782   55 IEQDF = 1
      DO 60 I=1,6
784   60 NAMEQ(I) = NAME(I)
      65 RETURN
786   END
C
788 CCCCCCCCCCCCCCCCCCCCCCCCCCCCCCCCCCCCCCCCCCCCCCCCC
C          UGETIO          C
790 CCCCCCCCCCCCCCCCCCCCCCCCCCCCCCCCCCCCCCCCCCCCCCCCC
      ! IMSL ROUTINE NAME - UGETIO UGET0010C
792 C_____

```

```
C  
794 ! COMPUTER - DG7/SINGLE  
C  
796 ! LATEST REVISION - JUNE 1, 1981  
C  
798 ! PURPOSE - TO RETRIEVE CURRENT VALUES AND TO SET NEW  
! VALUES FOR INPUT AND OUTPUT UNIT  
800 ! IDENTIFIERS.  
C  
802 ! USAGE - CALL UGETIO(IOPT,NIN,NOUT)  
C  
804 ! ARGUMENTS IOPT - OPTION PARAMETER. (INPUT)  
! IF IOPT=1, THE CURRENT INPUT AND OUTPUT  
806 ! UNIT IDENTIFIER VALUES ARE RETURNED IN NIN  
! AND NOUT, RESPECTIVELY.  
808 ! IF IOPT=2, THE INTERNAL VALUE OF NIN IS  
! RESET FOR SUBSEQUENT USE.  
810 ! IF IOPT=3, THE INTERNAL VALUE OF NOUT IS  
! RESET FOR SUBSEQUENT USE.  
812 ! NIN - INPUT UNIT IDENTIFIER.  
! OUTPUT IF IOPT=1, INPUT IF IOPT=2.  
814 ! NOUT - OUTPUT UNIT IDENTIFIER.  
! OUTPUT IF IOPT=1, INPUT IF IOPT=3.  
816 C  
! PRECISION/HARDWARE - SINGLE/ALL  
818 C  
! REQD. IMSL ROUTINES - NONE REQUIRED  
820 C  
! NOTATION - INFORMATION ON SPECIAL NOTATION AND  
822 ! CONVENTIONS IS AVAILABLE IN THE MANUAL  
! INTRODUCTION OR THROUGH IMSL ROUTINE UHELP  
824 C  
! REMARKS EACH IMSL ROUTINE THAT PERFORMS INPUT AND/OR OUTPUT  
826 ! OPERATIONS CALLS UGETIO TO OBTAIN THE CURRENT UNIT  
! IDENTIFIER VALUES. IF UGETIO IS CALLED WITH IOPT=2 OR  
828 ! IOPT=3, NEW UNIT IDENTIFIER VALUES ARE ESTABLISHED.  
! SUBSEQUENT INPUT/OUTPUT IS PERFORMED ON THE NEW UNITS.  
830 C  
! COPYRIGHT - 1978 BY IMSL, INC. ALL RIGHTS RESERVED.  
832 C  
! WARRANTY - IMSL WARRANTS ONLY THAT IMSL TESTING HAS BEEN  
834 ! APPLIED TO THIS CODE. NO OTHER WARRANTY,
```

```

! EXPRESSED OR IMPLIED, IS APPLICABLE.
836 C
C_____
838 C
      SUBROUTINE UGETIO(IOPT,NIN,NOUT)
840 ! SPECIFICATIONS FOR ARGUMENTS
      INTEGER          IOPT,NIN,NOUT
842 ! SPECIFICATIONS FOR LOCAL VARIABLES
      INTEGER          NIND,NOUTD
      DATA             NIND/9/,NOUTD/12/
844 ! FIRST EXECUTABLE STATEMENT
      IF (IOPT.EQ.3) GO TO 10
      IF (IOPT.EQ.2) GO TO 5
848     IF (IOPT.NE.1) GO TO 9005
      NIN = NIND
850     NOUT = NOUTD
      GO TO 9005
852     5 NIND = NIN
      GO TO 9005
854     10 NOUTD = NOUT
9005 RETURN
856   END
CCCCCCCCCCCCCCCCCCCCCCCCCCCCCCCCCCCCCCCC
858 ! EHCKH C
CCCCCCCCCCCCCCCCCCCCCCCCCCCCCCCCCCCCCCCC
860 ! IMSL ROUTINE NAME - EHCKH EHBH0010C
C_____
862 C
      ! COMPUTER - DG7/DOUBLE
864 C
      ! LATEST REVISION - JUNE 1, 1982
866 C
      ! PURPOSE - NUCLEUS CALLED ONLY BY IMSL ROUTINE EIGCH
868 C
      ! PRECISION/HARDWARE - SINGLE AND DOUBLE/H32
870     ! - DOUBLE/H36,H48,H60
C
872     ! REQD. IMSL ROUTINES - NONE REQUIRED
C
874     ! NOTATION - INFORMATION ON SPECIAL NOTATION AND
      ! CONVENTIONS IS AVAILABLE IN THE MANUAL
876     ! INTRODUCTION OR THROUGH IMSL ROUTINE UHELP

```

```

C
878 ! COPYRIGHT - 1982 BY IMSL, INC. ALL RIGHTS RESERVED.
C
880 ! WARRANTY - IMSL WARRANTS ONLY THAT IMSL TESTING HAS BEEN
! APPLIED TO THIS CODE. NO OTHER WARRANTY,
882 ! EXPRESSED OR IMPLIED, IS APPLICABLE.
C
884 C_____
C
886      SUBROUTINE EHBCKH (AR, AI, TAU, N, ZR, ZI , IZ )
! SPECIFICATIONS FOR ARGUMENTS
888      INTEGER          N, IZ
      DOUBLE PRECISION   AR(1) ,AI(1) ,TAU(2 ,1) ,ZR(IZ ,1) ,ZI(IZ ,1)
890 ! SPECIFICATIONS FOR LOCAL VARIABLES
      INTEGER          J ,K,NR,L,NRM1,INX1 ,INX2 ,K1
      DOUBLE PRECISION  DELTA,ZERO,ALPHA1,ALPHA2
      DATA              ZERO/0.0D0/
894 ! TRANSFORM THE EIGENVECTORS OF THE
! REAL SYMMETRIC TRIDIAGONAL MATRIX
896 ! TO THOSE OF THE HERMITIAN TRIDIA-
! GONAL MATRIX
898 ! FIRST EXECUTABLE STATEMENT
      DO 5 J=1,N
      DO 5 K=1,N
         ZI (J ,K)=-ZR(J ,K)*TAU(2 ,J )
         ZR(J ,K)=ZR(J ,K)*TAU(1 ,J )
5 CONTINUE
904      IF (N .LE. 2) GO TO 30
! RECOVER THE HOUSEHOLDER MATRICES IN
906 ! REVERSE ORDER
      DO 25 L=3,N
908      NR=N-L+2
      NRM1=NR-1
910      INX1=(NR*(NRM1 ))/2+NR
      INX2=INX1-1
912      IF (AI(INX1) .EQ. ZERO) GO TO 25
      DELTA=AI(INX1)* DSQRT(AR(INX2)**2+AI(INX2)**2)
914      DO 20 J=1,N
916          ALPHA1=ZERO
          ALPHA2=ZERO
      DO 10 K=NR,N
918          K1=(K*(K-1))/2+NRM1

```

```

920          ALPHA1=ALPHA1+AR(K1)*ZR(K,J)+AI(K1)*ZI(K,J)
921          ALPHA2=ALPHA2-AI(K1)*ZR(K,J)+AR(K1)*ZI(K,J)
922      10  CONTINUE
923          ALPHA1=ALPHA1/DELTA
924          ALPHA2=ALPHA2/DELTA
925      DO 15 K=NR,N
926          K1=(K*(K-1))/2+NRM1
927          ZR(K,J)=ZR(K,J)-AR(K1)*ALPHA1+AI(K1)*ALPHA2
928          ZI(K,J)=ZI(K,J)-AR(K1)*ALPHA2-AI(K1)*ALPHA1
929      15  CONTINUE
930      20  CONTINUE
931      25 CONTINUE
932      30 RETURN
933      END
934      C               C
935      CCCCCCCCCCCCCCCCCCCCCCCCCCCCCCCCCCCCCCCCCCCCC

```

eigch.f

B.2. Superficies isoenergéticas

Para el cálculo de las bandas de energía en un plano ($X,Y,0$) se ha escrito un programa en fortan que se encarga de leer los parametros del AsGa necesarios y de calcular los valores de energía para cada banda para puntos del plano ($X,Y,0$) y escribe los resultados en archivos para posteriormente poder hacer una representación tridimensional de las bandas y una representación de lineas isoenergéticas mediante el programa *Mathematica*.

A continuación se presenta el código fuente utilizado para el cálculo de las bandas de energía para el caso $H_{4\times 4}$. Para los demás casos el programa es totalmente análogo pero teniendo en cuenta que la dimensión del hamiltoniano cambia y que la subrutina de construcción del hamiltoniano es distinta en cada caso y se deben incluir además los parámetros referentes a la interacción espín-órbita en el caso de los hamiltonianos $H_{8\times 8}$, $H_{8\times 8(kpi)}$ y $H_{14\times 14}$.

B.2.1. Programa principal

```

1 ! Calcula las diferentes bandas de energía para el plano (X,Y,0)
2 PROGRAM isoener
3
4 ! Declaración de VARIABLES
5 IMPLICIT NONE
6
7 INTEGER :: i , ip , jp ! Índices DO
8
9 INTEGER :: ndim ! Dimensión de la matriz hamiltoniana
10 PARAMETER (ndim=4)
11
12 ! Parámetros subrutina de diagonalización (EIGCH)
13 INTEGER :: IW
14 PARAMETER (IW=ndim)
15 INTEGER :: IJOB , IER
16 PARAMETER(IJOB=12)
17
18 INTEGER :: np ! Número de puntos
19
20 ! Área de trabajo en subrutina de diagonalizacion (EIGCH)
21 REAL(KIND(0.0D0)) :: WKD(2*IW*IW+4*IW)

```

```

23 ! Coordenadas cartesianas del vector de onda
REAL(KIND(0.0D0)) :: KX, KY, KZ
25 ! Pasos de las variables
REAL(KIND(0.0D0)) :: pasox ,pasoy ,PK
27 ! Valores propios
REAL(KIND(0.0D0)) :: AVS(ndim)
29 ! Matriz hamiltoniana
COMPLEX(KIND(0.0D0)) :: HKP(ndim ,ndim)
31 ! Vectores propios
COMPLEX(KIND(0.0D0)) :: AUFS(ndim ,ndim)
33 ! Parámetros del AsGa
REAL(KIND(0.0D0)) :: E0 ,E1 ,P0 ,P1 ,Q,a ,g1 ,g2 ,g3
35 ! Valores inicial y final de los parámetros x e y
REAL(KIND(0.0D0)) :: xi ,xf
37 REAL(KIND(0.0D0)) :: yi ,yf

39 ! Leo los parámetros de entrada del archivo
OPEN(11,FILE='datos.dat') !Abro el fichero de entrada
41 READ(11,*) E0 !Energía de los estados  $s_c$ 
READ(11,*) E1 !Energía de los estados  $p_c$ 
43 READ(11,*) P0 !Parámetro P
READ(11,*) P1 !Parámetro P'
45 READ(11,*) Q !Parámetro Q
READ(11,*) g1 !Parámetros de Luttinger
47 READ(11,*) g2
READ(11,*) g3
49 READ(11,*) a !Constante de red
CLOSE(11)

51 ! Abro los ficheros de salida
53 OPEN(12,FILE='banda1.dat')
OPEN(13,FILE='banda2.dat')
55 OPEN(14,FILE='banda3.dat')
OPEN(15,FILE='banda4.dat')

57 ! CONSTRUCCIÓN y DIAGONALIZACIÓN a lo largo del plano (X,Y,0)
59 xi=-0.2d0 !x inicial
60 xf=0.2d0 !x final
61 yi=-0.2d0 !y inicial
62 yf=0.2d0 !y final
63 KX= 0.0d0

```

```

65   KY= 0.0d0
66   KZ= 0.0d0
67
68   pasox= (xf-xi)/np
69   pasoy= (yf-yi)/np
70
71   DO jp=0,np
72     KY= yi + jp*pasoy
73     DO ip= 0,np
74       KX= xi + ip*pasox
75       !Subrutina de CONSTRUCCIÓN
76       CALL HAMKP(KX,KY,KZ,HKP,E0,E1,P0,P1,Q,g1,g2,g3,a,ndim)
77       !Subrutina de DIAGONALIZACIÓN
78       CALL EIGCH(HKP,ndim,IJOB,AVS,AUFS,ndim,WKD,IER)
79       WRITE (12,20) KX,KY,AVS(1)
80       WRITE (13,20) KX,KY,AVS(2)
81       WRITE (14,20) KX,KY,AVS(3)
82       WRITE (15,20) KX,KY,AVS(4)
83     END DO
84   END DO
85
86   20 FORMAT(1x,10(E14.7,1x))
87
88   CLOSE(12)
89   CLOSE(13)
90   CLOSE(14)
91   CLOSE(15)
92
93   STOP
END PROGRAM isoener

```

3D.f

B.3. Masas efectivas en el punto Γ

B.3.1. Programa principal

!Calcula el tensor de masa efectiva en el punto Gamma

2 PROGRAM progmasas

4 !Declaración de VARIABLES

```

IMPLICIT NONE

6   ! Función que calcula el autovalor correspondiente a la banda
8   EXTERNAL:: AUTOVAL1

10  INTEGER :: i ,j ,k !Índices

12  ! Dimensión de la matriz hamiltoniana
13  INTEGER :: ndim
14  PARAMETER (ndim=4)

16  ! Parámetros subrutina de diagonalizacion (EIGCH)
17  INTEGER :: IW
18  PARAMETER (IW=ndim)
19  INTEGER :: IJOB , IER

20  ! Índice de la banda y dimension del tensor de masa
21  INTEGER :: IB , N1
22  PARAMETER (N1=3)

24  ! Para ajustar las unidades
25  REAL(KIND(0.0D0)) :: UNI, UNI2
26  PARAMETER (UNI2=301.544)

28  ! Coordenadas del vector K
29  REAL(KIND(0.0D0)) :: KX, KY, KZ
30  REAL(KIND(0.0D0)) :: AVS(ndim)
31  ! Valores propios
32  REAL(KIND(0.0D0)) :: AUTOVAL1

34  ! Matrices para el tensor de masas
35  REAL(KIND(0.0d0)) :: DB(3 ,3) , DM(3 ,3) , DPM(3) , DMV(3)

38  ! Vectores propios
39  COMPLEX(KIND(0.0D0)) :: AUFS(ndim ,ndim)
40  ! Matriz hamiltoniana
41  COMPLEX(KIND(0.0D0)) :: HKP(ndim ,ndim )
42  ! Parámetros del AsGa
43  REAL(KIND(0.0d0)) :: E0 ,E1 ,P0 ,P1 ,Q, a ,g1 ,g2 ,g3

44  COMMON E0 ,E1 ,P0 ,P1 ,Q, a ,g1 ,g2 ,g3 ,IB
45
46

```

```

! Leo los parámetros de entrada del archivo
48  OPEN(11,FILE='datos.dat') !Abro el fichero de entrada
    READ(11,*) E0 !Energía de los estados  $s_c$ 
    READ(11,*) E1 !Energía de los estados  $p_c$ 
    READ(11,*) P0 !Parámetro P
    READ(11,*) P1 !Parámetro P'
    READ(11,*) Q !Parámetro Q
    READ(11,*) g1 !Parámetros de Luttinger
    READ(11,*) g2
    READ(11,*) g3
    READ(11,*) a !Constante de red
58   CLOSE(11)

60   UNI=UNI/(a**2)

62   IJOB = 12

64   !Abro el fichero de resultados
66   OPEN(12,FILE='masas.dat',STATUS='UNKNOWN')

68   ! CÁLCULO DEL TENSOR DE MASAS EFECTIVA
69   DO k=1,ndim
70     IB= k

71     KX= 0.0d0
72     KY= 0.0d0
73     KZ= 0.0d0

74   !SUBRUTINA de cálculo de derivadas
75   !(Devuelve el tensor de masas diagonal DMV)
76   CALL DERIVPAP(KX,KY,KZ,DB,DM,DPM,DMV)

78   !ESCRITURA DE RESULTADOS
79   WRITE(12,10) (UNI*1.d0/DMV(j),j=1,N1)

82   END DO

84 10 FORMAT(1X,160(F12.7,1x))

86   CLOSE(12)

88   STOP

```

```

END PROGRAM progmasas
90
! -----
92 ! FUNCIÓN DE CÁLCULO DE AUTOVALORES
94 ! Esta es la función que se deriva para obtener
! el tensor de masa efectiva
96
FUNCTION AUTOVAL1(KX,KY,KZ)
98
IMPLICIT NONE
100
INTEGER :: IB ,ndim
102 INTEGER :: IJOB ,IER ,IW
PARAMETER(IW=32)
104 PARAMETER( ndim=4)

106 REAL(KIND(0.0D0)) :: AUTOVAL1
108 REAL(KIND(0.0D0)) :: WKD(2*IW*IW+4*IW)
110 REAL(KIND(0.0D0)) :: KX,KY,KZ
112 REAL(KIND(0.0D0)) :: AVS(ndim)
COMPLEX(KIND(0.0D0)) :: AUFS(ndim ,ndim)
COMPLEX(KIND(0.0D0)) :: HKP(ndim ,ndim)
114 ! Parámetros del AsGa
REAL(KIND(0.0D0)) :: E0 ,E1 ,P0 ,P1 ,Q ,a ,g1 ,g2 ,g3

116 COMMON E0,E1,P0,P1,Q,a,g1,g2,g3 ,IB

118 IJOB= 12
119 ! Construye y diagonaliza el hamiltoniano
120 CALL HAMKP(KX,KY,KZ,HKP,E0 ,E1 ,P0 ,P1 ,Q ,g1 ,g2 ,g3 ,a ,ndim )
121 CALL EIGCH(HKP,ndim ,IJOB ,AVS,AUFS,ndim ,WKD,IER )
122 ! Devuelve el valor de energía
123 ! correspondiente a la banda IB
124 AUTOVAL1= AVS(IB )

126 RETURN
END FUNCTION AUTOVAL1

```

B.3.2. Subrutina DERIVPAP

Esta subrutina calcula el tensor de masa efectiva y lo diagonaliza haciendo uso de la función DERIVATED para el cálculo de las derivadas segundas y las derivadas cruzadas.

```

1      SUBROUTINE DERIVPAP(A1D,A2D,A3D,DBASS,DMASS,DPMASS,DMASSV)
3
5      INTEGER N1,N2,JOBN
6      REAL H1
7
8      PARAMETER (H1=0.001,N2=3,N1=(N2*(N2+1)/2)+N2,JOBN=12) ! Parámetros
9          de la subrutina
10
11     EXTERNAL      AUTOVAL1, DERIVATIVED
12     INTEGER        IER, I, J
13     REAL*8         ERR, DERIVATTVED
14     REAL*8         DMASS(N2,N2),DBASS(N2,N2),WZ(N1),DPMASS(N2)
15     REAL*8         DMASSV(N2),DT(N2,N2),D1(N2,N2),DPM(N2)
16     REAL*8         AUTOVAL1
17     REAL*8         A1D,A2D,A3D
18     REAL            A1,A2,A3
19
20     A1= SNGL(A1D) ! Se realiza un cambio de precisión, dado que DERIVATIVED
21         trabaja en precisión sencilla.
22     A2= SNGL(A2D)
23     A3= SNGL(A3D)
24
25     ! Derivadas primeras
26
27     DPMASS(1)=DERIVATIVED(1,AUTOVAL1,A1,A2,A3,H1,ERR)
28     DPMASS(2)=DERIVATIVED(2,AUTOVAL1,A1,A2,A3,H1,ERR)
29     DPMASS(3)=DERIVATIVED(3,AUTOVAL1,A1,A2,A3,H1,ERR)
30
31     ! Derivadas segundas
32
33     DMASS(1,1)=DERIVATIVED(4,AUTOVAL1,A1,A2,A3,H1,ERR)
34     DMASS(2,2)=DERIVATIVED(5,AUTOVAL1,A1,A2,A3,H1,ERR)
35     DMASS(3,3)=DERIVATIVED(6,AUTOVAL1,A1,A2,A3,H1,ERR)
36
37     ! Derivadas cruzadas
38
39     DMASS(1,2)=DERIVATIVED(7,AUTOVAL1,A1,A2,A3,H1,ERR)

```



```

79 IA(1,1)=+(A(2,2)*A(3,3)-A(3,2)*A(2,3))*DET
IA(2,1)=-(A(2,1)*A(3,3)-A(3,1)*A(2,3))*DET
81 IA(3,1)=+(A(2,1)*A(3,2)-A(3,1)*A(2,2))*DET
IA(1,2)=-(A(1,2)*A(3,3)-A(3,2)*A(1,3))*DET
83 IA(2,2)=+(A(1,1)*A(3,3)-A(3,1)*A(1,3))*DET
IA(3,2)=-(A(1,1)*A(3,2)-A(3,1)*A(1,2))*DET
85 IA(1,3)=+(A(1,2)*A(2,3)-A(2,2)*A(1,3))*DET
IA(2,3)=-(A(1,1)*A(2,3)-A(2,1)*A(1,3))*DET
87 IA(3,3)=+(A(1,1)*A(2,2)-A(2,1)*A(1,2))*DET

89 RETURN
END

91 !cccccccccccccccccccccccccccccccccccccccccccccccccccc
93 !cccccccccccccccccccccccccccccccccccccccccccccccccccc
FUNCTION DETERMINANTE(A)
95 !cccccccccccccccccccccccccccccccccccccccccccccccccccc
!cccccccccccccccccccccccccccccccccccccccccccccccccccc
97 !Calcula el determinante de una matriz 3*3

99 INTEGER N
101 PARAMETER (N=3)
102 DOUBLE PRECISION DETERMINANTE,DET,A(N,N)

103 DET=0.0D0
104 DET=DET+A(1,1)*A(2,2)*A(3,3)
105 DET=DET+A(2,1)*A(3,2)*A(1,3)
106 DET=DET+A(1,2)*A(2,3)*A(3,1)
107 DET=DET-A(1,3)*A(2,2)*A(3,1)
108 DET=DET-A(1,1)*A(2,3)*A(3,2)
109 DET=DET-A(1,2)*A(2,1)*A(3,3)

111 DETERMINANTE=DET
112 RETURN
END

115 !cccccccccccccccccccccccccccccccccccccccccccccccc
117 !cccccccccccccccccccccccccccccccccccccccccccccccc
SUBROUTINE TRASPUESTAD(A,TA)
118 !cccccccccccccccccccccccccccccccccccccccccccccccc
!cccccccccccccccccccccccccccccccccccccccccccccccc

```



```

205 INTEGER I ,J
206 REAL A(N,N) ,MOD
207 REAL*8 DB(N,N)
208 OPEN(INIT ,FILE= 'dbass . ini ' ,STATUS= 'UNKNOWN' )
209 READ(INIT ,*) ((A(I ,J) ,J=1,N) ,I=1,N)
210 DO I=1,N
211     MOD=(A(I ,1) **2+A(I ,2) **2+A(I ,3) **2)**.5
212     DO J=1,N
213         DB(J ,I)=DBLE(A(I ,J) ) /DBLE(MOD)
214     END DO
215 END DO
216 CLOSE(INIT)
217 RETURN
218 END

```

derivpap.f

B.3.3. Función DERIVATED

```

!cccccccccccccccccccccccccccccccccccccccccccccccccccccccccccccccccccc
2 !cccccccccccccccccccccccccccccccccccccccccccccccccccccccccccccccccccc
! UNIVERSIDAD DE SALAMANCA 9-I-1994
4 !
! DEPARTAMENTO DE FISICA APLICA
6 ! AREA DE LA MATERIA CONDENSADA
!
8 !cccccccccccccccccccccccccccccccccccccccccccccccccccccccccccccccccccc
!cccccccccccccccccccccccccccccccccccccccccccccccccccccccccccccccccccc
10
FUNCTION DERIVATIVED(TYPE,FUN,X1,Y1,Z1,H,ERR)
12
!cccccccccccccccccccccccccccccccccccccccccccccccccccccccccccccccccccc
14 !cccccccccccccccccccccccccccccccccccccccccccccccccccccccccccccccccccc
16
INTEGER NTAB,TYPE
REAL*8 CON,CON2,BIG,SAFE
PARAMETER (CON=1.4D0,CON2=CON*CON,BIG=1.0D30,NTAB=10)
PARAMETER (SAFE=2.0D0)
EXTERNAL FUN
REAL X1,Y1,Z1,H
DOUBLE PRECISION FUN,X,Y,Z,DERIVATIVED,ERR
DOUBLE PRECISION FAC,HH,A(NTAB,NTAB),ERRT
22

```

```

24  INTEGER I,J
25  X=DBLE(X1)
26  Y=DBLE(Y1)
27  Z=DBLE(Z1)
28  IF(H.EQ.0.0) PAUSE ' h must be nonzero in derivative '
29  IF((TYPE.LT.1).OR.(TYPE.GT.9)) PAUSE ' type mismatch '
30  HH=DBLE(H)
31  GO TO (9,1,2,3,4,5,6,7,8) TYPE
32  9 A(1,1)=FUN(X+HH,Y,Z)-FUN(X-HH,Y,Z)
33  A(1,1)=A(1,1)/(2.0D0*HH)
34  GO TO 20
35  1 A(1,1)=FUN(X,Y+HH,Z)-FUN(X,Y-HH,Z)
36  A(1,1)=A(1,1)/(2.0D0*HH)
37  GO TO 20
38  2 A(1,1)=FUN(X,Y,Z+HH)-FUN(X,Y,Z-HH)
39  A(1,1)=A(1,1)/(2.0D0*HH)
40  GO TO 20
41  3 A(1,1)=FUN(X+HH,Y,Z)+FUN(X-HH,Y,Z)-2.0D0*FUN(X,Y,Z)
42  A(1,1)=A(1,1)/(HH*HH)
43  GO TO 20
44  4 A(1,1)=FUN(X,Y+HH,Z)+FUN(X,Y-HH,Z)-2.0D0*FUN(X,Y,Z)
45  A(1,1)=A(1,1)/(HH*HH)
46  GO TO 20
47  5 A(1,1)=FUN(X,Y,Z+HH)+FUN(X,Y,Z-HH)-2.0D0*FUN(X,Y,Z)
48  A(1,1)=A(1,1)/(HH*HH)
49  GO TO 20
50  6 A(1,1)=FUN(X+HH,Y+HH,Z)+FUN(X-HH,Y-HH,Z)
51  A(1,1)=A(1,1)-FUN(X-HH,Y+HH,Z)-FUN(X+HH,Y-HH,Z)
52  A(1,1)=A(1,1)/(4.0D0*HH*HH)
53  GO TO 20
54  7 A(1,1)=FUN(X+HH,Y,Z+HH)+FUN(X-HH,Y,Z-HH)
55  A(1,1)=A(1,1)-FUN(X-HH,Y,Z+HH)-FUN(X+HH,Y,Z-HH)
56  A(1,1)=A(1,1)/(4.0D0*HH*HH)
57  GO TO 20
58  8 A(1,1)=FUN(X,Y+HH,Z+HH)+FUN(X,Y-HH,Z-HH)
59  A(1,1)=A(1,1)-FUN(X,Y+HH,Z-HH)-FUN(X,Y-HH,Z+HH)
60  A(1,1)=A(1,1)/(4.0D0*HH*HH)
61  20    ERR=BIG
62  DO I=2,NTAB
63      HH=HH/CON
64  GO TO (10,11,12,13,14,15,16,17,18) TYPE
65  10 A(1,I)=FUN(X+HH,Y,Z)-FUN(X-HH,Y,Z)

```

```

66 A(1,I)=A(1,I)/(2.0D0*HH)
GO TO 30
68 11 A(1,I)=FUN(X,Y+HH,Z)-FUN(X,Y-HH,Z)
    A(1,I)=A(1,I)/(2.0D0*HH)
    GO TO 30
70 12 A(1,I)=FUN(X,Y,Z+HH)-FUN(X,Y,Z-HH)
    A(1,I)=A(1,I)/(2.0D0*HH)
    GO TO 30
72 13 A(1,I)=FUN(X+HH,Y,Z)+FUN(X-HH,Y,Z)-2.0D0*FUN(X,Y,Z)
    A(1,I)=A(1,I)/(HH*HH)
    GO TO 30
74 14 A(1,I)=FUN(X,Y+HH,Z)+FUN(X,Y-HH,Z)-2.0D0*FUN(X,Y,Z)
    A(1,I)=A(1,I)/(HH*HH)
    GO TO 30
76 15 A(1,I)=FUN(X,Y,Z+HH)+FUN(X,Y,Z-HH)-2.0D0*FUN(X,Y,Z)
    A(1,I)=A(1,I)/(HH*HH)
    GO TO 30
78 16 A(1,I)=FUN(X+HH,Y+HH,Z)+FUN(X-HH,Y-HH,Z)
    A(1,I)=A(1,I)-FUN(X-HH,Y+HH,Z)-FUN(X+HH,Y-HH,Z)
    A(1,I)=A(1,I)/(4.0D0*HH*HH)
    GO TO 30
80 17 A(1,I)=FUN(X+HH,Y,Z+HH)+FUN(X-HH,Y,Z-HH)
    A(1,I)=A(1,I)-FUN(X-HH,Y,Z+HH)-FUN(X+HH,Y,Z-HH)
    A(1,I)=A(1,I)/(4.0D0*HH*HH)
    GO TO 30
82 18 A(1,I)=FUN(X,Y+HH,Z+HH)+FUN(X,Y-HH,Z-HH)
    A(1,I)=A(1,I)-FUN(X,Y+HH,Z-HH)-FUN(X,Y-HH,Z+HH)
    A(1,I)=A(1,I)/(4.0D0*HH*HH)
94 30 FAC=CON2
    DO J=2,I
    A(J,I)=(A(J-1,I)*FAC-A(J-1,I-1))/(FAC-1.0D0)
    FAC=CON2*FAC
96 98 ERRT=DMAX1(DABS(A(J,I)-A(J-1,I)),DABS(A(J,I)-A(J-1,I-1)))
    IF (ERRT.LE.ERR) THEN
100     ERR=ERRT
        DERIVATIVE=A(J,I)
        END IF
102     END DO
104     IF (DABS(A(I,I)-A(I-1,I-1)).GE.SAFE*ERR) RETURN
106     END DO
RETURN
END

```

deriva.f

B.4. Masas efectivas a lo largo de los ejes

B.4.1. Programa principal

Para el cálculo del tensor de masa efectiva a lo largo de los ejes Δ, Λ y Σ se ha escrito un programa en fortran que tomando como entrada los parámetros del AsGa construye una función que proporciona el valor de energía para cada banda en cualquier punto del espacio \vec{k} y calcula sus derivadas para obtener el tensor de masa efectiva en ese punto, seguidamente lo diagonaliza y escribe el resultado al archivo de salida. Debido a que la función de diagonalización ordena los autovalores de menor a mayor, es necesario guardar, en una matriz auxiliar, la matriz que diagonaliza el tensor de masa efectiva y utilizar ésta en lugar de la que proporciona la función DERIVPAP, ya que si no las componentes del tensor de masa aparecen mezcladas en el archivo de resultados.

!Este programa calcula el tensor de masa efectiva para cada una de las bandas del hamiltoniano a lo largo de los ejes Δ , Λ y Σ .

PROGRAM progmasasejes

4 | Declaración de VARIABLES

6 | IMPLICIT NONE

8 | EXTERNAL :: AUTOVAL1

10 | **INTEGER** :: i, j, k, ip, np

! Dimensión de la matriz hamiltoniana

12 | **INTEGER** :: ndim

PARAMETER (ndim=4)

14

!Parametros subr

16 **INTEGER** :: IW

PARAMETER (IW=ndim)

INTEGER :: IJOE

```

20  INTEGER :: IB , N1
21  PARAMETER (N1=3)
22      ! Para ajustar las unidades
23
24  REAL(KIND(0.0D0)):: UNI, UNI2
25  PARAMETER (UNI2=301.544)

26  REAL(KIND(0.0D0)):: KX, KY, KZ !Vector de onda
27  REAL(KIND(0.0D0)):: PK, xi , xf , paso
28  REAL(KIND(0.0D0)):: AVS(ndim)      ! Valores propios
29  REAL(KIND(0.0D0)):: AUTOVAL1 !Función del autovalor
30
31  REAL(KIND(0.0d0)):: DB(3,3) , DM(3,3) , DPM(3) , DMV(3) , DMV2(3) ,DT
32      (3,3)
33  REAL(KIND(0.0d0)):: DB1(3,3) , DMASS(3,3) , DPMASS(3) , DMASSV(3) ,
34      DMASSV2(3)
35  REAL(KIND(0.0d0)):: D1(3,3)
36      ! Vectores propios
37  COMPLEX(KIND(0.0D0)) :: AUFS(ndim ,ndim)
38      ! Matriz hamiltoniana
39  COMPLEX(KIND(0.0D0)) :: HKP(ndim ,ndim)
40      ! Parámetros del AsGa
41  REAL(KIND(0.0D0)):: E0,E1,P0,P1,Q,a,g1,g2,g3
42
43  CHARACTER(LEN=2) :: istr
44  CHARACTER(LEN=4) :: file

45
46  ! Leo los parámetros de entrada del archivo
47  OPEN(11,FILE='datos.dat') !Abro el fichero de entrada
48      READ(11,*) E0 !Energía de los estados  $s_c$ 
49      READ(11,*) E1 !Energía de los estados  $p_c$ 
50      READ(11,*) P0 !Parámetro P
51      READ(11,*) P1 !Parámetro P'
52      READ(11,*) Q !Parámetro Q
53      READ(11,*) g1 !Parámetros de Luttinger
54      READ(11,*) g2
55      READ(11,*) g3
56      READ(11,*) a !Constante de red
57
58  CLOSE(11)

```

```

60    UNI=UNI2/(a**2)

62    IJOB= 12

64 ! CÁLCULO DEL TENSOR DE MASAS EFECTIVA

66 ! *****EJE DELTA*****
67
68    DO k=1,ndim !Bucle que recorre las bandas
69      IB= k

70      file="ejex"
71      write(istr ,'(i2.2)') k
72      OPEN(12,FILE=file // istr // ".dat",STATUS= "UNKNOWN") ! Abro el fichero
de resultados

74      xi=-0.2d0 !x inicial
75      xf=0.2d0   !x final

76
77      KX= 0.0d0
78      KY= 0.0d0
79      KZ= 0.0d0

80      paso= (xf-xi)/np

82      ! SUBRUTINA de cálculo de derivadas

84      KX= xi + 1*paso

86      CALL DERIVPAP(KX,KY,KZ,DB,DM,DPM,DMV)

88      ! Se copia la matriz de paso a la matriz diagonal para utilizar siempre ésta y evitar que
las componentes del tensor de masa efectiva aparezcan mezcladas
89      DO i=1,3
90        DO j=1,3
91          DB1(i,j)=DB(i,j)
92        END DO
93      END DO

96      ! ESCRITURA DE RESULTADOS

98      KX= 0.0d0
99      KY= 0.0d0
100     KZ= 0.0d0

```

```

102    DO ip= 0 ,np
104        KX= xi + ip*paso
106        PK= KX
108        ! SUBRUTINA de cálculo de derivadas
110        CALL DERIVPAP(KX,KY,KZ,DB,DM,DPM,DMV)
112        !Se realiza la diagonalización con la matriz guardada anteriormente
113        CALL TRASPUESTAD(DB1,DT)
114        CALL PROD1D(DB,DPM,DPM)
115        CALL PRODD(DT,DM,D1)
116        CALL PRODD(D1,DB1,DM)
118        ! ESCRITURA DE RESULTADOS
119        WRITE(12,10) PK, ( UNI*1.d0/DM(j,j), j=1,N1)
120
122        END DO
123        CLOSE(12)
124    END DO
126 !*****EJE DIAGONAL (LAMBDA)*****
127    DO k=1,ndim !Bucle que recorre las bandas
128        IB= k
129
130        file="ejed"
131        write(istr,'(i2.2)') k
132        OPEN(12,FILE=file//istr//".dat",STATUS= 'UNKNOWN') !Abro el fichero
de resultados
133
134        xi=-0.2d0 !x inicial
135        xf=0.2d0 !x final
136
137        KX= 0.0 d0
138        KY= 0.0 d0
139        KZ= 0.0 d0
140
141        paso= (xf-xi)/np
142

```

```

! SUBRUTINA de cálculo de derivadas
144
KX= xi + 1*paso
146
KY=KX
KZ=KX
148
CALL DERIVPAP(KX,KY,KZ,DB,DM,DPM,DMV)

150
DO i=1,3 !Copio la matriz de paso para guardarla
    DO j=1,3
        DB1( i , j )=DB( i , j )
    END DO
END DO

156
! ESCRITURA DE RESULTADOS

158
KX= 0.0 d0
159
KY= 0.0 d0
160
KZ= 0.0 d0

162
DO ip= 0 ,np

164
KX= xi + ip*paso
165
KY=KX
166
KZ=KX

168
PK= KX

170
! SUBRUTINA de cálculo de derivadas

172
CALL DERIVPAP(KX,KY,KZ,DB,DM,DPM,DMV)

174
CALL TRASPUESTAD(DB1,DT)
175
CALL PROD1D(DB,DPM,DPM)
176
CALL PRODD(DT,DM,D1)
177
CALL PRODD(D1 ,DB1,DM)

180
! ESCRITURA DE RESULTADOS
181
WRITE(12 ,10) PK,( UNI*1 .d0 /DM(j , j ) ,j =1,N1)
182

184
END DO

```

```

186      CLOSE(12)
187      END DO

188      ! **** EJE SIGMA ****
189      DO k=1,ndim !Bucle que recorre las bandas
190          IB= k

192          file="ejes"
193          write(istr ,'(i2.2)') k
194          !Abro el fichero de resultados
195          OPEN(12,FILE=file//istr//".dat",STATUS= 'UNKNOWN')

198          xi=-0.2d0 !x inicial
199          xf=0.2d0   !x final

200          KX= 0.0d0
201          KY= 0.0d0
202          KZ= 0.0d0

204          paso= (xf-xi)/np

206          ! SUBRUTINA de cálculo de derivadas

208          KX= xi + 1*paso
209          KY=KX

212          CALL DERIVPAP(KX,KY,KZ,DB,DM,DPM,DMV)

214          DO i=1,3 !Copio la matriz de paso para guardarla
215              DO j=1,3
216                  DB1(i,j)=DB(i,j)
217              END DO
218          END DO

220          ! ESCRITURA DE RESULTADOS

222          KX= 0.0d0
223          KY= 0.0d0
224          KZ= 0.0d0

226          DO ip= 0,np

```

```
228      KX= xi + ip*paso
229      KY=KX
230
231      PK= KX
232
233      ! SUBRUTINA de cálculo de derivadas
234
235      CALL DERIVPAP(KX,KY,KZ,DB,DM,DPM,DMV)
236
237
238      CALL TRASPUESTAD(DB1,DT)
239      CALL PROD1D(DB,DPM,DPM)
240      CALL PRODD(DT,DM,D1)
241      CALL PRODD(D1,DB1,DM)
242
243      ! ESCRITURA DE RESULTADOS
244      WRITE(12,10) PK,( UNI*1.d0/DM(j,j),j=1,N1)
245
246
247      END DO
248      CLOSE(12)
249      END DO
250
251
252      10 FORMAT(1X,160(F12.7,1x))
253
254
255      STOP
256      END PROGRAM progmasasejes
257
258      !-----!
259
260      ! FUNCIÓN DE CÁLCULO DE AUTOVALORES
261
262      FUNCTION AUTOVAL1(KX,KY,KZ)
263
264      IMPLICIT NONE
265
266      INTEGER :: IB,ndim
267      INTEGER :: IJOB,IER,IW
268      PARAMETER(IW=32)
```

```

270      PARAMETER( ndim=4)
271
272      REAL(KIND(0.0D0)) :: AUTOVAL1
273
274      REAL(KIND(0.0D0)) :: WKD(2*IW*IW+4*IW)
275      REAL(KIND(0.0D0)) :: KX,KY,KZ
276      REAL(KIND(0.0D0)) :: AVS(ndim)
277      !
278      COMPLEX(KIND(0.0D0)) :: AUFS(ndim,ndim)
279      COMPLEX(KIND(0.0D0)) :: HKP(ndim,ndim)
280
281      REAL(KIND(0.0D0)) :: E0,E1,P0,P1,Q,a,g1,g2,g3 !Parámetros del AsGa
282
283      COMMON /PARPAPAS/E0,E1,P0,P1,Q,a,g1,g2,g3
284      COMMON /IDBAN/IB
285
286      IJOB= 12
287
288      CALL HAMKP(KX,KY,KZ,HKP,E0,E1,P0,P1,Q,g1,g2,g3,a,ndim)
289      CALL EIGCH(HKP,ndim,IJOB,AVS,AUFS,ndim,WKD,IER)
290
291      AUTOVAL1= AVS(IB)
292
293      RETURN
294      END FUNCTION AUTOVAL1

```

progmasasejes.f

Bibliografía

- [1] PETER Y. YU, MANUEL CARDONA: "Fundamentals of Semiconductors: Physics and Materials Properties", SPRINGER.
- [2] NAG,B. R: "Electron transport in semiconductors", SPRINGER.
- [3] YAN VOON, LOK C.LEW; WILLATZEN: "The k.p method", SPRINGER
- [4] OTFRIED MADELUNG(Ed.): "Semiconductors-Basic Data", SPRINGER
- [5] T.E OSTROMEK: "Evaluation of matrix elements of the 8x8 k.p Hamiltonian with k-dependent spin-orbit contributions for the zinc-blende structure of GaAs", PHYSICAL REVIEW B, VOLUMEN 54, NÚMERO 20, 15 NOVIEMBRE 1996
- [6] M. CARDONA, N. E. CHRISTENSEN, AND G. FASOL: Relativistic band structure and spin-orbit splitting of zinc-blende-type semiconductors", PHYSICAL REVIEW B, VOLUMEN 38, NÚMERO 3, 15 JULIO 1988
- [7] CLAUDINE HERMANN AND CLAUDE WEISBUCH: " $\vec{k} \cdot \vec{p}$ perturbation theory in III-V compounds and alloys: a reexamination", PHYSICAL REVIEW B, VOLUMEN 15, NÚMERO 2, 15 ENERO 1977
- [8] MANUEL CARDONA AND FRED H. POLLAK: ".^Energy-Band structure of Germanium and Silicon: The k.p Method", PHYSICAL REVIEW, VOLUMEN 142, NÚMERO 2, FEBRERO 1966
- [9] P. PFEFFER AND W. ZAWADZKI: "Five-level k.p model for the conduction and valance bands of GaAs and InP", PHYSICAL REVIEW B, VOLUMEN 53, NÚMERO 19, 15 MAYO 1996